

UNA VOLTA SI USAVANO SEMICONDUTTORI DIVERSI SEMICONDUTTORI DAL SILICO (AVVANZATE RESISTENZE DI SUBSTRATO) FINO AL 2000 CIRCA.

CON IL SILICO (CMOS) SI PUÒ COMPATIRE DI PIÙ LA TECNOLOGIA

IN QUESTO CORSO RF TRANSMITTERS AND RECEIVERS

I CIRCUITI RF VANNO STUDIATI A GRANDI SEGNALI E NON PIÙ A PICCOLI SEGNALI

RF MICROELECTRONICS, RAZAVI LIBRO DI TESTO

INTEGRATED FREQUENCY Synthesizer for Wireless Systems, Lacalz / Levantino / Semori

Thursday → Lezione in Classe (26.02)

Cadence Lab sarà in Laboratorio 26.02

Francesco Tesolin → Teaching Assistant.

ESAME FINALE PROBABILMENTE 15 Giugno

FULL-DUPLEX → NON FACILE DA FARE XE' TRASMETTIAMO E RICEVIAMO ALLO STESSO MOMENTO, MA VISTO CHE DOBBIAMO TRASMETTERE USIAMO UN SEGNALE FORTE CHE DI NORMA SATURA L'AMPLIFICATORE RICEVITORE CHE È FATTO PER RICEVERE SEGNALI PICCOLI. UNA VOLTA SI USANA IL DIFFEXER CHE HA 3 INGRESSI (ANTENNA / RICEVITORE / TRASMETTITORE) CHE SERVIVA A FILTRARE I SEGNALI (TACS Phone)

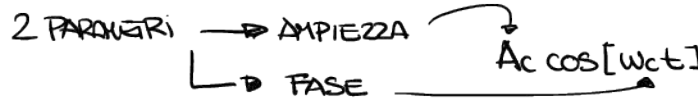
2G Phone → Spostiamo da AM a Modulazioni digitali, i principali vantaggi è che ci sono possibilità di fare TDD (Time division Duplexing) Spendiamo del tempo a ricevere e del tempo a trasmettere. Abbiamo trasformato il DIFFEXER con uno switch RF. Questa tecnica la posso usare solo con comunicazioni digitali.

3G Phone → LNA (tipicamente usato solo con segnali a bassa ampiezza)

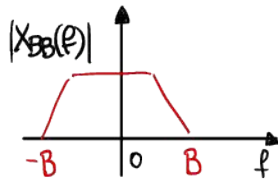
3 Chip (box verdi) e BPF (Band Pass Filters) che sono oggetti esterni.

• COMMUNICATION THEORY

Per inviare l'informazione tipicamente moduliamo la portante che è una sinusode (d'norma)



Perché moduliamo la portante?



il segnale è centrato sullo **zero** in un **baseband signal**

Per generare una propria emissione l'antenna deve avere una specifica lunghezza d'onda $\frac{\lambda}{2}$ physical dimension Hertz dipole
e ricordando

$$\lambda = \frac{c}{f_c}$$

AD ESEMPIO $\lambda = 30\text{cm} \rightarrow f_c = 1\text{GHz}$

Usiamo quindi: la modulazione parla ogni antenna ha la sua frequenza in base alla sua dimensione

TIPI DI MODULAZIONE

- MODULAZIONE D'AMPIEZZA

SEGNALE DI BASE (BASEMENT SIGNAL)

$$x(t) = Ac [1 + m \cdot X_{BB}(t)] \cos \omega ct$$

SE VOGLIO LO SPECTRO DI UNA MODULAZIONE AI CALCOLI LA TRASFORMATA DI FOURIER DI $x(t)$ CHE È

$$X(f) \triangleq \int_{-\infty}^{+\infty} x(t) e^{-j2\pi ft} dt$$

RICORDANDO CHE IL COSENNO PUÒ ESSERE SCRITO

$$x(t) = Ac [1 + m \cdot X_{BB}(t)] \cdot \frac{e^{j\omega ct} + e^{-j\omega ct}}{2}$$

RICORDIAMO ANCHE CHE $e^{j\omega ct} \leftrightarrow \delta(f - f_c)$ (trasformata di Fourier)

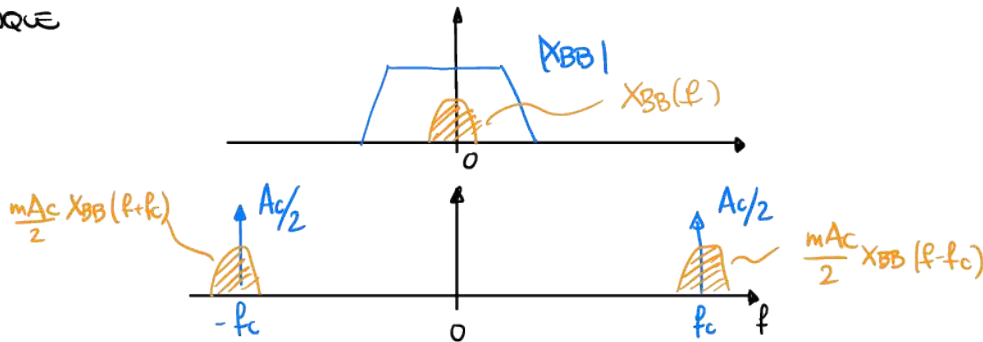
QUINDI SI OTTIENE

$$X(f) = \frac{Ac}{2} \delta(f - f_c) + \frac{Ac}{2} \delta(f + f_c) + \frac{mAc}{2} \cdot X_{BB}(f) * \delta(f - f_c) + \frac{mAc}{2} \cdot X_{BB}(f) * \delta(f + f_c)$$

SI PUÒ RISCRIVERE COME

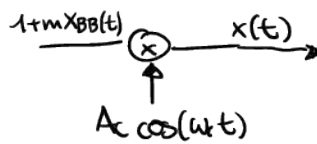
$$X(f) = \frac{A_c}{2} S(f-f_c) + \frac{A_c}{2} S(f+f_c) + \frac{m A_c}{2} X_{BB}(f-f_c) + \frac{m A_c}{2} X_{BB}(f+f_c)$$

DUNQUE

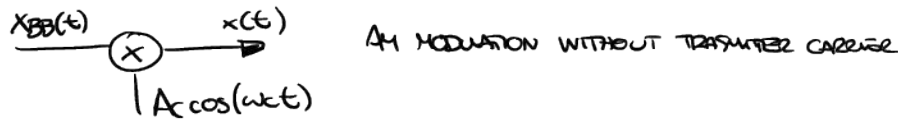


Questo spiega come possano trasmettere wireless: usando un'antenna di dimensioni finite

COSÌ TORNANO AL SEGNALE ORIGINALE? ESISTONO 2 MODI



VISTO CHE USIAMO $1+mX_{BB}(t)$ QUESTO SI CHIAMA AM MODULATION WITH TRANSMITTER CARRIER



TORNANDO ALLA DOMANDA

1) Coherent Demodulation (RX)

$$\begin{aligned} x(t) &\xrightarrow{\text{⊗}} x(t) \cdot \cos(\omega c t) = X_{BB}(t) \cdot \cos^2 \omega c t \\ &= X_{BB}(t) \cdot \frac{1 + \cos 2\omega c t}{2} \end{aligned}$$

$$x(t) = X_{BB}(t) \cdot \cos(\omega c t) \quad (\text{caso senza trasmettore carriera})$$

SE PASSO IN UN FILTRO PASSA BASSO QUESTO OTENGO $\approx \frac{X_{BB}(t)}{2}$

Perché demodulazione coerente?: Perché il demodulatore ha stessa fase e frequenza

ATTENZIONE! PERÒ LA FREQUENZA CARRIER NON È FONDAMENTALE INFORMATIVA SE TECNO FREQUENZA ULTRAS SÌ FASE DIVERSA (90°)

$$\begin{aligned} x(t) &\rightarrow \text{mixer} \\ \sin \omega_c t & \\ &\xrightarrow{\quad \text{mixer} \quad} x(t) \cdot \sin \omega_c t \\ &= X_{BB}(t) \sin(\omega_c t) \cdot \cos(\omega_c t) \\ &= X_{BB}(t) \cdot \frac{1}{2} \sin(2\omega_c t) \end{aligned}$$

OTTENGO DOPO
IL FILTRO

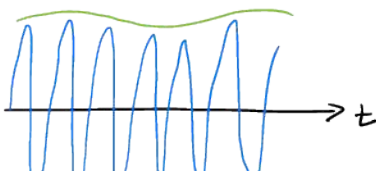
AVERE LA COERENZA È MOLTO DIFFICILE !!

NON COHERENT DEMODULATION

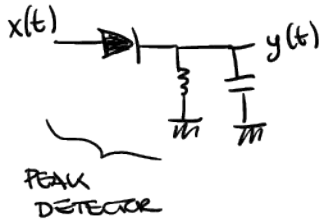
SI BASA SU UN ENVELOPE DETECTOR

$$x(t) = A_c [1 + m X_{BB}(t)] \cos(\omega_c t)$$

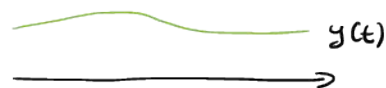
CON
TRANSMITTED
CARRIER



QUESTO SEGNALE PASSATO Dopo Un
PEAK DETECTOR



OTENIAMO SOLO I PICCHI DELLA
SINUSOIDA



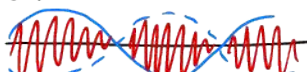
SE SOTTRAIAMO L'AMPISSIMA AC RITORNAMO AL SEGNALE
INIZIALE

VANTAGGI E SVANTAGGI TRA COERENTE E NON COERENTE?

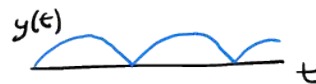
Se abbiamo una situazione in cui le modulazioni non hanno transmitted carrier

$$x(t) = X_{BB}(t) \cdot \cos(\omega_c t)$$

$x(t)$



CON IL PEAK DETECTOR RICEVEREI SOLO



QUINDI IN QUESTI CASI DI MODULAZIONE DI NON TRANSMITTED CARRIER NON POSSIAMO USARE
LA DEMODULAZIONE NON COERENTE

USIAMO LA RAPPRESENTAZIONE FASCIARE DI UNA SINUOSITÀ (SEGNALE DA INVIARE E' UNA SINUOSITÀ)

$$X_{BB}(t) = A_m \cos(\omega_m t)$$

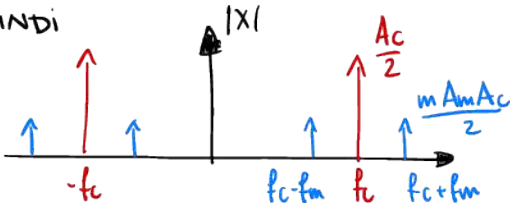
$$X(t) = A_c [1 + m X_{BB}(t)] \cos(\omega_c t)$$

$$= A_c \cos(\omega_c t) + m A_m A_c \cos(\omega_c t) \cdot \cos(\omega_m t)$$

RICORDAPMO $\cos(x)\cos(y) = \frac{1}{2} \cos(x-y) + \frac{1}{2} \cos(x+y)$

$$= A_c \cos(\omega_c t) + \frac{m A_m A_c}{2} [\cos(\omega_c - \omega_m)t + \cos(\omega_c + \omega_m)t] *$$

QUINDI



VOGLIAMO OTTENERE IL FASORE

$$x(t) = \operatorname{Re}\{\bar{x}(t) \cdot e^{j\omega_c t}\}$$

FASORE

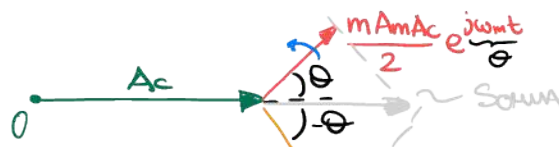
(RICORDATO CHE E' UNA COSTANTE)

RICORDAPMO CHE $e^{j\omega_c t} = \cos(\omega_c t) + j \sin(\omega_c t)$

VOGLIAMO OTTENERE $\bar{x}(t)$ [IL FASORE] DI QUESTO *

$$\bar{x}(t) = A_c + m \frac{A_m A_c}{2} e^{-j\omega_m t} + \frac{m A_m A_c}{2} e^{j\omega_m t}$$

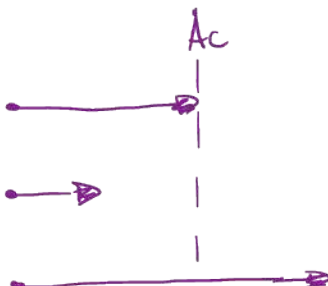
PENSATO DI GENERARE UNA RAPPRESENTAZIONE GEOMETRICA



I DUE VETTORI SONO SEMPRE SIMMETRICI COSÌ CHE LA SOMMA CADA SEMPRE SUL PIANO ORIZZONTALE

H2 SENSO NOI VARIANO L'IMPRESA DEL VETTORE MA NON VARIANO LA FASE

MINIMO E MASSIMO FASORE



FREQUENCY MODULATION

$$x(t) = A_c \cos [w_c t + m \int_{-\infty}^t \phi_{BB}(t') dt']$$

C'È UNA RELAZIONE TRA FREQUENCY E FASE

$$\text{RICORDIAMO CHE } \omega(t) = \frac{d\phi}{dt} \text{ E CHE QUINDI } \phi(t) = \int_{-\infty}^t \omega(t') dt$$

QUESTE SONO LE RELAZIONI TRA FASE E FREQUENZA ANGOLARE [ω]

QUESTO SIGNIFICA CHE METTENDO $X_{BB}(t)$ NELL'integrale NOI MODULATO LA FASE E QUINDI LA FREQUENZA

RICAVIANO LO SPETTO (APPROXIMAZIONE NARROW BAND FM [NBFM])

L'approssimazione consiste nel $\Psi(t) = m \int_{-\infty}^t X_{BB}(t') dt' \ll 1$ rad

Sotto questa approssimazione:

$$\begin{aligned} x(t) &= A_c \cos [w_c t + \Psi(t)] \\ &= A_c \cdot \cos(w_c t) \cdot \cos[\Psi(t)] - A_c \sin(w_c t) \cdot \sin[\Psi(t)] \end{aligned}$$

APPROXIMAZIONE NBFM

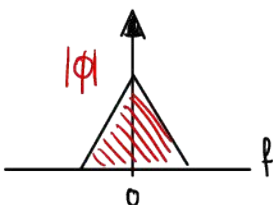
$$\approx A_c \cdot \cos(w_c t) \cdot 1 - A_c \cdot \sin(w_c t) \cdot \Psi(t)$$

$$= \underbrace{A_c \cos(w_c t)}_{\text{CARRIER}} - \underbrace{A_c \Psi(t) \cdot \sin(w_c t)}_{\text{AM MODULATION OF THE QUADRATURE COMPONENT OF THE CARRIER}}$$

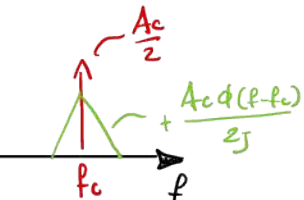
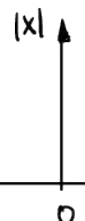
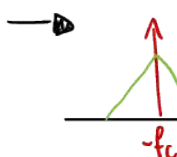
POSSIAMO VEDERE L'FM COME UN AM DELL'QUADRATURA DELLA PORTANTE

$$= A_c \cdot \frac{e^{jw_c t} - e^{-jw_c t}}{2} - A_c \Psi(t) \cdot \frac{e^{jw_c t} - e^{-jw_c t}}{2j}$$

QUINDI



→ FOURIER



ABBIANO LO STESSO SPECTRO SPORSTATO SU 2 PICCHI. TUTTAVIA A DIFFERENZA DELLA MODULAZIONE AM QUI ABBIANO UNA VARIAZIONE DI FASE

ORA STUDIAMO IL CASO DELLA SINUSOIDA FM (IN QUESTO CASO NON SONO APPROXIMAZIONI)

$$X_{BB}(t) = A_m \cos(\omega_m t)$$

$$X(t) = A_c \cos[\omega_c t + m \int_{-\infty}^t A_m \cos(\omega_m t') dt']$$

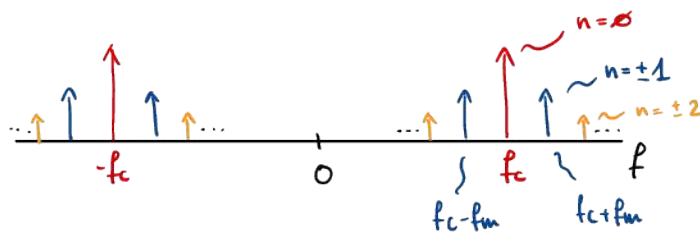
$$= A_c \cos\left[\omega_c t - \underbrace{\frac{m A_m}{\omega_m} \sin(\omega_m t)}_{\varphi(t)}\right] = A_c \cos\left[\omega_c t - \beta \sin(\omega_m t)\right]$$

POSSIAMO SCRIVERLO COME UNA SERIE DI FOURIER (BESSEL FUNCTION)

First Kind Bessel Function

$$= A_c \sum_{n=-\infty}^{+\infty} J_n(\beta) \cdot \cos[\omega_c t + n\omega_m t]$$

Abbiamo come risultato



Se non facciamo approssimazioni
lo spettro di una modulazione FM è infinito

L'occupazione di banda del 98% del segnale è $BW_{98\%} = 2(\beta+1) \cdot f_m$

CARSON'S BANDWIDTH

Quindi l'occupazione di banda non è semplicemente $2B$ come potremmo pensare dall'esempio prima
ma qui abbiamo anche $\beta+1$

$$BW_{98\%} = 2(\beta+1) \cdot f_m \approx 2 \cdot f_m$$

$$NBFM \rightarrow \varphi \ll 1 \text{ rad} \Rightarrow \beta \ll 1 \text{ rad}$$

RAPPRESENTAZIONE FASORIALE

$$x(t) = A_c \cos[\omega_c t + \varphi(t)] \approx NBFM \approx A_c \cos(\omega_c t) - A_c \varphi(t) \cdot \sin(\omega_c t)$$

$$\text{QUINDI} = A_c \cos(\omega_c t) - A_c \sin(\omega_c t) [-\beta \sin \omega_m t]$$

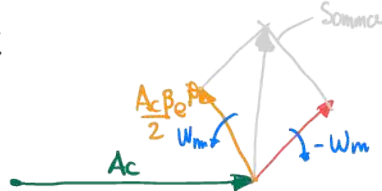
$$= A_c \cos(\omega_c t) + \frac{A_c \beta}{2} [\cos(\omega_c - \omega_m)t - \cos(\omega_c + \omega_m)t]$$

CARRIER

COSTRUIAMO IL FASORE

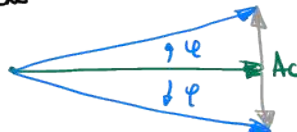
$$\bar{x}(t) = A_c + A_c \beta/2 \cdot e^{-j\omega_m t} - A_c \beta/2 \cdot e^{j\omega_m t}$$

QUINDI IL FASORE È



La somma è sempre in quadratura con le portate

CON LA NBFTI POSSIAMO
CONSIDERARE UNA MODULAZIONE
UNICOENTE PTI



FM È EQUIVALENTE A UNA MODULAZIONE
ATI DELLA COMPONENTE IN QUADRATURA DELLA
PORTANTE

NOTIAMO CHE VARIA ANCHE
L'AMPISSA DEL VETTORE, PERCHÉ? NON È UNICOENTE UNA MODULAZIONE FM (o PM)

X E' ABBIATO FATTO (A NBFTI APPROXIMATION). The equivalence holds only under NBFM approximation

$\beta \ll 1$ rad (o $\varphi \ll 1$ rad). IN PRATICA ABBIATO APPROSSIMATO L'ARCO CON LA TANGENTE
Se $\beta \ll 1$ (o $\varphi \ll 1$ rad) \rightarrow il due arco \approx tangente estremi no

Si chiama Narrow Band Approximation when $\beta \ll 1$ rad estremi la banda e i + e

AM = PTI MODULATION (QUADRATURE MODULATION)

$$x(t) = a(t) \cdot \cos[\omega_c t + \varphi(t)]$$

$$\text{IL FASORE È: } \bar{x}(t) = a(t) \cdot e^{j\varphi(t)} \quad x \in \operatorname{Re}\{x(t) e^{j\omega_c t}\} = \operatorname{Re}\{a(t) \cos[\omega_c t + \varphi] + j a(t) \sin[\omega_c t + \varphi]\}$$

RAPPRESENTAZIONE ALTERNATIVA

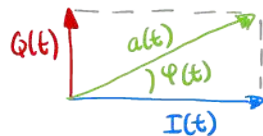
$$x(t) = I(t) \cos(\omega_c t) - Q(t) \sin(\omega_c t)$$

$$= I(t) \frac{e^{j\omega_c t} + e^{-j\omega_c t}}{2} + j Q(t) \cdot \frac{e^{j\omega_c t} - e^{-j\omega_c t}}{2j}$$

$$= \frac{1}{2} \underbrace{[I(t) + j Q(t)]}_{\bar{x}} \cdot e^{j\omega_c t} + \frac{1}{2} \underbrace{[I(t) - j Q(t)]}_{\bar{x}^*} e^{-j\omega_c t}$$

IN PRATICA SOTTO NBFM
 $I(t)$ È MODULATO AM
MENTRE $Q(t)$ IN PTI

$$= \frac{1}{2} \bar{x} e^{j\omega t} + \frac{1}{2} \bar{x}^* e^{-j\omega t} = 2 \cdot \frac{1}{2} \operatorname{Re}\{\bar{x} \cdot e^{j\omega t}\}$$



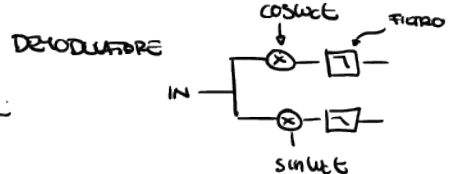
In demodulazione siamo in grado di riprendersi $Q(t)$ e $I(t)$ visto che sono ortogonali.
Questo ci è possibile grazie alla proprietà che

$$\int_0^T \cos(\omega_c t) \sin(\omega_c t) dt = 0$$

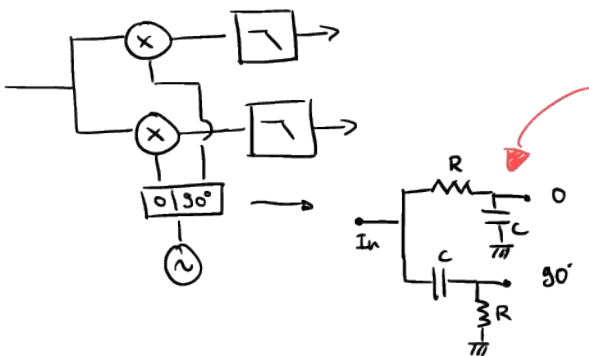
25.02.2021

3h DI LEZIONE

L'è cosa importante da ricordare è che quando demoduliamo e vogliamo le 2 componenti dobbiamo avere sempre questa demodulazione a 2 canali.



QUAL'È L'IMPATTO DELLE NON IDEALITÀ DELL'OSCILLATORE (PRECISIONE) SUL DEMODOLATORE?



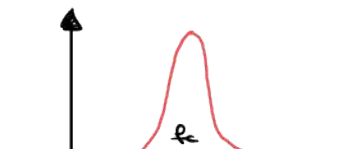
ONIVAMENTE LA FREQUENZA DELLA SINKRODE D'INGRESSO DEVE ESSERE ALLA FREQUENZA DI TAGLIO, COSÌ HANNO LA STESSA AMPIZZA E FASE -90° e 45° cioè 90° di differenza

IN QUESTO MODO POSSIAMO GENERARE UN COSENZO ED UN SENO

Potremo avere delle armoniche non volute, tipicamente abbriamo una struttura del tipo

UNWANTED TONES & UNWANTED LINEWIDTH

QUESTO CORRISPONDE ALL'INFORMAZIONE RICONSENTITA E NELLO STESSO CASO QUELLA TRASMESSA

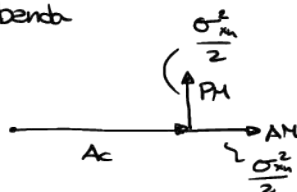


ABBIANO QUESTO AL POSTO DI UN S(t)

COME POSSIAMO QUANTIFICARE QUESTO? E PERCHÉ VI CHIAMANO RUMORE DI FASE?

Rice theorem \rightarrow segnale + rumore bianco limitato in banda

$$\operatorname{Accos}(\omega_c t) + X_n(t)$$



Questo teorema dice che metà della potenza del segnale sarà in fase con lo stesso mentre l'altra metà sarà in quadratura

In tutto questo eliminare le variazioni d'ampiezza è molto facile ma il rumore di fase ce lo teniamo, questo è il motivo per cui si chiama phase noise. Ad esempio con un hard limiter eliminiamo il rumore d'ampiezza ma non quello di fase.

Ricordiamo zanche de

$$\text{FASE?} \rightarrow \Phi_n(t) = \int_{-\infty}^t u_n(t') dt'$$

Allora

$$x \rightarrow [H(f)] \rightarrow y \quad S_y = |H(f)|^2 \cdot S_x \quad \text{LA VEDIAMO COME UN FILTRO}$$

Nel caso d' $\Phi_n(t) = \int_{-\infty}^t u_n(t') dt'$ possiamo dunque scrivere che

$$\text{Integrale in Fourier} \rightarrow \frac{1}{j2\pi f} \rightarrow S_y = \frac{1}{4\pi^2 f^2} \cdot S_x$$

Se IN INGRESSO
ABBIAMO RUMORE
BIANCO QUESTA È
UNA COSTANTE = W
RANDOM WALK
PHASE NOISE

Quello che è importante è che il Random walk per frequenze vicino a 0 tende a infinito, questo significa che il rumore di fase può essere molto grande

COME AFFUGGE?

Supponiamo $A_c \cos[\omega_c t + \Phi_m(t)]$

con $\Phi_m = \Delta\Phi \cos(\omega_m t)$
(SINUSOIDAL MODULATION)

Questo diventerà circa uguale a

$$\approx A_c \cos(\omega_c t) \left[1 - A_c \sin(\omega_c t) \cdot \Phi_m(t) \right]$$

se $\Phi_m = \Delta\Phi \cos(\omega_m t) \ll 1 \text{ rad}$ allora

CREDO CENTRA QUALCOSA ANCORA CON LA NBPM

$$\approx A_c \cos(\omega_c t) - \frac{A_c \Delta\Phi}{2} \cos((\omega_c + \omega_m)t) + \frac{A_c \Delta\Phi}{2} \cos((\omega_c - \omega_m)t)$$

VOLUANO SAPERE LO SPECTRO

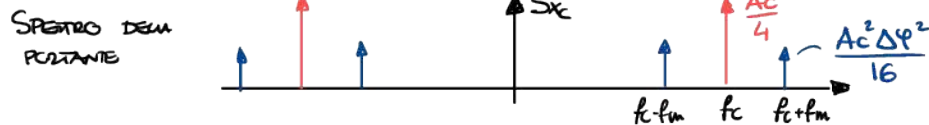
L'AUTO CORRELAZIONE DI $A_c \cos(\omega_c t)$ È $r(t) = \frac{A^2}{2} \cos(\omega_c t)$

LO SPECTRO È LA TRASFORMATA DI FOURIER DELL' AUTOCORRELAZIONE
QUINDI

$$S_x = \frac{A^2}{4} \delta(f-f_c) + \frac{A^2}{4} \delta(f+f_c)$$

Credo che da questo ricevi un po' del rumore

Lo spettro di una portante rovinata dal rumore sarà:



Per determinare questi valori non voluti usiamo il script

$$d(f_m) = \frac{S(f+f_m)}{P_c} \quad \text{IN QUESTO CASO} = \frac{\frac{A_c^2 \Delta \varphi}{16}}{\frac{A_c^2}{4}} = \frac{\Delta \varphi^2}{4}$$

Frequency offset
Single Side to carrier ratio (SSCR)

SERVE A MISURARE LA QUALITÀ DI UN OSCILLATORE (MINORE È TIENO)

VOLUO LINIARE LO SPECTRO DELLA PORTANTE E LO SPECTRO DEL DISTURBO

S_{pm} (SPECTRO DEL DISTURBO) RICORDIAMO $\Phi_{\text{pm}} = \Delta \varphi \cos \omega t$



POSSIAMO DIRE CHE

$$d(f_m) \triangleq \frac{S_x(f+f_m)}{P_c} = \frac{\Delta \varphi^2}{4} \approx S_{\text{pm}}(f_m)$$

DSB · Double Side Band

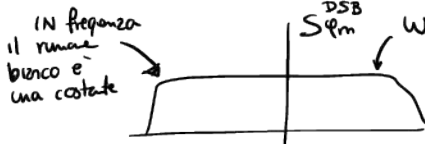
SSB · Single Side Band

Oppure

$$d(f_m) \triangleq \frac{S_{\text{pm}}(f_m)}{2}$$

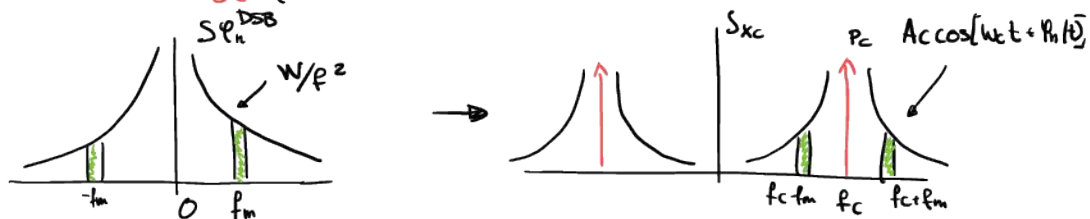
DERIVANO TUTTE DALLA NBFM EPP

VOLUO SPOSTARCI NEL CASO GENERALE, ACCADE LA STESSA COSA NEL CASO DEL RUMORE BIANCO



$$d(f_m) = W \left[\frac{dBc}{Hz} \right]$$

RANDOM WALK NOISE (white fit NOISE)



Stesso concetto del rumore sinusoidale visto che qualsiasi rumore può essere visto come una combinazione lineare di sinusoidi.

C'è un problema davanti alle NBFM approssimate, infatti non può divergere lo spettro perché è compreso tra -1 e 1 dal coseno. Questo accade perché avvicinandosi a zero o a 1 red non posso più usare la NBFM.

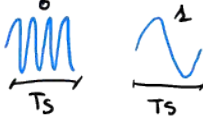
Nella reale non c'è la divergenza in 0 abbiamo una Lorentzian shape

Tipicamente $d(f_m) = -100 \frac{dBc}{Hz}$

MODULAZIONI DIGITALI

Trasmetto simboli (porzioni di sinusoidi) ma ho un limitato numero di simboli (tipo 2 nel caso di trasmissione binaria 0/1)

ES FSK



VARIO LA FREQUENZA

BPSK → VARIO LA FASE [BINARY PHASE SHIFT KEYING]

ASK → VARIO L'AMPIEZZA

OOK → ON E OFF DELLA PORTANTE [ON OFF KEYING]

NON SONO SOLO BINARIE (xe' con più simboli possiamo trasmettere più informazioni) AUMENTA IL BITRATE

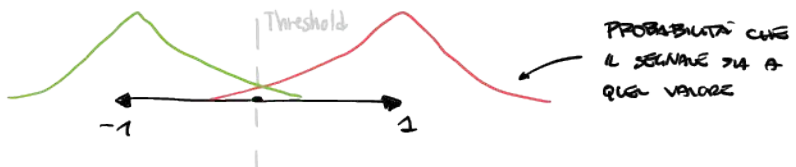
TEOREMA DI SHANNON SUA CAPACITÀ DEL CANALE : $C = B \cdot \log_2 \left(1 + \frac{P_s}{P_n} \right)$ SNR
 BIT RATE b/s $\frac{1}{B}$ BANDA

Posso fare in modo che un fascio rappresenti tutti i simboli, questo si chiama constellazione piana.

Posso vedere la distanza euclidea per calcolare la distanza tra 2 segnali, e poi tipicamente metto il limite di conoscenza (threshold) al segnale al centro di questa distanza.

All'ricevitore avrò rumore, ci saranno delle generalizzazioni che mi indicano la probabilità d'errore; ESEMPIO

(SUPPOSO DI TRASMETTERE 1 e -1)



Se aumento il numero di simboli e il rumore è lo stesso per mantenere la stessa probabilità d'errore dovrò abbassare la potenza (Ci riporterà al teorema di Shannon visto in precedenza)

1-03-2021

2h DI LEZIONE

(Dovrebbe aver caricato gli appunti della lezione precedente su Beep, se non ho capito la lezione sopra vedere questa)

[Flicker F1 Noise → Se calcoliamo il rumore di fase con l'integrale otteniamo da questo e' proporzionale a $1/f^3$, quindi scende di $-300\text{dB}/\text{dec}$]

Todilazione Digitale

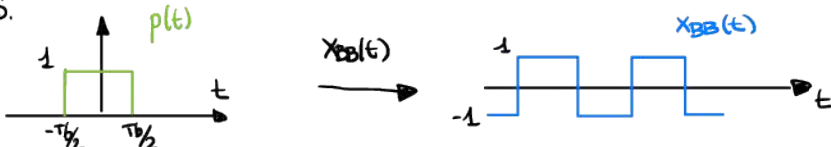
$$x_{BB}(t) = \sum_{n=-\infty}^{+\infty} b_n \cdot p(t - nT_b)$$

con T_b = bit period (T_b = bit rate)
 $p(t)$ = pulse shape
 b_n = costante (± 1)

$b_n = \pm 1$ IN MODULAZIONE BINARIA

$b_n = \pm 1, \pm 2, \dots, \pm m$ MULTILEVEL MODULATION (AUMENTIAMO LA CHANNEL CAPACITY)

ES.



Quell'è la banda di $x_{BB}(t)$?

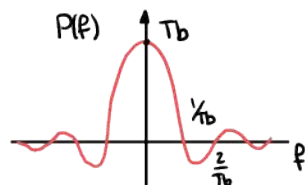
C'è un teorema che dice che lo spettro di x_{BB} è

$$S_{x_{BB}}(f) = \frac{|P(f)|^2}{T_b}$$

dove $P(f)$ è la trasformata di Fourier di $p(t)$ $P(f) = F[p(t)]$

b_n è randomico $\rightarrow X_{BB}$ è un processo stocastico

Nel nostro esempio precedente



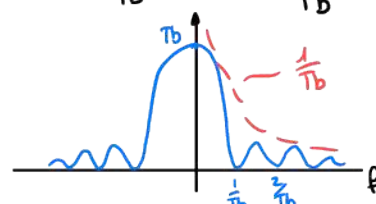
$$P(f) = Tb \cdot \text{sinc}(fTb)$$

Possiamo dire che lo spettro di $X_{BB}(t) = S_{X_{BB}}(f) = \frac{|P(f)|^2}{Tb} = \frac{Tb^2 \text{sinc}^2(fTb)}{Tb}$

$= Tb \text{sinc}^2(fTb)$ e otteniamo

La potenza di $X_{BB}(t)$ sarà calcolabile come

$$\begin{aligned} &= \lim_{T \rightarrow \infty} \frac{1}{T} \int_{-T/2}^{T/2} |X_{BB}(t)|^2 dt \quad \text{e visto che } X_{BB}(t) = \pm 1 \rightarrow X_{BB}(t)^2 = 1 \quad \text{quindi} \\ &= 1 \end{aligned}$$



La Banda di $X_{BB}(t)$ è identica alla Banda di $p(t)$

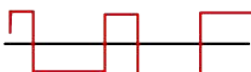
Notiamo quindi che la Banda di $X_{BB}(t)$ in questo caso è ∞

Possiamo modulare un segnale con un segnale rettangolare che ha banda infinita?

ES.



In pratica non possiamo farlo perché il segnale in ingresso è randomico e possiamo avere bit uguali che si susseguono e quelli non saremo in grado di riceverli



Questo fenomeno si chiama **Interferenza d'intersimbolo**

Se un simbolo dura più di T_b , allora questo zattere e imporsi con i segmenti, in questo caso come visto avremo una combinazione di questi.

L'interferenza d'intersimbolo degrada il rapporto segnale rumore

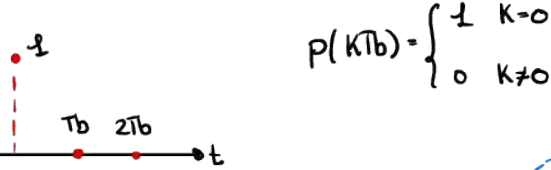
2 problemi

1) Vogliamo banda limitata

2) Limitando la banda non vogliamo l'interferenza d'intersimbolo (ISI)

Per farlo usiamo segnali specifici, Nyquist Signals

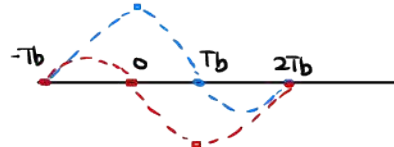
Questi segnali sono creati in modo che $p(t)$ abbia valore 1 in 0, $0 \leq T_b$, 0 e $2T_b$ e così via



RICORDANDO CHE

$$x_{BB} = b_0 p(t) + b_1 p(t-T_b) + \dots$$

$$\text{con } b_0 = 1 \\ b_1 = -1$$



Vogliamo dei segnali che abbiano 1 in 0 e zero in tutti i multipli di T_b in modo che ci sia inciamere in segnale che abbia valore 1 in quel punto

Che forme deve avere questo segnale? Qual'è il suo spettro?

Il segnale di Nyquist quantizzato è



Sappiamo che dalla trasformata di Fourier discreta la trasformata di Fourier di un dato è una costante

$$P^*(f) = 1$$

Tuttavia questo è solo una quantizzazione

Se sompliamo un segnale nel tempo allora otterremo una ripetizione periodica ogni T_b

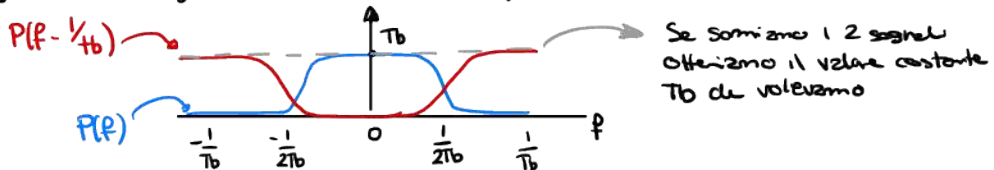
$$p(t) \xleftarrow{F} P(f)$$

$$p(t) \cdot \sum \delta(t - kT_b) \xrightarrow{F} P(f) = \frac{1}{T_b} \sum \delta(f - \frac{k}{T_b})$$

Nel nostro caso abbiamo che

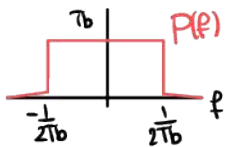
$$1 = \sum_{k=-\infty}^{+\infty} P(f - kT_b) \cdot \frac{1}{T_b} \rightarrow \sum_{k=-\infty}^{+\infty} P(f - kT_b) = T_b$$

Questo significa che il segnale di Nyquist deve avere spettro:



ESEMPI DI SEGNALI DI NYQUIST

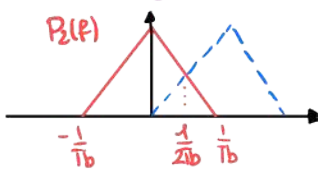
1) Spettro Rettangolare



Se lo ripetiamo otteniamo la costante (T_{op})

Se antitrasformiamo il segnale otteniamo un $\text{sinc}(\frac{t}{T_b})$ (il sinc scade come $1/t^2$)

2) Spettro triangolare



Anche in questo caso viene una costante

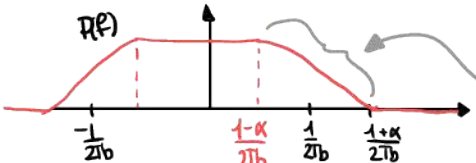
Sappiamo che $P_2(f) = P_1(f) * P_1(f)$

Antitrasformando $p_2(t) = p_1(t)^2 = \text{sinc}^2(\frac{t}{T_b})$ (il sinc scade come $1/t^2$)

Rispetto a prima abbiamo duplicato le bande

3) Coseno Rialzato

Segnale popolare, usato in UMTS



α = Roll-off factor $0 \leq \alpha \leq 1$

Questo è un armonico a coseno rialzato

$\alpha=0$: Narrow band spectrum [$\text{BW} = \frac{1}{2}T_b$] slow envelope ($1/t$)

$\alpha=1$: Wide spectrum [$\text{BW} = 1/T_b$] but faster envelope ($1/t^2$)

L'antitrasformata del coseno rialzato è

$$p(t) = \text{sinc}(\frac{t}{T_b}) \cdot \frac{\cos(\pi\alpha \frac{t}{T_b})}{1 - 4\alpha^2 (\frac{t}{T_b})^2}$$

Perché vorremo un $X > 0$ visto che con $X > 0$ occupiamo più banda?

L'area è sempre l'ISI, se abbiamo un errore di sincronizzazione anche se abbiamo il segnale di Nyquist abbiamo ISI (questo perché i segnali non sono perfettamente sincronizzati). Tuttavia più veloce è la discesa del segnale (envelope) meno ISI avrà perché il segnale scende prima.

Ho un trade-off tra banda e envelope.

02.03.2021

3h DI LEZIONE

Segnale modulato $\rightarrow x(t) = \underbrace{I(t)\cos(\omega_c t) - Q(t)\sin(\omega_c t)}_{A(t)\cos[\omega_c t + \varphi_c(t)]}$ [COORDINATE CARTESIANE]

CON $A(t) = \sqrt{I^2(t) + Q^2(t)}$ $\in \varphi = \arctan \frac{Q(t)}{I(t)}$

ESEMPIO QPSK

Modulazione digitale

$$x(t) = \underbrace{\sum a_n p(t-nT_b) \cdot \cos \omega_c t}_{I(t)} - \underbrace{\sum b_n p(t-nT_b) \cdot \sin \omega_c t}_{Q(t)}$$

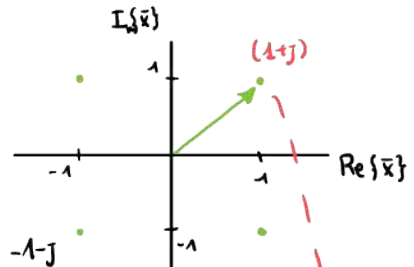
POSSIAMO RISCRIVERE COME

$$= \operatorname{Re} \left\{ \underbrace{\sum (a_n + j b_n) p(t-nT_b)}_{\bar{x}(t)} e^{j \omega_c t} \right\}$$

ALLORA:

$$x(t) = \operatorname{Re} \{ \bar{x}(t) e^{j \omega_c t} \}$$

DISEGNIAMO:



$$\begin{aligned} t &= KT_b \\ p(0) &= 1 \end{aligned}$$

$$\bar{x}(KT_b) = \alpha_k + j \beta_k$$

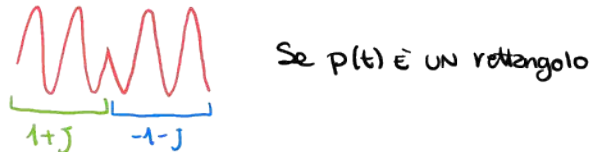
Il fascio può andare in questi punti quando campioniamo a piccoli del segnale

→ È COME TRASMETTERE

$$\begin{aligned} x(t) &= \cos(\omega_c t) + \sin(\omega_c t) \\ \text{SE } p(t) &\text{ È UN RETTANGOLO NEL TEMPO} \end{aligned}$$

QPSK è anche una modulazione ad ampiezza costante?

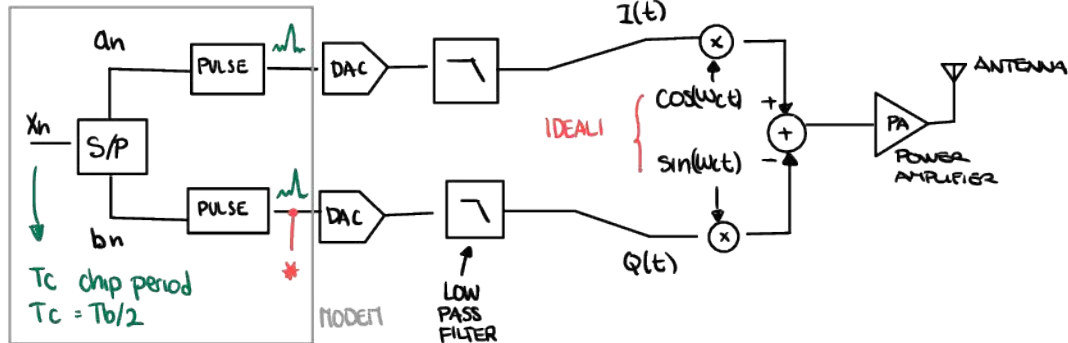
Sfortunatamente non è una modulazione ad ampiezza costante, infatti se andiamo da $(1+j)$ a $(-1-j)$ abbiamo un comportamento del tipo



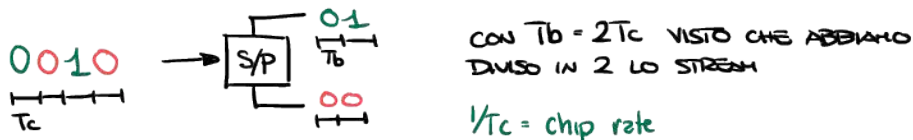
Se questo segnale passa un filtro ottengo un envelope (ampiezza non costante)

Se non abbiamo un $p(t)$ è rettangolo allora il cambiamento da un segnale ad un altro non è istantaneo

COSTRUIAMO UN TRASMETTORE QPSK



ES. SERIER / PARALLELO CONVERTER



*) IN QUESTO PUNTO HO QUALCOSA TIPO IL sinc

RF BANDWIDTH OF QPSK SIGNAL

Se il pulse è un coseno ridotto e:

- ($\chi = \emptyset$) (Roll-off) QUINDI $\text{sinc}(t/T_b)$ SHAPE

$$\text{BW}_{bb} = \frac{1}{2T_b} \Rightarrow \text{BW} = \frac{1}{T_b} = \frac{1}{2T_c}$$

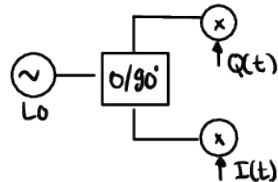
La banda di QPSK è data dal chip rate diviso 2

IMPATTO DI LO PHASE NOISE SULLA QUALITÀ DELLA MODULAZIONE?

Lo LOCAL OSCILLATOR

Nei segnali cos e sin che uso per modulare metto un errore di fase

$$x_c(t) = \cos[\omega_c t + \varphi(t)]$$



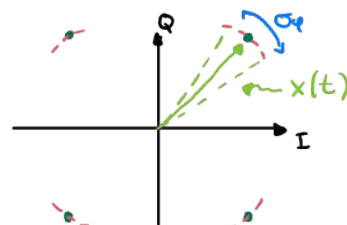
QUINDI RICAVIAMO CHE $x(t)$ DIVENTA

$$x(t) = \operatorname{Re} \left\{ \bar{x}(t) e^{j\omega_c t} \cdot e^{j\varphi_h(t)} \right\}$$

Si crea un nuovo effetto effetto della Lo Phase Noise

FASORE IDEALE $\bar{x}_{ID}(t) = I(t) + jQ(t)$

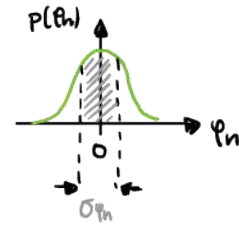
FASORE REALE $\bar{x}(t) = \bar{x}_{ID}(t) \cdot e^{j\varphi_h(t)}$



OTTENIAMO DEGLI ARCHI A Torno AI PUNTI DELLA COSTELLAZIONE QUESTI AVRANNO DISTRIBUZIONE GAUSSIANA SE φ_h È UN PROCESSO STOCASTICO GAUSSIANO

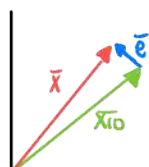
DEVIAZIONE STANDARD DI φ_h

$$\sigma_\varphi = \lim_{T \rightarrow \infty} \sqrt{\frac{1}{T} \int_{-T/2}^{T/2} \varphi_h^2(t) dt} = \int_0^\infty S_{\varphi_h}(\nu) d\nu$$



CHE IMPATTO HA QUESTO ERRORE (Definizione generale)

Introduciamo L'error-Vector Magnitude



\bar{x} reale
 \bar{x}_{ID} IDEALE

$$\text{EVM} \triangleq \frac{\frac{1}{N} \sum_{j=1}^N \|e_j\|^2}{P_{avg}}$$

È COME CALCOLARE UN SNR

LA FORMA È COSÌ PERCHÉ CI POSSONO ESSERE + ERRORE



EVT INDOTTA DALLA PHASE NOISE

$$\text{IN QUESTO CASO } \text{EVM} = \frac{|\bar{e}|^2}{P_{\text{ang}}}$$

RAPPORTO TRA LA POTENZA
DEI GERONI E LA POTENZA DEL
SEGNALE

CON

$$|\bar{e}| = |\overline{X}_{ID}| \cdot \sigma_n \quad (\text{PICCOLI ANGOLI})$$

QUESTO SIGNIFICA CHE LA POTENZA DI $|\bar{e}|^2$ SARÀ

$$|\bar{e}|^2 \approx |\overline{X}_{ID}|^2 \cdot \sigma_\phi^2 \cdot \frac{1}{2}$$

QUINDI

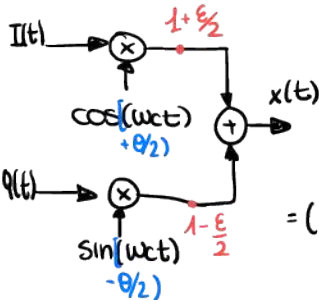
$$\text{EVM} \approx \frac{\frac{1}{2} |\overline{X}_{ID}|^2 \cdot \sigma_\phi^2}{\frac{1}{2} |\overline{X}_{ID}|^2} = \sigma_\phi^2$$

Risultato importante perché non importa quale sia la potenza trasmessa x è il rapporto segnale rumore all'output del trasmettitore e' limitato dal rumore di fase

RX phase noise (σ_ϕ) \rightarrow degrada SNR al RX

Anche se aumentiamo l'amplificazione del segnale il rapporto segnale rumore dovuto al rumore di fase non cambia

• EVM induced by amplitude / phase errors



ϵ = amplitude error (o imballo)

θ = phase imbalance

} Sono le 2 possibili
imbalzi da passo zero

CALCOLIAMO $x(t) =$

$$= (1 + \epsilon/2) \cos[wct + \theta/2] I(t) - (1 - \epsilon/2) \cdot \sin[wct - \theta/2] \cdot Q(t)$$

È diverso da prima perché qui abbiamo un non bilanciamento tra i segnali

Se calcoliamo l'EVM

$$\text{EVM} = \frac{P_e}{P_{\text{ang}}} = \frac{|\bar{e}|^2}{|\overline{X}_{ID}|^2}$$

Difícil de fare senza fessoni

CALCOLIAMO:

$$\bar{e} = \bar{X} - \bar{X}_{ID} \quad \text{CON } \bar{X}_{ID} = I + jQ \quad \in \quad \bar{X} = I e^{j\theta/2} (1 + \epsilon/2) + j Q e^{-j\theta/2} (1 - \epsilon/2)$$

E' PIÙ E NON MENO

SOTTRAENDO E OTTENIAMO

$$\begin{aligned} \bar{e} &= I [1 - e^{j\theta/2} (1 + \epsilon/2)] + j Q [1 - e^{-j\theta/2} (1 - \epsilon/2)] \\ &= X_I \left[\underbrace{1 - e^{j\theta/2}}_{\approx -j\theta/2} - \underbrace{e^{j\theta/2} \cdot \frac{\epsilon}{2}}_{1+j\theta/2} \right] + j Q \left[\underbrace{1 - e^{-j\theta/2}}_{-j\theta/2} + \underbrace{e^{-j\theta/2} \cdot \frac{\epsilon}{2}}_{1-j\theta/2} \right] \end{aligned}$$

PERCHÉ $e^x \approx 1+x$ $x \approx 0$ $1-e^x \approx -x$

QUINDI CON θ PICCOLO

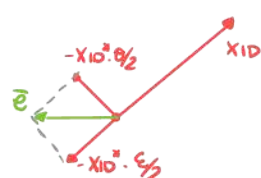
$$\approx I [-j\theta/2 - (1 + j\theta/2) \cdot \frac{\epsilon}{2}] + j Q [j\theta/2 + (1 - j\theta/2) \cdot \frac{\epsilon}{2}]$$

con $\theta \ll 1$ e $\epsilon \ll 1$ allora θ è trascurabile, quindi:

$$\approx I [-j\theta/2 - \frac{\epsilon}{2}] + j Q [+j\theta/2 + \frac{\epsilon}{2}]$$

$$\begin{aligned} &\approx [-j\theta/2 - \frac{\epsilon}{2}] \cdot (I - jQ) = (-j\theta/2 - \frac{\epsilon}{2}) \cdot \bar{X}_{ID}^* \end{aligned}$$

IL CONIGLIO DI \bar{X}_{ID}



$$\begin{aligned} \text{EVM} &= \frac{|e|^2}{|\bar{X}_{ID}|^2} \\ &= \frac{|(\frac{\epsilon}{2} + j\theta/2) \bar{X}_{ID}^*|^2}{|\bar{X}_{ID}|^2} = \left(\frac{\epsilon^2}{4} + \frac{\theta^2}{4} \right) \cdot \frac{|\bar{X}_{ID}^*|^2}{|\bar{X}_{ID}|^2} \\ &= \frac{\epsilon^2}{4} + \frac{\theta^2}{4} \end{aligned}$$

Ad esempio: $\epsilon = 1\%$ e $\theta = 1 \text{ deg} \rightarrow \text{EVM} = \frac{(0,01)^2}{4} + \frac{(0,0174 \text{ rad})^2}{4} = 0,00040$

$$1 \text{ deg} \cdot \frac{\pi}{180} = 0,0174 \text{ rad}$$

E quindi: $\text{EVM}_{\text{dB}} = 10 \log_{10} \text{EVM} = -33,9 \text{ dB}$

IMPIANTO DELLE NON LINEARITÀ SULLE PERFORMANCE DI UN MODULATORE

Se la sinusode è modulata anche in ampiezza una modulazione non lineare porta alla spettro regrowth



$$y = \alpha_1 \cdot x(t) + \underbrace{\alpha_3 \cdot x^3(t)}_{\text{CUBIC NON LINEARITY}} + \dots \quad \text{STATIC NON LINEAR MODEL}$$

Se $x(t)$ è modulato solo in fase (solo PTT) quindi

$$x(t) = A_c \cdot \cos [w_c t + \varphi(t)]$$

Constant Info

Se calcoliamo $\alpha_3 x^3(t)$ ottieniamo che

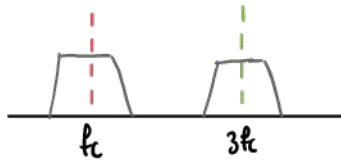
$$\alpha_3 \cdot A_c^3 \cdot \cos^3 [w_c t + \varphi(t)]$$

$$\begin{aligned} \text{Sappiamo che } \cos^3 x &= \cos x \cdot \cos^2 x = \cos x \cdot \frac{1 + \cos 2x}{2} \\ &= \frac{1}{2} \cos x + \frac{1}{2} \left[\frac{1}{2} \cos x + \frac{1}{2} \cos 3x \right] \\ &= \frac{3}{4} \cos x + \frac{1}{4} \cos 3x \end{aligned}$$

Quando eleviamo un coseno alla 3² generiamo sia una prima che una terza armonica

Quindi:

$$\alpha_3 x^3(t) = \alpha_3 A_c^3 \left[\frac{3}{4} \cos [w_c t + \varphi(t)] + \frac{1}{4} \cos [3w_c t + 3\varphi(t)] \right]$$



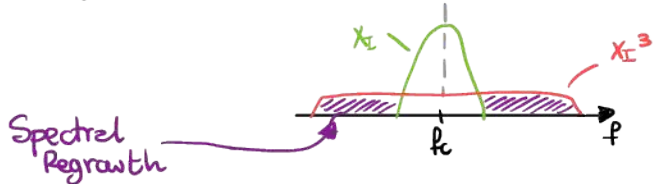
ho aggiunto un ulteriore modulazione
ma non ho distorsioni di φ

SE SUPONGO UNA MODULAZIONE D'AMPIEZZA NON COSTANTE

$$\alpha_3 x^3(t) = \alpha_3 X_I^3 \left(\frac{1}{4} \cos 3w_c t + \frac{3}{4} \cos w_c t \right) - \alpha_3 X_R^3 \left(\frac{3}{4} \sin w_c t - \frac{1}{4} \sin 3w_c t \right)$$

$$x(t) = X_I(t) \cos(w_c t) - X_R(t) \cdot \sin(w_c t)$$

In questo caso ho dei termini che cadono sopra il segnale ideale



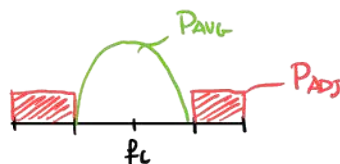
Se noto che ho degli elementi in X_E^3 quindi ceduti in f_c (quelli evidenziati prima)

La non linearità ha degradato 2 parametri:

- EVM perché ha inband disturbance

- ACPR (Adjacent Channel Power Ratio) $\triangleq \frac{\text{Power Leaking in Adj. Channel}}{\text{Power Signal}} \xrightarrow{\text{PADS}} \text{PANG}$

questo significa che



Negli amplificatori c'è un trade off tra linearità e power efficiency.

Se vogliano essere efficienti dobbiamo usare amplificatori non lineari e non possono permettere modulazioni con ampiezza non costante.

Matlab: Scrivere il signal processing toolbox

Qualsiasi filtro messo dopo il power amplifier ha una diminuzione di potenza e quindi questa potenza si dissipava sul filtro.

08.03.2021

2h DI LEZIONE

Diagramma a blocchi del ricevitore

Tipicamente noi facciamo esempi sui Multi-user communication system, dobbiamo capire come avere accessi multipli al canale.

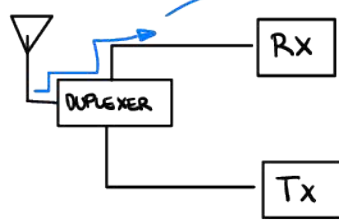
Un'opzione è la FDMA, Frequency Division Multiplexing Access (Funzione anche con segnali analogici)



Il ricevitore deve fare 2 operazioni

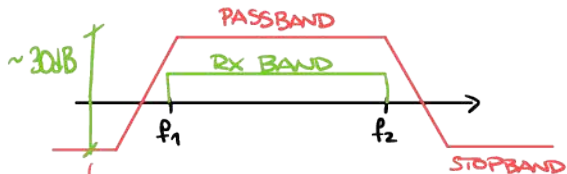
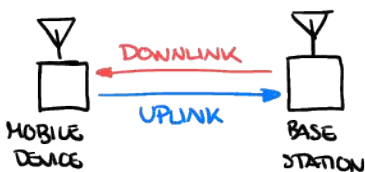
1) BAND SELECTION (Tramite un duplexer)

2) CHANNEL SELECTION (non può essere fatta a Frequenza RF, dovranno avere un filtro di montato troppo)



Lungo questo percorso abbiamo un filtro che elimina gli altri canali

Tra f_1 e f_2 abbiamo la banda RX



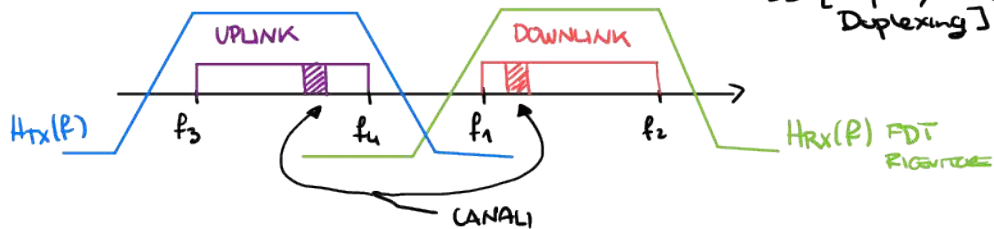
Quello che fa il duplexer

(evidentemente con qualsiasi filtro non possiamo avere attenuazione infinita tra PASSBAND e STOPBAND, nella realtà abbiamo 30/40 dB)

Non usiamo più filtri per attenuare di più perché se ne attenuiamo troppo il segnale.

IL DUPLEXER HA 2 FUNZIONI DI TRASFERIMENTO UNA X IL RICEVITORE E UNA PER IL TRASMETTITORE.

FDD [Frequency Division Duplexing]



Questo è il motivo della differenza di frequenza tra up e downlink, cioè per poter mettere 2 filtri e poter ricevere e trasmettere

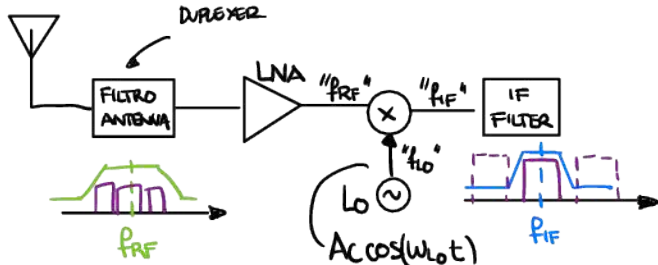
2) COME FACCIAMO A FARE LA CHANNEL SELECTION A FREQUENZA RF VISTO I PROBLEMI DI PRIMA? E VISTO ANCHE CHE:

L'altro motivo per cui non filtriamo direttamente il canale è che non sappiamo in anticipo a che canale vogliamo connetterci. Quindi non ho solo un filtro con Q elevatissimo ma pure variabile e di solido i filtri variabili hanno performance peggiori degli altri → capiamo quindi che è impossibile

Noi sappiamo che il fattore di qualità è proporzionale a

$$\Phi = \frac{\omega_0}{\Delta\omega} \quad \begin{matrix} \leftarrow \text{FREQ. CENTRALE} \\ \leftarrow \text{OFFSET} \end{matrix}$$

PER DIMINUIRE Q Dobbiamo ridurre ridurre la frequenza centrale.



SPOSTIAMO TUTTA LA
BANDA DEL SEGNALE
AD UNA F MIGLIORE

DOWNSAMPLING

$$f_{IF} = |f_{RF} - f_{LO}|$$

Questo è quando moltiplichiamo un coseno per un coseno otteniamo

$$\begin{aligned} &= \cos(\omega_{RF}t)\cos(\omega_{LO}t) \\ &= \frac{1}{2}\cos[(\omega_{RF}-\omega_{LO})t] + \frac{1}{2}\cos(\omega_{RF}+\omega_{LO})t \end{aligned}$$

Rimane solo questo

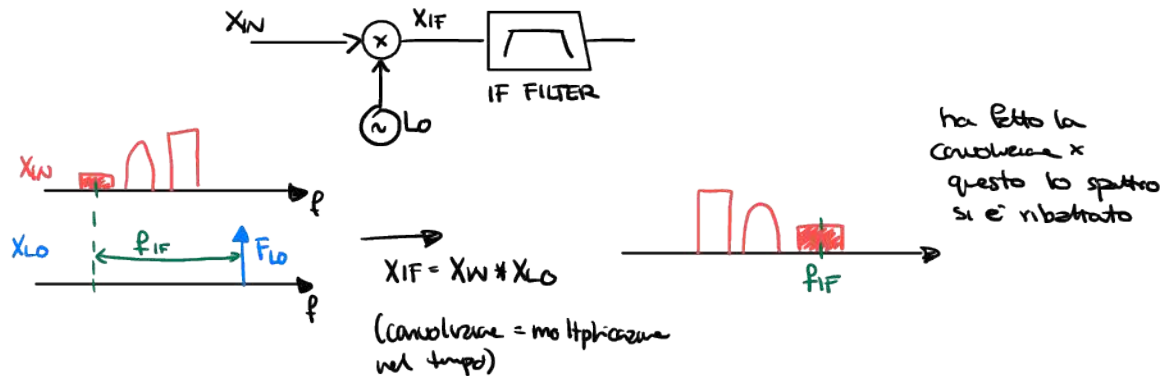
Questo viene filtrato dall' IF filter

Si chiama fIF perché IF sta per INTERMEDIATE FREQUENCY.

FATTA LA DOWNSAMPLING SCALANO IL CANALE!

Questo tipo di architettura è chiamato HETERODYNE RX ARCHITECTURE, che significa che usiamo frequenze differenti

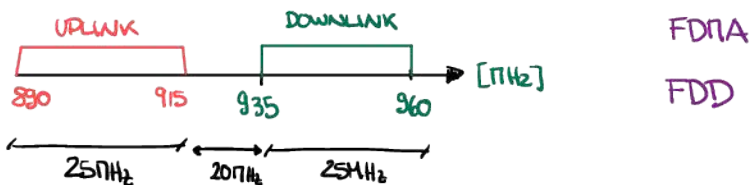
Questa topologia risolve anche il problema di tunability del filtro per selezionare il canale



Per cambiare canale non ho bisogno del filtro variabile se posso azione o ridurre fLO per ricevere una diversa fIF e quindi ricevere un altro canale.

Ci basta fare un tunable local oscillator

ESEMPIO DI RADOCOMUNICAZIONI: GSM cellular system "2G"



Ogni banda è divisa in 125 canzoni quindi:

$$\frac{25\text{MHz}}{125} = 200\text{kHz} \quad \text{Banda del canale}$$

Ogni canale è diviso tra 8 utenti (xè per trasmettere voce 200KHz è troppo) in Time division. Esiste il concetto di frame nel dominio del tempo, in questo frame ogni utente ha un pezzetto in cui può ricevere e trasmettere.

11 frame è di 4,6ms

quindi $\frac{1}{8}$ d. frame è 0,575 ms



QUINDI GSM è anche una TDMA (Time division multiplexing)

Per rendere più facile il duplexer è stato fatto in modo che l'utente non debba lo stesso posto nel firmare per trasmettere e ricevere così non può trasmettere e ricevere in contemporanea



quindi il GSM usa anche il TDD time division duplexing

La modulazione è digitale → GMSK che è una modulazione CPM (Continuous phase modulation) (constant envelope) non linear PA

la modulazione può essere solo digitale (non ho capito se)

la sensibilità del segnale (minimo segnale ricevibile) e

$$P_S = -99 \text{ dBm}$$

$$SNR_{min} \approx 9 \text{ dB}$$

$$BER = 10^{-3}$$

Dove un $\text{dBm} = 10 \log_{10} P_{\text{mw}}$ (10 · logaritmo di 10 della Potenza in milliwatt)

ESEMPIO

- $0 \text{ dBm} \rightarrow 1 \text{ mW}$
- $30 \text{ dBm} \rightarrow 1 \text{ W}$
- $-20 \text{ dBm} \rightarrow 10 \mu\text{W}$
- $-100 \text{ dBm} \rightarrow 10^{-10} \text{ mW}$

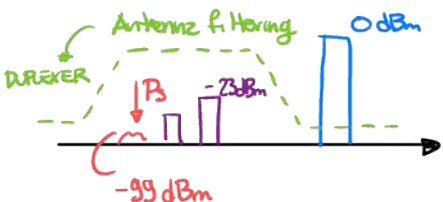
Perciò

ho sensibilità $P_s = -99 \text{ dBm}$ se

Out-of-band interference : $P_B = 0 \text{ dBm}$

In-band interference : $P_B = -23 \text{ dBm}$

Quindi i ricevitori GSM sono molto sensibili



Questi valori di rumore sono più alti di quelli dei segnali Xe e già considerato che vengono ridotti dal filtraggio dell' IF FILTER.

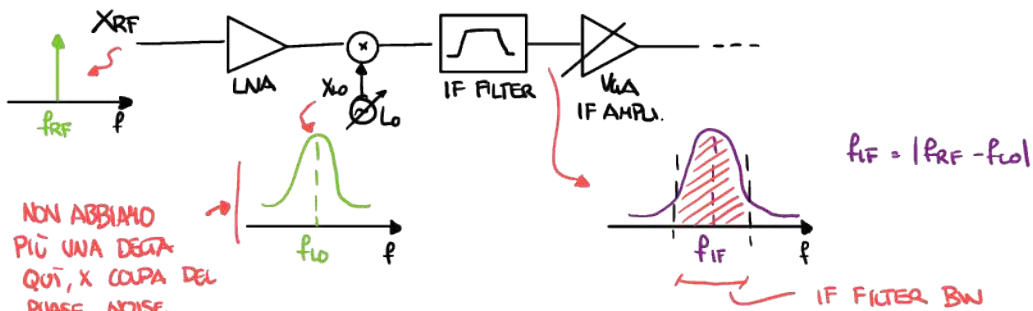
ATTENZIONE COMUNQUE!! Non possiamo trasmettere per tutto il nostro ottavo di frame perché ci serve del tempo di guardia per sincronizzare e dividere i canali.

09.03.2021

3h d. lezione

IMPATTO DEL RUMORE DI FASE SULLE PRESTAZIONI DEL RICEVITORE

Tipicamente un ricevitore è così composto

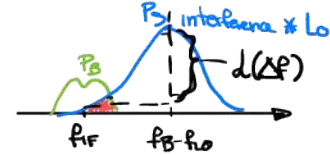
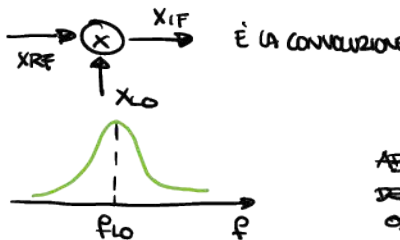
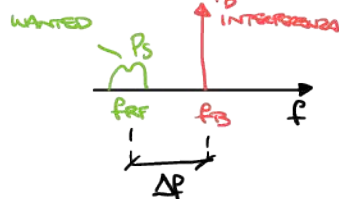


Il rumore di fase degrada anche il rapporto segnale-rumore del ricevitore

Questo era l'impatto diretto del rumore di fase, tuttavia c'è un altro impatto chiamato Reciprocal mixing.

Reciprocal Mixing

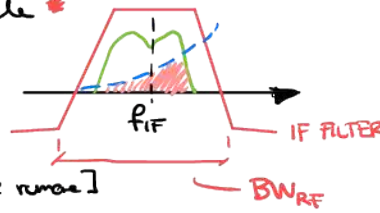
Abbiamo anche interferenze più potenti del segnale/corda voluto



ABBATO ANCHE LA CONVOLZIONE
DELL'INTERFERENZA E DEL LOCAL OSCILLATOR

c'è della potenza del rumore che c'è nel nostro segnale *

Quando applichiamo l'IF FILTER notiamo che abbiano comunque una degradazione dell'SNR



CALCOLIAMO L'SNR [Δf = distanza tra segnale e rumore]

$$\text{L}(\Delta f) \triangleq \frac{P_n(f_{RF}) \text{ in } 1\text{Hz}}{P_B}$$

$$\text{SNR}(f_{RF}) = \text{L}(\Delta f) \cdot P_B$$

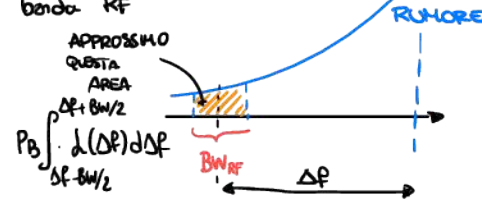
C'È UN TEOREMA

Però

$$\text{SNR} = \frac{P_S}{P_n(f_{RF})} = \frac{P_S}{\text{L}(\Delta f) \cdot P_B \cdot \text{BW}_{RF}}$$

Equivalent noise bandwidth
Dovrebbe essere l'integrale ma noi approssimiamo.

In pratica io prendo solo la parte di rumore da c'è nella banda RF



il rapporto SNR in dB sarà

$$\text{SNR}_{\text{dB}} = 10 \log_{10} \text{SNR}$$

$$= P_S - P_B - \text{L}(\Delta f) - 10 \log_{10} (\text{BW}_{RF})$$

[dBm] [dBm] [dBc/Hz]

CAPIAMO QUINDI CHE CI SONO 2 TERMINI CHE CONTRIBUISCONO A DEGRADARE L'SNR

ESEMPIO NUMERICO [GSM]

$$P_S = -99 \text{ dBm}$$

$$P_B = -40 \text{ dBm} \text{ (OUT OF BAND INTERFERENCE AT 0dB ATTENUATA DAL FIGLIO DELL'ANTENNA DI } 40 \text{ dB)}$$

$$f_{RF} = 2,01 \text{ GHz} \quad f_B = 2,03 \text{ GHz} \quad f_{LO} = 2,00 \text{ GHz}$$

$$BW_{RF} = 200 \text{ kHz}$$

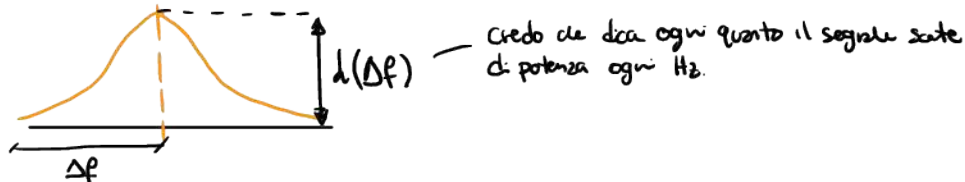
VOGLIAMO CHE SNR > 50dB concorre Δf = ?

CALCOLI :

$$\Delta f = f_B - f_{RF} = 204 \text{ kHz}$$

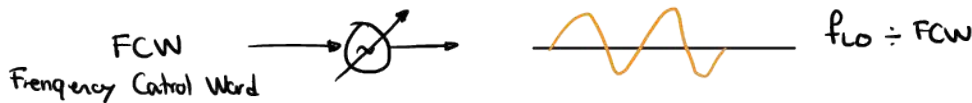
$$\lambda(\Delta f) = P_S - P_B - SNR_{dB} - 10 \log_{10} BW$$

$$= -99 + 40 - 50 - 53 = -162 \text{ dBc/Hz} \text{ a } 204 \text{ kHz offset}$$



FREQUENCY SYNTHESIZER

Vogliamo costruire un generatore di segnali periodici controllabile in frequenza



Vogliamo che sia molto accurato : ACCURATEZZA $\frac{\Delta f_O}{f_O}$ [AGILE + DRIFT]

IN GSM STANDARD L'ACCURATEZZA DEVE ESSERE = 0,1 ppm = 10^{-7} QUINDI PER $f = 16 \text{ kHz}$
IL Δf MAX È DI 100Hz

ESCE

Questo è un problema perché gli oscillatori LC hanno frequenza

$$f = \frac{1}{2\pi\sqrt{LC}} \text{ E QUINDI } \frac{\Delta f}{f} \approx \frac{1}{2} \cdot \frac{\Delta C}{C} + \frac{1}{2} \cdot \frac{\Delta L}{L}$$

Non riusciamo a essere molto accurati con i condensatori e induttori [1-10%]

- ANCHE GLI OSCILLATORI RC NON VANNO BENE

$$f = \frac{1}{RC} \quad \text{Anche qui dovremo basare solo sulla accuratezza dei campioni (ra va bene)}$$

UN ALTRO ELEMENTO CHE UN SINTETIZZATORE DI FREQ. DEVE AVERE È UNA BUONA RISOLUZIONE, cioè il minimo Δf che posso fare

- Può essere nell'ordine della spazzatura dei canali ~ 100 KHz
- Può essere anche più piccolo per compensare le variazioni di f durante una temperatura \sim Hz

SETTLING TIME

Channel switching time (in GSM dobbiamo cambiare da una freq all'altra ogni frame, perciò questo valore $\sim 100\mu s$ o perfino $\sim 1ms$)

SPURIOUS CONTENT [RECIPROCAL MIXING]

PHASE NOISE

PULLING Sensibilità a VDD o a variazioni di carico

COME POSSIAMO RISOLVERE QUESTI PROBLEMI?

- ACCURATEZZA \rightarrow Ci basiamo su un sistema master/slave (le frecce indicano da master a slave)

ATOMIC CLOCK

- DRIFT $\approx 10^{-9}$ s/day
(la base station ogni tot invia un tono per sincronizzare il cristal oscillator)

CRYSTAL OSCILLATOR

- TCXO (Temperature compensated crystal oscillator)
- Buona accuratezza $\approx 100ppm$
- aging $\approx 0.5ppm/year$
drift $\approx 0.5ppm$ 0-75°C
- Not tunable
- Low frequency

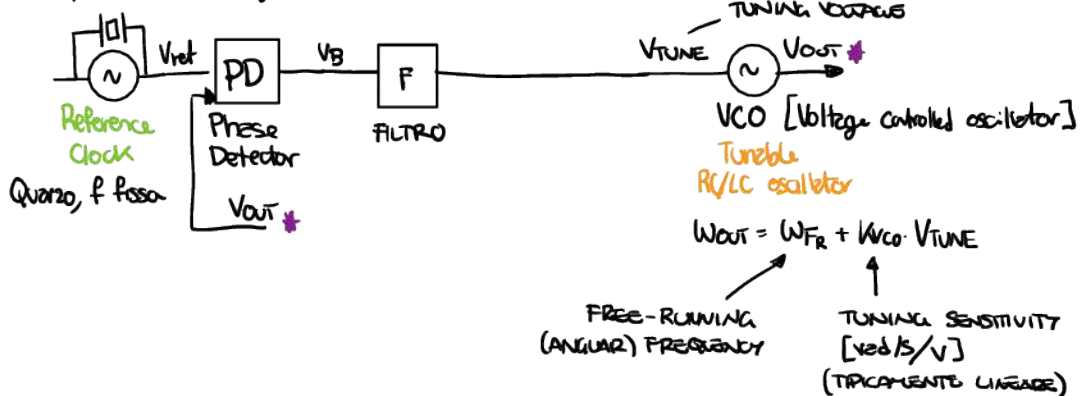
RC/LC OSCILLATORI

- POCO ACCURATA
- TUNABLE
- POSSONO OPERARE A GRANDI FREQUENZE (100GHz)

ALL'INTERNO DEL DISPOSITIVO.

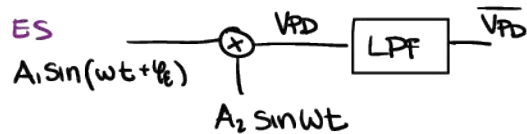
Per sincronizzare l'oscillatore a cristallo e quello LC/RC (cremo un Phase Locked Loop (PLL))

IL PROBLEMA È CHE ABBIANO UN QUARZO A f FISSA E UN TUNABLE LC/RC OSCILLATOR (il quale può essere integrato in un chip, il quarzo no)



VOGLIAMO CHE VCO ABBIA LA STESSA F DEL REFERENCE CLOCK

PHASE DETECTOR



Questo tipo di Phase Detector funziona con sinusoidi (segnali periodici)

SAPPRIAMO CHE

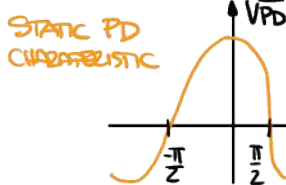
$$VPD = -\frac{A_1 A_2 \cos(2\omega t + \phi_e)}{2} + \frac{A_1 A_2 \cos(\phi_e)}{2}$$

FAST COMPONENT DC COMPONENT

QUINDI

$$\overline{VPD} \approx \frac{A_1 A_2 \cos \phi_e}{2} \quad \text{Se } BW_{LPF} \ll 2\omega$$

Soprattutto solo la componente continua, abbiamo creato un sistema che da in uscita un segnale proporzionale alla differenza di fase



$$\overline{VPD} = 0 \quad \text{Quando } \phi_e = \pm \frac{\pi}{2}$$

Se i 2 segnali sono in quadratura non ho errori

FACCIAMO UNA VARIAZIONE DI NOTAZIONE



La variazione di notazione sta nel dire

$$V_{ref} = A_r \cdot \sin \phi_{ref}$$

ABSOLUTE PHASE

$$\rightarrow (w_{ref} t + \phi_{ref})$$

EXCESS PHASE

E SCRIVIAMO ANCHE CHE

$$V_{out} = A_o \cos \phi_{out}$$

Perciò

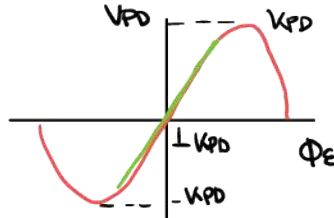
$$V_{PD} = \frac{A_r \cdot A_o}{2} \cdot \sin[\underbrace{\phi_{ref} - \phi_{out}}_{\Phi_e}] = K_{PD} \cdot \sin(\Phi_e)$$

K_{PD} [V]
(PD GAIN)

Φ_e PHASE ERROR

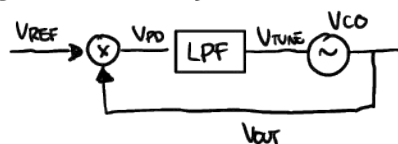
In uscita al filtro tensione quindi una sinusode che ha pendice K_{PD}

(RIVEDERE COSA HA FATTO QUI CHE ERA TROPPO VELOCE)



UNIAMO TUTTE LE COMPONENTI DEL PLL

Si chiama così perché l'errore è un phase detector (se la fase è la stessa sappiamo anche che la frequenza è la stessa)



- Phase detector: moltiplicatore + LPF ideale
- VCO: linear tuning

$$\dot{\Phi}_e = \dot{\Phi}_{ref} - \dot{\Phi}_{out}$$

DATO CHE $\dot{\Phi}_{ref} = \omega_{ref} \cdot t$ E CHE $\omega_{out} = \omega_{ref} + K_{VCO} V_{TUNE}$ E $\overline{V_{PD}} = K_{PD} \sin \Phi_e$

$$= \omega_{ref} - (\omega_{ref} + K_{VCO} V_{TUNE})$$

RISCRIVIAMO V_{TUNE} COME $K_{PD} \cdot \sin(\Phi_e)$, ALLORA

$$= \omega_{ref} - (\omega_{ref} + K_{VCO} K_{PD} \cdot \sin(\Phi_e))$$

$$\omega = [\text{rad/s}]$$

$$K = \left[\frac{\text{rad}}{\text{s}} \right] / V = \frac{\text{rad}}{\text{s}}$$

E POSSIAMO SCRIVERE L'EQUAZIONE DIFFERENZIALE COME

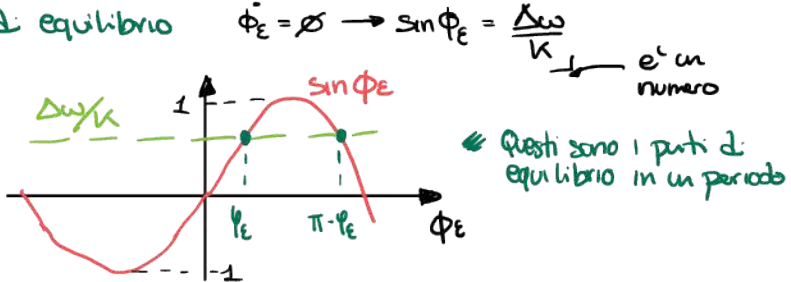
$$\dot{\Phi}_e = \Delta \omega - K \sin(\Phi_e)$$

FIRST ORDER PLL CHE DESCRIVE LA DIFFERENZA DI FASE TRA IN E OUT

È UN'EQUAZIONE DIFFERENZIALE NON LINEARE

1) Troviamo i punti d'equilibrio $\dot{\Phi}_E = \emptyset \rightarrow \sin \Phi_E = \frac{\Delta \omega}{K}$

Quindi se plotteremo



Sono stabili o no?

Per saperlo dobbiamo vedere il segno della derivata. Consideriamo 2 casi

SE $|\frac{\Delta \omega}{K}| < 1$ abbiamo 2 punti d'equilibrio, 2 altri non ne abbiamo nessuno

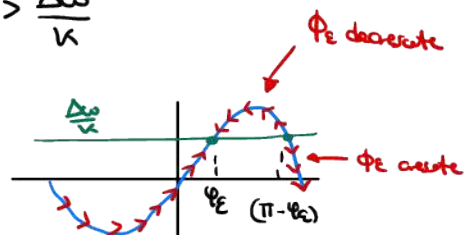
SE $\dot{\Phi}_E < 0 \rightarrow \Delta \omega - K \sin \Phi_E < 0 \rightarrow \sin \Phi_E > \frac{\Delta \omega}{K}$

[Φ_E è decrescente]

SE $\dot{\Phi}_E > 0$ quando $\sin \Phi_E < \frac{\Delta \omega}{K}$

[Φ_E crescente]

Notiamo che il primo punto è stabile (Φ_E) perché attira le frecce mentre il secondo no



$$\Phi_E(t) = \Phi_E \text{ PUNTO STABILE} \rightarrow \Phi_E = \arcsin\left(\frac{\Delta \omega}{K}\right)$$

STADY STATE PHASE ERROR DIPENDE DA HA f DI OFFSET TRA ref e la free-running freq. del VCO.

$$\Phi_E(t) = (\pi - \Phi_E) \text{ NON E UN PUNTO DI STABILITA'}$$

SE $\frac{\Delta \omega}{K} > 1$ non c'è incrocio tra $\Delta \omega/K$ e $\sin(\Phi_E)$ quindi non ho punti d'equilibrio $\rightarrow \dot{\Phi}_E > 0$ quindi l'errone di fase è sempre crescente e non cessa mai. Non abbiamo la condizione di lock.

ONIAMENTE c'è anche la soluzione $\dot{\Phi}_E = 0$ allora diciamo che il PLL è in "lock" state.

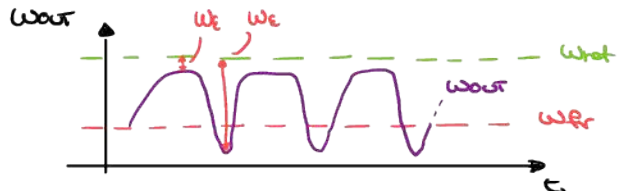
$$W_{\text{out}} = W_{\text{ref}}$$

PLL

$$\text{Se } \frac{\Delta\omega}{K} > 1 \rightarrow \dot{\Phi}_e > 0$$

$$W_{\text{out}} = W_{\text{ref}} + K \cdot \sin \Phi_e(t)$$

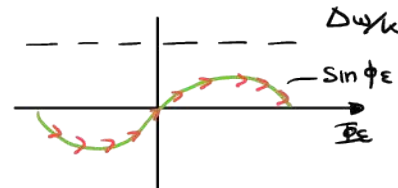
VUOL DIRE CHE L'ERRORE DI FREQUENZA SEMPRE



SAPPIAMO che

$$w_e = \dot{\Phi}_e$$

$$= W_{\text{ref}} - W_{\text{out}}$$



(Wout NON SARÀ MAI WREF XE NON SIAMO IN CONDIZIONI DI LOCK CON $\frac{\Delta\omega}{K} > 1$)

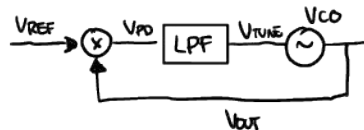
SAPPIAMO CHE PIÙ A Wref PIÙ LENTO VA IL SERVOSISTEMA MENTRE LONTANO DA Wref VA PIÙ VELOCE (Questo perché $w_{\text{out}} - [w_{\text{ref}} - \varepsilon] = \phi = \dot{\Phi}_e$ quindi vuol dire da refletta) Questo ci fa sì di capire che Wout non ha un comportamento sinusoidale ma è comunque periodico ■

$$\text{LOCK STATE} \Leftrightarrow \left| \frac{\Delta\omega}{K} \right| < 1 \Leftrightarrow -KL < \Delta\omega < KL$$

QUINDI LOCK RANGE

$$\boxed{\Delta\omega_L = K}$$

Per avere un'interpretazione intuitiva del lock range torniamo al sistema originale



$$W_{\text{out}} = W_{\text{ref}} + K_{\text{VCO}} V_{\text{tune}} = W_{\text{ref}}$$

ITPOSING EQUALITY AT STEADY STATE
(In Pratica imponiamo il lock)

Allora visto che abbiamo imposto il lock

$$V_{\text{tune}} = \frac{W_{\text{ref}} - W_{\text{ref}}}{K_{\text{VCO}}} = \frac{\Delta\omega}{K_{\text{VCO}}}$$

Capiamo quindi che per essere in lock dovo essere in questa condizione

Poi

$$\overline{V_{\text{pd}}} = K_{\text{PD}} \cdot \sin(\Phi_e) = \frac{\Delta\omega}{K_{\text{VCO}}} \rightarrow \sin \Phi_e = \frac{\Delta\omega}{K_{\text{VCO}} \cdot K_{\text{PD}}} \underbrace{K}_{K}$$

$$\text{E QUINDI } \sin \Phi_E = \Delta \omega / K$$

Senza fare qualsiasi calcolo con equazioni differenziali siamo arrivati comunque alla soluzione

Inoltre seppiamo che per avere il lock $V_{PD} = \Delta \omega / K v_{CO}$ ce ne ricaviamo che il Phase detector ha un range dinamico limitato \rightarrow limiti nel lock range

Inoltre nella rete ci questa eq è un'approssimazione $\omega_{out} = \omega_{fr} + K v_{CO} \cdot V_{tune}$
 infatti nella rete ci sono v_{CO} limitati nel lock range. (infatti dopo una certa tensione si ferma)

PERTURBATION ANALYSIS (basata sulla linearizzazione)

Linearizziamo l'eq caratteristica del PLL

$$\dot{\Phi}_E = \Delta \omega - K \sin(\Phi_E)$$

E ipotizziamo

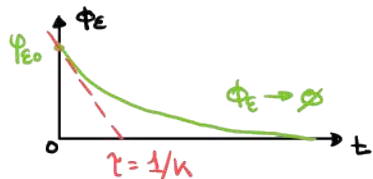
- $|\frac{\Delta \omega}{K}| < 1$ in modo che esista un polo di equilibrio stabile
- $\dot{\Phi}_E \ll 1_{\text{rad}}$ piccole perturbazioni (dobbiamo considerare le variazioni di Φ_E)

Allora se $\Delta \omega = 0$ la linearizzazione è

$$\dot{\Phi}_E = -K \dot{\Phi}_E \quad \text{QUINDI} \quad \dot{\Phi}_E(t) = \Phi_{E0} e^{-kt}$$

IL COMPORTAMENTO DELLEZZONE È PESCATO

$T = 1/K$ è la costante di tempo del sistema



TIPICAMENTE NON CI PIACCIONO LE EQ. DIFF, NORMALMENTE USIAMO LAPLACE

$$\dot{\Phi}_E = -K \Phi_E \xrightarrow{\mathcal{L}} S \cdot \Phi_E = -K \Phi_E = S = -K$$

Notiziamo che abbiamo un polo a $S = -K$.

CON LAPLACE VOGLIAMO ANCHE RICAVARE UNA FDT TRA INPUT E OUTPUT DEL PLL

$$\Phi_{out} \text{ vs. } \Phi_{ref}$$

AUDRA PARTIAMO DAWA DERIVATA DI Φ_{out}

$$\begin{aligned} W_{out} &= W_{fr} + K_{vco} V_{TUNE}(t) \\ &= W_{fr} + \underbrace{K_{vco} V_{TUNE,0}}_{\text{ABSOLUTE PHASE}} + K_{vco} \cdot \dot{V}_{TUNE}(t) \\ &\Rightarrow W_{out,0} + K_{vco} \cdot \dot{V}_{TUNE}(t) \\ &\stackrel{*}{=} W_{out,0} + K_{vco} K_{PD} [\Phi_{ref} - \Phi_{out}] \end{aligned}$$

VOGLIAMO SEPARARE LE PERTURBAZIONI DAL PUNTO DI BIAS COSTANTE (POSSIAMO VEDERE L'AMMAGGIANO COME UN ANALISI A PICCOLI SEGNAI, DICE W_{OUT,0} È LA PARTE IN COSTANZA CHE NON CI INTERESSA)

$$\Phi_{out} = \int_{-\infty}^t w_{out}(t') dt' = W_{out,0} \cdot t + \Phi_{out}(t)$$

↑ EXCESS PHASE

NON CI INTERESSA W_{OUT,0} XÈ È LA "COMPONENTE DC" QUILA SENZA VARIAZIONI, ALLORA PRENDIAMO SOLO LA EXCESS PHASE

* QUINDI SE ADESSO VOGLIO SCRIVERE $\Phi_{out}(t)$ [QUINDI SOLO LA EXCESS PHASE]

$$\begin{aligned} \Phi_{out}(t) &= \underbrace{K_{vco} \cdot K_{PD}}_{\text{K}} [\Phi_{ref}(t) - \Phi_{out}(t)]^* \\ &= K_{vco} \cdot K_{PD} [\Phi_{ref}(t) - \Phi_{out}(t)] \end{aligned}$$

SE APPROXIMAMO LAPLACE OTTIENEMO

$$s \Phi_{out}(s) = K [\Phi_{ref}(s) - \Phi_{out}(s)]$$

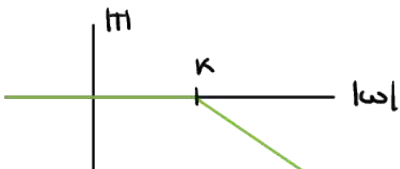
E QUINDI

$$\frac{\Phi_{out}}{\Phi_{ref}} = \frac{K}{s + K} = T(s)$$

(dove credo che queste
pesi siano le excess phases)

QUINDI

$$T(s) = \frac{K}{s + K}$$



ED ANCHE CHE

$$T(s) = \frac{\Phi_{out}}{\Phi_{ref}} = \frac{s \cdot \Phi_{out}}{s \cdot \Phi_{ref}} = \frac{W_{out}}{W_{ref}}$$

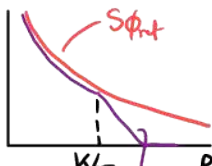
L'interpretazione è che in questo PLL la VCO "segue" la fase e la frequenza del riferimento clock con $W_{GN} = K$

(SIAMO ARRIVATI ALLO STESSO PUNTO DI PRIMA SOLO CON LAPLACE)

Si capisce quindi che solo piccole variazioni di Φ_{out} sono seguite dal VCO

Se supponiamo lo spettro di Φ_{out}

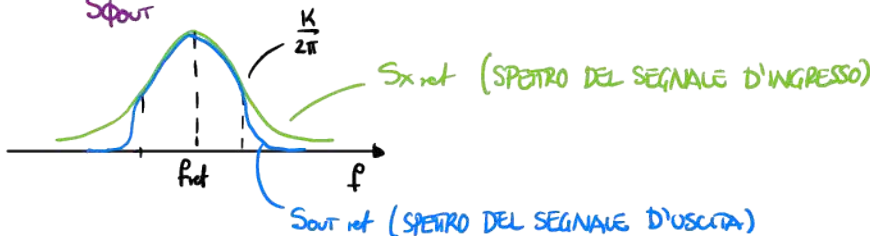
S_Φ



$$S_{\phi_{out}} = |T(f)|^2 \cdot S_{\phi_{in}}$$

LOW PASS FILTERING OF INPUT PHASE NOISE

$$h(f) \approx \frac{S_{\phi_{SSB}}}{2}$$



Perciò il PLL fa da passabanda per il segnale d'ingresso

E' interessante che con un semplice filtro passa basso e una retroazione riusciamo a creare un filtro passabanda attorno alla frequenza di riferimento

COME SCEGLIAMO LA BANDA DEL PLL SE ABBIANO UNA SORGENTE MOLTO PUNTA?

La scegliamo molto ampia così che possiamo seguire meglio i comportamenti della sorgente. Al contrario se il segnale della sorgente è molto sparso noi prendiamo una banda molto stretta in modo da eliminare tutte le spurie.

PIÙ ATTENZIONE più faccio stretta la banda più riduco il range del PLL.

MODELLO EQUIVALENTE DELLA LINEARIZZAZIONE DEL PLL

- VCO : Abbiamo detto che l'excess phase è

$$\Phi_{out}(t) = \int_{-\infty}^t K_{VCO} \cdot V_{TUNE}(t') dt'$$

VARIAZIONI DI V_{TUNE}

FACCIAVMO LAPLACE E QUINDI OTTIENIAMO

$$\Phi_{out}(s) = \frac{K_{VCO}}{s} \cdot V_{TUNE}(s)$$

Il modello lineare del VCO linearizzato quindi è

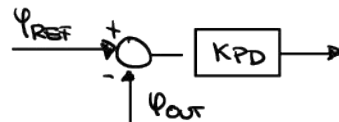


ATTENZIONE!!
IN INGRESSO HO UNA
TENSIONE E IN USCITA HO
UNA FASE

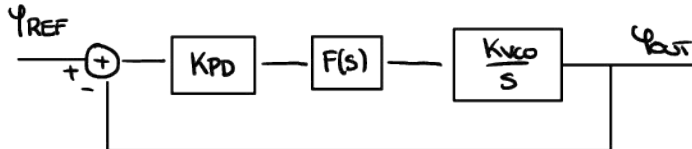
HA IL COMPORTAMENTO DI UN INTEGRATORIS SULLA FASE

• PHASE DETECTOR

$$V_{PD} = K_{PD} \cdot \underbrace{[\phi_{ref} - \phi_{out}]}_{de}$$



IL TOTALE MODELLO EQUIVALENTE DEL PLL E' :



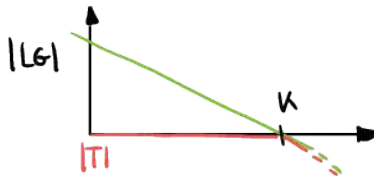
LINEAR CONTINUOUS-TIME MODEL OF A PLL, Ci permette di studiare senza di effettuare conti le funzioni di trasferimento.

INFATTI

NEL CASO DI PLL DEL PRIMO ORDINE $F(s) = 1$ (Quelli che abbiamo studiato finora)

$$LG(s) = K_{PD} \cdot F(s) \cdot \frac{K_{VCO}}{s} = \frac{K}{s} \quad (\text{Loop Gain})$$

Quindi:

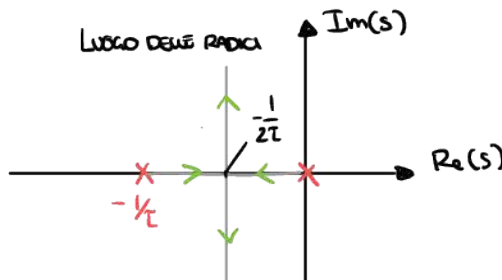
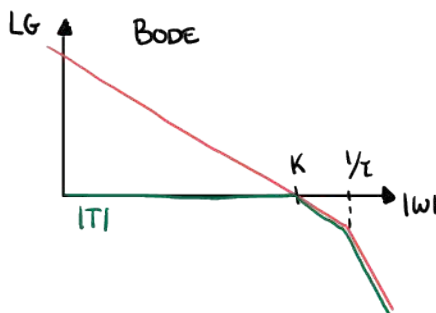


DOBBIANO RICORDARE LE IPOTESI CON CUI SIANO ARRIVATI AL MODELLO DI LAPLACE

PLL DEL SECONDO ORDINE

$$F(s) = \frac{1}{1+s\tau} \quad \text{QUINDI} \rightarrow$$

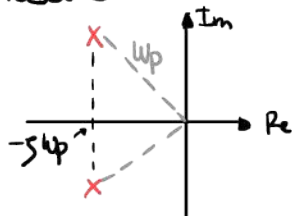
$$LG(s) = \frac{K}{s} \cdot \frac{1}{\frac{1}{1+s\tau}} = \frac{K}{s} \cdot \frac{1}{1+s\tau} \quad \text{FILTO}$$



Come possiamo calcolare la FDT in -out in modo analitico?

$$T(s) = \frac{\Phi_{out}}{\Phi_{ref}} = \frac{LG(s)}{1 + LG(s)} = \frac{1}{s^2 \frac{\tau}{K} + s \frac{1}{K} + 1} = \frac{1}{\frac{s^2}{w_p^2} + \frac{2s}{w_p} + 1}$$

Il luogo delle radici è



$$\zeta = -\frac{Re(p)}{2|\phi|} \quad \text{FATORE DI SOVRACCARGA}$$

OBTENIAMO CHE

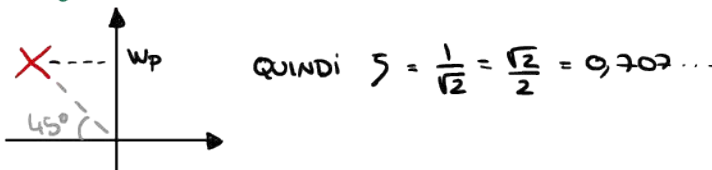
$$w_p = \sqrt{K\tau}$$

$$\text{QUINDI } \zeta = \frac{1}{2\sqrt{K\tau}}$$

$$\text{E QUINDI i 2 poli sono } s_{1,2} = -s w_p \pm j \sqrt{1 - \zeta^2} \cdot w_p$$

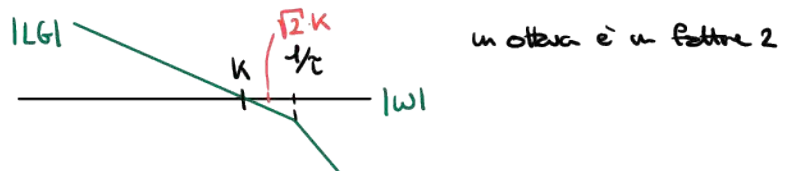
Scegliendo τ e K possiamo settare w_p e ζ e quindi spostano i poli.

Tipicamente vogliamo i poli del loop chiuso a 45° nel piano di Gauss (perché è la posizione del filtro di Butterworth) e il miglior trade-off tra sovraccarica e tempo di assestamento.



$$\text{E QUINDI } K\tau = \frac{1}{2} \rightarrow K = \frac{1}{2}\tau$$

e questo fa sì che il crociera del loop giri L_1 sia un ottava prima del secondo polo ($1/\tau$)



LA FREQUENZA NATURALE DEI POLI A CLOSED LOOP È

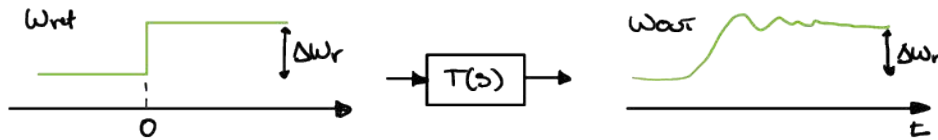
$$w_p = \sqrt{\frac{K}{\tau}} = \sqrt{\frac{1}{2\tau^2}} = \frac{1}{\sqrt{2}} \cdot \frac{1}{\tau} = \sqrt{2} \cdot K$$

Nella realtà la banda del sistema chiuso non è K ma bensì $\sqrt{2}K$.

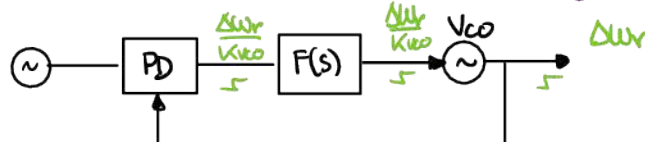
Il margine di fase qui è tipo $63,4^\circ$

Static phase error of a PI

In tutti i loop di controllo possono avere un errore di controllo statico, in particolare è l'errore residuo in steady state tra ϕ_{out} e ϕ_{ref}
 (APPROSSIMAMO UNA PERTURBAZIONE IN FREQUENZA DELLA SINUSOIDA)



Quel è il valore di ϕ_E al steady state dato in ingresso questo gradino?



VARIAZIONI NEL STEADY STATE

Seppiamo che se l'output vera di Δwr allora per farla prima del VCO dovrà avere $\Delta wr/K_{VCO}$, poi seppiamo che $F(s)$ ha guadagno 1 perché ci sarà zero prima di $F(s)$ una variazione di $\Delta wr/K_{VCO}$.

Seppiamo che il PD è caratterizzato così

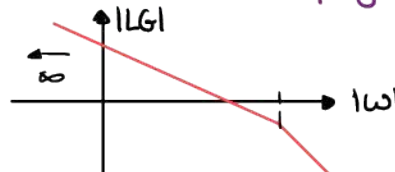
$$\phi_E = \frac{\Delta wr/K_{VCO}}{K_{PD}} = \frac{\Delta wr}{K}$$



ABBIAMO TROVATO
INTUITIVAMENTE L'ERRORE DI FASE STATICO

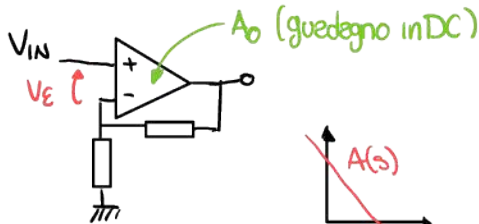
Perché il valore statico di ϕ_E non è nullo sebbene il loop giri in DC e $\omega \rightarrow 0$?

$$LG = \frac{1}{s} \cdot \frac{1}{1+sT}$$



(MATEMATICAMENTE)

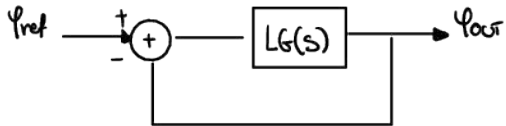
Se prendiamo l'analogia circuituale



$$V_E = \frac{V_{out}}{A_0} \rightarrow \phi$$

Notiamo quindi che abbiamo comportamenti diversi VE tende a 0 mentre Φ_E no!!

Questo accade perché:



$$\lim_{t \rightarrow \infty} \Phi_E(t) = \lim_{s \rightarrow 0} s \cdot \Phi_E(s)$$

STATIC PHASE ERROR

DIMOSTRAZIONE CHE LO STATIC PHASE
ERROR È $\Delta Wr/K$ DOPO UNA
PERTURBAZIONE.

E

$$\frac{\Phi_E(s)}{\Phi_{ref}(s)} = \frac{1}{1 + LG(s)} = 1 - T(s)$$

$$\text{SAPPIAMO POI CHE } LG(s) = \frac{1}{s} \cdot \frac{1}{1+sT} \quad \text{Allora:}$$

SAPPIAMO ANCHE CHE

$$W_{ret}(t) = \Delta Wr \cdot u(t) \quad \text{CON } u(t) \text{ gradino unitario}$$

$$\text{la sua trasformata di Fourier sarà } \Omega_{ret}(s) = \frac{\Delta Wr}{s}$$

è quindi otteniamo

$$\Phi_{ret}(s) = \frac{\Omega_{ret}(s)}{s} = \frac{\Delta Wr}{s^2}$$

Quando mettiamo
un gradino in
frequenza otteniamo
una rampa in
fase

Perciò

$$\Phi_E(s) = \frac{\Delta Wr}{s^2} \cdot \frac{s(1+sT)}{s(1+sT)+K}$$

è calcolando il limite per sapere l'errore statico

$$\lim_{s \rightarrow 0} s \cdot \Phi_E(s) = \lim_{s \rightarrow 0} s \cdot \frac{\Delta Wr}{s^2} \cdot \frac{s(1+sT)}{s(1+sT)+K} = \frac{\Delta Wr}{K}$$

QUESTO È LO STATIC PHASE ERROR DOPO LA PERTURBAZIONE

L'ORDINE DELLA PERTURBAZIONE È QUELLO CHE FA LA DIFFERENZA, INFATTI NOI IMPONDIAMO UN GRADINO IN FREQUENZA MA QUESTO DIVENTA UNA RAMPÀ IN FASE E QUESTO FA SÌ CHE L'ERRORE STATICO NON SIA NULO.
SE AVESSEMOSO APPLICATO UN GRADINO DI FASE (E NON DI FREQUENZA) ALLORA AVRIAMO UNO STATIC PHASE ERROR NULO.

La stessa cosa accade con il circuito dell'amplificatore, infatti vice di parco mettiamo un ingresso di tensio a gradino e avremo l'uscita / feedback in tensione.

COME POSSIAMO CREARE UN PLL CON ERRORE STATICO 0 E NUOVO DOPO UN GRADINO DI FREQUENZA?

1) Fare un Frequency detector al posto del Phase detector non funziona perché il VCO non dovrebbe più essere un integrale parco lavorare tutto in frequenza e questo significa che il guadagno non va a +∞ e quindi non abbiano mai Φ_{ret} nullo

Soluzione giusta

RICORDIAMO $\lim_{t \rightarrow \infty} \Phi_E(t) = \lim_{s \rightarrow 0} s \cdot \frac{\Delta}{s^n} \cdot \frac{s^n \cdot H(s)}{s^n \cdot H(s) + K}$

E $LG(s) = \frac{K}{s^n} \cdot \frac{1}{H(s)}$

$\Phi_{\text{ret}} = \frac{1}{1+LG}$

Se LG ha n integratori e Φ_{ret} è di $m-h$ ordine
ALLORA IL LIMITE SARÀ COSÌ FATTO

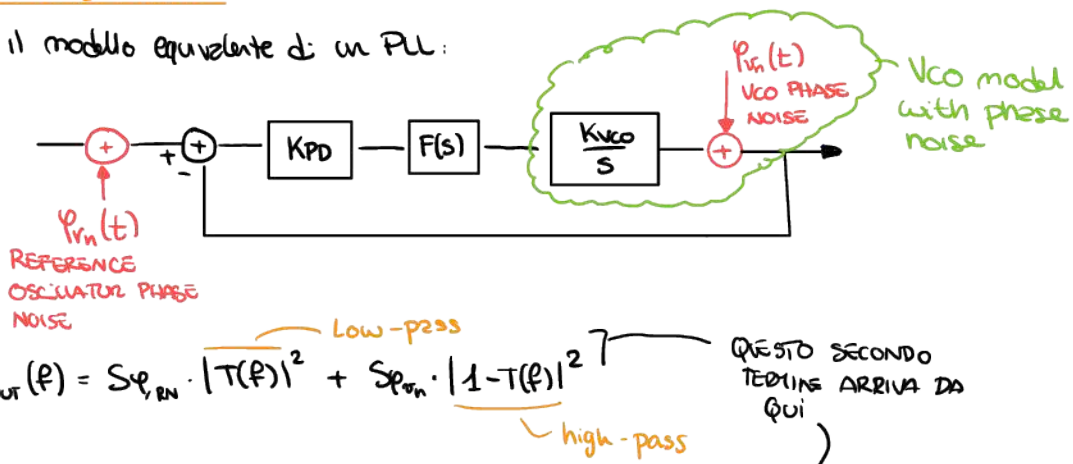
$$\lim_{s \rightarrow 0} \frac{\Delta}{K} \cdot s^{(n+1)-m} = \begin{cases} \Delta/K & \text{se } n=m-1 \\ \emptyset & \text{se } n > m-1 \quad n \geq m \end{cases}$$

Lo static phase error è \emptyset se l'ordine degli integratori di $LG(s)$ è uguale all'ordine delle perturbazioni dell'input.

DEFINIZIONE IL TIPO DI UN SISTEMA RETROAZIONATO COME L'ORDINE DEGLI INTEGRATORI DI LG.

PHASE NOISE IN PLL

Dato il modello equivalente di un PLL:



$$\text{DA } V_{\text{in}} \text{ a } V_{\text{out}} \text{ ABBIANO L'FDT} \rightarrow \frac{1}{1+LG} = 1 - T(s) \quad \leftarrow$$

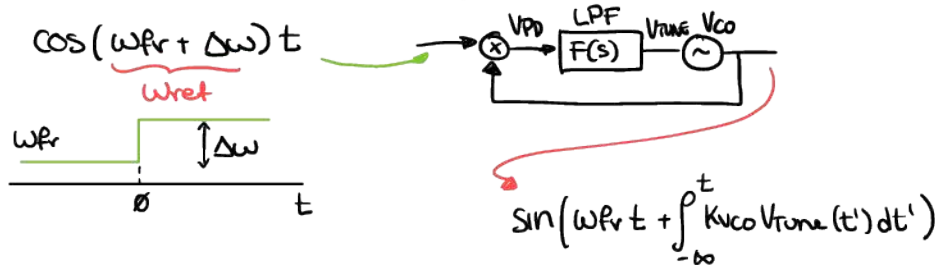
I 2 SPETTI LI SOMMIAMO PERCHÉ I 2 ERRORI DI FASE SONO INCOERENTI.

INTUITIVAMENTE:

- NELLA BANDA DEL PLL → IL VCO segue la phase noise del reference clock
- FUORI DALLA BANDA DEL PLL → IL VCO segue la sua phase noise

CAPTURE RANGE

Se consideriamo una perturbazione della frequenza di riferimento



se il gradino è molto veloce possiamo non considerare la parte integrale.

Riscriviamo V_{PD}

$$K_{\text{PD}} \cdot \sin[\Delta\omega t - \alpha t]$$

termine da non considerare

Allora la tensione V_{tune} sarà

$$V_{\text{tune}} \approx K_{\text{PD}} \cdot |F(\Delta\omega)| \cdot \sin[\Delta\omega \cdot t + \angle F(\Delta\omega)]$$

CAPIAMO CHE (VISTO CHE C'È IL SENO)

$$|V_{\text{tune}}| \leq K_{\text{PD}} \cdot |F(\Delta\omega)|$$

INOLTRE VISTO CHE $V_{\text{tune}} = \Delta\omega/K_{\text{vo}}$ ALLORA

$$\left| \frac{\Delta\omega}{K_{\text{vo}}} \right| \leq K_{\text{PD}} \cdot |F(\Delta\omega)|$$

E QUINDI

$$\Delta\omega_c = K_{\text{vo}} \cdot K_{\text{PD}} \cdot |F(\Delta\omega)|$$

QUESTO È CHIAMATO
CAPTURE OR HOLD RANGE

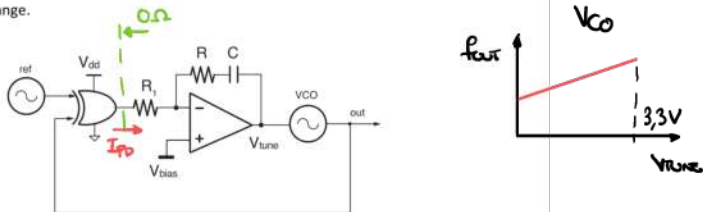
Nella discussione del lock range ci siamo mossi su punti statici per vedere dove il PLL rimaneva in lock, mentre qui utilizziamo una variazione d'ingresso. Si nota che se $\Delta\omega$ è troppo grande il VCO non riesce a creare una tensione proporzionale ad una variazione grande da opporsi.

16.03.2021

3h

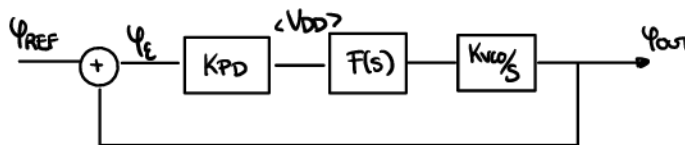
Esercitazione + Teoria

- T2.1 Regarding the PLL in figure, assume that $V_{DD} = 3.3 \text{ V}$ and the frequency of the square-wave reference signal is 200 kHz, let the output impedance of the XOR gate be equal to zero, assume the operational amplifier to be an ideal one, and the VCO with linear tuning characteristic the 0-3.3 V tuning voltage range.

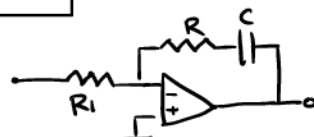


- Setting $V_{bias} = 1.65 \text{ V}$, draw the equivalent phase model and set the parameter R_1, R, C, K_{VCO} for
 - a maximum output current of the XOR gate equal to 1 mA,
 - a tuning range $\Delta f_{VCO} = 50 \text{ kHz}$,
 - a phase margin of 60°,
 - a crossover frequency of the loop gain equal to 1 kHz.
- Find the time shift at steady state ($t_c^{(0)}$) between reference and VCO signals as a function of V_{bias} .
- Assuming $V_{bias} = 1.65 \text{ V}$ and considering a voltage offset (V_o) of 10 mV and a bias current (I_b) of 10 μA for the operational amplifier, evaluate the effect on the loop. What is the time shift between reference and VCO?

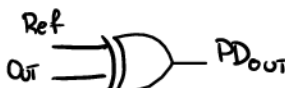
a) IL MODELLO EQUIVALENTE È (SAPENDO CHE L'XOR FUNZIONA DA PD)



$$F(s) = \frac{R + \frac{1}{sC}}{R_1} = \frac{1 + SRC}{SR_1C}$$

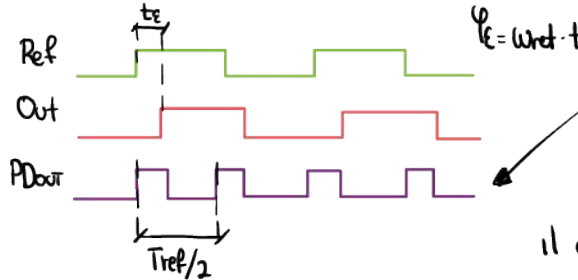


SAPPiamo CHE L'XOR FUNZIONA DA PD PERCHÉ



Ref	Out	PD _{out}
0	0	0
0	1	1
1	0	1
1	1	0

Supponiamo un ritardo tra ref e out



Vogliamo trovare la media di questo segnale, è quello che fa il filtro <VPD>, la quale è calcolabile come.

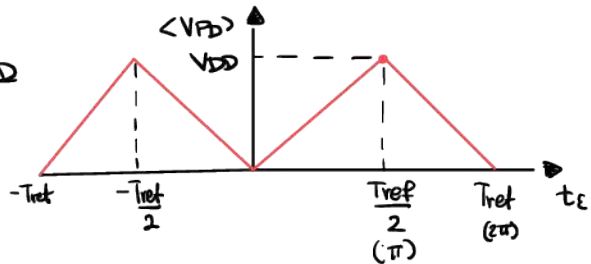
$$\text{DUTY CYCLE} \\ \langle VPD \rangle = D \cdot VDD$$

$$\text{Il duty cycle è scrivibile come } D = \frac{t_E}{Tref/2}$$

Quindi

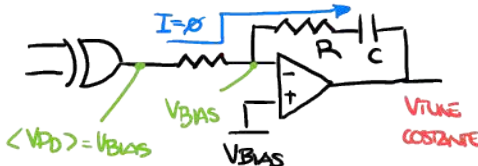
$$\langle VPD \rangle = \frac{t_E}{Tref/2} = \frac{2t_E \cdot VDD}{Tref}$$

Non ottengono un coseno come nell'amplificatore analogico ma ottengono questa forma



Per ora non abbiamo considerato VBIAS perché non serviva, tuttavia adesso dobbiamo considerare il punto di Bias.

Dobbiamo considerare il carico virtuale e sapere che quando il PU è in lock dobbiamo avere VLINE costante e questo vuol dire che la corrente che passa su RC deve essere 0.



Quindi visto che

$$VBIAS = VDD/2 \quad \text{equivalente quando sono a 90°}$$

$$\text{Allora } \langle VPD \rangle = VDD/2$$

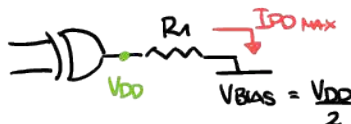
Dove essere per forza visto che $I = 0$

Allora

$$KPD = \frac{\langle VPD \rangle}{\phi_E} = \frac{VDD}{\pi}$$

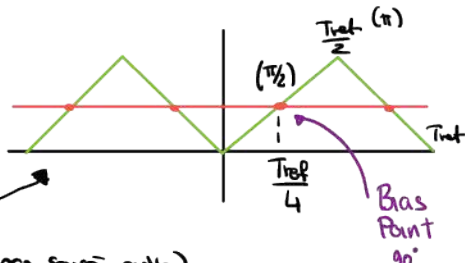
Queste dovrebbe essere la pendenza della curva.

- i) $IPD_{MAX} = 1mA$ (All'inizio la corrente non sarà nulla)



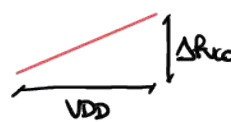
$$VPD_{MAX} = VDD$$

$$IPD_{MAX} = \frac{VDD - VDD/2}{R_1} \rightarrow R_1 = 1,65 K\Omega$$



11)

$$\Delta f_{VCO} = 50 \text{ kHz}$$



$$K_{VCO} \triangleq \frac{\partial \omega_{out}}{\partial V_{TUNE}} \rightarrow \text{definizione}$$

$$\text{Perciò } K_{VCO} = \frac{2\pi \cdot 50 \text{ kHz}}{3,3} = 95,2 \text{ rad/s}$$

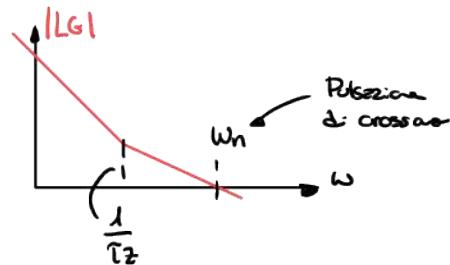
$$(iii) \quad \varphi_m = 60^\circ \quad f = 1 \text{ kHz}$$

$$LG(s) = K_{PD} \frac{K_{VCO}}{s} F(s) = K_{PD} \cdot K_{VCO} \cdot \frac{1}{s} \cdot \frac{1 + sT_z}{sT_0}$$

è un type 2 PLL xè ha 2 integratori, quindi:

$$|LG(j\omega_n)| = 1;$$

$$\frac{K_{PD} \cdot K_{VCO}}{\omega_n^2 \cdot T_0} \cdot \sqrt{1 + \omega_n^2 T_z^2} = 1 \quad *$$



Noi non sappiamo i valori di R e C
quindi non sappiamo T_0 e T_z

Il margine di fase è

$$\varphi_m = 180^\circ - 90^\circ - 90^\circ + \arctan\left(\frac{\omega_n}{\omega_z}\right) = 60^\circ$$

Dati da: 2 poli

$$\text{Perciò } \omega_z = \frac{\omega_n}{\tan(60^\circ)} = \frac{\omega_n}{\sqrt{3}}$$

Non sappiamo né ω_z né ω_n . Possiamo fare un'approssimazione asintotica su questa formula * (prestate attenzione l'1 sotto la radice)

Ottene fare così

$$\frac{K_{PD} \cdot K_{VCO}}{\omega_n^2 \cdot T_0} \cdot \sqrt{1 + \omega_n^2 T_z^2} = 1 \rightarrow \omega_z = \frac{1}{T_z} \quad \text{e} \quad \omega_z = \frac{\omega_n}{\sqrt{3}} \quad \text{perciò}$$

$$T_0 = \frac{K_{PD} \cdot K_{VCO}}{\omega_n^2} \cdot \sqrt{1 + \omega_n^2 \cdot \left(\frac{\sqrt{3}}{\omega_n}\right)^2} = 5,67 \text{ ms}$$

Da qui posso ricavare C

$$C = \frac{R_o}{R_i} = \frac{5,07 \text{ mS}}{1,65 \text{ k}\Omega} = 3,07 \mu\text{F} \quad (\text{con approssimazione asintotica vale } 3,66 \mu\text{F})$$

e poi ricaviamo R

$$R = \frac{C_2}{C} = \frac{1}{\frac{W_n \cdot C}{R_3}} = 89,8 \Omega \quad (\text{con l'approssimazione asintotica vale } 103,7 \Omega)$$

b) Static time error t_{ϵ} vs. V_{bias} .

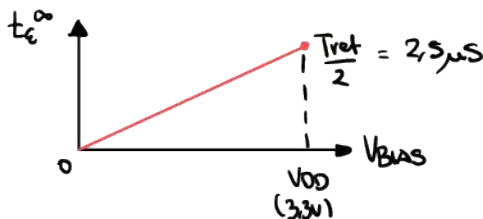
Abbiamo già detto che a steady state dobbiamo che

$$\langle V_{PD} \rangle = V_{DD} \cdot \frac{t_{\epsilon}}{T_{ref}/2} = V_{BIAS}$$

AT STEADY STATE

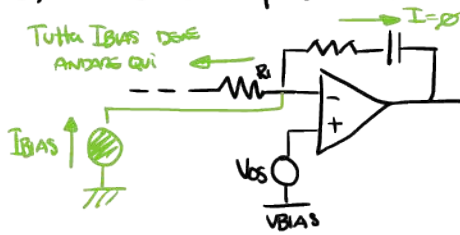
Perciò t_{ϵ} al steady state sarà:

$$t_{\epsilon}^{\infty} = \frac{V_{BIAS}}{V_{DD}} \cdot \frac{T_{ref}}{2}$$



c) Non lo risolve perché il metodo è ugualmente a quello nel punto b

Tutta I_{BIAS} deve andare qui $\rightarrow I=0 \rightarrow$ altrimenti non saremo in load



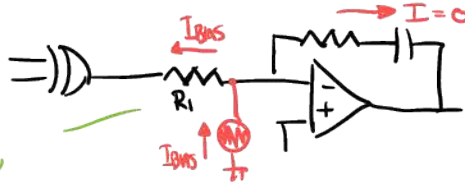
$t_{\epsilon}^{\infty} = ?$ Usiamo la sovrapposizione degli effetti.

Perciò

$$\Delta t_{\epsilon_1}^{\infty} = \frac{V_{OS}}{V_{DD}/2} \cdot \frac{T_{ref}}{2}$$

dato 1 dato da V_{OS}
è solo la variazione di t_{ϵ}

Tutta la corrente bias che va in R_I crea una variazione di V_{PD}



ho una
cattura su
 R_I

$$\langle V_{PD} \rangle = -I_{BIAS} \cdot R_I$$

$$\Delta t_{\epsilon_2}^{\infty} = -\frac{I_{BIAS} \cdot R_I}{V_{DD}/2} \cdot \frac{T_{ref}}{2}$$

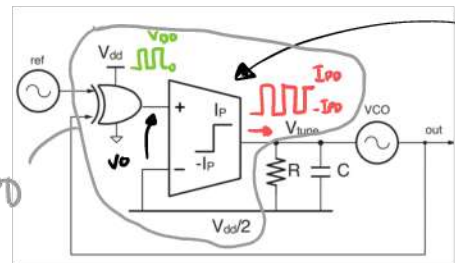
Dato 2 dato da I_{BIAS}
è solo la variazione di t_{ϵ}

$$t_{\epsilon} = t_{\epsilon}^{\infty} + \Delta t_{\epsilon_1}^{\infty} + \Delta t_{\epsilon_2}^{\infty} \quad (\text{in teoria})$$

[in tutto questo punto c dovrebbe essere V_{CC}
il denominatore e non $V_{DD}/2$.]

ESERCIZIO N2

Molto simile a quello precedente solo che il filtro è fatto con una charge pump.



$$\left. \begin{array}{l} \text{SE } V_0 > 0 \quad I_{PD} = +I_P \\ \text{SE } V_0 < 0 \quad I_{PD} = -I_P \end{array} \right\} \text{Charge pump}$$

Con la charge pump possiamo fare un integratore senza usare un integratore

Il modello equivalente del Phase Detector

Ret

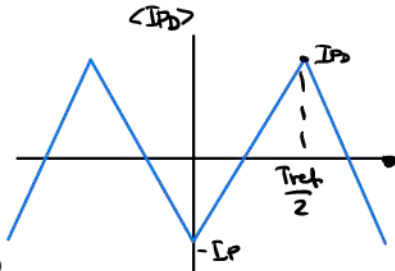


Out

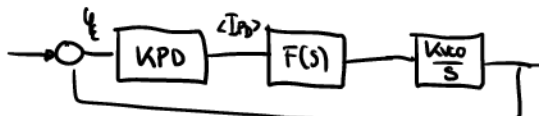


$$\langle I_{PD} \rangle = 2 I_P \cdot D$$

$$= 2 I_P \cdot t_p / T_{ref}/2$$



Perciò



$$K_{PD} = \frac{\langle I_{PD} \rangle}{V_{CE}} = \frac{2 I_P}{\pi}$$

$$\text{Visto che } \langle I_{PD} \rangle = 2 I_P \cdot \frac{t_p}{T_{ref}}$$

Si ottiene che

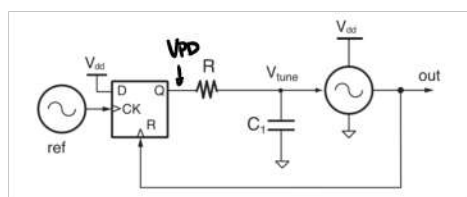
$$F(s) = R // \frac{1}{sC} = \frac{R}{1+sRC} \quad \text{con } T_p = RC$$

TIPO 1

(il punto di steady è $\geq 90^\circ$ perché $\geq 90^\circ$ $I_{PD} = 0$ quindi non c'è carica su R e al V_{CO} c'è un $V_{CO}/2$)

Poi CONTINUARE NOI L'ES...

ES 3

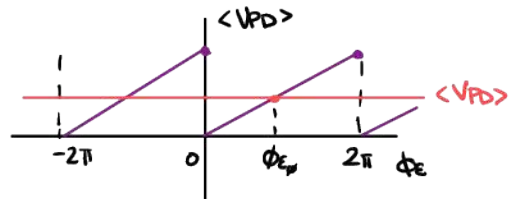
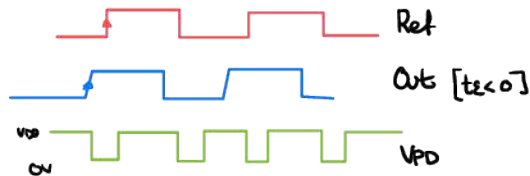


Abbiamo un diverso phase detector

Flip Flop Tipo D

$$\begin{array}{ll} CK \uparrow & Q \rightarrow D = '1' \\ R \uparrow & Q \rightarrow 0 \end{array}$$

negli altri casi Q è mantenuto



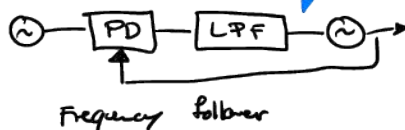
$$\text{La perdita } K_{PD} = VDD/2\pi$$

Per il punto di steady vogliamo $W_{out} = W_{ref}$. Nel punto steady il condensatore deve essere aperto e quindi $VPD = V_{IN,PD}$ E visto che sappiamo VPD sappiamo il valore medio e otteniamo il phase error. (nella lezione aveva scritto $V_{IN,PD}$)

E Poi FINIRE L'ESERCIZIO!

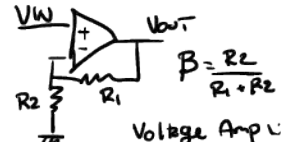
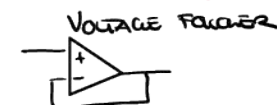
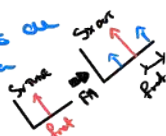
INFORMAZIONI TEORICHE

Integer-N PLLs



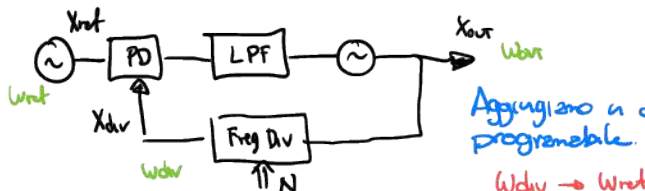
$W_{out} \rightarrow W_{ref}$
a steady state

Abbiamo un ripetuto dato della filiazione della synth (on-off) del PD (questo c'è in tutti i PLL nel caso specifico degli integrati PLL) questo ripete zero e mezzo modulazione di $V_{IN,PD}$ fanno sì che ci siano 2 toni sparsi in uscita



$$\frac{V_{out}}{V_{in}} = \frac{1}{B}$$

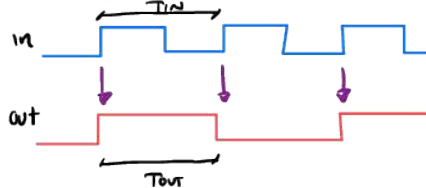
Se volessimo fare un Frequency multiplier dovremo fare



Aggiungono in divisione di Frequenza
programmabile.

$$W_{div} \rightarrow W_{ref}$$

Frequency divider con $N=2$



$$T_{out} = 2T_{in}$$

Per farlo ho fatto un ottatore modulo 2 e prendo solo l'MSB.

In generale se perdo in N-cicli come ho divisione nel feedback loop altra avrò che

$$W_{div} = \frac{W_{out}}{N} \quad \text{e quindi} \quad T_{div} = N \cdot T_{out}$$

Prima dobbiamo detto che a veloce statico $W_{div} \rightarrow W_{ref}$ quindi questo

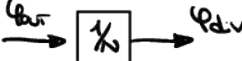
wout dire ch $\omega_{out} \rightarrow N \cdot \omega_{ref}$

il modello equivalente del sistema sarà quindi:

EQ. MODEL DEL FREQUENCY DIVIDER



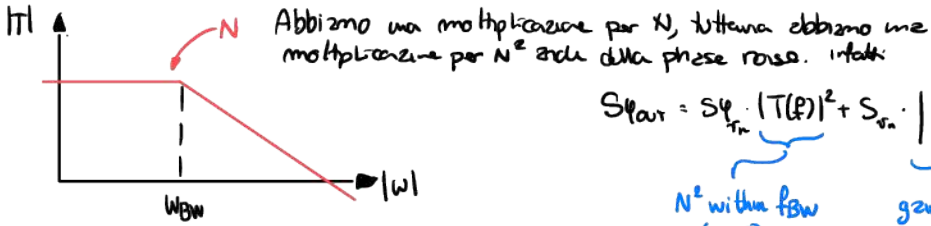
Perciò il modello eq sarà



IL MODELLO TOTALE DI UN INTEGRER PLL È



$$LG(s) = K_{PD} \cdot \frac{K_{voce}}{s} \cdot F(s) \cdot \frac{1}{N}$$



N^2 without fbw
(LPF)

gain 1
outside fbw
(HPF)

int-N PLL's amplify the reference noise in band by N^2

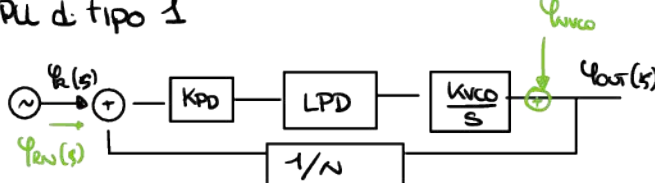
18.03.2021

ESERCITAZIONE

3h

TEORIA: PLL DI TIPO 2

• Problemi dei PLL di tipo 1



$$G_{loop} = K_{PD} \cdot \frac{1}{1 + S T_p} \cdot \frac{K_{voce}}{s} \cdot \frac{1}{N}$$

è chiamato tipo 1 x che ho solo 1 polo nell'origine

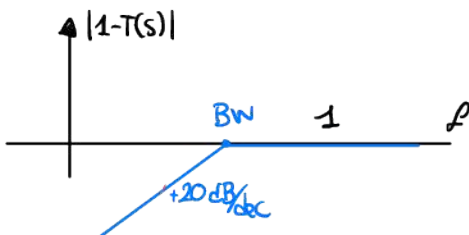
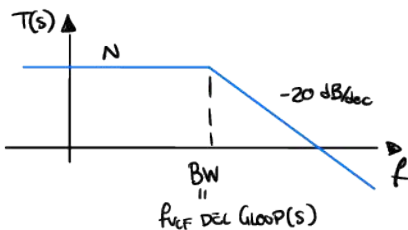
→ RUMORE

PROBLEMI

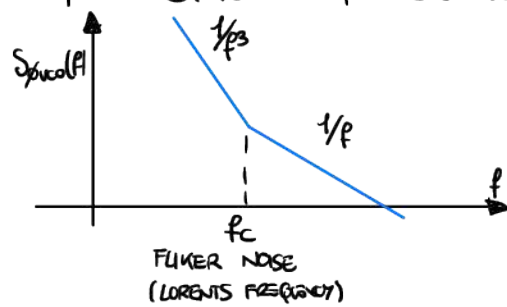
1) LIMITED VCO-NOISE FILTERING

$$\frac{\Phi_{\text{out}}(s)}{\Phi_{\text{RN}}(s)} = T(s) = N \cdot \frac{G_{\text{loop}}(s)}{1 + G_{\text{loop}}(s)}$$

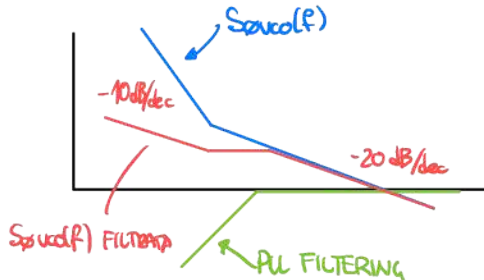
$$\frac{\Phi_{\text{out}}(s)}{\Phi_{\text{VCO}}(s)} = 1 - T(s) = \frac{1}{1 + G_{\text{loop}}(s)}$$



Il profilo del rumore tipico di un VCO è:

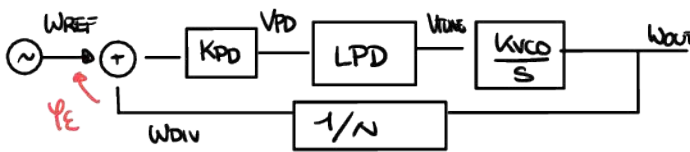


Se applichiamo il PLL filtering a $S_{\text{vco}}(f)$



CAPIAMO QUINDI CHE L'AZIONE DI FILTRAGGIO DEL RUMORE NON È MOLTO BUONA

2) STATIC PHASE ERROR @ PHASE DETECTOR IN PH @ STEADY STATE



$$\left. \begin{aligned} & \text{IN STEADY STATE} \\ & W_{\text{out}} = N W_{\text{REF}} \\ & \quad = W_{\text{REF}} + K_{\text{VCO}} \cdot V_{\text{tune}} \\ & \langle V_{\text{PD}} \rangle = V_{\text{tune}} = K_{\text{PD}} \cdot \varphi_E \end{aligned} \right\}$$

Dalle formule otteniamo che nello steady state

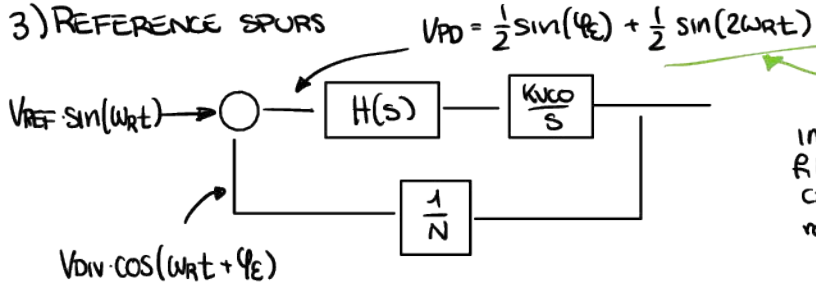
$$\varphi_E = \frac{(N w_{\text{ref}} - w_{\text{ref}})}{K_{\text{VCO}} - K_{\text{PD}}}$$

φ_E È DIPENDENTE DAI PARAMETRI

TIPO φ_E PUÒ NON ESSERE 0 SE HANNO UN GRADINO IN INTERESSO

Questa cosa in alcune applicazioni non ci va bene.

3) REFERENCE SPURS

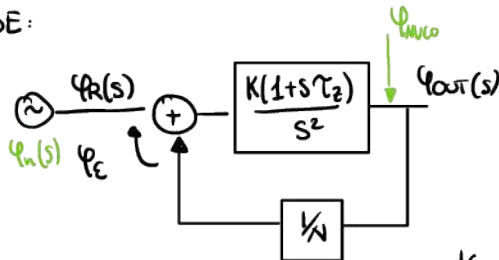


In pratica il filtro non riesce a cancellare tutta questa roba qui.

Il filtro ha un'imitata azione, noi vogliamo rimuovere le componenti ad alta frequenza dal phase detector

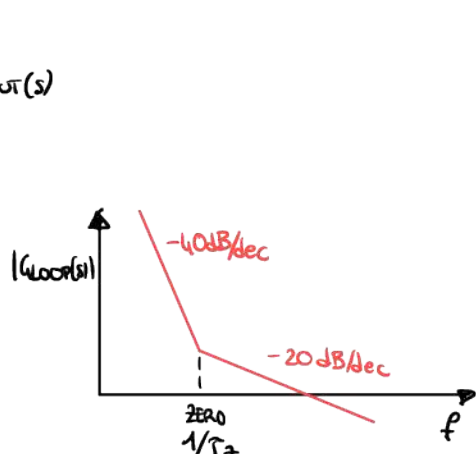
PER RISOLVERE QUESTI 3 PROBLEMI PASSIAMO AI PLL DI TIPO 2

STRUTTURA BASE:



$$G_{LOOP}(s) = \frac{K(1+s\tau_2)}{s^2} \cdot \frac{1}{N} \quad K \equiv \frac{K}{N}$$

è d' tipo 2 perché presenta 2 poli in zero, (c'è anche uno zero per questi di stabilità)

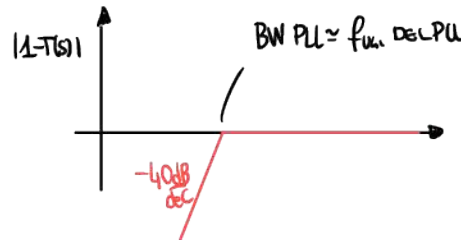


CARATTERISTICHE:

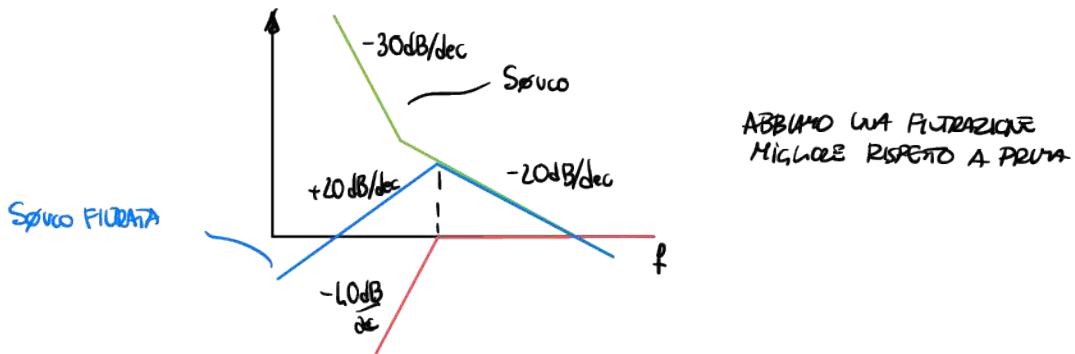
1) BETTER VCO NOISE CANCELLATION

$$\frac{\varphi_{OUT}(s)}{\varphi_{INVCO}(s)} = 1 - T(s) = \frac{1}{1 + G_{LOOP}(s)} = \frac{1}{1 + \frac{K(1+s\tau_2)}{s^2}} = \frac{s^2}{s^2 + sK\tau_2 + K}$$

SE LA PLOTTASSIMO OTTERIAMO



Se adesso consideriamo la capacità filtrante ottimale

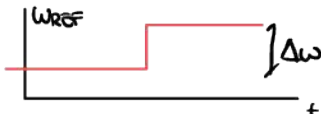


2) ZERO STEADY STATE ERROR AT PHASE DETECTOR INPUT

$$\frac{\varphi_E(s)}{\varphi_R(s)} = \frac{1}{1 + G_{\text{loop}}(s)} = 1 - T(s)$$

Se adesso applichiamo un input in frequenza di uno scelto ottimale che

$$W_{\text{REF}}(s) = \frac{\Delta\omega}{s}$$



$$\varphi_{\text{REF}} = \frac{\Delta\omega}{s^2} \quad \text{SI OTTENE}$$

SE ADESSO PRENDIAMO φ_E^∞ AT STEADY STATE OTTENIAMO CHE

$$\varphi_E^\infty = \lim_{s \rightarrow 0} s \cdot \left(\frac{\Delta\omega}{s^2}\right) \cdot \frac{\varphi_E(s)}{\varphi_R(s)}$$

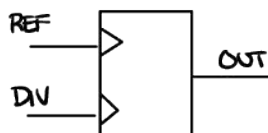
$$= \lim_{s \rightarrow 0} s \cdot \frac{\Delta\omega}{s^2} \cdot \frac{s^2}{s^2 + S^2 k + k} = 0 \quad \begin{array}{l} \text{Dopo una perturbazione abbiamo} \\ \text{per phase error al PD.} \end{array}$$

3) REFERENCE SPURS

AT STEADY STATE L'ERRORE È $= 0$ QUINDI POSSO COSTRUIRE UN PHASE DETECTOR CHE DA $\text{OUT} = 0$ QUANDO $\varphi_E = 0$ E NON SOLO $\langle \text{OUT} \rangle = 0$

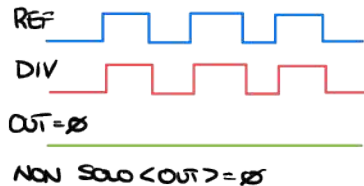
PROVIAMO A IMPLEMENTARE QUESTI TIPI DI PD ↓

TRI-STATE PHASE DETECTOR (PFD)

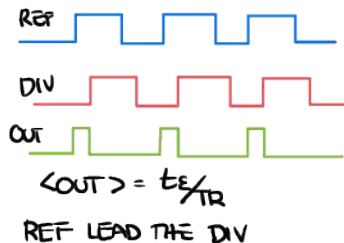


RISING EDGE SENSING

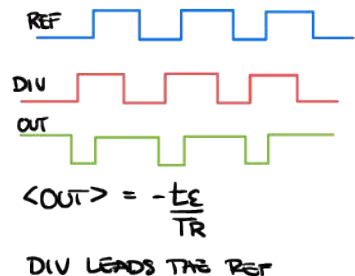
- $t_E = \emptyset$ STATO \emptyset



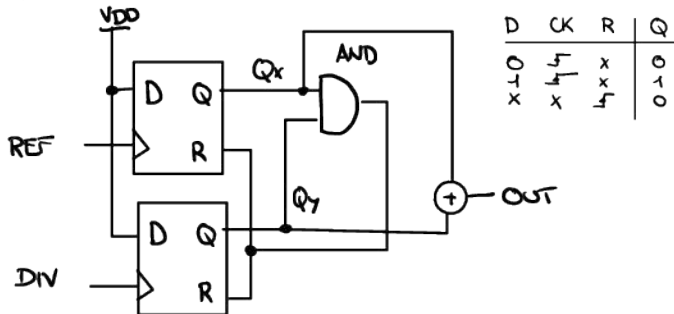
$$t_E > 0$$



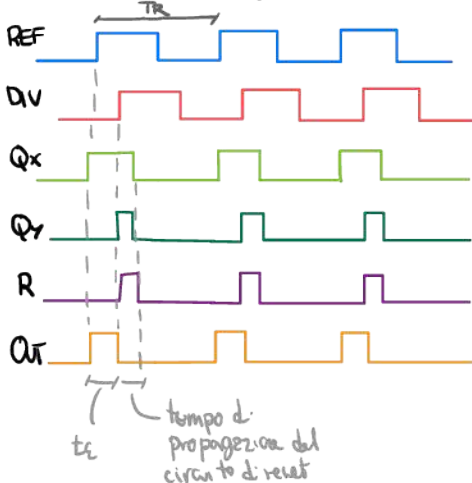
$$t_E > 0$$



IMPLEMENTAZIONI



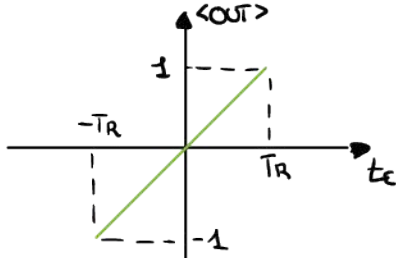
WORKING PRINCIPLE



LA STESSA COSA ACCADE PER $t_{E<0>}$

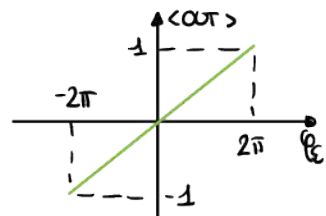
$$\langle \text{OUT} \rangle = -\frac{t_E}{T_R}$$

LA CARATTERISTICA DI QUESTO COMPONENTE SARÀ IN PRATICA

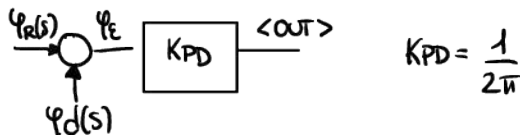


$$\text{ALLORA VISTO CHE } \Phi_E = \frac{2\pi}{T_R} t_E$$

$$\langle \text{OUT} \rangle = \frac{t_E}{T_R} = \frac{\Phi_E}{2\pi}$$



IL MODELLO EQ VIENE



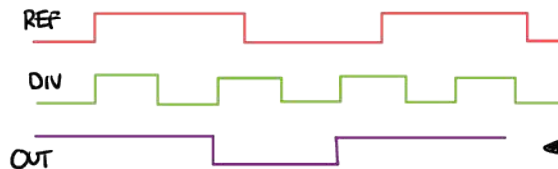
- PERCHÉ È CHIAMATA PHASE / FREQUENCY DETECTOR (PFD)

- DURING STARTUP $F_{REF} \gg F_{DIV}$



SUPPONIAMO I DUE S' INIZIANO ALLO STESSO TIEMPO

- SITUAZIONE OPPOSTA $F_{REF} \ll F_{DIV}$



ADESSO $\langle \text{OUT} \rangle$ NON È PROPORZIONALE A TE MA CI DA GLI OUTPUT POSITIVI.
IL LOOP È FORZATO SOLO AD AUMENTARE LA FREQUENZA (NEL CASO DI PD NORMALE CHE È SUO 1/0 NON SAPREBBE SE DEVE AUMENTARE O NO f, COSÌ RIDUCIAMO I TEMPI DI LOCK)

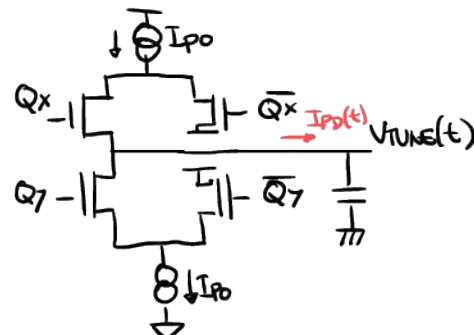
L'OUTPUT È NEGATIVO

(PER CAPIRE IL COMPORTAMENTO DELL'OUTPUT VEDERE TABEVA DI VERITÀ SOPRA)

NON SONO SICURO DELL'ACCURATEZZA DI QUESTO

IN PRATICA ALL'ANNO QUANDO LE 2 f SONO DIVERSE IN USCITA HO UN SEGNALE PROPORZIONALE ALLA DIFFERENZA DELL'2 FREQUENZE

COME IMPLEMENTARE LA SOMMA NEI PFD (QUAIA DELL'OUTPUT)



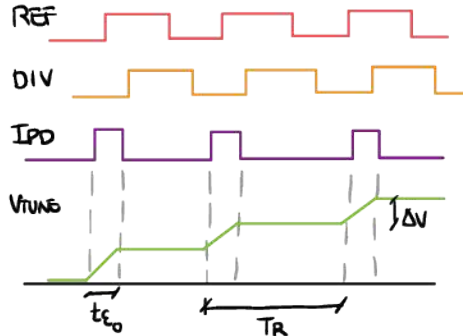
È LA BASE DEI PLL (CHARGE PUMP)

FANNO UNA SOMMA CON LA CORRENTE E PROVVEDONO ALLA IMPEDENZA D'USCITA.
GRAZIE QUESTO POSSIAMO CONNETTERE C DIRETTAMENTE ALL'USCITA PER FAR L'INTEGRATORE
SENZA L'USO DI OP-AMP.

DERIVIAMO IL MODELLO EQUIVALENTE

Consideriamo di applicare t_{E} , step al tempo ϕ e deriviamo il valore Φ_{E0}

$$\Phi_{\text{E0}} = \frac{2\pi t_{\text{E}}}{T_R} \rightarrow \text{FACCIAO VARIACE } \Phi_{\text{E}}(s) = \frac{\Phi_{\text{E0}}}{s}$$



$$C = \frac{dQ}{dq} \quad i = \frac{dQ}{dt}$$

$$\Delta V = \frac{t_{\text{E}} \cdot I_{\text{PO}}}{C}$$

LIMITE CHE NON SI PUÒ SUPERARE PER QUESTIONI DI STABILITÀ
VERA FINE IL PLL È UN SISTEMA CHE FUNZIONA A SWITCHING.

- GARONER'S LIMIT $\text{BW PLL} < \frac{f_{\text{REF}}}{2}$

APPROXIMAZIONE $V_{\text{TUNE}}(t)$ COME UNA RAMPA

$$V_{\text{TUNE}}(t) \approx \frac{\Delta V}{T_R} \cdot t = \frac{t_{\text{E0}} \cdot I_{\text{PO}}}{C \cdot T_R} \cdot t$$

RICORDIAMOCI LA RELAZIONE TRA FASE E FREQUENZA, OTTIENEVI QUINDI:

$$\frac{t_{\text{E}}}{T_R} = \frac{\Phi_{\text{E0}}}{2\pi} \Leftarrow \text{QUINDI}$$

$$V_{\text{TUNE}}(t) = \frac{I_{\text{PO}}}{C} \frac{\Phi_{\text{E0}}}{2\pi} \cdot t$$

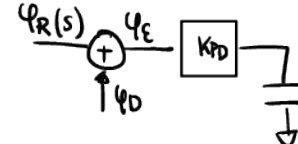
Se facciamo la trasformata di Laplace del segnale

$$V_{\text{TUNE}}(s) = \frac{I_{\text{PO}}}{C} \frac{\Phi_{\text{E0}}}{2\pi} \cdot \frac{1}{s^2} = \left(\frac{I_{\text{PO}}}{2\pi} \right) \left(\frac{1}{s_C} \right) \left(\frac{\Phi_{\text{E0}}}{s} \right)$$

KPD INPUT STEP $\Phi_{\text{E}}(s) = \Phi_{\text{E0}}/s$
 $Z(s)$ IMPEDENZA
 CONNESSA ALL'IMPULSO
 PUMP

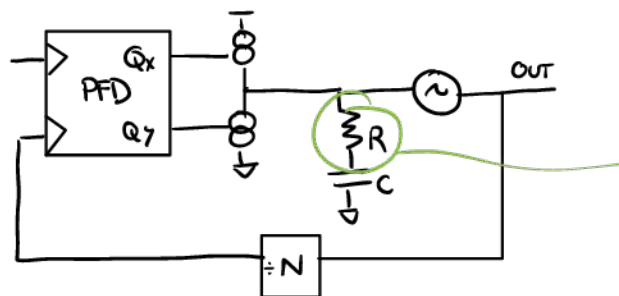
LA PDT sarà

$$\frac{V_{\text{TUNE}}(s)}{\Phi_{\text{E}}(s)} = \left(\frac{I_{\text{PO}}}{2\pi} \right) \left(\frac{1}{s_C} \right) = K_{\text{PD}} \cdot Z(s)$$



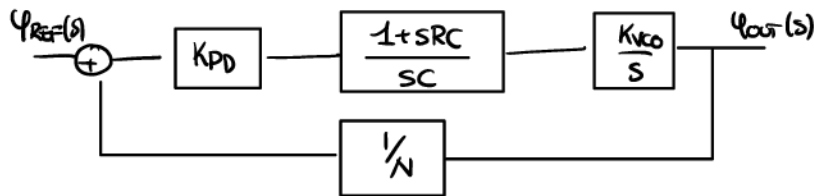
IMPLEMENTAMO IL SISTEMA PRATICO

SISTEMA COMPLETO CP-PLL CON PFD.



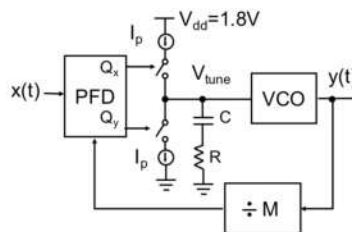
R AGGIUNTI UNO ZERO PER STABILITÀ

CONSIDERATO IL MODELO



ESERCIZIO

- T3.1. In the PLL in figure, the VCO has a free-running frequency of 3 GHz and a sensitivity of 300 MHz/V, with $M = 100$ and $I_p = 0.1 \text{ mA}$.

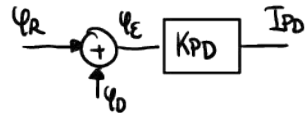


- Derive the linear equivalent model of the PLL and the values of R and C to have closed-loop poles at 10 kHz and at 45 degrees on the Gauss plane.
- What is the contribution of the thermal noise of the resistor R to the spectrum of $y(t)$ at 1 MHz from the carrier? (Please provide the value in dBc/Hz)
- Taking into account the contributions of a white phase noise of -140dBc/Hz affecting the reference $x(t)$ and the thermal noise of R , plot the spectrum of $y(t)$ (Please provide the relevant values on the x and y axes).

a) La free running frequency del VCO = 3 GHz e $K_{VCO} = 2\pi \cdot 300 \text{ MHz/V} = I_p = 100 \mu\text{A}$

MODELLO LINEARE NEL PHASE DOMAIN

• PFD + CP

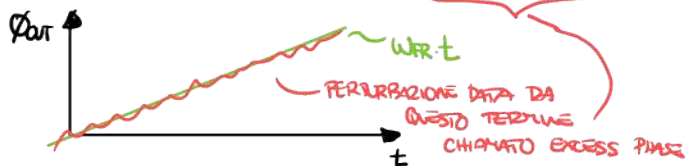


$$KPD = \frac{I_{PD}}{I_E} = \frac{I_{PD}}{ZT}$$

• FILTRO \rightarrow $V_{TUNE} = \frac{1}{R} \int \frac{V_{TUNE}(s)}{s} dt$ $\frac{V_{TUNE}(s)}{I_{PD}(s)} = Z(s) = \frac{(1+SRC)}{SC}$ la esprimiamo sempre in Laplace

• VCO: $V_{TUNE} \rightarrow \omega_{out}$

$$\text{FASE D'USCITA: } \phi_{out} = \omega_{fr} t + K_{vco} \int_{-\infty}^t V_{TUNE}(t') dt$$

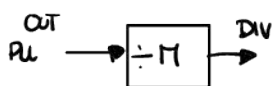


A NOI CI INTERESSA SOLO L'EXCESS PHASE E QUINDI prendiamo la trasformata di Laplace dell' excess phase

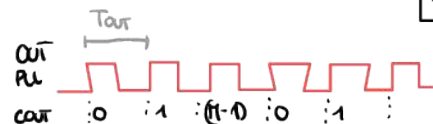
$$\Phi_{out}(s) = \frac{K_{vco}}{s} V_{TUNE}(s)$$

$$\text{LA FDT SARÀ } \frac{\Phi_{out}(s)}{V_{TUNE}(s)} = \frac{K_{vco}}{s}$$

• Frequency divider



E' UN CONTATORE MODULO N



$$T_{OUT} = \frac{T_{DIV}}{N}$$

$$F_{OUT} = N \bar{f}_{DIV}$$

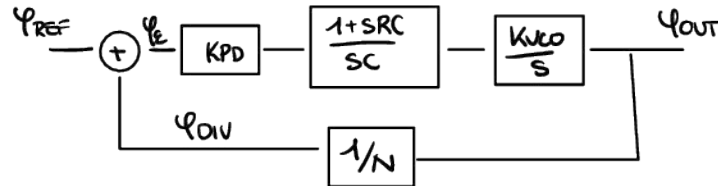
$$\text{IN LAPLACE } \Phi(s) = \frac{1}{s} w(s)$$

MODELLO DERIVATO È UN LINEAR GAIN

$$\frac{\Phi_{DN}(s)}{\Phi_{OUT}(s)} = \frac{\partial f_{DIV}}{\partial f_{OUT}} = \frac{1}{N}$$

$$\frac{\Phi_{out}}{\Phi_{DN}} = \frac{1}{N}$$

MODELLO COMPLETO



DIMENSIONAMO $R = C$ PER AVERE 1 POLI A CIRCUITO CHIUSO $\omega_0 = 10\text{KHz} \cdot 2\pi$ E A 45° GRADI SUL PIANO DI CAUSS., IL CHE VOL DIRE $\zeta = \sqrt{2}/2 = \frac{1}{2Q}$

$$G_{loop}(s) = K_{PD} \cdot \frac{1+SRC}{SC} \cdot \frac{KVCO}{S} \cdot \frac{1}{N} = \frac{K(1+sT_z)}{s^2} \quad T_z = RC \quad K = \frac{K_{PD} \cdot KVCO}{C \cdot N}$$

Vogliamo i poli d- loop chiuso, quindi:

$$1 + G_{loop}(s) = \emptyset$$

$$1 + \frac{K(1+sT_z)}{s^2} = \emptyset \rightarrow s^2 + SKT_z + K = \emptyset$$

$$\text{Triviamo fuori l'espressione cronica e la somma} \frac{s^2}{\omega_n^2} + \frac{s}{\omega_n Q} + 1 = \emptyset$$

$$\text{Percaò} \quad \frac{s^2}{K} + sT_z + 1 = \emptyset$$

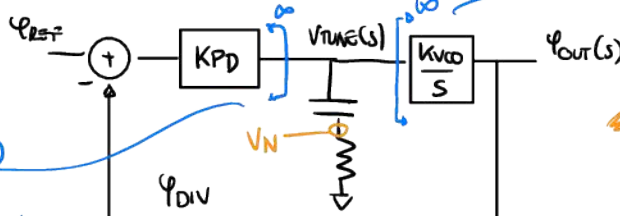
$$K = \frac{K_{PD} \cdot KVCO}{C \cdot N} = (2\pi 10\text{KHz})^2 \rightarrow C = 76\text{nF}$$

$$T_z = RC = \frac{2\pi}{\omega_n} \rightarrow R = \frac{2\pi}{\omega_n C} = 296 \Omega$$

b)

Δf ($\Delta f = 1\text{MHz}$) dato dal rumore del resistore

L'impedenza di VCO è ∞



L'impedenza di KPD è ∞ poiché è il uscita della charge pump.

$$V_{\text{TUNE}}(s) \approx V_h(s)$$

RICAVIAMO LA PDT

$$\frac{V_{\text{OUT}}(s)}{V_{\text{TUNE}}(s)} = \left(\frac{K_{\text{VCO}}}{s}\right) \cdot \frac{1}{1 + G_{\text{loop}}(s)}$$

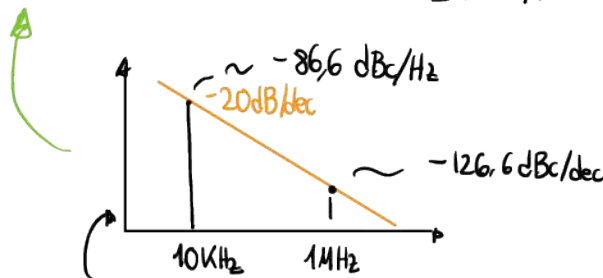
C1 INTERSEZIONE L'ASCIA DI SPETTO DELL'OUTPUT

$$L(\Delta f) = \frac{1}{2} S_{\phi}^{\text{SSB}}(f) = \frac{1}{2} \cdot (4KTR) \cdot \left| \frac{K_{\text{VCO}}}{2\pi f} \right|^2 \cdot \left| \frac{1}{1 + G_{\text{loop}}(j2\pi f)} \right|^2$$

PDT

Possiamo dividere in 2 e volerle in 2 pezzi

$$\frac{1}{2} 4KTR \cdot \left| \frac{K_{\text{VCO}}}{2\pi f} \right|^2 \quad \text{e} \quad \left| \frac{1}{1 + G_{\text{loop}}(s)} \right|^2$$

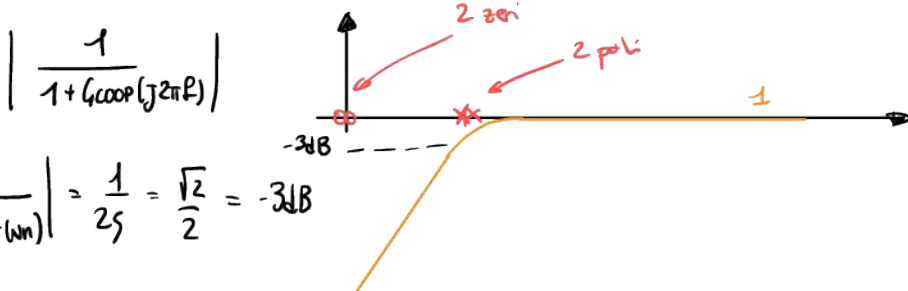


$$d_{\text{dB}} = 10 \log \left(\frac{1}{2} 4KTR \left| \frac{K_{\text{VCO}}}{2\pi f} \right|^2 \right)$$

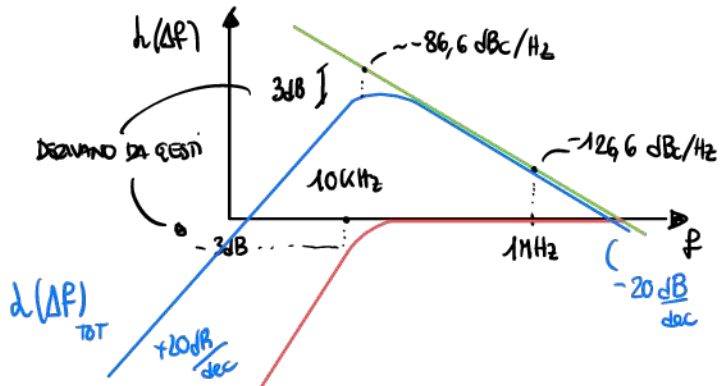
al posto di $2\pi f$ lui ha messo $j2\pi f$
Non so perché!!

e poi

$$\frac{1}{1 + G_{\text{loop}}(s)} = \frac{s^2}{s^2 + sW_n^2 + W_n^2} = \frac{s^2}{s^2 + sW_n^2 + W_n^2}$$



$$\Delta(\Delta f) = \frac{1}{2} 4KTR \cdot \left| \frac{V_{CO}}{2\pi f} \right|^2 \cdot \left| \frac{1}{1 + G_{loop}(j2\pi f)} \right|^2$$



$$d(\Delta f = 1 \text{ MHz}) = -126 \text{ dB/Hz} \quad \text{dato da R}$$

c) Leggerlo nei suoi fogli fatti online

22-03-2021

2h d. lezione

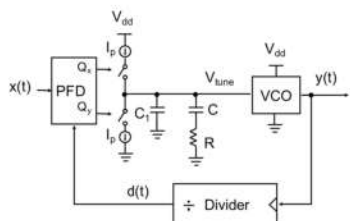
CONTINUAVO CON I TUTORIAL

(è un PLL del terzo ordine e d. tipo 2)

tipo: Numero di poli d. (numero di loop nell'origine)

ordine: numero di poli

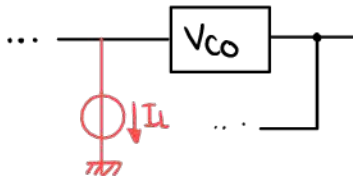
In the PLL in figure, $V_{dd} = 3V$, $R = 1.6 \text{ k}\Omega$, $C = 100 \text{ nF}$. The PLL should synthesize all the frequencies from 1900 to 2100 MHz in steps of 1 MHz.



- a. Describe the behavior of the circuit in the case of a constant current drained from the VCO input and describe the steady state condition of the PLL.
- b. If this leakage current is 100 nA (assuming it is much smaller than the charge-pump current), set the value of C_1 to limit the spur in the output spectrum to -50 dBc, and derive the minimum K_{VCO} to cover the whole frequency range with the given supply voltage.
- c. Calculate the cross-over frequency of the loop gain that maximizes the phase margin. Derive the value of the maximum phase margin and the charge-pump current I_p .

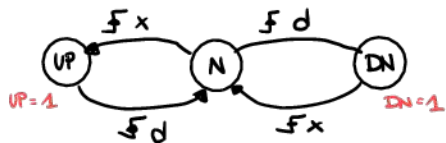
INFO...

a)



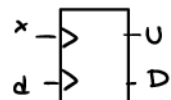
Vediamo così il punto a

IL PFD È UN CIRCUITO A 3 STATI E OGNI VOLTA CHE STABILIZZA IL CAMBIO DI UNO DEGLI INPUT CAMBIAMENTO STATO



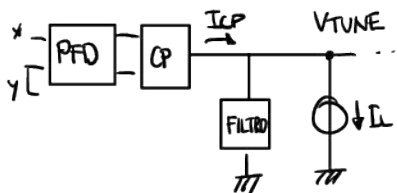
[Se siamo prima in fronte di x vedo in up e torno in neutral quando ho il fronte di D, nel caso inverso ho il contrario]

Se faccio la differenza tra UP e DN la media della differenza dipende da te.



Inoltre se i fatti di salita sono ellissi ho sempre zero in output sia in UP che in DN ed è uno dei vantaggi di usare questi PFD. Xe' in questo caso non c'è solo $\langle VPD \rangle = \emptyset$ ma ho proprio zero e questo significa che non ho ripple. Per fare la differenza tra UP e DN utilizzo il circuito di charge pump.

Riprendiamo l'esercizio 2.10



Se $I_L = \emptyset$: @ STEADY STATE $W_W = N \cdot W_x$

IMPORTANTE !!

IN UN INTEGRATORI N-P-L E SAPPIAMO CHE

$$W_{out} = N \cdot W_{ret}$$

(IN CONDIZIONE DI LOCK)

IL PIÙ PICCOLO STEP DI N CHE POSSIAMO FARCI
 $\Delta N = 1$ e quindi $\Delta W_{out} = W_{ret}$

Sappiamo che

$$\Delta f_y > 1 \text{ MHz} \rightarrow f_x = 1 \text{ MHz} \quad N = 1900 \div 2100$$

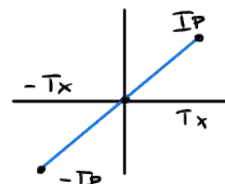
Sappiamo poi che $V_{TUNE} = \text{costante}$ e dato questo la corrente in media che scorre nel filtro deve essere 0 $\langle I_F \rangle = \emptyset$ (questo dirà che il filtro da 1 filto è un LPF e quindi Z va a inf in DC e quindi per avere $V_{TUNE} = \emptyset$ deve essere $\langle I_F \rangle = \emptyset$)

DATO CHE $\langle I_F \rangle = \emptyset \rightarrow \langle I_{CP} \rangle = \emptyset$ che è come dire che $t_E = \emptyset$

SE $I_L \neq 0$? @ STEADY STATE

Significa che $\langle I_{CP} \rangle = I_L$

dobbiamo compiere questa correzione di feedback.



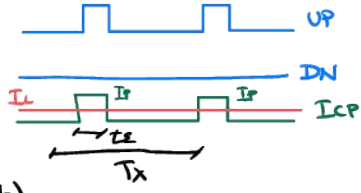
Così non collegata: Quando facciamo il modello lineare del PLL quel modello è anche chiamato average-model or Continuous Time model perché noi studiamo vicinete le medie dei segnali. Questo è vero finché il filtro passabasso è strettamente bandpass (GARNER'S LIMIT che dice che il modello è valido se la PLL BW è $< f_{ref}/10$ o $f_{ref}/20$) (il filtro deve essere in grado di filtrare abbastanza bene il ripple del PD).

(Per PLL BW intende i poli a circuito chiuso)

Dato che $\langle I_{CP} \rangle = I_L$ allora $t_E \neq \emptyset$.

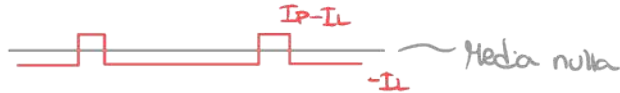
Possiamo ricavare dalla caratteristica: $t_E^* = \frac{I_L \cdot T_x}{I_P}$ prova

Questo risultato può essere ricavato anche in un altro modo. Infatti se la CP due modi ha $\langle I_{CP} \rangle \neq \emptyset$ allora deve avere un segnale di UP $\neq 0$ mentre quello di DOWN è \emptyset . Allora quindi in ICP ad andrà quindi la cui media la conosciamo ed è $\frac{1}{2}$

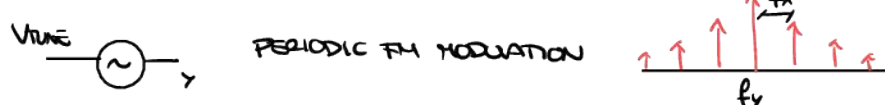


$$\underbrace{I_L \cdot T_x}_{\text{leakage charge}} = \underbrace{I_P \cdot t_{e^*}}_{\text{charge pump charge}} \rightarrow t_{e^*} = \frac{I_L}{I_P} \cdot T_x$$

b) La corrente nel filtro è zero ma d' media, in particolare è



Visto che $I_f(t)$ è periodico di periodo T_x anche V_{TUNE} sarà periodico di periodo T_x



Noi vogliamo che

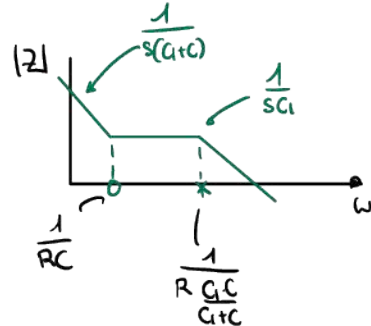
$$\Delta f = f_x = -50 \text{ dBc} = -10 \log_{10} \frac{P(f_y + f_x)}{P(f_y)}$$

ma noi seppiamo anche che

$$d = \frac{Sp_y}{2} \rightarrow Sp_y = -47dB_C \leftarrow \text{e } dB_C = d - 3dB \text{ (Catture su appalti prof)}$$

Szppizmo de

$$Z(s) = \frac{C_1}{s} \left[\frac{R}{s + j\omega} \right]$$



$$W \rightarrow 0 \approx \frac{1}{\frac{1}{a} + \frac{1}{T_c}} \quad \frac{1}{s(a+0)} \approx z$$

$$\omega \rightarrow \infty$$

(Impedance = $\frac{C}{\frac{1}{f}}$)

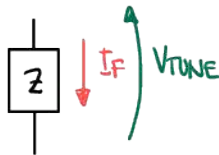
Induktiver Widerstand $\approx \frac{1}{\omega C}$

Percio

$$Z(s) = \frac{1}{s(G+C)} \cdot \frac{1+sT_2}{1+sT_p}$$

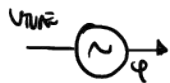
$$T_Z = \frac{1}{\omega_Z} \quad T_P = \frac{1}{\omega_P}$$

Albora



Vogliamo ricevere la prima armonica di V_{TUNE} in modo da ricevere l'uscita.

(Ricordiamo che If è periodica di periodo T_x (freq f_x))



$$V_{TUNE} = V_{TUNE0} + V_{TUNE} \cos(\omega_x t) + \dots$$

Ricordiamo che $\omega_y = \omega_f + K_{CO} V_{TUNE}$ e che $\phi_y = \int_{-\infty}^t \omega_y(t') dt'$ e riceviamo

$$V_{TUNE} = \frac{K_{CO}}{S} \cos(\phi_y) \quad S = j\omega_x$$

Se usiamo questo modello otteniamo che $\phi_y^{(1)} = \frac{K_{CO}}{\omega_x} \cdot V_{TUNE}^{(1)}$

$$\text{Percio' } S\phi_y(\omega_x) = \frac{K_{CO}^2}{\omega_x^2} \cdot S_{TUNE}(\omega_x)$$

Ma non sappiamo S_{TUNE} !!!

Vogliano estrarre la prima armonica di V_{TUNE} .

Noi conosciamo $If(t)$ e anche $Z(s)$!! Possiamo calcolare l'ampiezza della prima armonica di V_{TUNE}



Ci sono 2 possibilità: 1 facile e una difficile

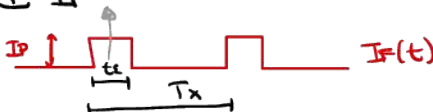
1) Ricaviamo $V_{TUNE}(t)$ come funzione di $If(t)$ integrata ecc e poi calcoliamo la prima armonica (difficile)

2) Calcoliamo la prima armonica di $If^{(1)}$ ($If^{(1)}$) e poi scrivere $V_{TUNE}^{(1)}$ come

$$V_{TUNE}^{(1)} = If^{(1)} / Z(j\omega_x)$$

$$\text{e poi } S_{TUNE}(\omega_x) = |Z(j\omega_x)|^2 \cdot S_{If}(\omega_x)$$

Per calcolare la prima armonica dobbiamo calcolare il coefficiente di Fourier di If



Se consideriamo solo una ripetizione



$$A_{\text{rect}}\left(\frac{t}{\Delta t}\right)$$

Allora la traiettoria di Fourier sarà

$$A_0 \Delta t \operatorname{sinc}\left(\Delta t \cdot f\right)$$

Se stesso lo rendiamo periodico (Formule di Fourier)

$$Y_N = \frac{1}{T} \int_T \{f_T(f)\} \quad f \cdot \frac{n}{T} = \frac{1}{T} A_0 \Delta t \operatorname{sinc}\left(\Delta t \cdot \frac{n}{T}\right)$$

Perciò il primo collocare sarà

$$\frac{1}{T_x} \cdot I_P \cdot t_E \operatorname{sinc}\left(\frac{t_E}{T_x}\right)$$

$$\text{quindi } Y_1 = -\frac{1}{T_x} I_P \cdot t_E$$

Perciò

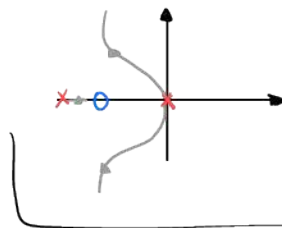
$$S_{P_Y}(w_x) = \frac{K_{VCO}^2}{w_x^2} \cdot S_{VUNE}(w_x)$$

VEDERE GLI APPUNTI DEL PROF PRESSI
A TANNO NON È FINITA QUI !!

23.03.2021

3h

Nell'esercizio d'ieri il luogo delle radici è

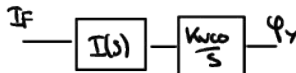


$$\frac{I_F^{(1)}}{2} = \frac{1}{T_x} \cdot I_P \cdot t_E \cdot \operatorname{sinc}\left(\frac{t_E}{T_x}\right)$$

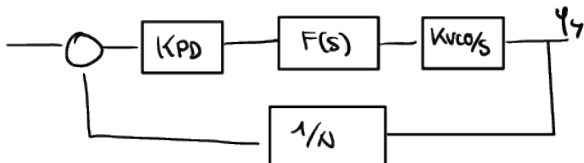
$$= I_P \cdot D \cdot \operatorname{sinc}(D) \quad \text{con } D = \text{duty cycle}$$

Perciò

$$S_{P_Y}(w_x) = \frac{K_{VCO}^2}{w_x^2} \cdot |Z(jw_x)|^2 \cdot \frac{[I_F^{(1)}]^2}{2} \quad S_{IF}$$



Per avere P_Y abbiamo studiato il loop aperto, perciò non ha senso perché con il loop chiuso otteniamo la forma di I_{CP} ma noi lo abbiamo già.



$$P_Y = \frac{K_{VCO}}{s} \cdot F(s) \cdot V_{PD}(s)$$



$$\phi_y = \frac{K_{vo}/s \cdot F(s)}{1 + L(s)} \cdot V_{PDa}(s)$$

La divisione per $1 + L(s)$ vale solo quando mettiamo qualcosa nel loop.

$$I_{D^{(1)}} = 2IP \cdot D \cdot \frac{\sin \pi D}{\pi D} = \frac{2}{\pi} IP \sin \pi \frac{f_L}{f_T}$$

$$D = \frac{f_L}{f_T} = \frac{f_L}{f_T}$$

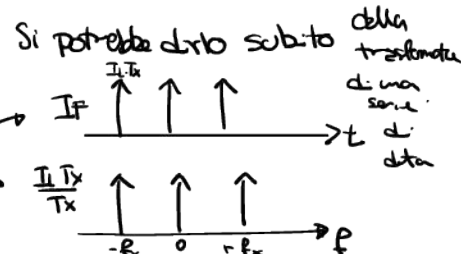
$$\approx \frac{2}{\pi} IP \cdot \pi \frac{f_L}{IP} = 2f_L \quad \text{La prima armonica di IP}$$

il 2 c'è perché c'è un'altra qualcosa l'ampiezza del coseno

e quindi l'ampiezza del coseno
è $2f_L$

$$|Z(j\omega_x)| \approx \frac{1}{\omega_x C_1} \quad \omega_x \gg \omega_p$$

approssimano i reaz a ditta se i tempi a lo permettono



$$\frac{1}{f_T} \sum S(f - f_T)$$

$$S\phi_y(\omega_x) \approx \frac{K_{vo}^2}{\omega_x^2} \cdot \frac{1}{\omega_x^2 C_1} \cdot \frac{4 \cdot I_L^2}{2}$$

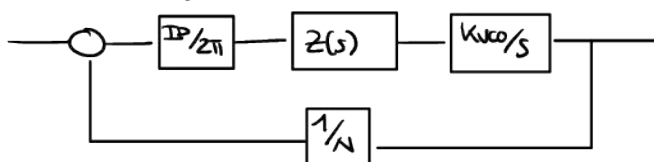
$$K_{vo} \cdot 2\pi \cdot \Delta f_{vo} / V_{DD}$$

$$= 619 \text{ Hz/Vs}$$

(Rivedere la lezione volta)

e quindi $C_1 = \frac{K_{vo}}{\omega_x^2} \cdot \frac{\sqrt{2} \cdot I_L}{\Gamma S\phi_y} = 334 \mu F$

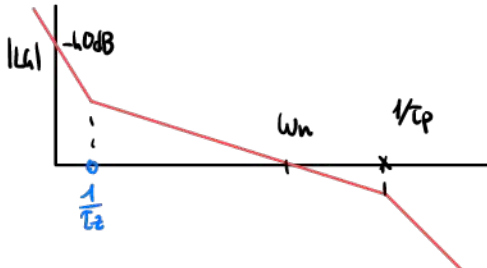
PUNTO C) Guadagno del PFD/CP



$$L(s) = \frac{IP}{2\pi} \cdot \frac{K_{vo}}{N} \cdot \frac{1}{s} \cdot \left(\frac{1}{s(C+G)} \cdot \frac{1+sT_Z}{1+sT_P} \right)$$

$$T_Z = RC$$

$$T_P = \frac{RC}{C+G}$$



In approssimazione assintotica

$$w_n \gg 1/T_p, \quad w_n \ll 1/T_p$$

Mentre visceremo $|LG|$ nella zona a -20 dB/dec
Sappiamo che l'impedire in questa zona vale

$$\frac{R \cdot C}{C_1 + C}$$

Perciò per faremo $|LG(jw_n)| = 1$

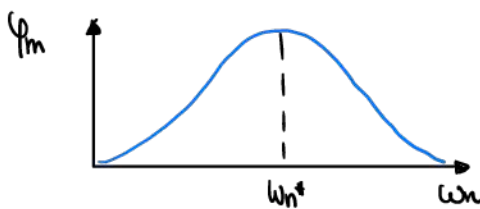
$$1 = \frac{I_p}{2\pi} \cdot \frac{K_{VCO}}{N} \cdot \frac{1}{jw_n} \cdot \frac{R \cdot C}{C_1 + C} \rightarrow w_n = \frac{I_p}{2\pi} \cdot \frac{K_{VCO}}{N} \cdot \frac{R \cdot C}{C_1 + C}$$

e otteremo ottenuto w_n in funzione di parametri

- Il magne di fase sarà:

$$\varphi_m = \arctan\left(\frac{w_n}{w_z}\right) - \arctan\left(\frac{w_n}{w_p}\right)$$

Vogliamo massimizzare φ_m come funzione di w_n .



Possiamo massimizzare la funzione studiando

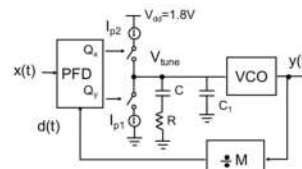
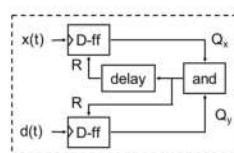
$$\frac{d\varphi_m}{dw_n} = \frac{1}{w_z} \cdot \frac{1}{1 + (\frac{w_n}{w_z})^2} - \frac{1}{w_p} \cdot \frac{1}{1 + (\frac{w_n}{w_p})^2} = 0$$

Ottieniamo che

$$w_n^* = \sqrt{w_z w_p}$$

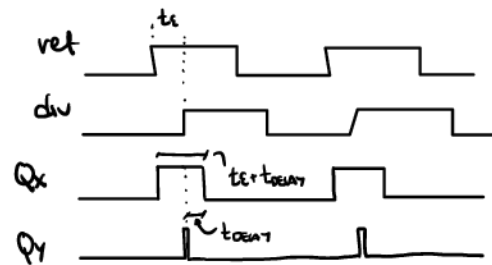
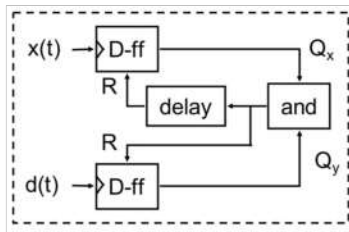
AUTORESERCIZIO

- T3.3. In the PLL in figure, we are using a modified PFD schematic which is shown inside the dashed box. Unlike a conventional PFD, the block "delay" after the "and" gate introduces a delay t_d in the reset signal of just one of the two D-type flip-flops.



- Derive and plot the input-output characteristic of the PFD (i.e. input phase vs. output average voltage), drawing the voltage waveforms of all PFD nodes (x, d, Q_s, Q_y, R) for both positive and negative input phase delays. Explain whether the PFD acts as a phase and frequency detector.
- Using the PFD in the PLL in figure, where $K_{VCO}/2\pi = 20 \text{ MHz/V}$, $I_p = 8 \text{ mA}$, $f_z = 2 \text{ MHz}$, $t_d = 2 \text{ ns}$, $M = 1024$, calculate the time delay between $x(t)$ and $d(t)$ at steady state.
- Set the values of R , C , and C_1 to have (i) a maximum spurious tone at y output with -70 dBc level, (ii) a cross-over frequency of the loop gain at 20 kHz and (iii) phase margin of 60 degrees.
- Keeping the same values of K_{VCO} , I_p , f_z , t_d , M and the same stability margin, which one of the design parameters you would modify to reduce the level of the reference spur? Illustrate the inherent drawbacks of your choice.

Abbiamo che



$$t_{delay} = t_d$$

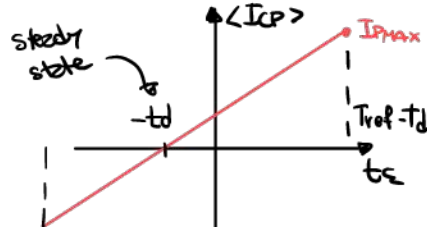
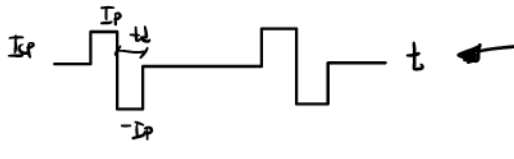
↑
Tempo del delay

La caratteristica sarà

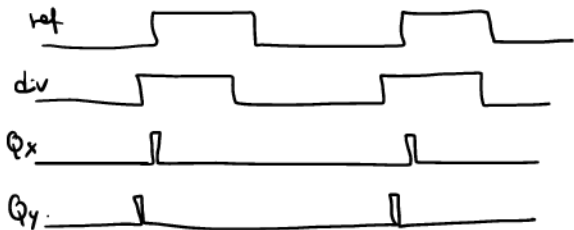
$$\cdot t_\Sigma = \emptyset$$

$$\langle I_{CP} \rangle = I_P \cdot \frac{t_d}{T_{ret}}$$

Se controllo un PFD così la corrente sarà



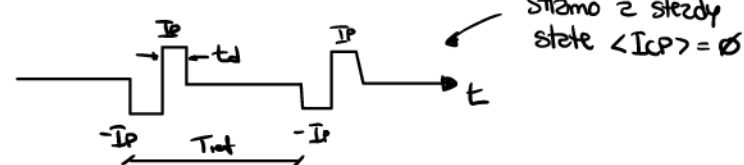
CASO $t_\Sigma = -t_d$



L'impulso di questo PFD è di $\neq 0$ abbiamo sempre una reference spur

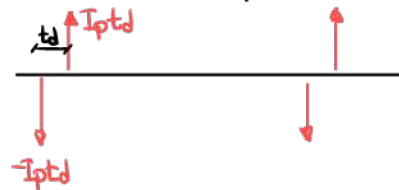
b) Non l'ha fatto (ma dovrebbe essere facile)

c)
 $I_{CP} = I_F(t)$



Quell'è la prima armonica di questo segnale? sarà più grande o più piccola di una ad onda quadra

Approssimiamo con 2 delta



calcoliamo i delta
che vengono così
sono distanti
 t_d

$$I_F(t) \approx Q \sum \delta(t - nT_{ret}) - Q \sum \delta(t - nT_{ret} + t_d)$$

nella trasformata di fourier seppiamo che

$$F[I_F(t)] = \underbrace{\frac{Q}{T_{ref}} \cdot \sum \delta(f - \frac{n}{T_{ref}})}_{\text{T ristretta di un tempo}} \left[-1 + e^{-j2\pi f t_d} \right] \quad \text{Il ritardo trasformato con laplace}$$

Se il delay è piccolo rispetto alla durata $-1 + e^{-j2\pi f t_d}$ diventa

$$e^x \approx 1 + x \text{ e quindi } \approx j2\pi f t_d \quad \text{per } f = \frac{n}{T_{ref}}$$

Il totale risultato sarà

$$\sum \frac{I_P t_d}{T_{ref}} \cdot J \cdot 2\pi \frac{n t_d}{T_{ref}} \cdot \delta\left(f - \frac{n}{T_{ref}}\right) \quad \text{è la trasformata di Fourier}$$

noi siamo interessati solo alla prima componente

$$I_F^{(1)} = 2 \cdot \underbrace{\frac{I_P \cdot t_d}{T_{ref}}}_{\frac{Q}{T_{ref}}} \cdot \underbrace{\frac{2\pi t_d}{T_{ref}}}_{W_{ref} \cdot t_d}$$

Sono questi ed è anche perché

è come se avessimo una derivata dei trai d'impulsi

$$= 2 I_P \cdot 2\pi \cdot \left(\frac{t_d}{T_{ref}}\right)^2$$

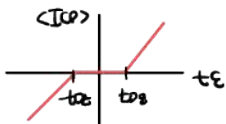
Nel caso prima un singolo impulso
avremo $2 I_P \cdot D \cdot \frac{\sin(D)}{D} = 1$

Poi

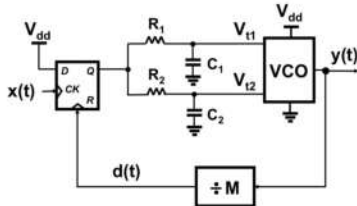
$$d(W_{ref}) = \frac{S_Q}{2} = \frac{1}{2} \left(\frac{V_{DC}}{W_{ref} \cdot C} \right)^2 \cdot \left(\frac{1}{W_{ref} \cdot C} \right)^2 \cdot \frac{[I_F^{(1)}]^2}{2}$$

Se non ho il PLL tipo 2 non è detto che la corrente deve essere 0%
Nel caso del tipo 1 abbiamo una V_{DC} dove $\langle I_{DD} \rangle \cdot 2$ deve dare V_{DC} (se ho un charge pump)

Nelle pratiche tutti i PLL hanno un blocco di delay in modo da evitare la dead zone cioè una zona attorno a $t_E = 0$ in cui gli impulsi sarebbero troppo veloci per i transistor da seguire. Un PFD senza delay ha una caratteristica del tipo

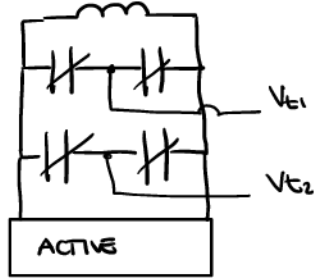


Let $V_{dd} = 1.8V$, $R_1 = 1 k\Omega$, $C_1 = 300 pF$, $R_2 = 10 k\Omega$, $C_2 = 120 nF$, $x(t)$ a 10-MHz periodic signal and $M = 135$. The D flip-flop has rails 0 and V_{dd} , and synchronous reset (clock samples data even when reset is "1"). The VCO has two tuning voltages V_{t1} and V_{t2} , which varies linearly VCO frequency, and a free-running frequency of $f_{fr} = 1200$ MHz at $V_{t1} = V_{t2} = 0$.



- After deriving the continuous-time phase model of the system, compute the VCO tuning frequency ranges through control voltages V_{t1} and V_{t2} (when varied from 0 to V_{dd}) to set the unity-gain bandwidth of loop gain equal to 100 kHz and phase margin equal to 60 degrees.
- What is the value of V_{t1} and V_{t2} at steady state? Calculate the delay relationship between $x(t)$ and $d(t)$ in seconds at steady state.
- Do you expect any reference spur? If so, compute the level of the spurious tone in the spectrum of $y(t)$ in dBc.

Il VCO in questo caso potrebbe essere fatto così

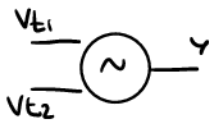


a) La caratteristica del flip flop è



$$KPD = \frac{V_{PD}}{4\epsilon} = \frac{V_{DD}}{2\pi}$$

• Il VCO

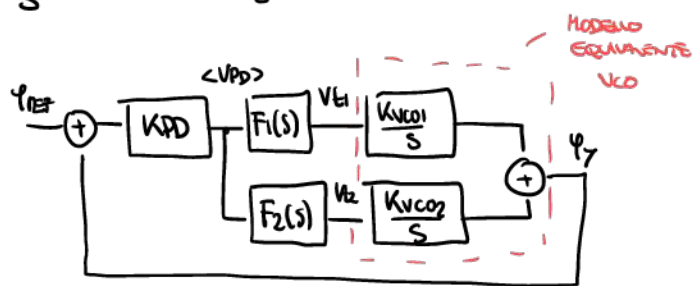
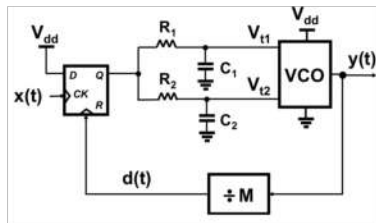


$$\omega_{out} = \omega_{fr} + K_{VCO1} V_{t1} + K_{VCO2} V_{t2}$$

↓ LAPLACE

$$Y_{out} = \frac{K_{VCO1}}{s} V_{t1}(s) + \frac{K_{VCO2}}{s} V_{t2}(s)$$

• / L MODELLO DEL SISTEMA È



$$F_1(s) = \frac{1}{1 + sR_1 C_1}$$

$$F_2 = \frac{1}{1 + sR_2 C_2}$$

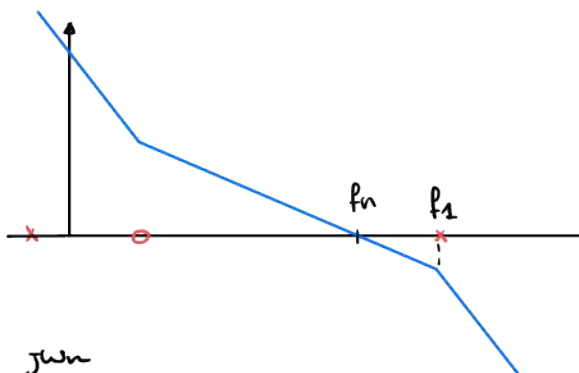
$$\begin{aligned}
 LG(s) &= KPD \cdot \frac{1}{s} \cdot \frac{1}{N} \cdot \left[\frac{Kvco_1}{1 + sR_1C_1} + \frac{Kvco_2}{1 + sR_2C_2} \right] \\
 &= \frac{KPD}{N} \cdot \frac{1}{s} \cdot \frac{Kvco_1(1 + sR_2C_2) + Kvco_2(1 + sR_1C_1)}{(1 + sR_1C_1)(1 + sR_2C_2)} \\
 &= \frac{KPD}{N} \cdot \frac{Kvco_1 + Kvco_2}{s} \cdot \frac{1 + s \frac{Kvco_1T_2 + Kvco_2T_1}{Kvco_1 + Kvco_2}}{1 + s(T_1 + T_2) + s^2T_1T_2}
 \end{aligned}$$

$$\begin{aligned}
 T_1 &= R_1 C_1 \\
 T_2 &= R_2 C_2
 \end{aligned}$$

3° ordine e 1° tipo PLL (lo zero viene dai 2 path in parallelo)

$$R_1C_1 = 300 \text{ nS} \quad R_2C_2 = 1,2 \text{ ms}$$

$$f_1 \approx 531 \text{ kHz} \quad f_2 \approx 133 \text{ Hz} \quad \leftarrow \text{molto basso lo consideriamo quasi all'origine quindi facciamo scendere di -40 dB}$$



$$\text{no vogliamo } f_n = 1 \text{ kHz}$$

dobbiamo mettere lo zero

Approssimazione ~~standard~~

$$w_n \gg w_2 \quad ST_2 \gg 1$$

$$w_n \ll w_1 \quad ST_1 \ll 1$$

$$w_n \gg w_2 \quad ST_2 \gg 1$$

$$\begin{aligned}
 LG(s) &\approx \frac{KPD}{N} \cdot \frac{Kvco_1 + Kvco_2}{w_n} \cdot \frac{1 + sT_2}{(1 + sT_1)(1 + sT_2)}
 \end{aligned}$$

$$LG(jw_n) = \frac{KPD(Kvco_1 + Kvco_2)}{N} \cdot \frac{1}{w_n} \cdot \frac{Kvco_1 T_2 + Kvco_2 T_1}{T_2(Kvco_1 + Kvco_2)}$$

$$w_n = \frac{KPD}{N} (Kvco_1 + Kvco_2) \cdot \frac{w_2}{w_2}$$

e poi voglio $\varphi_m = 60^\circ$ (dato che il primo polo è molto basso facciamo come in tipo 2)

$$\varphi_m = \arctan\left(\frac{w_n}{w_2}\right) - \arctan\left(\frac{w_n}{w_2}\right) = 60^\circ \rightarrow e ricaviamo w_2$$

$$\omega_2 = 2\pi \cdot 35 \text{ Krad/s} \rightarrow f = 35 \text{ KHz per } \omega_m = 60^\circ$$

Poi dato ω_2 andiamo nell'espressione di ω_0 e ricaviamo K_{VCO} , K_{VCO2}

Nelle soluzioni c'è scritto Δf_{VCO} , Δf_{VCO2} ricordiamo che $K_{VCO} = 2\pi \frac{\Delta f}{VDD}$

b) Nel loop convenzionale VCO è riferito delle free running frequency

INFO

TIPO - n : n POLI NELL'ORDINE NEL CLOOP (IMPORTANTE XÈ PIÙ IL TIPO È PIÙ
PIÙ RESEGUO GLI GRADI DI TIPO QUELLO DEL GRADINO)
ORDINE - m m POLI NELL'LOOP

29/03/2021

2h

CIRCUITI RISONANTI (PASSENG NETWORK)

L'induttore è un elemento importantissimo xè c'è che può essere usato a creare una rete risonante



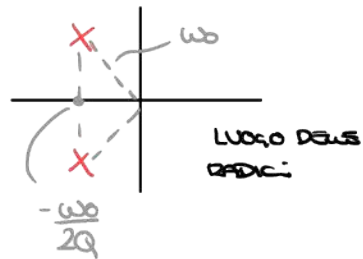
L'impedenza è:

$$Z = \frac{V}{I_g} = \frac{IR \cdot R}{I_g} = R \cdot \frac{IR}{I_g} H(s)$$

con $H(s) = \frac{1/R}{1/R + j\omega_L + sC}$ e definiamo

$Q = \omega_0 C$ con $\omega_0 = \frac{1}{\sqrt{LC}}$ allora possiamo risolvere l'eq come

$$H(s) = \frac{s\omega_0/Q}{s^2 + s\frac{\omega_0/Q}{2} + \omega_0^2}$$



Averemo che i poli sono

$$p_1 p_2 = \omega_0^2$$

$$-(p_1 + p_2) = \omega_0/Q$$

$$p_{1,2} = -\frac{\omega_0}{2Q} \pm j\omega_0 \sqrt{1 - \frac{1}{4Q^2}}$$

POLE LOCATION

SUCCESSIONE

$$\zeta = \frac{1}{2Q} = \frac{1}{2\omega_0 C}$$

Quel'è il significato del fattore Q?

1) E' inversamente proporzionale allo smorzamento ζ

ζ small \leftrightarrow Q large \leftrightarrow IL SISTEMA TENDE A OSCILLARE

(capiamo quindi che Q è legato alla posizione dei poli nel luogo delle radici)

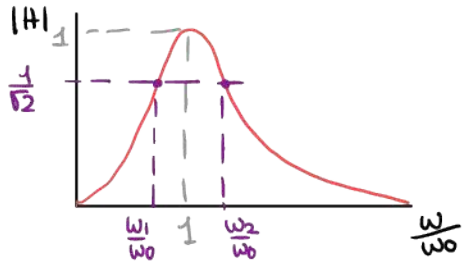
2) Se riscriviamo $H(s)$ otteniamo

$$H(j\omega) = \frac{j\omega\omega_0/Q}{-\omega^2 + j\omega\omega_0/Q + \omega_0^2} = \frac{-1}{1 + jQ\left(\frac{\omega}{\omega_0} - \frac{\omega_0}{\omega}\right)}$$

Se vogliamo calcolare il modulo, saremo

$$|H(j\omega)| = \frac{1}{\left|1 + jQ\left(\frac{\omega}{\omega_0} - \frac{\omega_0}{\omega}\right)\right|^2} = \frac{1}{1 + Q^2\left(\frac{\omega}{\omega_0} - \frac{\omega_0}{\omega}\right)^2}$$

Se imponiamo $|H(j\omega)| = 1/2$ cioè il passaggio a -3dB relativamente al picco



$$\frac{1}{1 + Q^2\left(\frac{\omega}{\omega_0} - \frac{\omega_0}{\omega}\right)^2} = \frac{1}{2}$$

$$Q^2\left(\frac{\omega}{\omega_0} - \frac{\omega_0}{\omega}\right)^2 = 1$$

$$\Downarrow \\ Q\left(\frac{\omega}{\omega_0} - \frac{\omega_0}{\omega}\right) = \pm 1$$

Percio'

$$\omega^2 \mp Q\omega\omega_0 - \omega_0^2 = 0$$

$$\omega_{1,2} = \omega_0 \left(\mp \frac{1}{2Q} + \sqrt{1 + \frac{1}{4Q^2}} \right)$$

Se adesso calcoliamo

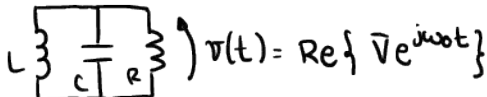
$$\frac{\Delta \omega}{\omega_0} = \frac{\omega_2 - \omega_1}{\omega_0} = \frac{\omega_0/2Q + \omega_0/2Q}{\omega_0} = \frac{\omega_0/Q}{\omega_0} = \frac{1}{Q}$$

Questo significa che Q è la ratio tra la frequenza centrale e il -3dB bandwidth della risposta in frequenza.

$$Q = \frac{\omega_0}{\Delta \omega}$$

3) Q ha anche un significato energetico.

Abbiamo definito $Q = \omega_0 RC$, consideriamo ora il circuito risonante



L'energia immagazzinata dal circuito è $E_{STORED} = \frac{1}{2} L I^2(t) + \frac{1}{2} C V^2(t)$

C'è un momento (che si ripete periodicamente) nel quale $I_L = 0$ e V è massima perciò possiamo scrivere l'energia in base al valore di V

$$E_{STORED} = \frac{1}{2} C |\bar{V}|^2$$

Perciò Q si può scrivere come $Q = \omega_0 RC = \omega_0 \frac{\frac{1}{2} C |\bar{V}|^2}{\frac{1}{2} |\bar{V}|^2 / R}$

$$\frac{\frac{1}{2} C |\bar{V}|^2}{\frac{1}{2} |\bar{V}|^2 / R} \quad \begin{matrix} \text{ESTORED} \\ \text{POTENZA DISSIPATA} \end{matrix}$$

Perciò Q è il rapporto tra energia e potenza dissipata in una rete risonante

Questo può essere riscritto come

$$Q = 2\pi f_0 \cdot \frac{E_{STORED}}{E_{DISS \text{ IN } UN \text{ CYCLE}}} \rightarrow \text{Semplifico le } f_0 \rightarrow Q = 2\pi \frac{E_{STORED}}{E_{DISS \text{ IN } UN \text{ CYCLE}}}$$

Q è anche 2 π volte il rapporto tra l'energia immagazzinata e l'energia dissipata in un ciclo

ESEMPIO



Il risonatore ideale in parallelo ha $R_p \rightarrow \infty$

$$L'C = LC$$

Quale rete ha il Q più alto?

abbiamo la stessa tensione nelle 2 reti solo che quella con $R=100\Omega$ consuma molto più corrente e quindi in un ciclo dissipà più energia.

MA ATTENZIONE! A noi ci interessa che l'energia immagazzinata sia molto più grande delle perdite, non ci interessano solo le perdite.

Ricordiamoci $Q = \omega_0 R C$

noi vogliamo un circuito RLC quindi senza i valori di C non possiamo rispondere alla domanda di prima

INFO:

Se ricordiamo $\omega_0 = 1/\sqrt{LC}$ allora $L = 1/\omega_0^2 C$ ricordando perde

$$\omega_0 L = 1/\omega_0 C \text{ allora ottieniamo } Q = R/\omega_0 L = \sqrt{C/L} \cdot R$$

4) Q è legato anche all'amplificazione in risonanza

Possiamo avere amplificazione di V o I dato una rete passiva, quello che non possono avere è un amplificazione di potenza



$I_g(t)$ sinusoidale a f di risonanza. $\omega_0 = \frac{1}{\sqrt{LC}}$

Tutta $I_g(t)$ va in R in risonanza.

IN RISONANZA SAPPIAMO ANCHE CHE

$$|I_C| = \omega_0 C \cdot |V| = \omega_0 C \cdot |I_g| \cdot R$$

RICORDIAMO Q, allora

$$! \quad Q \cdot |I_g|$$

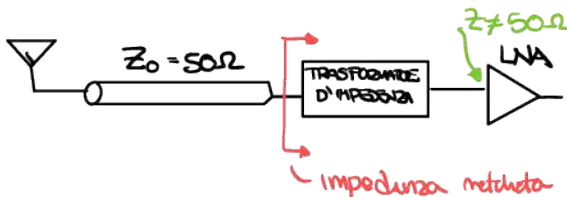
Legge di Ohm: V

Nel caso RLC serie $Q = \frac{1}{\omega_0 R C}$
notiamo che abbiamo la stessa cosa solo per la tensione

Però Q è l'amplificazione di corrente tra la corrente d'input e la corrente nel condensatore/induttore

APPLICAZIONI

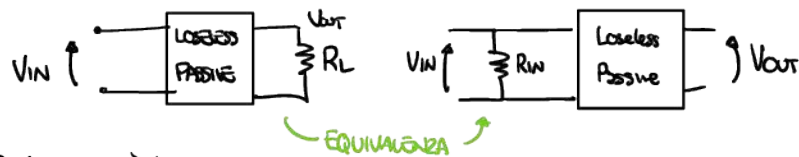
• TRASFORMAZIONI DI IMPEDENZA (MATCHING NETWORKS)



Se vogliamo maximizzare la potenza trasmessa
dobbiamo zadattare l'impedenza

La rete di adattamento può funzionare sia in Download (Da alta a bassa impedenza) che in Upload (Da bassa ad alta impedenza).

IN GENERALE posso fare questo adattamento con una rete passiva.



Dato che è lossless

$$\frac{1}{2} \frac{|V_{in}|^2}{R_{in}} = \frac{1}{2} \frac{|V_{out}|^2}{R_L}$$

Possiamo dire che

$$R_{in} = \frac{R_L}{\frac{|V_{out}|^2}{|V_{in}|^2}} = \frac{R}{G^2} \quad \text{con } G = \left| \frac{V_{out}}{V_{in}} \right|$$

Se abbrazzo un $G > 1$ posso ridurre l'impedenza (ottengo una trasformazione Download)

Se $G < 1$ ottengo una trasformazione upward.

RETE L-MATCH (la rete di trasformazione più semplice)

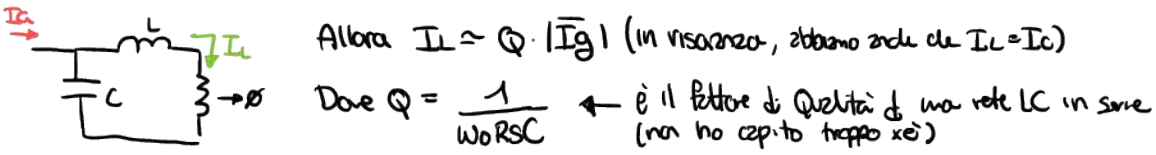


Possiamo usare 2 metodi:

- Lossless approximation (approssimazione)
- Pole

1) Lossless

Supponiamo $R_L = \emptyset \rightarrow$ allora abbrazzo $L//C$ ($Q \gg 1$)



$$\text{Perciò } |V_{out}| = |I_L| \cdot R_S = |I_C| \cdot R_S = \omega_0 C |V_{in}| \cdot R_S = \frac{|V_{in}|}{Q}$$

In risorsa

Abbiamo ottenuto che

$$|Z_{IN}| = \frac{|V_{IN}|}{|Ig|} = \frac{|\overline{V_{out}}| \cdot Q}{|\overline{Ii}| / Q} = Q^2 \cdot R_s$$

è anche la corrente in R_s

Periodo in risonanza (e con $Q \gg 1$) $|Z_{IN}| = Q^2 \cdot R_s$

Visto che $Q \gg 1$ questa è un forward impedance transformation

- CASO GENERALE SENZA LOSSLESS APPROXIMATION (l'impedenza di input della rete ditta R_p)



Dobbiamo trasformarlo in un circuito equivalente di questo tipo.

(equivalevza valida solo all'interno della freq di risonanza)

Series-to-parallel transformation

$$S_L + R_s = \frac{R_p \cdot S_{LP}}{R_p + S_{LP}}$$

$$R_p + S_{LP}$$

$$Q = \frac{\omega L}{R_s} = \frac{1}{\omega C R_s}$$

• Studiamo solo le cose che cambiano la capacità e rimasta quella

Rimpiazziamo S con $j\omega$ ed effettuiamo i calcoli esprimendo Q , perciò

$$R_s(1+jQ_L) = \frac{R_p \cdot j\omega L_p}{R_p + j\omega L_p}$$

è calcolo separante parte reale e parte immaginaria

$$R_s(1+jQ_L)(R_p + j\omega L_p) = j\omega L_p R_p$$

$$\bullet Re = R_s R_p - R_s Q_L \cdot \omega L_p = 0$$

$$\downarrow Q_L = R_p / \omega L_p$$

} Da queste 2eq ricevo le relazioni tra R_p / R_s e L / L_p

$$\bullet Im = R_s \cdot Q_L \cdot R_p + R_s \omega L_p = \omega L_p R_p$$

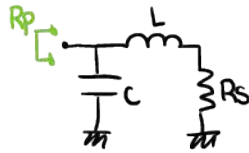
$$\downarrow = R_s R_p Q_L + \frac{R_s R_p}{Q_L} = R_p \cdot \frac{R_p}{Q_L}$$

$$\rightarrow R_p = R_s \cdot (1 + Q_L^2)$$

(vedremo che possiamo estrarre l'impedenza zeta senza il bisogno di circuiti risonatori)

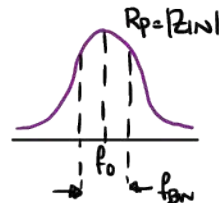
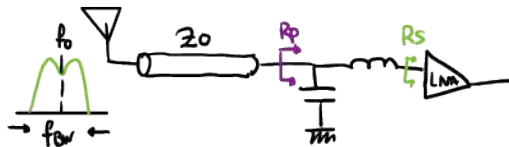
L-match network design rules

Tipicamente sono date la frequenza (ω_0) e il rapporto d. trasformazione R_p/R_s
Perciò



$$1) \text{ Sappiamo che } R_p = R_s(1 + Q_L^2) \rightarrow Q_L = \sqrt{\frac{R_p}{R_s} - 1}$$

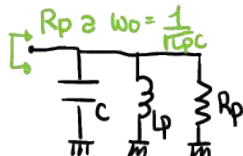
Se vogliamo rapporti d. trasformazioni grandi \rightarrow narrow band trasformazione (cioè Q_L ampio) Questo significa che la banda per cui $Z_{in} = R_p$ sarà molto stretta.



2) Da Q_L ricaviamo L

$$Q_L = \frac{\omega_0 L}{R_s} \rightarrow L = \frac{Q_L \cdot R_s}{\omega_0}$$

3) Ricordiamo che stiamo facendo questo circuito equivalente

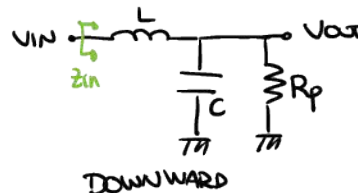
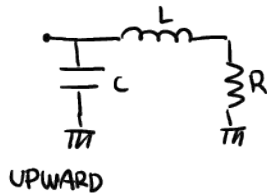


$$\text{Perciò } \omega_0 = 1/\sqrt{L_p C}$$

$$\text{e } L_p = \frac{1 + Q_L^2}{Q_L^2} \rightarrow \text{e poi ricaviamo C}$$

COME POSSIAMO FARE UNA RETE LC CHE TRASFORMI IN DOWNWARD?

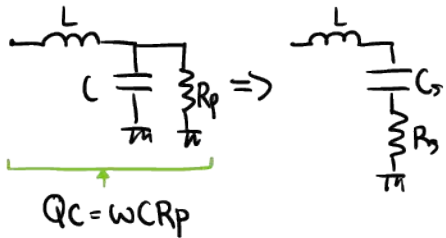
Il bello di queste reti è che sono passive, senza perdite e reciproche



• LOSSLESS APPROX: $|V_{out}| = Q \cdot |V_{in}|$

$$Z_{in}(j\omega_0) \approx R_p/Q^2$$

CALCOLI ACCURATI



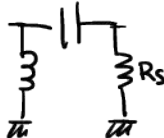
Dopo calcoli e usando Q_c , si ottiene che

$$\left\{ \begin{array}{l} R_s = R_p / (1 + Q_c^2) \\ C_s = C \cdot \frac{1 + Q_c^2}{Q_c^2} \end{array} \right.$$

Questo vale per $\sqrt{1/Q_c}$

Ci sono 4 TIPI DI RETI L-MATCH, POSSIAMO TROVARI NEGLI SLIDE

UPWARD

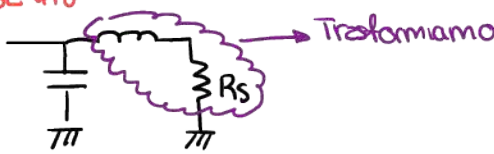


DOWNWARD



Decido quale usere (dopo aver scelto se UP o DOWN) in base al tipo di risposta in frequenza che c'è oppure, o la capacità di bloccare la componente in continua o l'absorption of stray capacity (dobbiamo tenerne conto per la rete risonante ma semplificare il resto del circuito, adesso sono capacità parallele)

ESEMPIO



$$Q_L = \frac{\omega_0 L}{R_s}$$

$$\omega_0 = \frac{1}{\sqrt{L_p R_p}}$$



$$Z_{in} \left(j \frac{1}{\sqrt{L_p R_p}} \right) = R_p = R_s (1 + Q_L^2)$$

$$L_p = L \cdot \frac{Q_L^2 + 1}{Q_L^2}$$



$$Q_c = 1 / \omega_0 C R_s$$

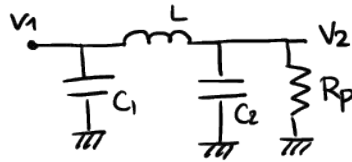
$$\omega_0 = \frac{1}{\sqrt{C_p L}}$$

$$R_p = R_s (1 + Q_c^2)$$

$$C_p = C \cdot \frac{Q_c^2}{1 + Q_c^2}$$

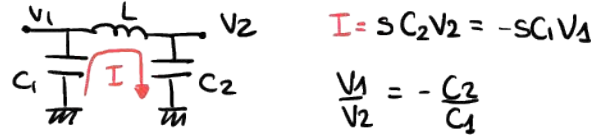
Può succedere che calcolando queste reti ci vengono valori di L e C non realizzabili per risolvere questo ci sono diversi altri tipi di reti

TT-match network (Colpitz-network)

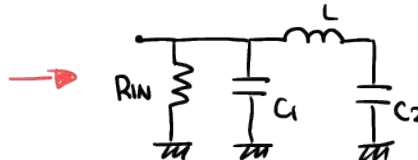
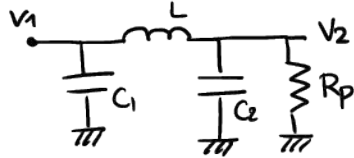


• LOSSLESS APPROXIMATION (interpretazione fisica)

$$R_p \rightarrow \infty \text{ allora}$$



> L'impedenza vista all'input



Si può scrivere che

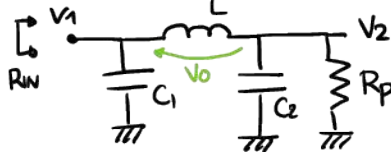
$$\frac{1}{2} \frac{V_1^2}{R_{IN}} = \frac{1}{2} \frac{V_2^2}{R_p}$$

Sono l'uguaglianza della potenza dissipata nei 2 circuiti (L e C non consumano potenza!!) e la potenza data in segnale sinusoidale

Da cui

$$R_{IN} = R_p \left(\frac{V_1}{V_2} \right)^2 = R_p \left(\frac{C_2}{C_1} \right)^2$$

Quelli sono i vantaggi di questo circuito rispetto a quelli visti prima?



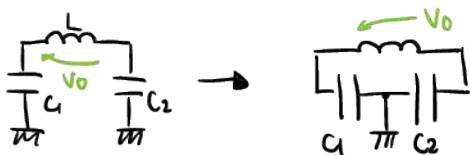
$$R_{IN} = R_p \left(\frac{C_2}{C_1} \right)^2$$

$C_2 > C_1$ UPWARD
 $C_2 < C_1$ DOWNWARD

Se calcoliamo il fattore di qualità del circuito (lo facciamo con le energie xe' non e' facile farlo)

$$Q = \omega_0 \cdot \frac{\text{ESTO ED}}{P_{DISS}}$$

La ESTORED nel circuito lo possiamo scrivere come (con V_0 , tensione zc capi dell'induttore)

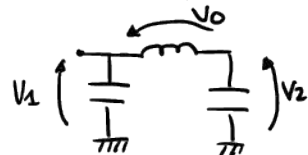


Li vedo come in serie

$$\text{ESTORED} = \frac{1}{2} \cdot \frac{C_1 C_2}{C_1 + C_2} \cdot |V_0|^2$$

La P_{DISS} sarà invece (lo scriviamo in termini di V_0) R_p è quello che dissipava potenza

$$\begin{aligned} P_{\text{DISS}} &= \frac{1}{2} \frac{|V_2|^2}{R_p} \\ &= \frac{1}{2} \left(\frac{C_1}{C_1 + C_2} \right)^2 \cdot |V_0|^2 \end{aligned}$$



$$\begin{aligned} V_0 &= V_1 - V_2 = \frac{-C_2}{C_1} V_2 - V_2 \\ &= -\left(1 + \frac{C_2}{C_1}\right) \cdot V_2 \end{aligned}$$

PERCIÒ IL FATTORE DI MERITO È:

$$Q = \omega_0 \frac{\frac{C_1 C_2}{C_1 + C_2}}{\left(\frac{C_1}{C_1 + C_2}\right)^2} \cdot R_p \rightarrow Q = \omega_0 R_p C_2 \left(1 + \frac{C_2}{C_1}\right)$$

(SOTTO LOSLESS APPROX)

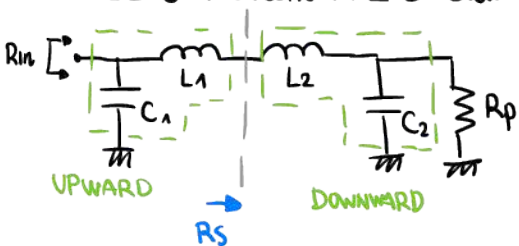
Si capisce dunque che questa rete ha in fattore di merito che può essere visto come

$$Q_T = \underbrace{\omega_0 R_p C_2}_{\substack{\text{Q FACTOR DI UN} \\ \text{L-MATCH}}} \left(1 + \frac{C_2}{C_1}\right) \quad \underbrace{\text{Fattore amplificativo}}$$

Il fattore di merito di una rete π è più grande di quello di una rete L -match (considerando la stessa trasformazione ratio)

• CASO GENERALE (non losless)

Dividiamo il circuito in 2 L-match



Calcoliamo prima la resistenza eq R_S del Downward e poi arriviamo a R_N

Usando i risultati precedenti

$$R_S = \frac{R_P}{1 + Q_2^2} \quad \text{dove } Q_2 = \omega_0 R_P C_2$$

Poi

$$R_{IN} = R_S(1 + Q_1^2) = R_P \cdot \frac{1 + Q_1^2}{1 + Q_2^2} \quad \text{dove } Q_1 = \frac{\omega_0 L_1}{R_S}$$

Il rapporto di trasformazione viene

$$\frac{R_{IN}}{R_P} = \frac{1 + Q_1^2}{1 + Q_2^2}$$

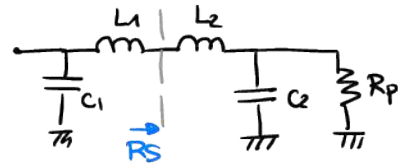
π-Matched network design rules

i parametri forniti sono ω_0 , R_{IN}/R_P , Q

Il fattore di merito sarà

$$Q = \frac{\omega_0(L_1 + L_2)}{R_S} = Q_1 + Q_2$$

$$\omega_0 = \frac{1}{\sqrt{L_2 C_2 \cdot \frac{1+Q_2^2}{Q_2^2}}}$$



1) Ricaviamo R_S facendo $Q = Q_1 + Q_2$, seppiamo che

$$Q_1 = \sqrt{\frac{R_{IN}}{R_S} - 1} \quad Q_2 = \sqrt{\frac{R_P}{R_S} - 1} \quad (\text{le abbiamo ricavate delle formule di } R_P \text{ e } R_S \text{ viste sopra})$$

Perciò

$$Q = \sqrt{\frac{R_{IN}}{R_S} - 1} + \sqrt{\frac{R_P}{R_S} - 1} \quad \text{L'unica che non seppiamo è } R_S \text{ e la ricaviamo da qui}$$

2) Ricaviamo $L_1 + L_2 = \frac{Q \cdot R_S}{\omega_0}$

3) $Q_2 = \omega_0 R_P C_2$ e ricaviamo $C_2 = Q_2 / \omega_0 R_P$ [sappiamo Q_2 grazie alla formula di prima]

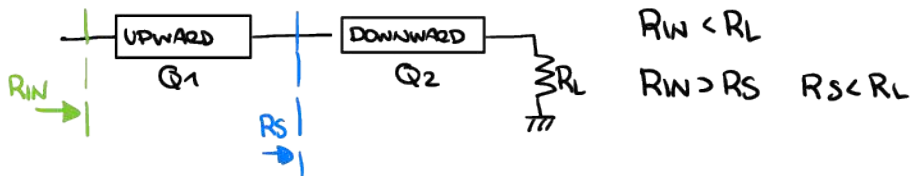
4) Ricaviamo L_1 da $Q_1 = \frac{\omega_0 L_1}{R_S} \rightarrow L_1 = \frac{Q_1 R_S}{\omega_0}$

5) Ricaviamo $\omega_0 = \frac{1}{\sqrt{L_2 C_2 \frac{1+Q_2^2}{Q_2^2}}} = \frac{1}{\sqrt{C_2 L_1 \cdot \frac{1+Q_1^2}{Q_1^2}}} = \frac{1}{\sqrt{L_1 P}}$

Dalle 2 eq ricaviamo 2 risultati, dalla prima ricaviamo L_2 e dall'altra C_2

Siamo riusciti a ricavare tutti e 4 i termini

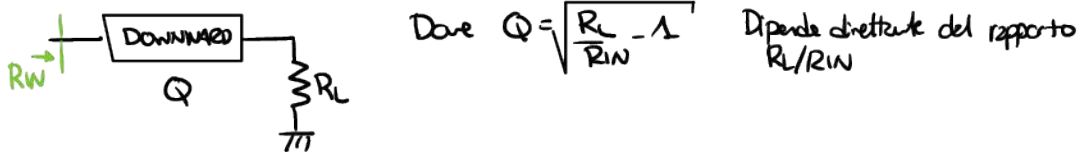
Capiamo i vantaggi della rete T, molti gradi di libertà e possibilità di fare UPWARD e DOWNWARD con la stessa rete in base a come sono settati i 2 sottocircuitti di UP e DOWN.



Il fattore di merito Q_2 vale $Q_2 = \sqrt{\frac{R_L}{R_S} - 1}$ e $Q_1 = \sqrt{\frac{R_{IN}}{R_S} - 1}$

Q_2 può essere più grande d. Q_1 , abbiamo un grado d. libertà per "dimensionare" il nostro fattore di merito

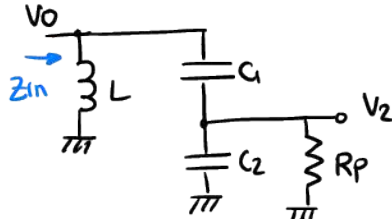
Al contrario nel caso di un L-match downward abbiamo



SULLE SUDE POSSIAMO VEDERE ALTRI TIPI DI T-MATCH NETWORK
(detti delle permutazioni d. induttori e condensatori.)

Reti passive senza risonanza

- Resonator with tapped capacitor (Collpitz network)



Abbiamo spostato l'induttore prima dei 2 condensatori, abbiamo come porta di input l'induttore

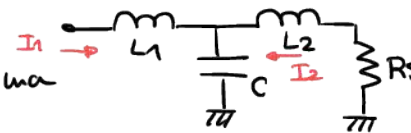
> LOSSLESS APPROX [$R_P \rightarrow +\infty$]

$$\frac{V_2}{V_0} \approx \frac{C_1}{C_1 + C_2}$$

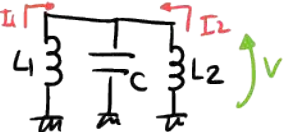
$$R_{IN} = R_P \cdot \frac{V_0^2}{V_2^2} \approx R_P \left(1 + \frac{C_2}{C_1}\right)^2 \text{ UPWARD}$$

T-match network

Ogni rete Π possiamo trasformarla in una a T



> LOSSLESS APPROX. [$R_s \rightarrow \emptyset$]



Si può scrivere che

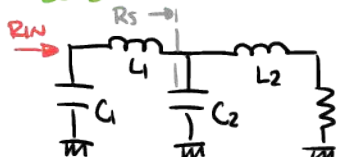
$$-V = S L_1 I_1 = S L_2 I_2 \quad \text{e quindi}$$

$$\frac{I_1}{I_2} \approx \frac{L_2}{L_1} \quad \text{è una situazione d'oltre rispetto a prima}$$

Perciò si può scrivere che R_{IN} , per il mantenimento dell'energia è:

$$R_{IN} = R_s \left(\frac{I_s}{I_1} \right)^2 \approx R_s \cdot \left(\frac{L_1}{L_2} \right)^2$$

CASCADED L-MATCH NETWORKS



ho 2 L-match UPWARD messi in serie

$$R_{IN} = R_s (1 + Q_1^2) \quad \text{e} \quad R_s = R_p (1 + Q_2^2)$$

$$\text{perciò} \quad R_{IN} = R_p (1 + Q_2^2) (1 + Q_1^2)$$

$$\text{con} \quad Q_2 = \omega_0 L_2 / R_p \quad \text{e} \quad Q_1 = \omega_0 L_1 / R_s$$

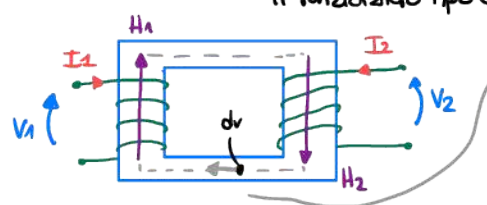
Il vantaggio di avere 2 step UPWARD è quello di avere 1 più grado di libertà e poi pariamo per 2 piccoli step al posto di un solo grande in modo da avere Q più piccoli e quindi più banda. Il problema è che questo circuito non offre ricchezza (in questo caso L può).

Impedance transformation (downward)

Dobbiamo avere un amplificatore di corrente o tensore da una rete passiva la possiamo fare con

1) Risonanza \rightarrow Abbiamo visto come

2) Inductor coupling (trasformatori) \rightarrow il vantaggio è che non ha una banda limitata per il funzionamento tipo come in risonanza.



Q_1, H_1, H_2 hanno la stessa orientazione

Se le spine di I_2 sono di contro H_2 è contrario (regole costruttori) allora M deve essere negativo

Se calcoliamo l'energia in dv è : $E_m = \frac{\mu}{2} \cdot \underbrace{|H_1 + H_2|}_{\text{Total H field}} dv$

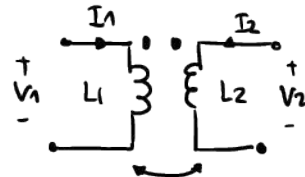
che è anche uguale a

$$E_m = \frac{\mu_2}{2} |H_1|^2 dv + \frac{\mu}{2} |H_2|^2 dv + \underbrace{\mu H_1 \cdot H_2 \cdot dv}_{\text{mutual energy}}$$

Nel grafico da noi disegnato H_1 e H_2 hanno lo stesso verso quindi lo scarto sarà positivo e quindi la mutual energy sarà positiva.

Se cambia l'orientazione delle spire o inverti la corrente allora la mutual energy sarà negativa.

Quindi in un circuito dobbiamo anche dire il verso della tensione



$$\begin{cases} \phi_1 = L_1 I_1 + M I_2 \\ \phi_2 = M I_1 + L_2 I_2 \end{cases} \quad \Pi = \text{coupled inductance}$$

L'energia magnetica sarà

$$\begin{aligned} E_m &= \int_0^t (V_1 I_1 + V_2 I_2) dt' \\ &= \underbrace{\frac{1}{2} L_1 I_1^2(t)}_{\text{energia della prima spira}} + \underbrace{\frac{1}{2} L_2 I_2^2(t)}_{\text{energia della seconda spira}} + \underbrace{\Pi I_1(t) \cdot I_2(t)}_{\text{mutual energy}} \end{aligned}$$

La mutual energy dipende da I_1 , I_2 e Π , come posso sapere il segno di questo in un circuito? Mettiamo i puntini

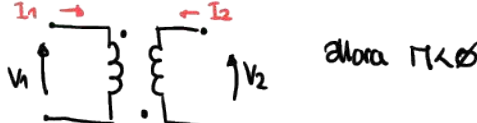
- Π positivo se I_1 e I_2 entro o lasciano i puntini
- Π negativo se I_1 e I_2 sono opposti?

01.Oct.21

lezione / Tutorial

3h

Caso opposto



Allora $\Pi < 0$

Definiamo il coupling coefficient

$$K = \frac{|\Pi|}{\sqrt{L_1 L_2}} \quad \text{dove } 0 \leq K \leq 1$$

Con M chiamiamo mutua induttanza e L_1 e L_2 vengono chiamate auto-induttanze

Esempi

> Serie di induttori zaccoppiati



$$I = I_1 = I_2$$

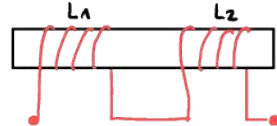
Questo è il caso di M positivo perché I_1 e I_2 entrano dal terminale con il punto

Quale è l'induttanza totale della serie?

Iniziamo calcolando il flusso

$$\Phi = \Phi_1 + \Phi_2$$

$$= \underbrace{L_1 I_1 + M I_2}_{\Phi_1} + \underbrace{L_2 I_2 + M I_1}_{\Phi_2} = (L_1 + L_2 + 2M) I \quad \text{visto che } I_1 = I_2 = I$$



Se L_1 e L_2 sono identici e dato che $|M| = K\sqrt{L_1 L_2}$, allora

$$L_{\text{tot}} = (2L + KL)I$$

$$\text{per } K \rightarrow 0 \quad L_{\text{tot}} \rightarrow 2L$$

$$\text{per } K \rightarrow 1 \quad L_{\text{tot}} \rightarrow 4L$$

Per $K=1$ abbiamo $4L$ perché possiamo vedere le 2 induttanze come e quindi se $L_1=L_2$ hanno gli stessi giri entro una ferite, per la fisica se redoppiano i giri l'induttanza va al quadrato quindi ottengo $4L$.

Abbriamo anche il caso



$$\Phi = \Phi_1 + \Phi_2 = L_1 I_1 - M I_2 - M I_1 + L_2 I_2 \\ = \underbrace{(L_1 + L_2 - 2M)}_{L_{\text{TOT}}} I$$

Se $L_1 = L_2 = L$ ottieniamo

$$L_{\text{TOT}} = 2(1-K)L$$

$$\text{Se } K=0 \rightarrow L_{\text{TOT}} = 2L$$

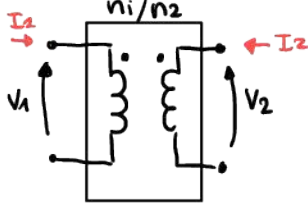
$$\text{Se } K=1 \rightarrow L_{\text{TOT}} = 0$$

Modello del trasformatore

> Modello basato sul trasformatore ideale

> Modello a T

Trasformatori ideale



1) Non c'è dispersione \Rightarrow flusso $K=1$

$$\begin{cases} \phi_1 = n_1 \cdot \Phi \\ \phi_2 = n_2 \cdot \Phi \end{cases} \quad \text{con } \Phi \text{ flusso di una singola spira}$$

$$\hookrightarrow \frac{V_1}{V_2} = \frac{n_1}{n_2} \quad \text{uso Lenz}$$

Faccio una voltage amplification

2) Autoinduttanze infinite ($L_1, L_2 \rightarrow \infty$)

La forza magnetomotrice in un induttore $m.m.f. = \Phi \cdot R = \frac{\Phi}{\Lambda} \leftarrow$ permeanza
Quella sopra descritta è la legge di Hopkinson

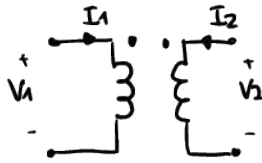
flusso \uparrow resistenza (Ω/H)

Se L_1, L_2 siano $\Lambda \rightarrow \infty$ e quindi $m.m.f. \rightarrow 0$ e questo per la legge di ampe

$$m.m.f. = n_1 I_1 + n_2 I_2 = 0 \rightarrow \frac{I_1}{I_2} = -\frac{n_2}{n_1}$$

Se confronto la potenza tra primario e secondario si ricava che il trasformatore ideale non consuma potenza

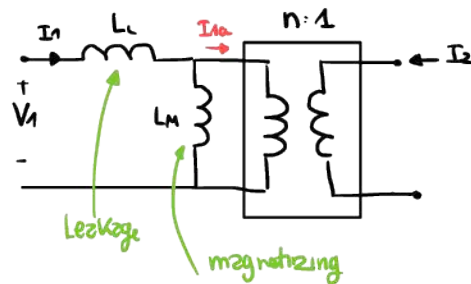
Modello equivalente di induttori accoppiati



Dove

$$\begin{cases} L_L = (1-K^2)L_1 \\ L_M = K^2 L_1 \\ n = K \cdot \sqrt{\frac{L_1}{L_2}} \end{cases}$$

IMPORTANTI DA RICORDARE



Verificazione

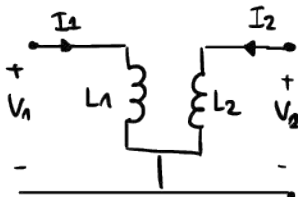
- Nel caso ideale $\Phi_1 = L_1 I_1 + M I_2 \rightarrow L_1 = \frac{\Phi_1}{I_1} \Big|_{I_2=0}$

- Nel modello dato da $I_2=0 \rightarrow I_{1a}=0$ allora

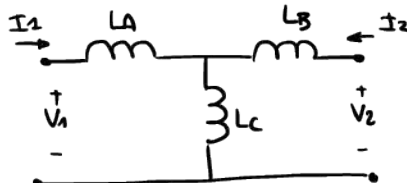
$$\Phi_1 = (L_L + L_M) I_1 \rightarrow L_1 = \frac{\Phi_1}{I_1} \Big|_{I_2=0} = L_L + L_M$$

Notiamo che $L_L + L_M = L_1$

T-MODEL



è equivalente a



Vediamo che

$$L_1 = \left. \frac{\Phi_1}{I_1} \right|_{I_2=0} = L_A + L_C$$

$$L_2 = \left. \frac{\Phi_2}{I_2} \right|_{I_1=0} = L_B + L_C$$

e otteniamo che

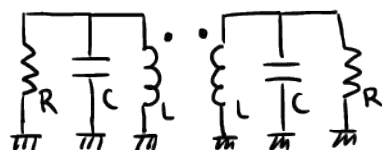
$$\begin{cases} L_A = L_1 - M \\ L_B = L_2 - M \\ L_C = M \end{cases}$$

RICORDIAMO

IN QUESTO CASO SE $M < 0$ CI VIENE $L_C < 0$
MA C'È UN BENE XE' È UN MODELLO EQUIVALENTE

ES / ESEMPIO

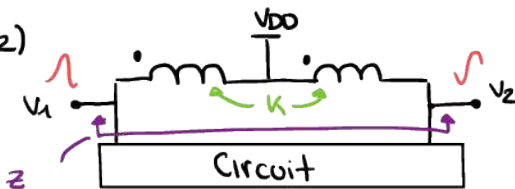
1)



How many resonant frequencies has this circuit?

[Vedere sulle slide]

2)



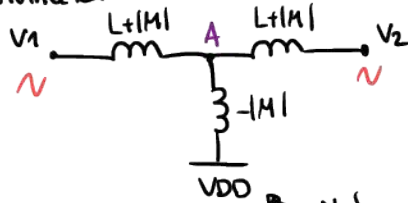
Quel è l'impedenza di circuito in common mode e in differential mode?

Questo circuito è chiamato "common-mode killer"

Se $K=1$ $Z_{cm} \rightarrow \infty$ e $Z_d \rightarrow j\omega L$ Kill la common mode voltage

Per esempio supponiamo che il circuito sia un amplificatore differenziale e vedo l'impedenza data dalla curva viola. VDD serve solo per bias

Per convincersi



Vediamo che è solo bias

Notiamo che il nodo A è a polarizzazione nulla se comiendo in differential mode. Al contrario in common mode ha

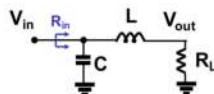


e ci viene che $2\text{cm} = \lambda$

ho diviso $\lambda/4$ in 2 metà e in
qualsiasi ognuna di valore $\lambda/4$

PARTE DI TUTORIAL

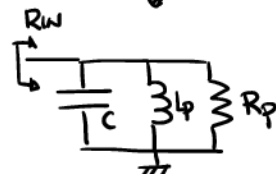
T6.1 Let us consider the L-match network in figure, where $R_L = 50\Omega$.



- a) Size L and C in order to obtain $R_{IN} = 100\Omega$ at 5 GHz. What is the Q of the network?
 b) Driving the input port of the network with a current source, evaluate the complex transimpedance V_{out}/I_{in} at 5GHz.

ESERCIZIO BASE CHE SI BASA SU
L-MATCH

$$Z_m = R_{IN} \quad \omega_0 = \frac{1}{\sqrt{LPC}}$$



a) Creiamo il circuito equivalente solo rispetto a Z_{IN} →

$$R_{IN} = R_L (1 + Q_L^2)$$

Dove $Q_L = \frac{\omega_0 L}{R_L}$ e questo vale per $\omega_0 = \frac{1}{\sqrt{LPC}}$ (non stiamo dicendo che ω_0 è la frequenza di risonanza del circuito originale)

$$\text{Dove } L_p = L \left(1 + \frac{1}{Q_L^2} \right)$$

La ricaviamo dalla formula di R_{IN}

• Calcoliamo Q_L $Q_L = \sqrt{\frac{R_{IN}}{R_L} - 1} = 1$

Questo significa che $L_p = L (1+1) = 2L$, per dell' espressione di Q_L ricaviamo L

$$L = \frac{Q_L \cdot R_L}{\omega_0} = \frac{1 \cdot 50}{2\pi \cdot 5G} = 1,58\text{nH}$$

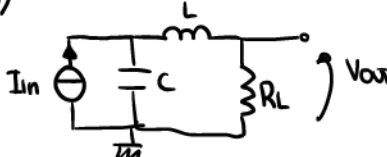
Sappiamo poi che $C = \frac{1}{(\omega_0^2 L_p)} = 318,6\text{ pF}$

• Il fattore di qualità della rete originale è

$$Q = \frac{\omega_{res} \cdot L}{R_L} \quad \text{dove } \omega_{res} = \frac{1}{\sqrt{L_C}}$$

Dove LC sono i valori originali

b)



Calcolare la transimpedenza $\frac{V_{out}}{I_{in}}$ a $f_0 = 5\text{GHz}$

$$\frac{V_{out}}{I_{in}} = \frac{V_{out}}{I_{in}} \cdot \frac{V_{out}}{V_{in}}$$

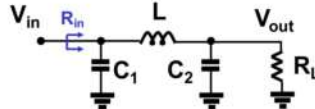
$\cancel{Z_{IN}}$

$$= R_{IN} \cdot \frac{R_L}{R_L + j\omega_0 L} \quad \begin{matrix} \text{dividiamo per } R_L \\ \text{così } \omega_0 / R_L = Q_L \end{matrix}$$

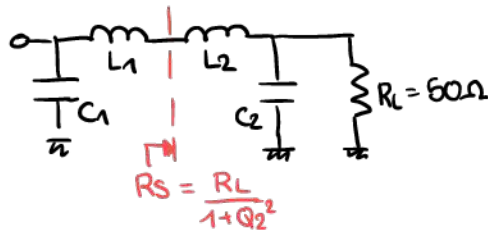
$$= R_{IN} \cdot \frac{1}{1 + jQ_L} = 50 - j50 \Omega$$

- T6.2 Let us consider the π -match network in figure, where $R_L=50\Omega$. Size L , C_1 and C_2 in order to obtain $R_{in}=100\Omega$ at 5GHz, and a quality factor of the resulting network equal to $Q=5$.

TI-MATCH NETWORK



Dividiamo l'induttore in 2



$$\text{dove } Q_2 = \frac{\omega_0' L_2}{R_S}$$

$$\text{e questo si ha a } \omega_0' = \frac{1}{\sqrt{L_2 C_2}}$$



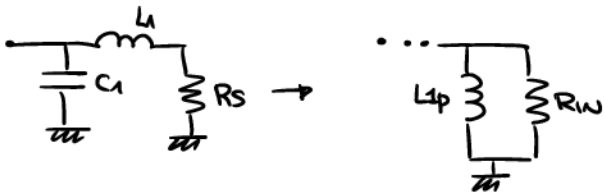
$$C_{2S} = C_2 \left(1 + \frac{1}{Q_2^2} \right)$$

Poi passiamo ad R_{in}

$$R_{in} = R_S (1 + Q_1^2)$$

$$Q_1 = \frac{\omega_0' L_1}{R_S}$$

$$\text{con questa } \omega_0' = \frac{1}{\sqrt{L_1 C_1}} \quad \text{con } L_{sp} = L_1 \left(1 + \frac{1}{Q_1^2} \right)$$



combinando i risultati ottieniamo che

$$R_{in} = R_L \cdot \frac{1 + Q_1^2}{1 + Q_2^2}$$

$$Q_{TOT} = Q_1 + Q_2$$

visto che seppiamo Q_{TOT} , R_{in} e R_L cerchiamo Q_1 e Q_2

$$R_{in} = R_L \cdot \frac{1 + Q_1^2}{1 + (Q - Q_1)^2} \rightarrow Q_1 = 3$$

$$Q_2 = Q_{TOT} - Q_1 = 2$$

è ora ricaviamo gli altri risultati

$$R_S = \frac{R_{IN}}{1+Q_1^2} = 10\Omega$$

$$L_1 = \frac{Q_1 \cdot R_S}{\omega_0} = 955\text{pH}$$

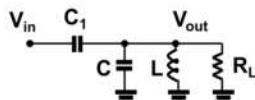
$$L_2 = \frac{Q_2 R_S}{\omega_0} = 637\text{pH}$$

$$L_{TOT} = L_1 + L_2 = 1,59\text{nH}$$

$$C_1 = \frac{1}{\omega_0^2 L_1 \left(1 + \frac{1}{Q_1^2}\right)} = 955\text{fF}$$

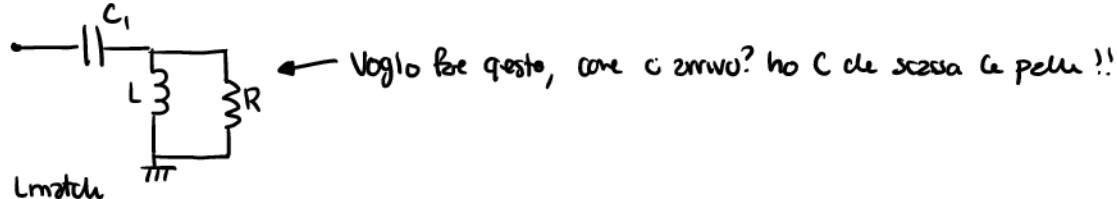
$$C_2 = \frac{1}{\omega_0^2 \cdot L_2 \cdot \left(1 + \frac{1}{Q_2^2}\right)} = 1,273\text{pF}$$

- T6.3 Let us consider the impedance transformation network in figure. Assuming $R_L=50\Omega$ and $C=2\text{pF}$, size L and C_1 to obtain an equivalent input impedance of 5Ω at 5GHz. What is the quality factor of the network?

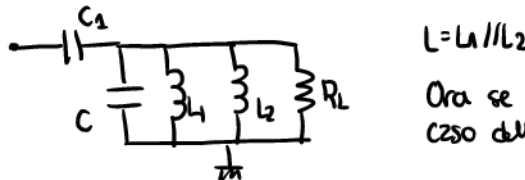


Circuito che non appartiene
a una delle categorie
base

Come risolviamo l'esercizio? Dobbiamo cercare di modificare il circuito per cercare di arrivare ad una delle topologie note. Vogliano andare alla tipologia L-match



Dato che lavoriamo a f fisso possiamo dividere l'induttore in 2 pezzi



Ora se riusciamo a rimuovere il $C // L_1$ siamo al caso dell'L-match

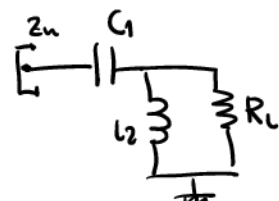
Per toglierlo lo facciamo risuonare quindi prendiamo L_1 in modo che $L_1 C$ risuoni (in questo caso a 5GHz)

$$L_1 = \frac{1}{\omega_0^2 C} = 507\text{pH}$$

Dopo la risonanza ricavo il circuito (che vale solo a 5GHz che è)

e non dobbiamo far conti (usiamo l'L-match)

$$Z_m = \frac{R_L}{1 + Q L_2^2}$$



$$Q_{L2} = R_L / \omega_0 L^2 \quad e \quad \omega_0 = 1 / \sqrt{C_1 L_{2s}}$$

$$\text{dove } L_{2s} = \frac{L_2}{1 + \frac{1}{Q_{L2}}}$$



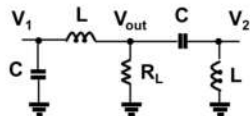
Perciò

$$Q_{L2} = \sqrt{\frac{R_L}{R_{IN}} - 1} = 3$$

Grazie al quale posso ricevere L₂ $L_2 = \frac{\omega_0 Q_{L2}}{R_L} = 531 \text{ pH}$ e $C_1 = 2.2 \text{ pF}$

Sappiamo L₁ e L₂ e quindi possiamo calcolare $L = L_1 // L_2$

T6.4 We want to design a differential to single-ended signal converter. Let us consider the circuit in figure, where $R_i = 50\Omega$.



- a) Find the values of L and C to have a gain $|V_{out}| / |V_1 - V_2| = 1$ at 5GHz.
- b) Evaluate the differential impedance between V_1 and V_2 at 5GHz.

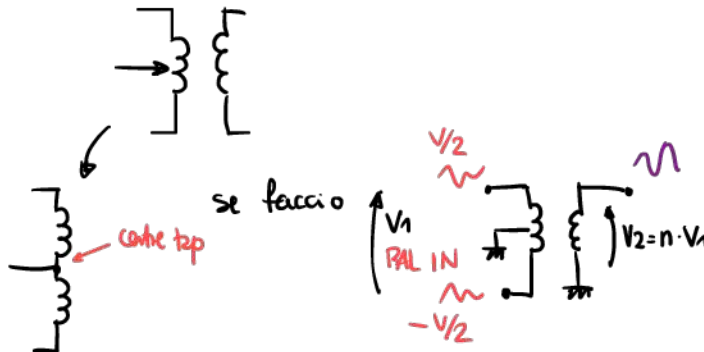
Solution: a. $L=1.59\text{nH}$, $C=637\text{fF}$; b. $R_{diff}=50\Omega$

È UN DIFFERENTIAL TO SINGLE ENDED CONVERTER IN RF E CHIAMATO "BALUN" STA PER Balanced - to - unbalanced converter

(L'ESERCIZIO DOBBIANO FARLO NOI QUESTA È UNA SPECIALEZZE (ESEMPIO))

(secondo me si fa con la sovrapposizione degli effetti)
e fare in modo che V_{out} è variabile di 180° di fase)

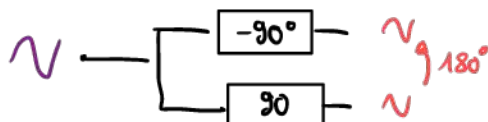
Il modo tipico di fare un "Balun" è con gli induttori accoppiati, dove il primo ha un tap



Se in ingresso metto un segnale bilanciato (differential mode) allora in uscita ho una singola ended

Praticamente se $n=1$ ho trasformato un segnale doppio ended in un singolo ended. Si può vere anche al contrario

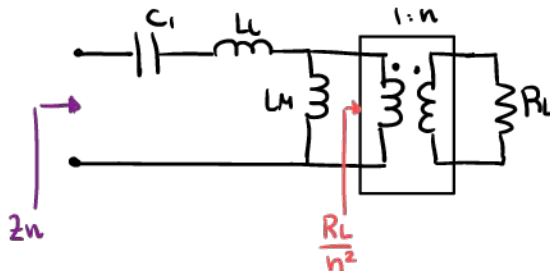
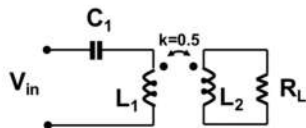
IN QUESTO ESERCIZIO IL FUNZIONAMENTO È DIVERSO. È FATTO PER CREARE UNA DIFFERENZA DI FASE. INTATTI UN ALTRO MODO PER ANDARE DA SEGNALE BILANCIAO A NON BILANCIAO SI PUÒ FARLO ANCHE COSÌ



Un modo per fare i 90° sono con reti LC

T6.6 Let us consider the impedance-matching network in figure, based on a real transformer. Given a coupling factor $k=0.5$ between primary and secondary windings, $L_2 = 1.59\text{nH}$ and $R_L = 50\Omega$, size L_1 and C_1 to obtain an equivalent input impedance of 5Ω at 5GHz. What is the Q of the resulting network?

AUTORE ES DA FARE A CASA



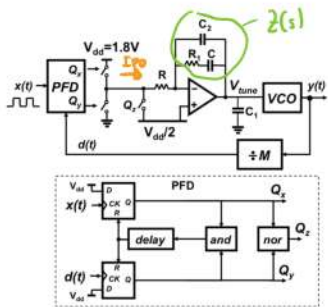
Poi devo portare l_1 in parallelo e calcolare la resistenza?

08-06-2021

TUTORIAL

3h

T4.1 The PLL in the figure embeds the PFD in the inset, where the block "delay" introduces a **delay of 0.5 ns**. The switches have infinite resistance (when off) and 10 Ω (when on). The reference clock $x(t)$ has 50 MHz frequency. The frequency-division factor is $M = 55$ and the VCO frequency varies in the range between 2650 and 2850 MHz, sweeping the V_{tune} from 0 to $V_{dd} = 1.8$ V. Let the capacitors be $C_1 = 100 \text{ pF}$ and the resistor $R_1 = 100 \Omega$.



- Assuming an ideal Op-Amp (with infinite gain and bandwidth), set the value of R and C to get two complex dominant (closed-loop) poles at 100 kHz located at 45 degree on the Gauss plane.
- If the resistance of the switch driven by Q_x is 15Ω (when on), set the minimum value of C_2 to get the level of the spur at 50 MHz in the spectrum of $y(t)$ lower than -80 dBc.
- Assuming all the switches with resistance 10Ω (when on), but an offset voltage of 100 mV for the Op-Amp, can the loop lock? If yes, what is the value of the output frequency, the delay between $x(t)$ and $d(t)$ at steady state, the reference-spur level?

a) INIZIAMO A COSTRUIRE L'EQ. PHASE MODEL

(Importante, dobbiamo ricordare che gli switch hanno una resistenza quando ON)

Troviamo i possibili stati di Q_x, Q_y, Q_z

Q_x	Q_y	R	Q_z
0	0	0	1
0	1	0	0
1	0	0	0
1	1	1	0

$$R = \text{AND}(Q_x, Q_y)$$

$$Q_z = \text{NOR}(Q_x, Q_y)$$

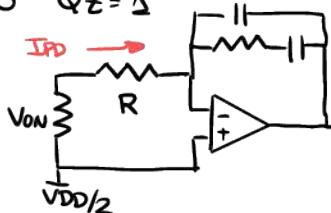
Q_x e Q_y sono gli input

Troviamo ora la relazione tra questi stati e IPD

- STATO 1 $Q_x = 0 \quad Q_y = 0 \quad Q_z = 1$

ho questo circuito

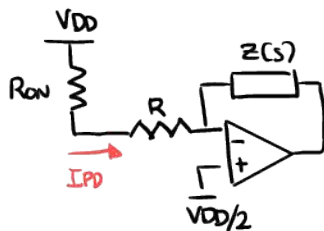
$$IPD = \emptyset$$



$IPD = \emptyset$ e' mossa virtuale

- STATO 2 $Q_x = 1, Q_y = 0, Q_z = \emptyset$

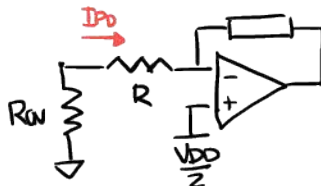
Il circuito e'



$$IPD = \frac{(VDD - VDD/2)}{RON + R}$$
$$= I_{P\emptyset}$$

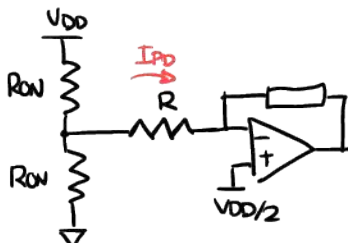
e' non sappiamo il valore di R

- STATO 3 $Q_x = 0 \quad Q_y = 1 \quad Q_z = \emptyset$



$$IPD = \frac{(0 - VDD/2)}{RON + R} = -I_{P\emptyset}$$

- STATO 4 $Q_x = 1 \quad Q_y = 1 \quad Q_z = \emptyset$



$$IPD = \frac{(Vx - VDD/2)}{R}$$

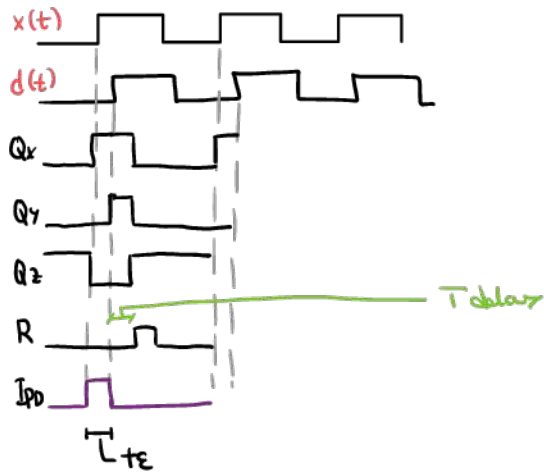
$$Vx = \frac{(RON/R)}{(RON/R) + RON} VDD + \frac{RON/2}{RON/2 + R} \frac{VDD}{2}$$

approssimiamo dicendo $R > r_{on}$

$$Vx = \frac{RON}{RON + RON} VDD + (\approx 0) \rightarrow \frac{VDD}{2} \quad \text{quindi } IPD \approx \emptyset$$

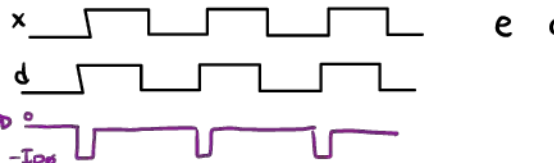
Ricaviamo ora la relazione tra la phasse error e la corrente

- $t_E > 0$



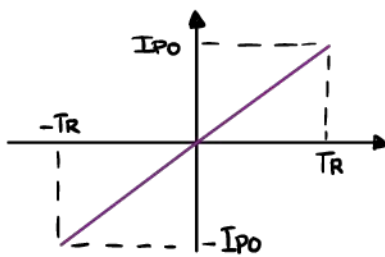
$$\text{Quindi: } \langle IPD \rangle = IPD \cdot \frac{t_E}{T_R}$$

- $t_E < 0$

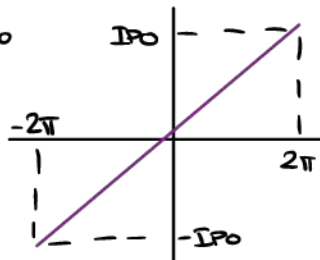


$$\text{e quindi: } \langle IPD \rangle = -IPD \frac{t_E}{T_R}$$

QUINDI LA CARATTERISTICA DEL PD È:

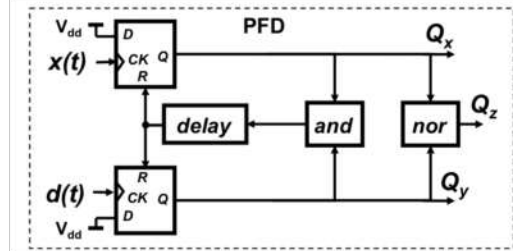


nella fase abbiamo

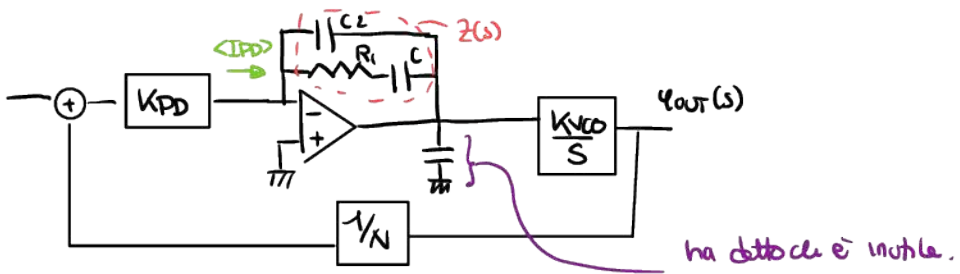


$$KPD = \frac{\partial \langle IPD \rangle}{\partial \varphi_E} = \frac{IPD}{2\pi}$$

POSSIAMO ORA ANDARE A COMPARARE IL NOSTRO MODELLO



Q_x	Q_y	Q_z	$\langle IPD \rangle$
0	0	1	0
1	0	0	$-IPD$
0	1	0	$-IPD$
1	1	0	0



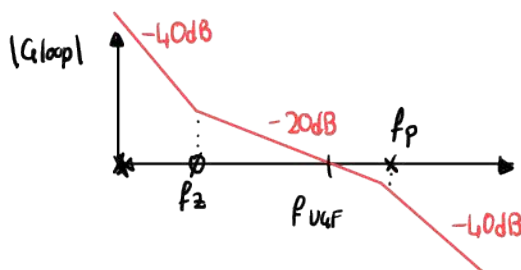
$$G_{loop}(s) = K_{PD} Z(s) \cdot \frac{K_{VCO}}{s} \cdot \frac{1}{N}$$

$$\approx K_{PD} \left[(R_i + \frac{1}{sC_2}) // (\frac{1}{sC_1}) \right] \frac{K_{VCO}}{s} \cdot \frac{1}{N}$$

$$= K_{PD} \cdot \frac{(-1 + sC_1 R_i)}{s(C + C_2)[1 + s(C_2/C)R_i]} \frac{K_{VCO}}{s} \cdot \frac{1}{N}$$

$$= \frac{K}{s^2} \frac{(1 + sT_Z)}{(1 + sT_p)} \quad \text{con } K = \frac{K_{PD} \cdot K_{VCO}}{(C + C_2)N} \quad T_Z = CR_1 \quad T_p = R_1(C//C_2)$$

abbiamo 2 poli nell'origine, uno zero e un polo ad alta f.



ha detto che i poli e gli zeri possono solo essere messi così per di più contro qualcosa al margine di fase

Possiamo risolvere il punto a

Settore R e C per avere i poli a circuito chiuso a 1000Hz e a 45° nel piano di Gauss.

$$1 + G_{loop}(s) = 0 \rightarrow 1 + \frac{K(1 + sT_Z)}{s^2(1 + sT_p)} = 0$$

Semplifichiamo (f_p è molto dopo la f di taglio x stabilità, quindi visto ciò possiamo dire che il polo non cambia la posizione a f_{VUF}).

$$(1 + sT_p) \left[1 + \frac{K(1 + sT_Z)}{s^2} \right] = 0 \quad \begin{array}{l} \text{così eliminiamo il} \\ \text{polo ad etra R e} \\ \text{sì semplifica} \end{array}$$

Viere quindi da

$$(1+sT_p)(s^2 + sK\tau_2 + K) = \emptyset$$

compariamo con la forma canonica

$$s^2 + s\tau_2 K + K = 0 \leftrightarrow s^2 + s \frac{w_n}{Q} + w_n^2 = \emptyset$$

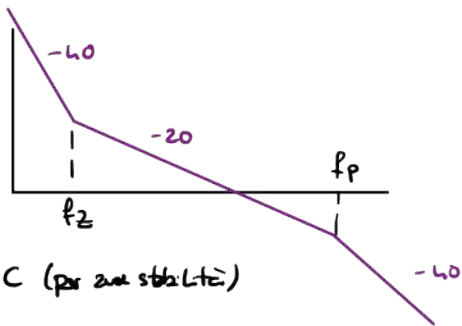
$$\text{con } w_n = 2\pi \cdot 100 \text{ kHz} \quad e \quad Q = \sqrt{2}/2$$

quindi:

$$\begin{cases} K = w_n^2 \\ \tau_2 = \frac{1}{w_n Q} = R_1 C \end{cases} \quad \text{sappiamo da } R_1 = 100 \Omega \text{ e ricaviamo } C = 22,5 \text{ nF}$$

$$\text{Poi da } K = \frac{K_{PD} \cdot K_{VCO}}{N(C+C_2)} = w_n^2$$

$$f_p > f_2 \rightarrow \frac{1}{2\pi R_1(C/C_2)} > \frac{1}{2\pi RC}$$



questo significa $C/C_2 \ll C$ quindi $C_2 \ll C$ (per una stabilità)

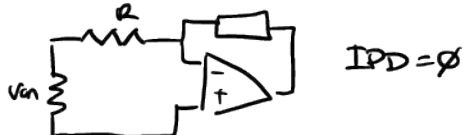
quindi da queste condizioni ho che

$$\begin{cases} K = \frac{K_{PD} \cdot K_{VCO}}{N(C+C_2)} = \frac{K_{PD} K_{VCO}}{NC} = w_n^2 \\ K_{PD} = \frac{I_{PD}}{2\pi} \rightarrow \text{ricaviamo } I_{PD} = 4,4 \text{ mA} \\ \qquad \qquad \qquad = \frac{V_{DD}/2}{R} \quad \text{e ricaviamo } R = 194,5 \Omega \end{cases}$$

PUNTO b)

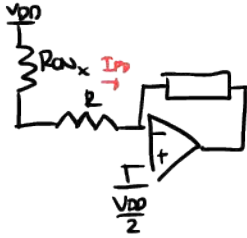
Supponiamo $R_{ONQX} = 15 \Omega$ (dovuto dapprima). (avremo delle non idealità) ricavare C_2 a 50 kHz per avere spur minore di -80 dBc.

- STATO 1 | $Q_x = 0, Q_y = 0, Q_z = 1$



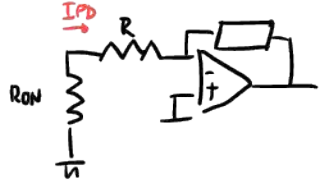
$$I_{PD} = \emptyset$$

- STATO 2 $Q_x = 1, Q_y = 0, Q_z = \emptyset$



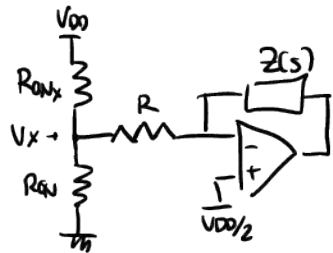
$$I_{PD} = \frac{V_{DD}/2}{R_{ONx} + R} = 4,3 \text{ mA} = I_{PD}^+$$

- STATO 3 $Q_x = 0, Q_y = 1, Q_z = \emptyset$



$$I_{PD} = -\frac{V_{DD}/2}{R + R_{ON}} = -4,4 \text{ mA} = -I_{PD}^-$$

- STATO 4 $Q_x = 1, Q_y = 1, Q_z = \emptyset$



$$I_{PD} = \frac{V_x - V_{DD}/2}{R}$$

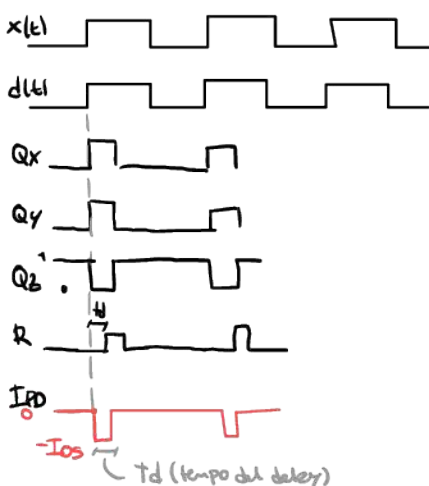
con $R \gg R_{ON}, R_{ONx}$ quindi:

$$V_x = \frac{R_{ON}}{R_{ON} + R_{ONx}} \cdot V_{DD}$$

$$I_{PD} = -0,925 \text{ mA} = I_{OS}$$

ANALIZZAZIONE A STEADY STATE IL PLL

- Nel caso ideale $t_E = \emptyset$

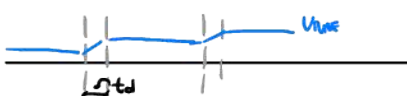


Q_x	Q_y	Q_z	I_{PD}
0	0	1	0
1	0	0	I_{PD}^+
0	1	0	$-I_{PD}^-$
1	1	0	I_{OS}

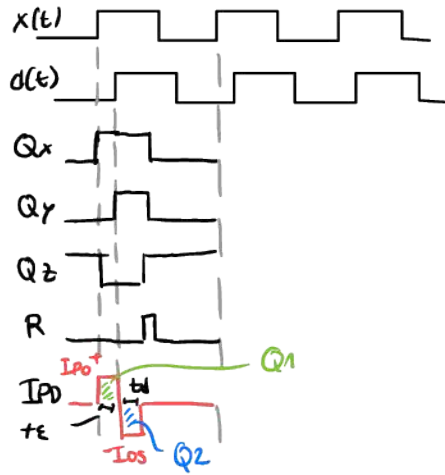
Queste non è il steady state né è

$\Delta\phi$ in fact $\neq \emptyset$

Noi vogliamo V_{VCO} COSTANTE IN FREQUENZA
questo significa che nella rete nei a steady state abbiamo $t_E \gg$



qui viene F4 così



Se consideriamo Q_1 e Q_2 le corde delle due
2 impreziosa abbiamo due corri
stati
 $|Q_2| = |Q_1|$

Questo farà sì che $U_{TLINE} = \text{costante}$ in media

- Ricordiamo che dobbiamo ricevere Δ (50 MHz) (che è la ref Frequency), in funzione della compone di prima armonica di IPD

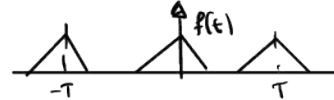
Come tirano fuori Fourier?

> Serie di Fourier di funzioni periodiche

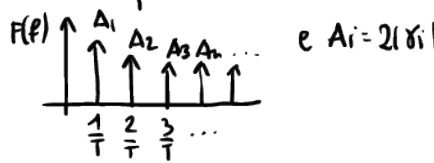
ho la mia funzione generica periodica di periodo T

$$f(t) = \gamma_0 + \sum_{n=1}^{+\infty} 2|\gamma_n| \cos\left(\frac{2\pi n t}{T} + \angle \gamma_n\right)$$

Punti Pari



L'idea è di possedere ricadute $F(f)$, Notiamo che $F(f)$ sono tutti teni simmetrici
nessi a $\frac{\pi}{T}$ ca ampiezza A_1, A_2, \dots



non siamo interessati allo spazio che è

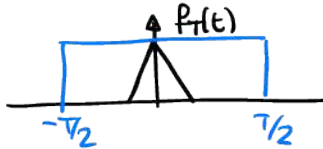


$$P_i = \frac{1}{2} A_i^2 = \frac{1}{2} (2|\gamma_i|)^2$$

IN TUTTO QUESTO ABBIANO CHE

$$\gamma_n = \frac{1}{T} \int_{-T/2}^{T/2} f(t) e^{-j2\pi n t} dt$$

un dobbiamo ricavare la relazione tra γ_n e $F\{f(t)\}$ tecnicata



$f_r(t) = f(t) \operatorname{rect}\left(\frac{t}{T}\right)$ prendiamo solo la prima
trasformata

$$F\{f_r(t)\} = \int_{-\infty}^{+\infty} f_r(t) e^{-j2\pi ft} dt$$

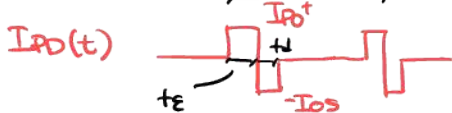
$$= \int_{-\infty}^{+\infty} f_{\text{red}}\left(\frac{t}{T}\right) e^{-j2\pi f t} dt = \int_{-T/2}^{+T/2} f_{\text{red}}(t) e^{-j2\pi f t} dt$$

è molto simile a

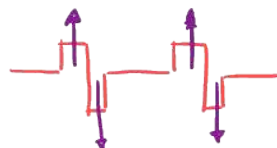
$$\delta n = \frac{1}{T} \cdot F_T \{ f_{\text{red}}(t) \}_{f=\frac{n}{T}}$$

$\xrightarrow{\text{sostituendo } F \text{ con } \frac{n}{T}}$
Trasformata di Fourier del segnale troncato

Torino a noi

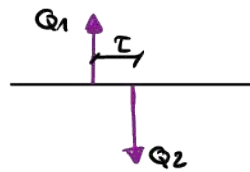


Dato che t_E e t_R sono molto piccoli confrontati a T_R allora trasformazione in delta



i 2 delta separati da T dove $T = \frac{t_E}{2} + \frac{T_R}{2}$

consideriamo I_{PD} troncato



$$\begin{aligned} I_{PD_T}(t) &= |Q_1| \delta(t) - |Q_2| \delta(t-T) \\ |Q_1| &= |Q_2| \\ &= Q [\delta(t) - \delta(t-T)] \end{aligned}$$

vogliamo ricavare la prima corona del segnale

$$A_1 = 2|\gamma_1| \rightarrow P_1 = \frac{1}{2} A_1^2 = \frac{1}{2} (2|\gamma_1|)^2$$

Ottobiamo per la trasf. di Fourier del segnale troncato

$$F_T \{ I_{PD_T}(t) \} = Q [1 - e^{-j2\pi f T}]$$

$$\begin{aligned} &= Q [1 - 1 - j2\pi f T] \quad \left\{ \begin{array}{l} \text{dato che } T \rightarrow 0 \text{ molto piccolo} \\ \text{allora } e^x \approx 1-x \text{ per } x \rightarrow 0 \end{array} \right. \\ &= Q [1 - 1 - j2\pi f T] \end{aligned}$$

L'ampiezza sarà

$$A = 2|\gamma_1| = 2 \left| \frac{1}{T_R} \cdot F_T \{ I_{PD_T}(t) \}_{f=\frac{n}{T_R}} \right|$$

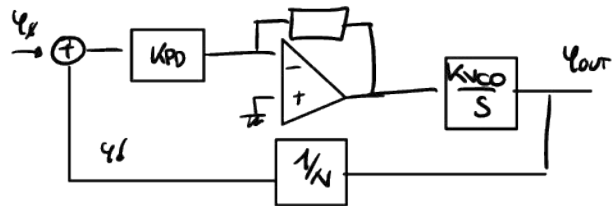
$$\frac{1}{2} \cdot \left| \frac{1}{T_R} Q j 2\pi n T \right|^2$$

visto un'armaica $n=1$,
e ricordiamo che
 $T = \frac{t_E}{2} + \frac{t_D}{2}$ e
 $Q = t_E I_{PO}^+$

La potenza della prima armonica di I_{PO} è

$$P = \frac{1}{2} (2|\mathbf{Q}|)^2 = \frac{1}{2} \left(2 \cdot (\text{Fret})^2 \frac{t_E + t_D}{2} 2\pi(t_E I_{PO}^+)^2 \right)^2 \quad \left(\frac{1}{T_R} \right)^2 = (\text{Fret})^2$$

ora dobbiamo derivare quale sia la 2^a uscita



$$\Delta(\Delta f) = \frac{1}{2} S_P^{SSB}/P$$

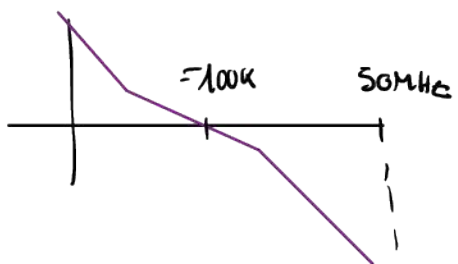
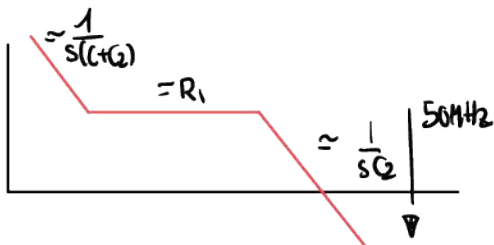
$$= \frac{1}{2} \cdot P_1 \cdot \left| \frac{(1 + SR_1 C)}{S(C + C_2)(1 + SR_1(C/C_2))} \right|^2 \left| \frac{KVCO}{S} \right|^2 \cdot \left| \frac{1}{1 + G_{loop}(s)} \right|^2$$

Vediamo questa a 50MHz

Noi sappiamo $f_{out} = 100K$ quindi vediamo
2 f molto maggiori di quella, zerro

$$\left| \frac{1}{1 + G_{loop}} \right|^2 \approx 1$$

Inoltre



Allora possiamo scrivere un

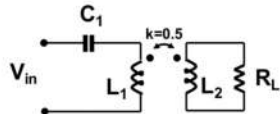
$$\begin{aligned} &= \frac{1}{2} P_1 \left| \frac{1}{S C_2} \right| \left| \frac{KVCO}{S} \right|^2 \\ &= \frac{1}{2} \left(2 \text{Fret}^2 \cdot 2\pi t_E I_{PO}^+ T \right)^2 \left| \frac{KVCO}{(2\pi \text{fret})^2 C_2} \right|^2 \\ &= -80 \text{dBc} = 10^{-\frac{80}{10}} \end{aligned}$$

$$e \text{ ricorso } C_2 = 154 \mu F$$

PART C) Simile a parte b ma c'è un altro meccanismo di creare la rete di spur.

ESERCIZI SUI Matching Networks

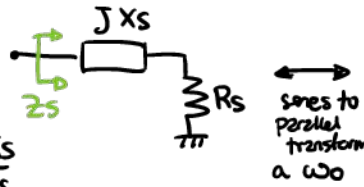
T6.6 Let us consider the impedance-matching network in figure, based on a real transformer. Given a coupling factor $k=0.5$ between primary and secondary windings, $L_1 = 1.59 \text{nH}$ and $R_L = 500 \Omega$, size L_1 and C_1 to obtain an equivalent input impedance of 5Ω at 5GHz. What is the Q of the resulting network?



[Solution: $L_1 = 1.237 \text{nH}$, $C_1 = 909.5 \text{fF}$, $Q=7$]

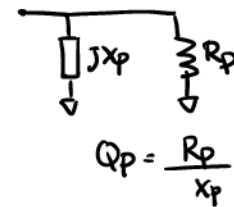
Impedance transformation

• Series impedance



$$Q_S = \frac{X_S}{R_S}$$

Parallel network



$$Q_P = \frac{R_P}{X_P}$$

$$Z_S(\omega_0) = Z_P(\omega_0)$$

$$Q_T(\omega_0) = Q_S(\omega_0) = Q_P(\omega_0) = \frac{X_S}{R_S} = \frac{R_P}{X_P}$$

$$R_P = R_S (1 + Q_T)^2$$

$$X_P = X_S \left(1 + \frac{1}{Q_T}\right)^2$$

Iniziamo allora con l'esercizio 6

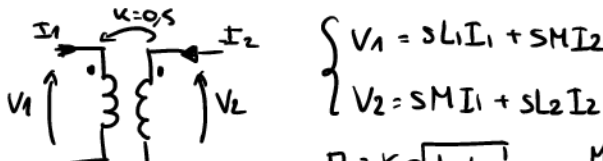


$$\begin{aligned} C_1 &=? \\ R_L &= 50 \Omega \\ L_1 &=? \quad L_2 = 1.59 \text{nH} \end{aligned}$$

$$Z_{in} = 5 \Omega$$

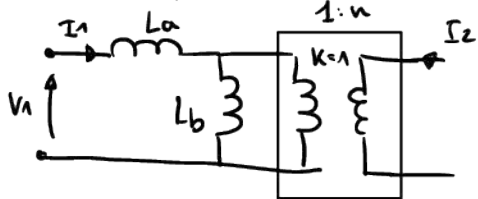
$$Q \text{ della rete} = ?$$

> MODELLO EQUIVALENTE DEL TRASFORMATORE



$M > 0$ se tutte e 2 le correnti sono attive sulle due parti.

Il modello equivalente è:



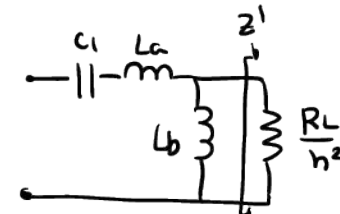
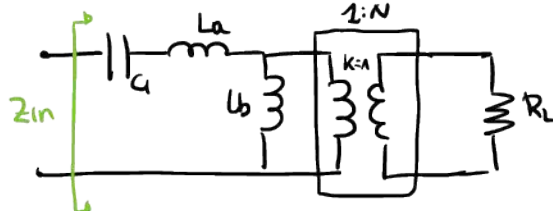
$$L_a = L_1 (1 - K^2)$$

$$L_b = L_1 K^2$$

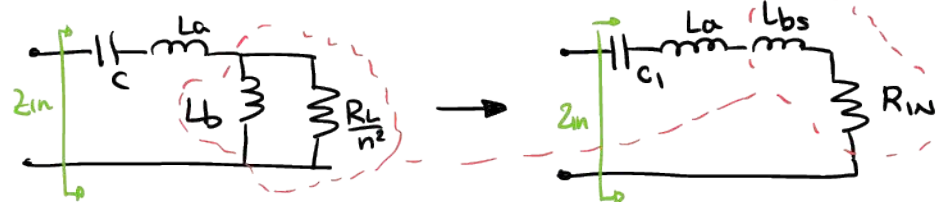
$$L_1 = L_a + L_b$$

$$n = \frac{1}{K} \sqrt{\frac{L_2}{L_1}}$$

Torniamo alla esercizio



Facciamo subito una parallel to series transformation



$$R_p = R_s (1 + Q_T^2)$$

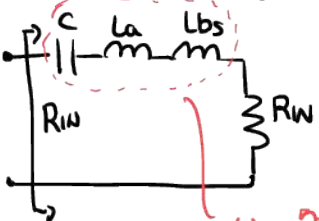
$$X_p = X_s (1 + \frac{1}{Q_T^2})$$

$$Q_T = \frac{X_s}{R_s} = \frac{R_p}{X_p}$$

Quindi:

$$\left\{ \begin{array}{l} R_L = R_{IN} (1 + Q_T^2) \\ \omega_0 L_b = \omega_0 L_{bs} \left(1 + \frac{1}{Q_T^2} \right) \end{array} \right.$$

$$\text{dove: } Q_T = \frac{\omega_0 L_{bs}}{R_s} = \frac{R_L / n^2}{\omega_0 L_b}$$



$$\omega_0 = 2\pi 56 \text{ Hz}$$

vogliamo che risuoni a 56 Hz e sette $R_{IN} = 5 \Omega$

$$Q_T = \frac{w_0 L_{BS}}{R_W} = \frac{(R_L / h^2)}{w_0 L_B}$$

$$= \frac{R_L}{w_0 L_B K^2} \cdot \frac{K^2 L_I}{L_2} = \frac{R_L}{w_0 L_2} = \frac{50\pi}{2\pi S_C H_2 \cdot 1,58 nH} \approx 1$$

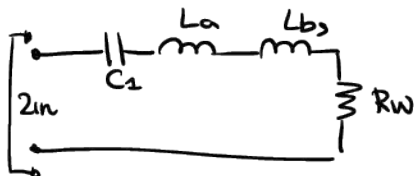
$$L_{BS} = \frac{R_{in} Q_T}{w_0} = 159,15 \mu H \rightarrow \text{ricavo } L_B \text{ da } L_{BS} \quad (L_B = L_{BS} / 1 + \frac{1}{Q_I^2}) = 318,3 \mu H$$

$$L_I = \frac{L_B}{K^2} = 1,273 \mu H \quad L_a = L_I - L_B = 957,75 \mu H$$

$$C_I = \frac{1}{w_0^2 (L_a + L_{BS})} = 909,61 \text{ fF}$$

\hookrightarrow Della condizione di risonanza.

> FATTORE DI NEUTRO DELLA RETE TOTALE A w_0



$$Q_{TOT} = \frac{1}{R_W w_0 C_I} = 7$$

ma possono anche usare l'induttiva

$$Q_{TOT} = \frac{w_0 (L_a + L_{BS})}{R_W}$$

Ricordare che $Q_T \neq Q_{TOT}$ (in genere solo in casi specifici sono uguali.)

12.04.2021

Lezione

2h

Oscillatori (vedi pomeriggio 1h, tutorial aggiuntivo)

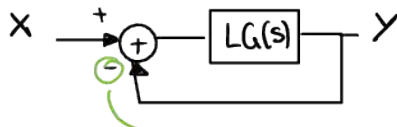
Sono usati sia dentro i PLL (VCO o CO) e questi devono essere electrically tunable perciò ci sono gli oscillatori ad cristallo che non devono essere tunabili

USIAMO 2 MODELLI MATEMATICA

1) SISTEMI A RETROAZIONE

2) RESISTENZA NEUTRA

INIZIAMO CON UN OSC CON SISTEMA IN RISONANZA



$$\frac{Y}{X} = \frac{LG(s)}{1 + LG(s)}$$

Questo + dipende da questo -

Questo sistema può oscillare quando Y oscilla e X ha un valore costante, questo è chiamato un sistema autonomo.

Guardando l'espressione capiamo che possiamo avere un'oscillazione a costo nella quale

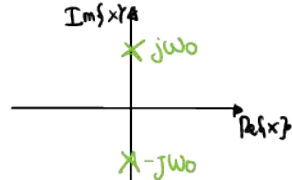
$$Y(j\omega_0) \neq 0 \quad X(j\omega_0) = 0$$

Per poter avere quest'oscillazione dobbiamo avere che

$$\frac{Y(j\omega_0)}{X(j\omega_0)} = \frac{LG(j\omega_0)}{1 + LG(j\omega_0)} \rightarrow \infty \quad \text{perciò dobbiamo avere che} \\ LG(j\omega_0) = -1$$

Questo significa che ω_0 di oscillazione fuori del loop a quella frequenza sia -1 .

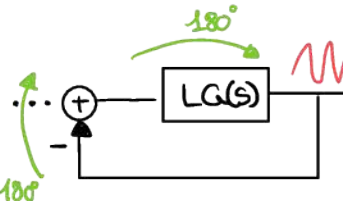
Inoltre $S = j\omega_0$ è soluzione di $LG(S) = -1$, questo significa che $j\omega_0$ è un polo del sistema (closed-loop)



Abbiamo 2 poli sull'asse immaginario, seppuramente il sistema oscilla

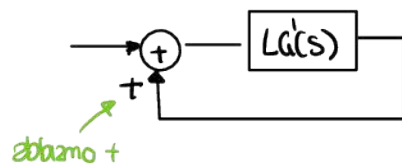
Perciò $LG(j\omega_0) = -1 \leftrightarrow \begin{cases} |LG(j\omega_0)| = 1 \\ \angle LG(j\omega_0) = 180^\circ \end{cases}$

} condizioni di BARKHAUSEN



Abbiamo 0 variazione di fase nel loop x e voglio la sinusoidale con la stessa fase nel sistema seno non si annulla

b) CASO FEEDBACK POSITIVO



$$\frac{Y}{X} = \frac{LG'}{1 - LG'}$$

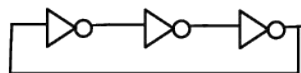
Quindi per $LG = 1$ va a $+\infty$

Abbiamo nuove condizioni

$$\begin{cases} LG'(j\omega_0) = 1 \\ |LG'(j\omega_0)| = 1 \\ \angle LG'(j\omega_0) = 0^\circ \end{cases}$$

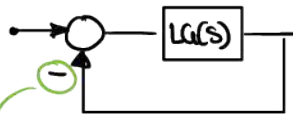
ESEMPI

- Oscillatore RC (es. ringoscillatore)



se facciamo $\rightarrow \text{DO} = \frac{V_D}{V_{IN} + \left[\frac{1}{R} \frac{1}{C} \right]}$

||



Allora $\frac{V_{OUT}}{V_{IN}} = -\frac{G}{1+sT}$ con $G > 0$

Allora in questo caso $LG(s) = \frac{G^3}{(1+sT)^3}$

FeedBack negativo
e' abbiamo buffer
disponibili

> CONDIZIONI DI OSCILLAZIONE (Barkhausen)

- 1^a condizione $\angle LG(j\omega_0) = \pi$ (180°) allora nel sistema totale zero de:

$$\angle \frac{G^3}{(1+j\omega_0 T)^3} = \pi \rightarrow \underbrace{\angle G^3}_{=0} - 3\arctan(\omega_0 T) = \pi$$

è una costante

e quindi si ottiene che $\arctan(\omega_0 T) = -\pi/3 \rightarrow \omega_0 T = \sqrt{3} \rightarrow \omega_0 = \sqrt{3}/T$
con $T = RC$

• 2^a condizione

$$|LG(j\omega_0)| = 1 \rightarrow \frac{G^3}{[1+(\omega_0 T)^2]^{3/2}} = 1$$

$\sqrt{3}$ visto sopra

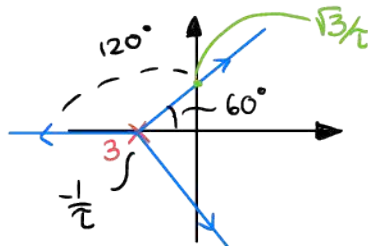
quindi:

$$\frac{G^3}{(1+3)^{3/2}} = 1 \rightarrow G = 2$$

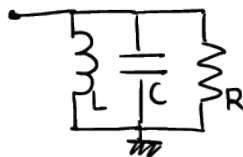
Lo stesso risultato può essere visto guardando al luogo delle radici del sistema

$$LG(s) = \frac{G^3}{(1+sT)^3}$$

Seppur uno di cui 3 poli abbiamo 3 razzi a 120°

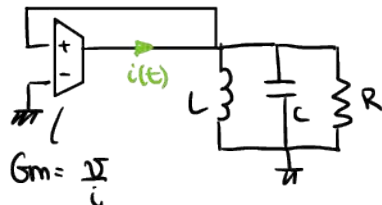


OSCILLATORE LC



Senza far nulla abbiamo oscillazioni ma diminuzione delle ampiezze

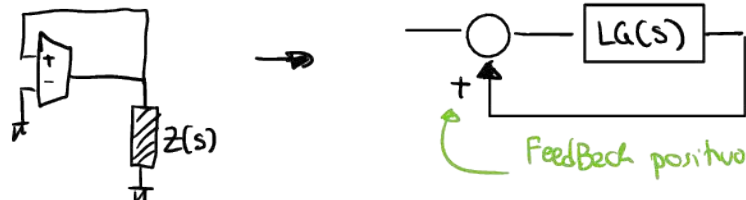
Per avere oscillazioni continue dobbiamo avere un dispositivo attivo (transistor) che provoca corrente al sistema



Dove abbiamo

$$Z(s) = \dots$$

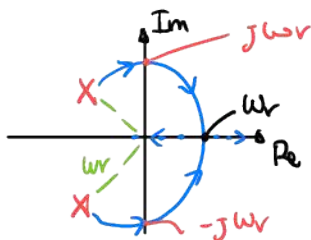
Allora



$$\text{Dove } LG(s) = G_m \cdot Z(s) = G_m \cdot R \cdot \frac{sW_r/Q}{s^2 + SW_r/Q + W_r^2}$$

2 poli complessi
se Q estrema grande

Faccendo il luogo delle radici otteniamo



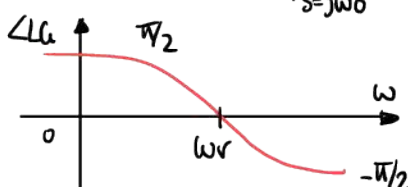
$$s = \pm jW_r = \pm j\omega_0$$

è la posizione dei poli per avere l'oscillazione. In questo caso ω_0 = una frequenza di risonanza

Se vogliamo essere più analitici, allora

$$1) \angle LG(j\omega_0) = 0 \quad (\text{x è stabilito retroazione positiva})$$

$$4 \frac{sW_r/Q}{s^2 + SW_r/Q + W_r^2} \Big|_{s=j\omega_0} = \frac{\pi}{2} - \arctan \left(\frac{\omega_0 W_r / Q}{W_r^2 - \omega_0^2} \right) = 0$$



Da qui otteniamo $\omega_0 = W_r$ (stesso risultato da quando intrivertente entro con il luogo delle radici)

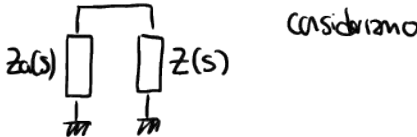
$\angle LG$ alla fine è la fase di 2

> Condizione 2 $|Z(j\omega_0)| = 1$

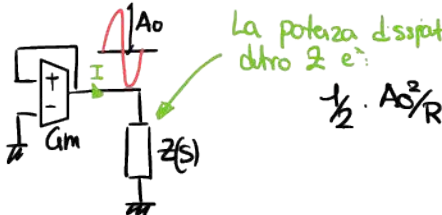
$$\frac{G_m \cdot R \cdot \omega_0 w_r / Q}{\sqrt{(w_r^2 - \omega_0^2)^2 + (\frac{\omega_0 w_r}{Q})^2}} = 1 \rightarrow \frac{G_m \cdot R \cdot \omega_0^2 / Q}{w_r^2 / Q} = 1 \rightarrow G_m \cdot R = 1$$

$= \emptyset$ dato
che $w_r = \omega_0$

NEGATIVE RESISTANCE MODE



es.



La potenza dissipata dal resistore
dallo 0 è:

$$\frac{1}{2} \cdot \frac{A_o^2}{R}$$

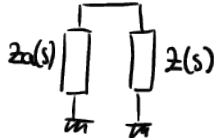
La condizione di oscillazione è un bilanciamento tra potenza attiva e potenza dissipata
Però nel nostro esempio

$$\frac{1}{2} \cdot \frac{A_o^2}{R} = \overbrace{\frac{1}{2} G_m \cdot A_o^2} \text{ è un elemento attivo che produce potenza (resistenza negativa)}$$

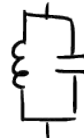
E quindi ritroviamo ancora che $G_m = 1/R \rightarrow G_m R = 1$

IN GENERALE la condizione di risonanza per un sistema a 2 induttori

$$Z_a(j\omega_0) + Z(j\omega_0) = \emptyset$$



es



notiamo che questo oscilla

Questa condizione può essere scritta come

$$Z_a(j\omega_0) = -Z(j\omega_0) \quad \text{il d. significa che}$$

$$\left\{ \operatorname{Re} \{Z_a(j\omega_0)\} = -\operatorname{Re} \{Z(j\omega_0)\} \right\}$$

$$\left\{ \operatorname{Im} \{Z_a(j\omega_0)\} = -\operatorname{Im} \{Z(j\omega_0)\} \right\}$$

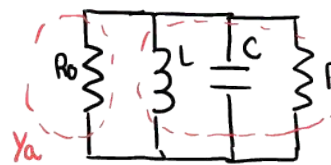
esempio



$$Ra = -R$$

$$\omega_0 L + \frac{1}{\omega_0 C} = \emptyset \rightarrow \omega_0 = \frac{1}{\sqrt{LC}}$$

S stessa cosa accade nel parallelo

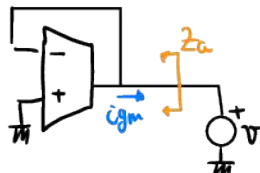


Ottieniamo gli stessi risultati usati sopra ↑

13.04.2021

3n

Se calcoliamo l'impedenza di Gm c'è che



$$i_{gm} = Gm \cdot V \quad \text{e} \quad C = -Gm \cdot V$$

$$\text{dunque } Z_L = \frac{V}{i} = -\frac{1}{Gm}$$

Condizione di oscillazione

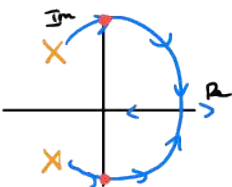
$$Z_L(j\omega_0) + Z(j\omega_0) = 0 \rightarrow -\frac{1}{Gm} + R \frac{j\omega_0 wr/Q}{-\omega_0^2 + j\omega_0 wr + wr^2} = 0$$

Da cui si ottiene $wr = \omega_0$ $R = -\frac{1}{Gm}$

TRA COME FACCIO UN OSCILLATORE NELLA PRATICA?

Ci serve che lo che c'è chiamato sistema di stabilizzazione dell'amplificatore.

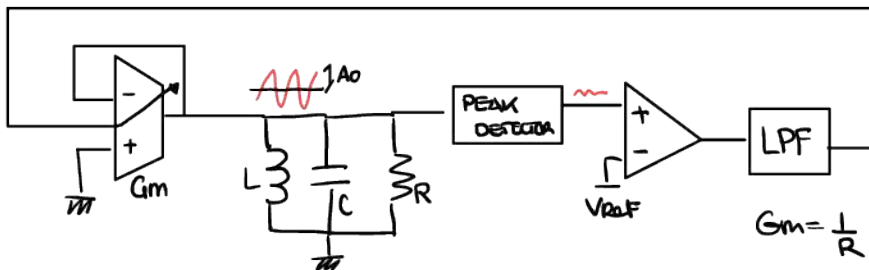
Come abbiamo detto nel caso dell'oscillazione LC abbiamo un luogo delle radici del tipo



ma se $GmR < 1$ i poli sono a sinistra del piano → sono poli stabili, dunque l'oscillazione si smarza a 0

Se $GmR > 1$ succede la stessa idem cosa, ma in questo caso l'ampliifica cresce esponenzialmente

Ci serve qualcosa per tenere l'ampliatura costante, ci serve un loop di controllo automatico (Automatic Amplitude Control)

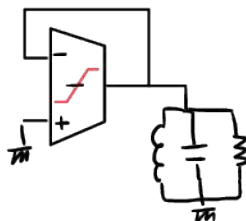


$$A_O = V_{ref}$$

$$Gm = \frac{1}{R}$$

c'è un feedback regolare che stabilizza l'oscillazione

- 2) Posso anche stabilire che la non linearità di un dispositivo attivo ad esempio il transconduttore non sarà lineare per sempre ma ad un certo punto deve scattare

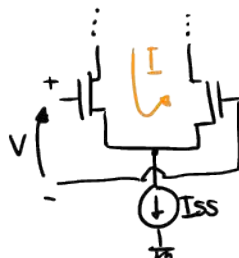


Se progettiamo l'oscillatore in modo che per piccoli segnali

$$G_m > 1/R \quad \text{oscillator starts up}$$

l'oscillazione cessa finché il transconduttore scatta

Esempio. (Transconduttore è il differenziale stage)



b) cui caratteristica è

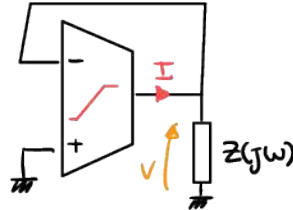


la pendente attorno a 0 è G_m
per piccoli segnali

Ma quale sarà l'ampiezza di oscillazione in questi tipi di oscillatori che si basano sulla non linearità? Non è così semplice

Dobbiamo risolvere matematicamente

1) $I(t) = I[V(t)]$ con frequenza angolare ω
 $V(t)$ sarà periodico visto che abbiamo oscillazione,
allora posso scrivere
$$V(t) = \sum_{k=-\infty}^{+\infty} \bar{V}_k e^{j k \omega t}$$



Allora ho anche che $I(t) = \sum_{k=-\infty}^{+\infty} \bar{I}_k e^{j k \omega t}$

2) Dopo di ottenuto i coefficienti di Fourier di I [\bar{I}_k] facciamo che

Per ogni: $\bar{V}_k = \bar{I}_k \cdot Z(k \omega)$

In linea generale posso scrivere che

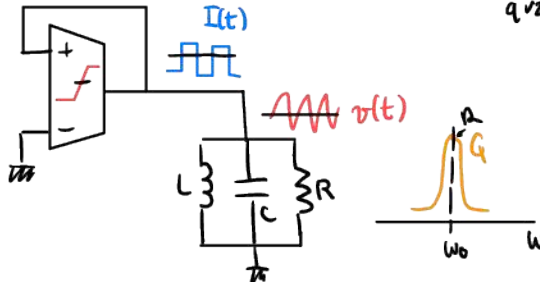
$$\begin{cases} \overline{I_1} \cdot Z(\omega_0) = \overline{V_1} \\ \overline{I_2} \cdot Z(2\omega_0) = \overline{V_2} \\ \vdots \\ \overline{I_n} \cdot Z(n\omega_0) = \overline{V_n} \end{cases}$$

Facciamo quella che si chiama un arco di bilancio con n armadi

Nel facciamo una semplificazione, supponiamo di studiare gli oscillatori armonici, dove l'oscillazione è sinusoidale ($v(t)$ sinusoidale) e non altre forme.

Questo accade quando Q è alto, infatti anche se visto la non linearità del campo elettrostatico dentro ma corrente non sinusoidale se non Q alto fatto le componenti fuori da ω_0

Rimettiamo per una singola equazione nella quale

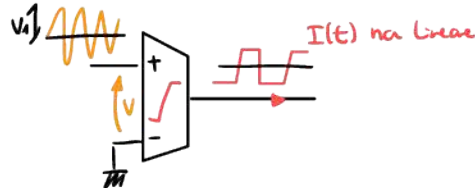


$$\overline{I_1} \cdot Z(\omega_0) = \overline{V_1}$$

$$Z(\omega_0) = \frac{\overline{V_1}}{\overline{I_1}}$$

Perciò

$$Z(j\omega_0) = \frac{\overline{V_1}}{\overline{I_1}}$$



Chiamiamo

$$\frac{\overline{I_1}}{\overline{V_1}} \stackrel{\approx}{=} G_{mH} \text{ è la chiamiamo trasconduttezza armonica}$$

Riscriviamo l'eq di prima come

$$Z(j\omega_0) = \frac{1}{G_{mH}} \quad (\text{che in pratica è la capacità di oscillazione})$$

Possiamo riscrivere ancora che

$$G_{mH} \cdot Z(j\omega_0) = LG_m(j\omega_0) = 1$$

(In pratica abbiamo scritto il loop gain anche per grandi segnali)

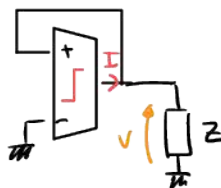
è il loop gain

Abbiamo rimpiazzato la trasconduttezza a piccoli segnali con una trasconduttezza armonica.

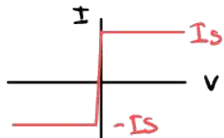
Questo metodo è chiamato Descriptive Function ed è usato per studiare i loop non lineari.

- Per poter applicare questo metodo dobbiamo supporre una non linearità del transconduttore.

Se suppongo il transconduttore uguale ad un comparatore zavorra



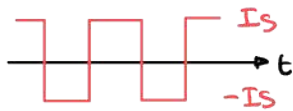
$$I(V) = I_s \cdot \text{sgn}\{V(t)\}$$



ipotizziamo

$$V(t) = A_0 \cdot \cos \omega t \rightarrow \sqrt{V_1} = A_0$$

Questo significa che $I(t)$ è un segnale adonda quadra



Perciò la prima ammessa di $I(t)$ è

$$I_1 = \frac{4}{\pi} I_s$$

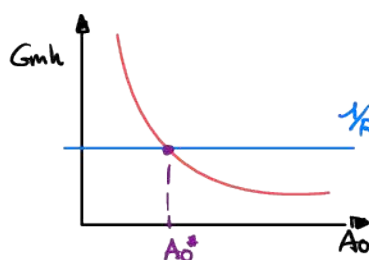
Abbiamo usato la non linearità per scoprire I_s , ora dobbiamo imparare la condizione di oscillazione

$$LG_m(j\omega_0) = 1 \rightarrow \begin{cases} G_m \cdot R = 1 \\ \omega_0 = \frac{1}{\sqrt{LC}} \end{cases} \quad \text{dove } G_m h = \frac{I_1}{V_1} = \frac{\frac{4}{\pi} I_s}{A_0} = \frac{4}{\pi} \frac{I_s}{A_0}$$

Combiniamo ora le 2 eq ottenendo che

$$\frac{4}{\pi} \frac{I_s}{A_0} \cdot R = 1 \rightarrow \text{Da cui } A_0 = \frac{4}{\pi} I_s \cdot R$$

Abbiamo ottenuto l'impresa dell'oscillazione



Nella teoria è un iperbole, nella pratica avrà dei punti d'arresto

$$\text{Per oscillare } G_m h = \frac{1}{R} \text{ allora}$$

A_0^* è il punto in cui le perdite sono compensate dal sistema attivo

Se $A_{o^*} > A_{o^*}$ allora

$Gm \cdot R < 1$ allora i poli si spostano a sinistra e l'oscillazione si spegne

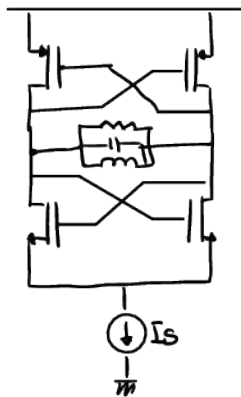
Se $A_{o^*} < A_{o^*}$ allora

$Gm \cdot R > 1$ l'oscillazione scatta in zipzero \rightarrow

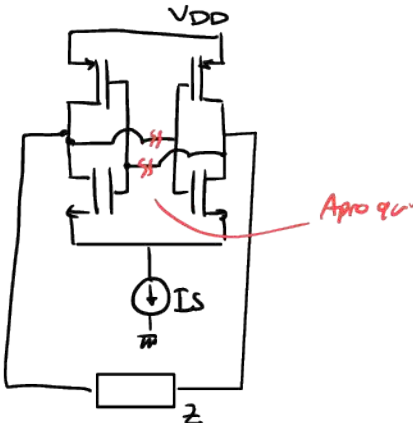
Allora A_{o^*} è un punto di stabilità

ESEMPI PRATICI DI OSCILLATORI REAU

Differential Oscillator

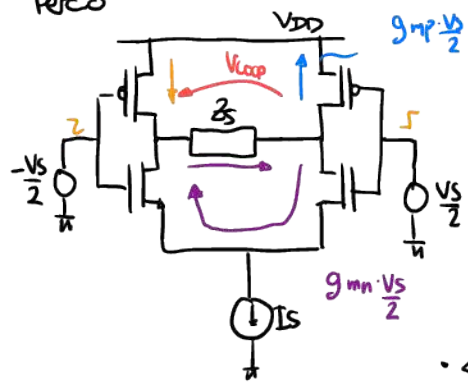


Potrebbe essere
riflettivo
così \rightarrow



Dobbiamo calcolare il Gloop, visto che c'è attraverso aperto $\frac{V_S}{2}$ e $-\frac{V_S}{2}$

Perciò



Differential mode loop-gain

$$LG(s) = \frac{V_{loop}}{V_S} = Z(s) \cdot \frac{g_{mn} + g_{mp}}{2}$$

e' la small-signal
 Gm del transistore

La condizione di oscillazione è

$$LG(j\omega_0) = 1$$

$$\angle LG(j\omega_0) = 0 \quad \angle Z(j\omega_0) = 0$$

$$\text{il cui valore è } \omega_0 = \omega_r = \frac{1}{\sqrt{LC}}$$

$$|LG(j\omega_0)| = 1$$

il cui valore è

$$\frac{g_{mn} + g_{mp}}{2} \cdot R = 1$$

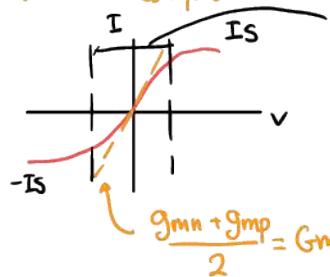
Come facciamo il design pratico di un oscillatore?

- Startup condition (Facciamo in modo che in piccolo segnale $LG(j\omega_0) > 1$ in modo da far partire l'oscillazione).

Diciamo un startup margin $LG(j\omega_0) = EG > 1$

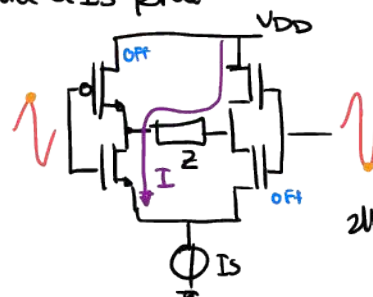
- Oscillation Amplitude: (Usiamo l'Amplificatore (e grandi segnali) e lo impostiamo $LG_h(j\omega_0) = 1$)

Nel nostro esempio



La parte Lineare in un differenziale è data da $\sqrt{2} \cdot V_{DD}$
(V avviata)

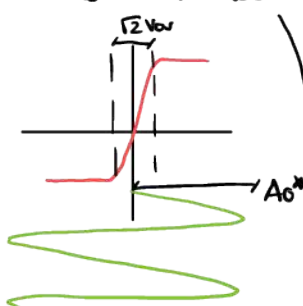
Sarà a IS perché



Punto dove si rinnova

Allora $I = IS$

Se $A_{O^*} \gg \sqrt{2} \cdot V_{DD}$



Altra elaborazione che



Cosa farà verso la crescita.

Tenderà al caso di un hard limiter ma patirà del small-signal noise

Approssimazione Altra

$$A_O^* = \frac{L}{\pi} IS \cdot R$$

e quindi

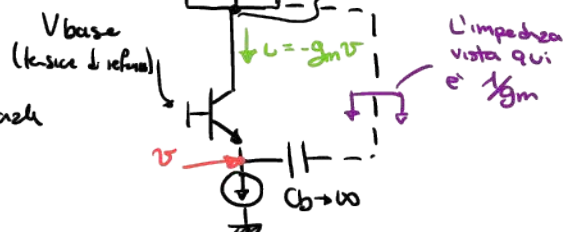
Quando A_O^* va a finire dove la curva s'incarna a quella del hard limiter

OSCILLATORE A SINGOLO TRANSISTOR

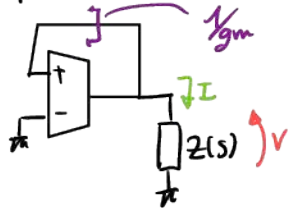
Cb serve a fare il decoupling

Vogliamo fare che il transistor legga

la tensione v e mandi una corrente proporzionale



In pratica (se collegassimo cose nel circuito)

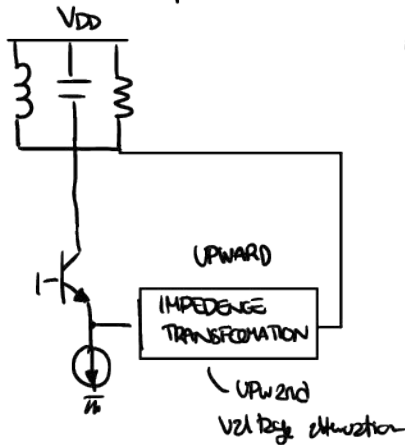


$1/gm$ è molto bassa, non va bene, non possiamo direttamente collegare l'uscita del transistore. Ma rete risortante nel senso gli aumenta il quality factor (gli collega un'impedenza nanoscopica ai capi).

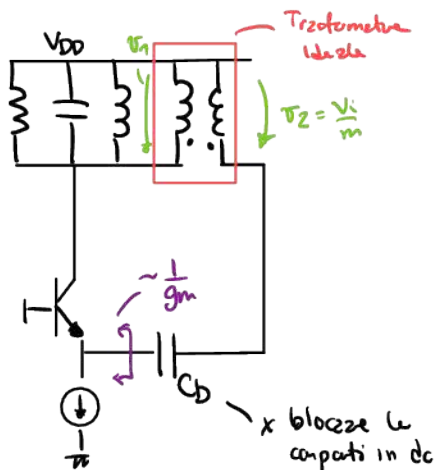
Ecco perché era tratteggiato il circuito prima.

Dobbiamo trovare un modo per fare sta retroazione e avere un'impedenza di retroazione molto più alta.

Usiamo un'impedenza trasformatrice return



Ad esempio



Possiamo fare un circuito eq semplicando



Alzare il circuito eq sarà

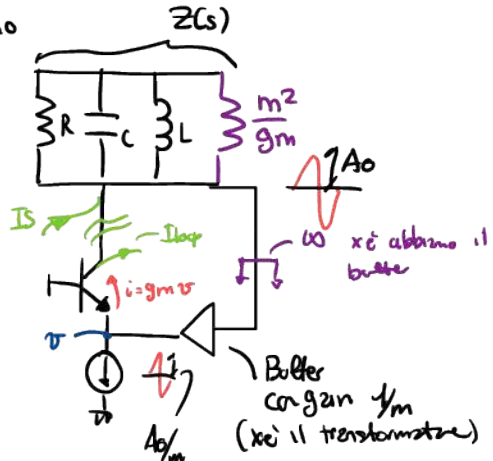
Questo è il circuito equivalente per calcolare Gloop. Impostiamo IS e leggiamo Iloop

$$LG(s) = \frac{I_{loop}}{IS}$$

$$Z(s) = R_{tot} \cdot H(s)$$

$$H(s) = \frac{s\omega_0 Q}{s^2 + j\frac{\omega_0}{Q} + \omega_0^2}$$

$$\text{e } R_{tot} = \frac{R \cdot m^2/gm}{R + m^2/gm} = \frac{m^2 R}{m^2 + gm R}$$



Allora

$$Gloop = \frac{i_{loop}}{v_{loop}} = Z(s) \cdot \frac{1}{m} \cdot g_m$$

La condizione di oscillazione è $L_G(j\omega_0) = 1$

$$L_G(j\omega_0) = \frac{g_m}{m} \cdot R_T \cdot H(j\omega_0) = 1$$

si trae in 2 eq

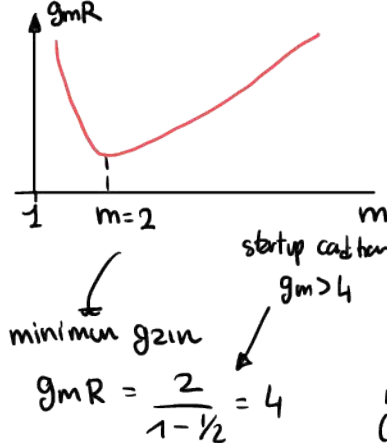
$$1) \angle L_G(j\omega_0) = 0 \rightarrow \omega_0 = \omega_r$$

$$2) |L_G(j\omega_0)| = \frac{g_m}{m} \cdot R_T = 1 \rightarrow \left(\frac{m^2 R}{m^2 + g_m R} \right) \cdot \frac{g_m}{m} = 1$$

lavorando l'eq si ottiene

$$g_m R = \frac{m}{1 - \gamma m}$$

$m > 1$ è la trasformazione dove essere spesa



Dal grafico capiamo che per m grande

$g_m R$ tende a infinito

Per piccoli m $g_m R$ tende sempre a infinito

Il $g_m R$ minimo si ottiene con $m=2$
(quando per questo valore ho la minima corrente possibile)

Capiamo quindi che ho un trade-off, m non può essere troppo grande o troppo piccolo (in questo caso deve essere 2) se

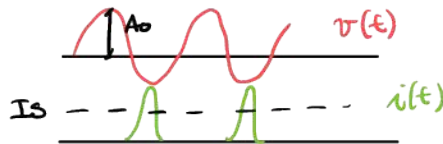
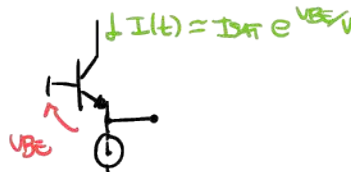
se sono troppo m ho un attivazione sempre più grande nel loop e quando davo

zitte sempre più corrente per avere $L_G = 1$.

Per m piccolo invece degrado il risveglio

CALCOLIAMO ADesso L'AMPISSIMA D'OSCILLAZIONE (compara rispetto all'attuale offerta)

Non abbiamo più una corrente ad alta quota come nel osc d'Alberle



Se la tensione c'è sinusoidale allora la corrente ha dei picchi quando il segnale $v(t)$ è negativo e per il resto è 0 (coppie x² se vede c'è sinusoidale nella formula)

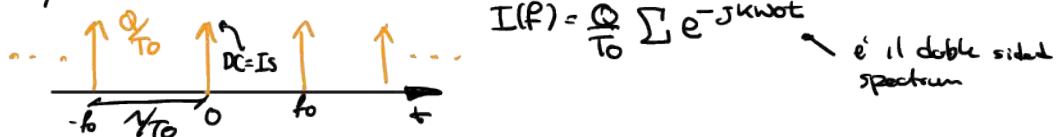
Dobbiamo fare un'approssimazione

se $\frac{A_0}{m} \gg V_{th} = \frac{kT}{q}$ allora l'espressione va molto vicino a quanto gli impulsi li approssima come delta

Allora

$$I(t) = Q \cdot \sum \delta(t - kT_0)$$

Se facciamo la trasformata di Fourier di $I(t)$ abbiamo uno spettro che sono impulsi traini di delta



Quindi la trasconduttanza amperica (xe' l'ampiezza del coseno)

$$g_{mh} = \frac{\overline{I_1}}{\overline{V_1}} = \frac{2Q/T_0}{A_0/m}$$

Dato che l'impulso in 0 è la corrente DC che deve essere = I_S
e visto che tutti gli impulsi hanno la stessa ampiezza zera
 $(Q/T_0 = I_S)$

$$g_{mb} = \frac{2I_S}{A_0/m}$$

Condizioni di oscillazione

$$L_{ch}(j\omega_0) = -1 \iff g_{mh} R = \frac{m}{1 - \frac{1}{m}}$$

Perciò

$$\frac{2I_S}{A_0} \cdot m \cdot R = \frac{m}{1 - \frac{1}{m}} \rightarrow A_0 = 2I_S R \left(1 - \frac{1}{m}\right)$$

Dove $A_0 \rightarrow 0$ per $m=1$

$A_0 \rightarrow 2I_S R$ per $m \rightarrow \infty$

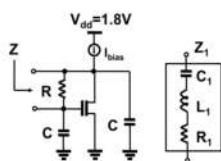
Cose abbiamo già visto non sono condizioni buone per lo start-up

Se $m=2$ allora

$$A_0 = I_S \cdot R$$

T7.1 Let us consider the crystal oscillator in figure, where $L_1 = 4.4 \text{ mH}$, $C_1 = 3.6 \text{ fF}$, $R_1 = 30 \Omega$, $C = 1 \text{ pF}$, $R \rightarrow \infty$, $V_t = 0.5 \text{ V}$, $K = \frac{1}{2} \mu C_{OX} \left(\frac{W}{L} \right) = 2 \mu \text{A/V}^2$ and Z_1 represents the equivalent impedance of an XTAL.

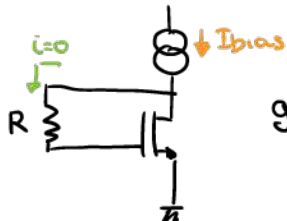
- Derive the expression for $Z(\omega)$ as a function of the circuit parameters.
- Evaluate oscillation frequency when the XTAL is connected in parallel to the previously evaluated impedance.
- What is the minimum I_{bias} to guarantee start-up of the oscillation?



Z_1 è il modello di un oscillatore a cristallo esterno.

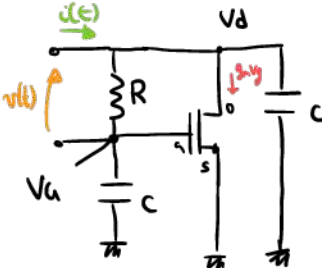
$R \rightarrow \infty$

Troviamo il punto 2: bias del transistor anche se non zobbano la corrente I_{bias}



su R non passa corrente se $R \rightarrow \infty$

> PUNTO A



Impoziamo che corrente i e misuriamo $\sigma(t)$

$$Z(s) = \frac{V_d}{i(t)} = \frac{(V_d - V_g)}{i(t)} = \frac{V_d - V_g}{\sigma(t)}$$

$$V_g = - \frac{i(t)}{R C}$$

$$i(t) = g_m V_g + V_d s C = - \frac{i(t)}{s C} g_m + V_d s C$$

$$\text{e quindi } V_d = \frac{i(t)}{s C} \left[1 + \frac{g_m}{s C} \right]$$

Ricordando l'equazione sopra otteniamo

$$Z(s) = \frac{1}{s C} \left[-1 + \frac{g_m}{s C} \right] + \frac{1}{s C} \rightarrow \frac{2}{s C} + \frac{g_m}{(s C)^2}$$

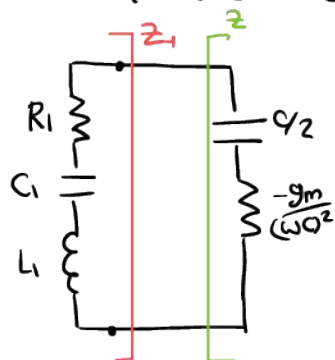
$$s = j \omega$$

$$Z(j\omega) = \frac{2}{j\omega C} + \frac{g_m}{(j\omega C)^2} = \frac{2}{j\omega C} - \frac{g_m}{(\omega C)^2} = \frac{1}{j} \underbrace{\frac{1}{2}}_{-g_m/(\omega C)^2}$$

In pratica è che la serie è un condensatore con valore $C/2$ e una resistenza negativa.

• PUNTO B

Oscillazione quando Z_1 è connessa in parallelo (vogliamo la frequenza)



Dal modello a resistenza negativa sappiamo che per garantire il bilanciamento di potenza in risonanza (ω_0) allora

$$Z(j\omega_0) + Z_1(j\omega_0) = 0$$

Dividiamo parte reale e negativa

$$\textcircled{1} \quad \text{Im}\{Z(j\omega_0)\} + \text{Im}\{Z_1(j\omega_0)\} = 0$$

$$\textcircled{2} \quad \text{Re}\{Z(j\omega_0)\} + \text{Re}\{Z_1(j\omega_0)\} = 0$$

Da \textcircled{1} ricaviamo che

$$\omega_0 L_1 - \frac{1}{\omega_0 C_1} - \frac{1}{\omega_0 C_2} = 0 \rightarrow \omega_0 = \frac{1}{\sqrt{L_1(C_1 + C_2)}} \\ = 2\pi 40,13 \text{ MHz}$$

• PUNTO C

Quel è la minima Ibias per garantire l'oscillazione.

$$@ \text{STEADY STATE} \quad \text{Re}\{Z_1(j\omega_0)\} + \text{Re}\{Z(j\omega_0)\} = 0$$

ma durante lo start-up dobbiamo fare in modo che questo bilanciamento sia < 0 perché la potenza dissipata deve essere minore di quella erogata visto che dobbiamo far partire l'oscillazione.

$$@ \text{STARTUP} \quad \text{Re}\{Z_1(j\omega_0)\} + \text{Re}\{Z(j\omega_0)\} < 0$$

e quindi:

$$R_1 - \frac{g_m}{\omega_0^2 C^2} < 0$$

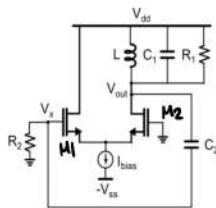
Perciò

$$g_m > R_1 \omega_0^2 C^2 \quad \text{e} \quad g_m = 2\sqrt{K I_{\text{bias}}}$$

Allora

$$I_{\text{bias}} > \frac{1}{K} \left(\frac{R_1 \omega_0^2 C^2}{2} \right)^2 = 0,45 \mu\text{A}$$

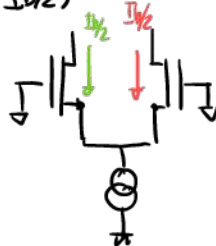
- T7.2 Let us consider the oscillator in the figure, where $V_{dd} = V_{ss} = 1.25V$, $V_t = 0.5V$, $K = \frac{1}{2}\mu C_{OX} \left(\frac{W}{L}\right) = 10 mA/V^2$, $L = 4nH$, $C_1 = 0.5 pF$, $C_2 = 0.5 pF$, $R_1 = 1 k\Omega$, $R_2 = 2 k\Omega$ and $I_{bias} = 3 mA$.



- Making the necessary simplifications, derive the oscillation frequency and check the start-up condition.
- Assuming full-switching of the differential stage, evaluate the oscillation amplitude at the output node, V_{out} .
- Plot V_{out} and V_x over one period and check the operating region of the transistors.

> MOSFET BIAS POINT

(entrambi i modelli Transistor Drain a Vdd e gate a GND e entrambi sono biaiati a $\frac{Ib}{2}$)

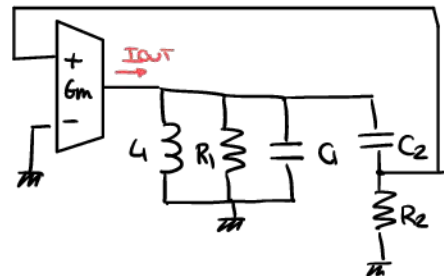
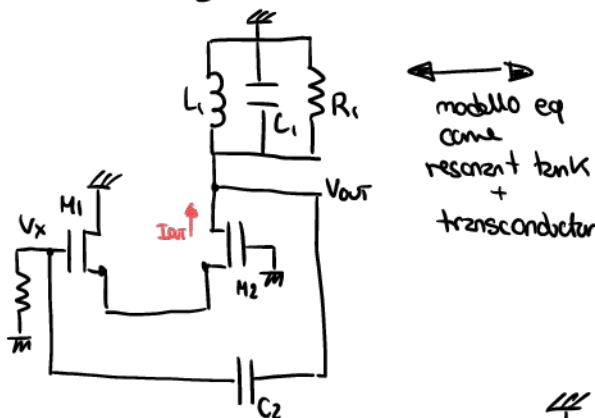


$$g_m = 2\sqrt{K \frac{Ib}{2}} = 7.75 mA/V$$

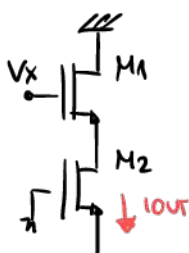
• PUNTO A

RICAVARE wo (con semplificazioni)

- Iniziamo disegnando il modello in ac



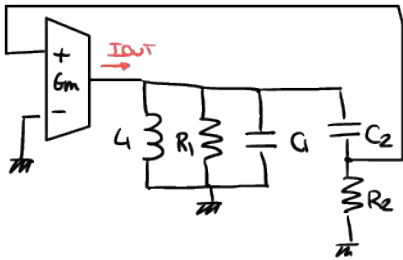
Dobbiamo cercare ora il
veloce di Gm analizzando
il circuito



$$I_{out} = g_m [V_x - \frac{I_{out}}{g_m}]$$

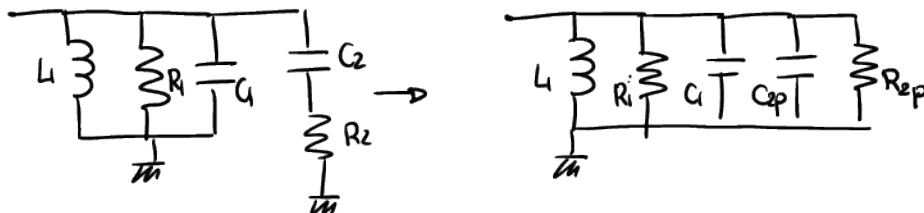
$$\frac{I_{out}}{V_x} = \frac{g_m}{2} = G_m$$

È DUNQUE



Per semplificare ancora di più l'analisi facciamo una serie di passi trasformazioni di C_2 e R_2

Trasformazione Serie \rightarrow Parallelo a Frequenza ω_0



DFT

$$R_p = R_s (1 + Q_T^2)$$

$$X_p = X_s \left(1 + \frac{1}{Q_T^2} \right)$$

$$Q_T = \frac{X_s}{R_s} = \frac{R_p}{X_p}$$

$$R_{2p} = R_2 (1 + Q_T^2)$$

$$\frac{1}{\omega_0 C_{2p}} = \frac{1}{\omega_0 C_2} \left(1 + \frac{1}{Q_T^2} \right)$$

$$Q_T = \frac{1}{\omega_0 C_2 R_2}$$

Ma noi non abbiamo ω_0 , dobbiamo supporre qualcosa, dobbiamo fare un'ipotesi sul valore di Q_T

Se $Q_T \ll 1 \rightarrow \omega_0 \gg \frac{1}{C_2 R_2} = 2\pi 159 \text{ MHz}$ (per definizione di fatto che $Q_T \ll 1$)

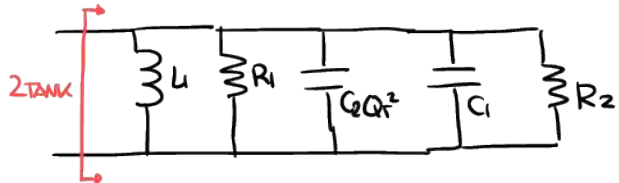
Se $Q_T \gg 1 \rightarrow \omega_0 \ll \frac{1}{C_2 R_2} = 2\pi 159 \text{ MHz}$

Visto che $L \sim \text{nH}$ e $C \sim \mu\text{F}$ allora ci aspettiamo $f_x \sim \text{GHz}$ (intendiamo la f del blocco risonante)

Perciò supponiamo $Q_T \ll 1$, allora

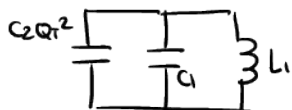
$$\begin{cases} R_{2p} = R_2 (1 + Q_T^2) \approx R_2 \\ \frac{1}{\omega_0 C_{2p}} = \frac{1}{\omega_0 C_2} \left(1 + \frac{1}{Q_T^2} \right) \approx \frac{1}{\omega_0 C_2 Q_T^2} \approx C_{2p} = C_2 Q_T^2 \end{cases}$$

Perciò ora il nostro modello equivalente è



Lui ha fatto così e lui ha casciato in serie ma non sono in serie ma non casca oppure scrive perciò $\omega_0 = \frac{1}{\sqrt{LC}}$

Se imponiamo $\text{Im}\{Z_{TANK}\} = 0$ (cioè in risonanza)



$$\omega_0 L_1 - \frac{1}{\omega_0 (G + G_2 Q_r^2)} = 0$$

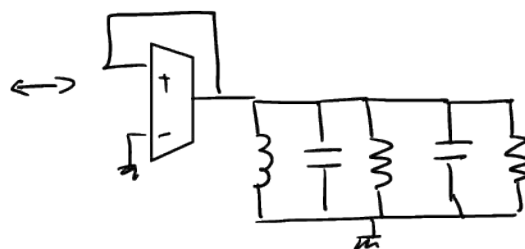
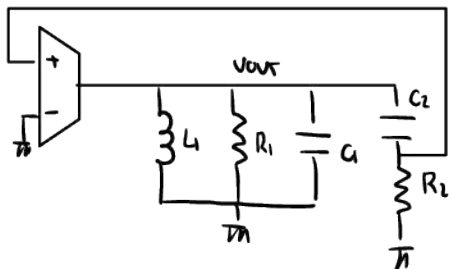
$$Q_r^2 = \frac{1}{\omega_0 R_2 C_2}$$

$$\omega_0 L_1 - \frac{1}{\omega_0 \left[G + \frac{1}{(\omega_0 R_2)^2 C_2} \right]} = 0$$

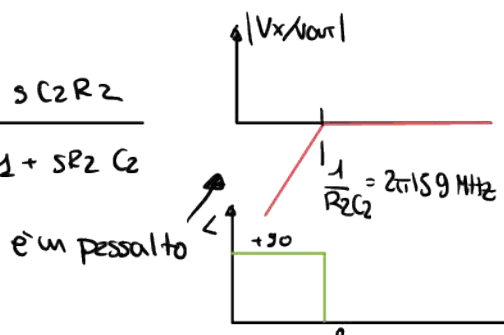
e dunque

$$\omega_0^2 L_1 C_1 + \frac{\omega_0^2 L_1}{\omega^2 R_2^2 C_2} = 1 \rightarrow \omega_0^2 = \frac{1}{L_1 C_1} - \frac{1}{G_2 R_2^2} = 2\pi 3,55 \text{ GHz}$$

Vediamo adesso se l'approssimazione è ok



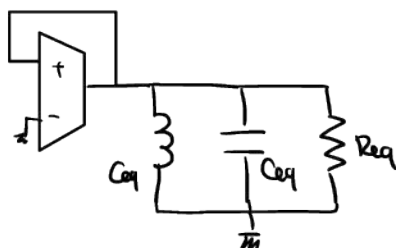
$$V_x = V_{\text{OUT}} \cdot \frac{R_2}{R_2 + \frac{1}{sC_2}} = \frac{sC_2 R_2}{1 + sR_2 C_2}$$



Dato che $\omega_0 = 2\pi f_{SGH}$ possiamo dire che $|Vx/Vout| = 1$ alla nostra f di interesse.

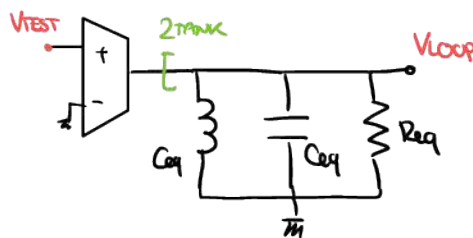
A questa f anche la fase è 0°

- CHECK DENG START UP CONDITION



$$C_{eq} = C_1 + \frac{1}{(\omega_0 R_2)^2 C_2}$$

Per avere lo start-up dobbiamo aver $|G_{loop}(j\omega)| > 1$



$$G_{loop}(j\omega) = G_m \cdot Z_{TANK}(j\omega)$$

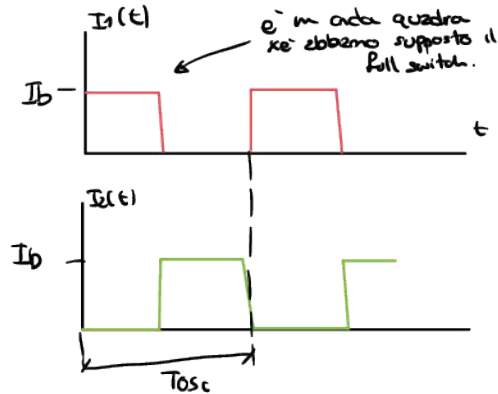
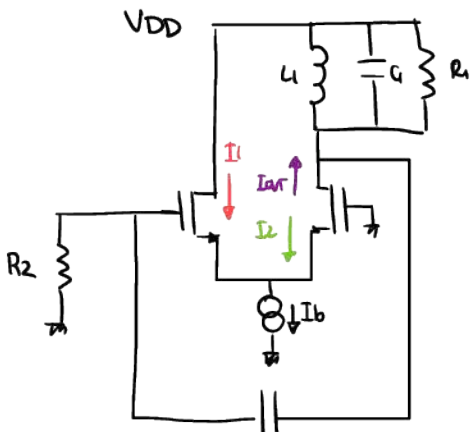
Questa siamo in risorsa quando: $|G_{loop}(j\omega_0)| = G_m R_{eq} = \frac{g_m}{2} \cdot R_1 / R_2$

e' quindi sufficiente per garantire lo start-up.

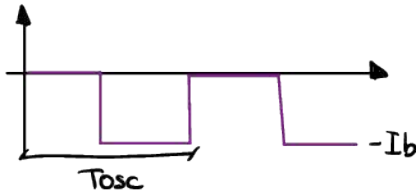
$$= 2,58 > 1$$

- PUNTO B

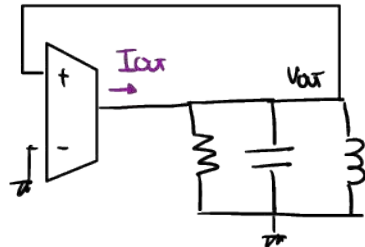
ricavare l'impedenza di Vout supponendo che M1 e M2 switchino completamente



Dato che $I_{out} = I_2 - I_1$ allora



Consideriamo ora il modello soprafatto



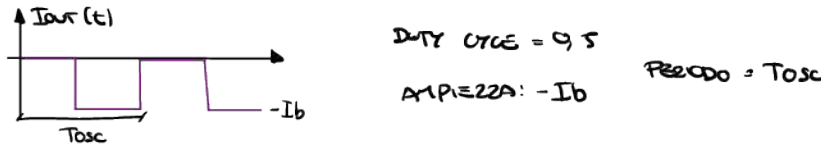
Vogliamo calcolare $V_{out}(t)$ con l'armonico bilanciato cioè in fase

$$I_1(t) \rightarrow I(j\omega)$$

$$V_{out}(j\omega) = I(j\omega) Z_{load}(j\omega)$$

$$V_{out}(j\omega) \rightarrow V_{out}(t)$$

Inizieremo calcolando le zincale di $I_{out}(t)$

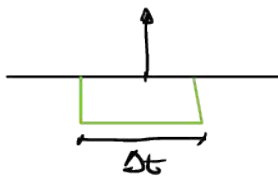


$$I_{out}(t) = \gamma_0 + \sum_{n=1}^{+\infty} 2|\gamma_n| \cos\left(\frac{2\pi}{T_{osc}}nt + \angle \gamma_n\right)$$

$$I_0 = \gamma_0 = \text{media del segnale} = -I_b/2$$

$$\gamma_n = \frac{1}{T_{osc}} \operatorname{Tr} \left\{ I_{out_T}(t) \right\}_{f=\frac{n}{T_{osc}}}$$

I_{out} truncated (f) è un rettangolo d'ampiezza $-I_b$



$$I_{out \text{ truncated}}(t) = I_{out}(t) \cdot \operatorname{rect}\left(\frac{t}{T_{osc}}\right)$$

$$I_{out \text{ truncated}}(t) = -I_b \operatorname{rect}\left(\frac{t}{\Delta t}\right)$$

Ancora

$$\begin{aligned}\gamma_n &= -\frac{1}{T_{osc}} \int_T \{ I_{av, n}(\tau) \} d\tau = \frac{n}{T_{osc}} \\&= \frac{1}{T_{osc}} \Delta T (-I_b) \sin \left(\frac{n}{T_{osc}} \Delta t \right) \quad \text{con } \frac{\Delta t}{T_{osc}} = D \\&= -I_b \cdot D \cdot \frac{\sin(nD\pi)}{nD\pi}\end{aligned}$$

Ricciò mettendo $n=1$ ottengo

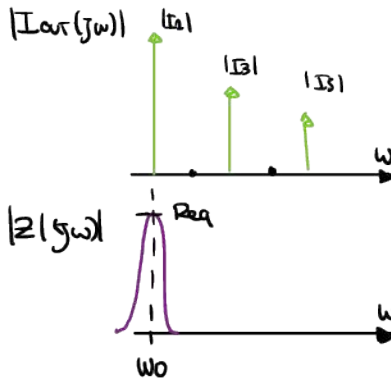
$$|I_1| = 2|\gamma_1| = 2I_b \cdot \frac{1}{2} \frac{\sin(\pi/2)}{\pi/2} = \frac{2I_b}{\pi}$$

$$|I_2| = 2|\gamma_2| = 2I_b \cdot \frac{1}{2} \cdot \frac{\sin(\pi)}{\pi} = 0$$

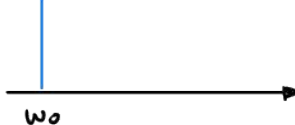
$$|I_3| = 2|\gamma_3| = \frac{2}{3}\pi I_b$$

$$|I_4| = 0$$

Allora se grafichiamo corrente e impedenza ottengo che



$$|V_{out}(j\omega)| = |V_1| |Z(j\omega_0)| = |I_1| R_{req}$$



$$V_{out} = V_{out, DC} + |V_1| \cos(\omega_0 t)$$

$|V_1|$ = oscillator amplitude

2) V_1

$$|V_1| = \frac{2I_b}{\pi} \cdot R_{eq} = \frac{2I_b}{\pi} (R_1/R_2) = 1,273 \text{ V}$$

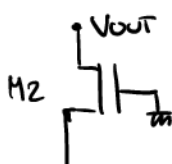
Che è l'ampiezza d'oscillazione

• PUNTO C

Plotteremo V_{out} e V_X in un periodo e verificare che i transistori lavorino bene.

- CHECK TRANSISTOR OPERATION REGION

Iniziamo da M2



a) DC seppiamo che $V_{out} = V_{DD}$ (ce' sopra ho l'induttore che si cortocircuita)

In Generale allora

$$V_{out} = V_{DD} + |V_1| \cos(\omega t)$$

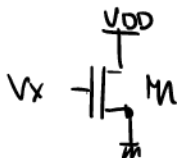
Noi seppiamo che

$$V_d^{max} > V_g - V_T \quad \text{ricordiamo } V_g = \alpha$$

Allora

$$V_{DD} - |V_1| > -V_T \rightarrow 1,25 \text{ V} - 1,273 \text{ V} > -0,5 \text{ V} \quad \text{OK!!}$$

• CONTROLLOMOS M1



Noi seppiamo che V_x ha lo stesso veloce di V_{out} in frequenza ma in diverso bias in DC (che e' 0 perché c'e' il condensatore)

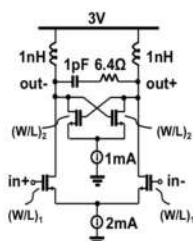
$$V_d > V_g^{max} + V_T$$

$$V_g^{max} < V_{DD} + V_T$$

$$1,273 \text{ V} < 1,25 + 0,5 \quad \text{OK!!}$$

T7.3 Let us consider the circuit in figure, where $V_t = 0.5 \text{ V}$, $\frac{1}{2}\mu C_{ox} = 0.1 \text{ mA/V}^2$ and $\gamma/\alpha = 2/3$.

- Evaluate the resonant frequency of the differential load and find the values of $(W/L)_1$ and $(W/L)_2$ to obtain: (i) differential gain at resonance $(V_{out+}^+ - V_{out-}^-)/(V_{in+}^+ - V_{in-}^-)$ equal to 5dB and (ii) a -3dB bandwidth of the gain equal to 270MHz.
- Considering both transistor and resistor noise, evaluate the output noise voltage spectral density at resonance.
- Is there any limit on the choice of $(W/L)_2$? If so, explain why.

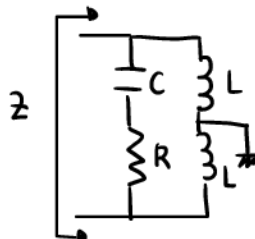


$$g_{m1} = 2 \sqrt{K(L)_1 \frac{Ib_1}{2}}$$

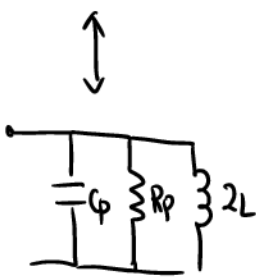
$$g_{m2} = 2 \sqrt{K(L)_2 \frac{Ib_2}{2}}$$

PUNTO A)

Ricavare la frequenza di risonanza di Z_{out}



Facciamo una
convergenza
da serie
a parallelo



$$\begin{cases} R_p = R(1 + Q_T)^2 \\ \frac{1}{\omega_0 C_p} = \frac{1}{\omega_0 C} \left(1 + \frac{1}{Q_T^2}\right) \\ Q_T = \frac{1}{\omega_0 C R} = \omega_0 C_p R_p \end{cases}$$

non sappiamo ω_0 ma facciamo un'ipotesi sul
valore di Q_T

$$\text{Se } Q_T \gg 1 \rightarrow \omega_0 \ll \frac{1}{CR} = 2\pi 24,87 \text{ GHz}$$

$$\text{Se } Q_T \ll 1 \rightarrow \omega_0 \gg \frac{1}{CR} = 2\pi 24,87 \text{ GHz}$$

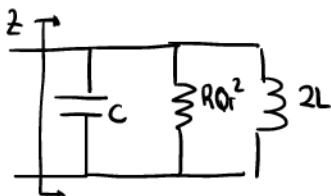
visto che $L \sim \text{nH}$ e $C \sim \text{pF}$ io mi aspetto $f_0 \sim \text{GHz}$ quindi $Q_T \gg 1$

Perciò se $Q_T \gg 1$

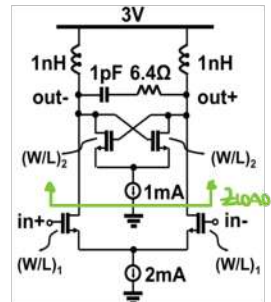
$$R_p = R(1 + Q_T^2) \approx R Q_T^2$$

$$\frac{1}{\omega_0 C_p} = \frac{1}{\omega_0 C_2} \left(1 + \frac{1}{Q_T^2}\right) \approx \frac{1}{\omega_0 C_2} \rightarrow C_{ep} \approx C_2$$

Il modello eg è



$$\omega_0 = \frac{1}{\sqrt{2LC}} \approx 2\pi 3,56 \text{ GHz}$$



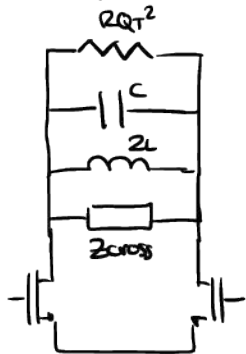
controlliamo che la nostra suposizione fosse giusta

$$Q_T = \frac{1}{\omega_0 R_C} = 7 \gg 1 \quad \text{l'approssimazione regge}$$

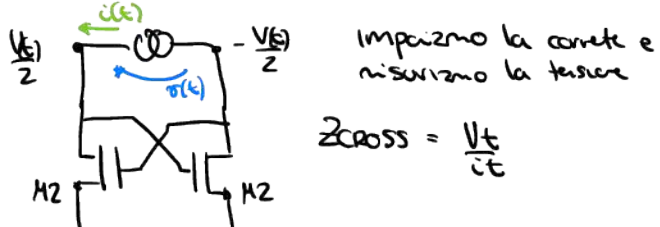
- Dobbiamo trovare (ω/L) , e (ω/L_2) per avere

$$\text{i) } \frac{V_{out} \text{ d.c.}}{V_{in} \text{ d.c.}} = 5 \text{ dB} \quad \text{ii) } -3 \text{dB BW} = 270 \text{ MHz}$$

Il circuito completo è



Z_{cross} = impedenza dei cross coupled



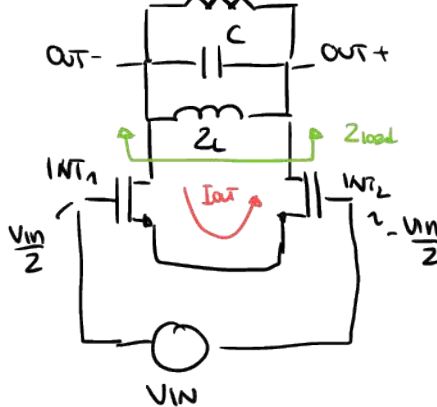
$$Z_{cross} = \frac{V_t}{i_t}$$

$$\text{dove } i(t) = g_m \left[-\frac{V_t}{2} \right]$$

perciò $\frac{V_t}{i(t)} = -2/g_m$ ← impedenza
reattiva che ci aspettavamo

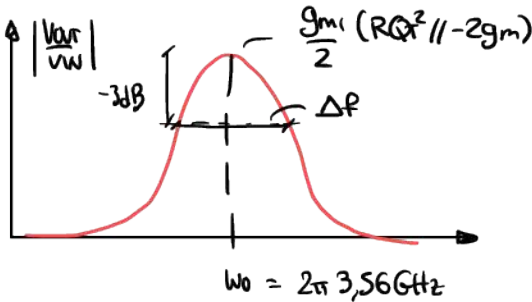
- Ricaviamo l'OUTPUT GAIN $(V_{out} \text{ d.c.}) / (V_{in} \text{ d.c.})$ [di questo gain]

$$R_{eq} = RQT^2 / (-2g_m)$$



$$V_{out} = i_{out} Z_{LOAD}$$

$$= V_{in} g_m \cdot \frac{1}{2} Z_{LOAD}$$



Δf è la banda di frequenza in cui la massima redditività è guadagno è 3dB
ed è

$$\Delta f = 270 \text{ MHz} \leftarrow \text{Dato che c'era stato dato}$$

Nei seppiamo che $Q_{T_{\text{ank}}} = \frac{f_0}{\Delta f} = 13,18 \leftarrow$ Perché $Q_{T_{\text{ANK}}}$ per la rete deve essere 13

Quindi:

$$Q_{T_{\text{ANK}}} = w_0 C_{\text{req}} \rightarrow C_{\text{req}} = 589,46 \text{ pF}$$
$$\stackrel{!}{=} R Q_t^2 / 2 Z_{\text{cross}} \quad Z_{\text{cross}} = -2/g_m$$

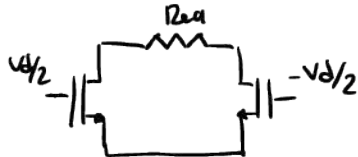
Perciò

$$g_m = 2 \left[\frac{1}{R Q_t^2} - \frac{1}{C_{\text{req}}} \right] = 2,98 \text{ mA/V}$$
$$= 2 \sqrt{\frac{1}{2} \mu_n C_{\text{ox}} \left(\frac{W}{L} \right)_2 \frac{I_{\text{ds}}}{2}}$$

e quindi

$$\left(\frac{W}{L} \right)_2 = 45$$

conduttrice 2 e che ω_0 sarà 5dB g_m



$$\frac{V_{\text{out,d}}}{V_{\text{in,d}}} = \frac{g_m}{2} R_{\text{eq}} = 5 \text{ dB} = 10^{\frac{5}{20}}$$

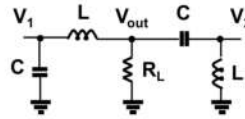
$$\hookrightarrow g_m = 6,03 \text{ mS}$$

$$= 2 \sqrt{\frac{1}{2} \mu_n C_{\text{ox}} \left(\frac{W}{L} \right)_1 \frac{I_{\text{ds}}}{2}}$$

quindi $\left(\frac{W}{L} \right)_1 = 90$

T6.4 Soluzione alternativa

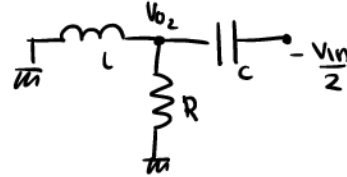
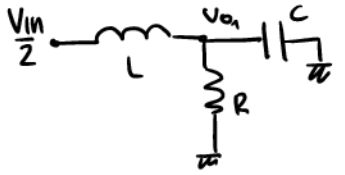
T6.4 We want to design a differential to single-ended signal converter. Let us consider the circuit in figure, where $R_L = 50\Omega$.



- Find the values of L and C to have a gain $|V_{out}| / |V_1 - V_2| = 1$ at 5GHz.
- Evaluate the differential impedance between V_1 and V_2 at 5GHz.

[Solution: a. $L = 1.59\text{nH}$, $C = 637\text{fF}$; b. $R_{diff} = 50\Omega$]

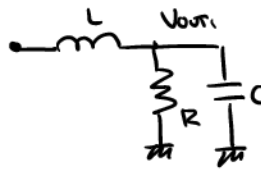
Se $V_1 = V_{in}/2$ e $V_2 = -V_{in}/2$ principio della sovrapposizione degli effetti



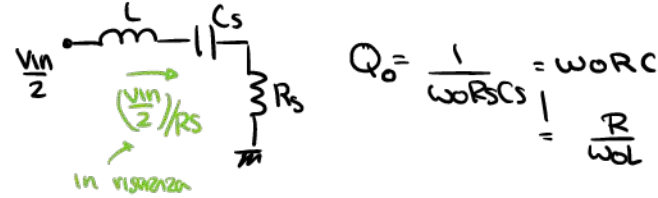
$$V_{out} = V_{o1} + V_{o2}$$

Siamo dunque ad un L-metodo

Caso 1



In risonanza posso fare



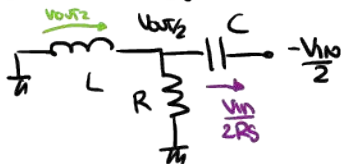
e quindi visto che V_{out1} è la ceduta su C del circuito originale allora

$$V_{out1} = \frac{V_{in}}{2R_s} \cdot \frac{1}{j\omega C} = \frac{V_{in}}{2} \cdot \frac{Q_0}{j} = -j \frac{V_{in}}{2} \cdot Q_0$$

Correte in
risonanza

TUTTO QUESTO È IN LOW LOSS APPROX XE' NON CONSIDERANO LA COULENTA
IN R.

Per l'altro caso viene



$$V_{OUT2} = j \omega_0 L \cdot \frac{V_{IN}}{2R} = j Q \cdot \frac{V_{IN}}{2}$$

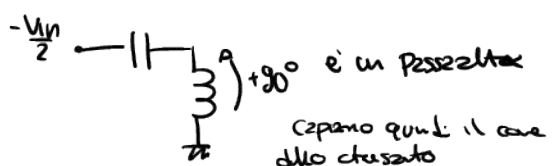
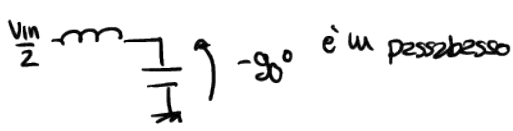
Allora

$$V_{OUT} = -j Q V_{IN}$$

$|G_{211}|=1$ lo ricaviamo con $Q_0 = 1$ e sappiamo che $\omega_0 = \sqrt{\frac{1}{LC}} = 2\pi 5 \cdot 10^9$

Sappiamo $Q_0 = 1 = \frac{R}{\omega_0 L}$ e ricaviamo L e C .

Cerchiamo anche lo sfasamento

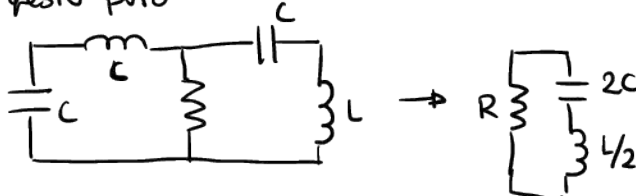


Cerchiamo quindi il caso chiuso

Una soluzione alternativa è data senza fare la sovrapposizione degli effetti

$$\frac{V_{OUT}}{V_{IN}} = \frac{R}{2} \left[\frac{1}{j\omega_0 L} - j\omega_0 C \right]$$

A questo punto



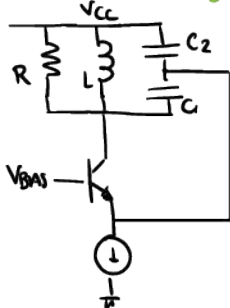
Stessa cosa perché i 2 ram sono in parallelo e da qui ricava il fattore di qualità

$$Q = \frac{\omega_0 L / 2}{R}$$

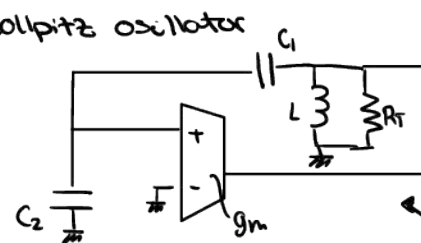
19.06.2021

2h

Vent'anni nelle topologie di oscillatori



Colpitts oscillator



Circuito equivalente a piccole segnali

è una rete di colpitz perché abbiamo che

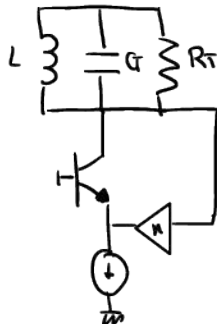


e abbiamo la rete di match Colpitz (che da ora in avanti in risonanza), infatti:

Supponiamo low loss approx $\rightarrow \frac{1}{g_m} \gg \frac{1}{\omega_0 C_2}$ allora $V_2 \approx \frac{C_1}{C_1 + C_2} \cdot V_0$
 $\underbrace{n < 1}_{\text{e quindi il resistore equivalente è}}$

$$\begin{aligned} Req &\approx \frac{1}{g_m} \cdot \frac{1}{|V_2/V_0|^2} && (\text{Questo si ottiene imponendo la stessa energia dissipata nelle 2 reti}) \\ &= \frac{1}{n^2 g_m} \end{aligned}$$

Possiamo approssimare il circuito con



$$R_T = R // Req = R // \frac{1}{n^2 g_m}$$

$$C_T = \frac{C_1 C_2}{C_1 + C_2}$$

Dato questo circuito si possono ricavare tutti i valori

$$G_{loop}(s) = n g_m \cdot Z_T(s) \quad \text{con } Z_T \text{ impedenza della rete risorte parallela}$$

Oscillatore ad attivo (small-signal)

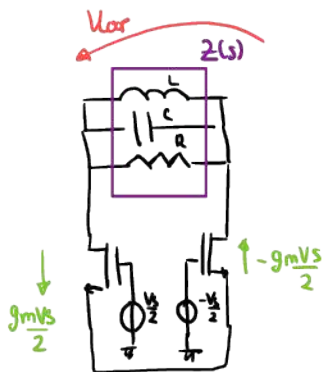
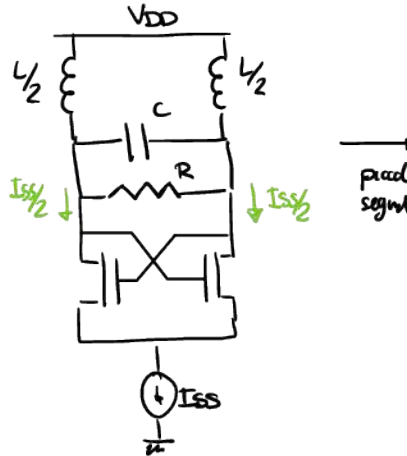
$$LG(j\omega_0) = 1 \iff \begin{cases} g_m R_T n = 1 \\ \omega_0 = \frac{1}{\sqrt{L C_T}} \end{cases} \quad \text{con } R_T = \frac{R \cdot \frac{1}{n^2 g_m}}{R + \frac{1}{n^2 g_m}}$$

e si ottiene

$$g_m \cdot R = \frac{1}{n(1-n)}$$

si ottiene lo stesso risultato del caso precedente con $m = \frac{1}{n}$

• Altra topologia

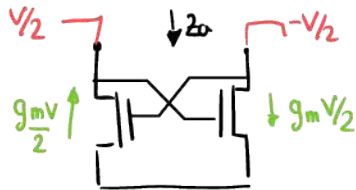


in differential mode

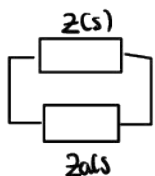
$$LG(s) = \frac{V_{loop}}{V_S} = \frac{g_m V_{S/2} \cdot Z(s)}{V_S} = \frac{g_m}{2} \cdot Z(s)$$

Condizioni di oscillazione $LG(j\omega_0) \Rightarrow \begin{cases} \omega_0 = \frac{1}{\sqrt{LC}} \\ \frac{g_m}{2} R = 1 \end{cases}$

Nel caso 2 sono usato la teoria della resistenza reattiva otengo come se nel modo d'altrezzare si ha:

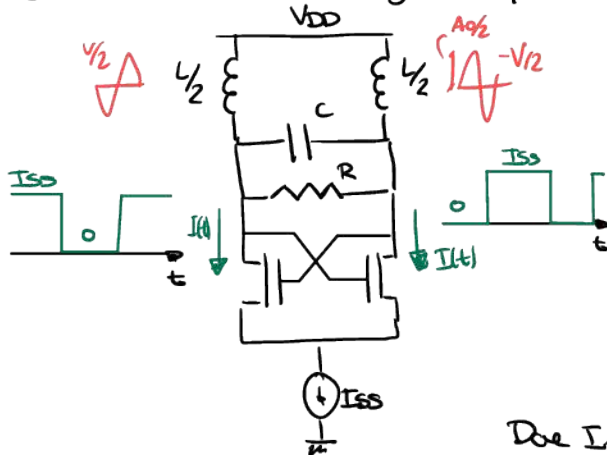


$$Z(s) = \frac{V}{-g_m V/2} = -\frac{2}{g_m}$$



Oscillatore antitheta $-Z(s) = Z(s)$ (ottengo lo stesso risultato di sopra)

Cosa succede a Grandi Segnali? quando dobbiamo calcolare l'ormai trascurata



Visto che la corrente è con - noi stiamo supponendo il Full-switch (hard-limiting IV(V))

- Condizioni di oscillazione

$$G_{mH} \cdot R = -1$$

$$G_{mH} = \frac{I_A}{V_1}$$

Dove I_A è la prima armonica di $I(t)$

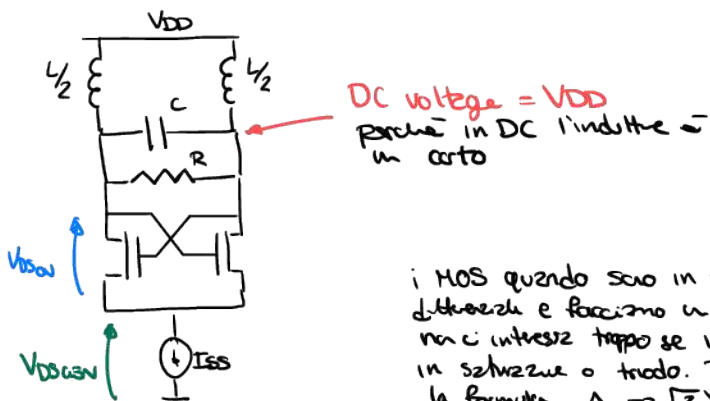
$$\left. \begin{array}{l} \overline{I}_A = \frac{2}{\pi} I_{SS} \\ \overline{V}_1 = A_0 \end{array} \right\} \rightarrow G_{mH} = \frac{\overline{I}_A}{A_0} \rightarrow \overline{A}_0 = \frac{2}{\pi} I_{SS} \cdot R$$

Vale sia per i mos in set e in triodo

formula di rete vale solo se $A_0 \gg \sqrt{2} \cdot V_{DD}$ condice mos schwarz

Dato il CGSO standard qui c'è una resistenza doppia per avere la stessa ampiezza

Quel è la massima ampiezza d'oscillazione ottabile con questo circuito



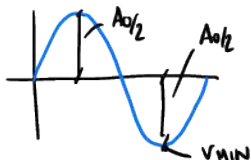
perché in DC l'induttore è un corto

Copriamo che la tensione massima è V_{DD} nella sezione positiva ma nella sezione negativa non abbiamo un induttore a terra ma passiamo in un transistor

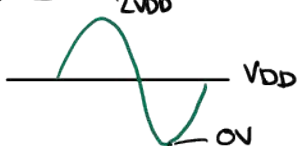
Questo significa che il

$$\text{min Voltage} = V_{DS(on)} + V_{DS(on)}$$

i MOS quando sono in topologia diffusa e fanno un Full-switch non ci interessa troppo se i mos sono in schwarz o triodo. Tuttavia la formula $A_0 \gg \sqrt{2} V_{DD}$ è calcolata supponendo in schwarz



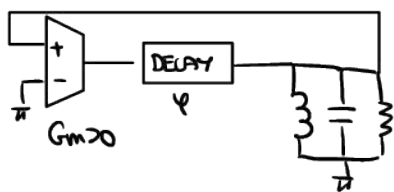
$$A_0/2 \rightarrow V_{DD} - 0V \rightarrow A_0 \rightarrow 2V$$



Frequency stability

(vogliamo vedere la stabilità della f d'osc relativa ai disturbi / non ideale)

- Nella rete dopo la trasconduttorza abbiamo un delay



Condizioni di Barkhausen per l'oscillazione

$$\begin{cases} \angle LG(j\omega_0) = 0^\circ \\ LG(j\omega) = G_m e^{-j\varphi} Z(j\omega) \end{cases}$$

$$\text{Perciò si ottiene che } -\varphi + \angle Z(j\omega_0) = 0^\circ$$

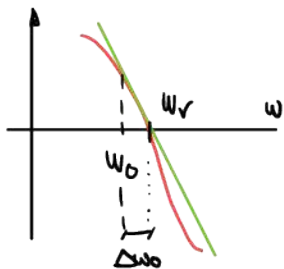
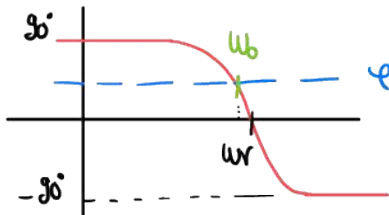
$$! -\varphi + \left\{ \frac{\pi}{2} - \operatorname{atan}\left(\frac{\omega_0 w_r/Q}{w_r^2 - \omega_0^2}\right) \right\} = 0^\circ$$

————— e' la fase di $Z(j\omega_0)$

$$\text{Ricordiamo che } \frac{\pi}{2} - \operatorname{atan}(x) = \operatorname{atan}\left(\frac{1}{x}\right) \text{ allora}$$

$$\varphi = \operatorname{atan}\left(\frac{w_r^2 - \omega_0^2}{\omega_0 w_r/Q}\right)$$

Ottieniamo dunque che ω_0 è una frequenza minore rispetto a quella della frequenza di risonanza



$$\Delta\omega_0 = \left| \frac{\Delta\varphi}{\frac{d\operatorname{atan}Z}{d\omega_0}|_{\omega_0=wr}} \right| \quad \text{In pratica e' la divar. dell'asintotiche}$$

$$= \Delta\varphi \cdot \left| \frac{1}{1 + \left(\frac{Q\omega_r^2 - \omega_0^2}{\omega_0 w_r} \right)^2} \cdot \frac{Q}{\omega_r} \cdot \frac{-2\omega_r^2 - (\omega_r^2 - \omega_0^2)}{\omega_0^2} \right|_{\omega_0=wr}$$

Ricordate!!

$$\frac{d}{dx} \operatorname{atan}(x) = \frac{1}{1+x^2}$$

$$\text{QUINDI } \Delta\omega_0 = \frac{\Delta\varphi}{-2Q/\omega_0}$$

più alto è il Q più la slope della fase è ripida
($\Delta\omega_0$ è più piccolo per Q grandi)

Percorso

$$\frac{\Delta \omega_0}{\omega_0} = - \frac{\Delta \Phi}{2Q}$$

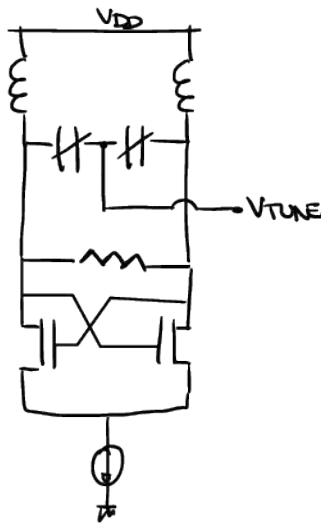
La variazione di frequenza relativa indotta da un dipolo esterno è inversamente proporzionale a Q.

$$\text{Frequency stability} \triangleq \frac{\Delta \omega_0 / \omega_0}{\Delta \Phi} = - \frac{1}{2Q} \quad \text{per un LC oscillator basico}$$

Esercizio: trovare la frequency stability per un ring oscillator

Voltage-Controlled Oscillator (VCOs)

La cosa più facile da possedere per fare è usare i variable capacitors (varactors).

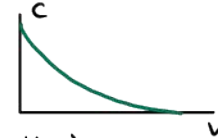


I condensatori variabili hanno da un lato Vcc e dall'altro Vtune.

Per fare i condensatori variabili c'sono + metodi:

- a) P-N junction in reverse biasing
(ha una curva in DC non trascurabile)

$$C = \frac{C_{j0}}{\left(1 + \frac{V}{V_{j0}}\right)^m}$$



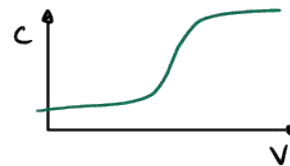
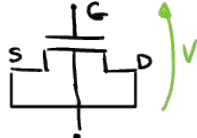
- b) MOS junctions (o strutture)
Al centro della PN junction la curva è trascurabile

1 - della zona di inversione alla zona di deplition
(zona inversa $C = C_{ox}$, zona deplition $C = C_{dep}$)

2 - della zona di zonizzazione a quella di deplition

Esempi di queste strutture con i mos possono essere

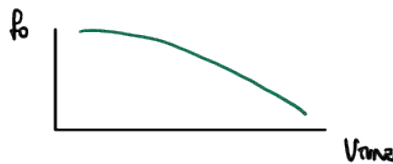
1)



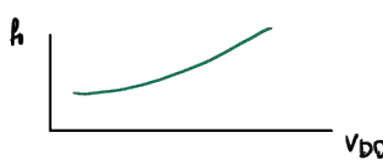
Phase noise

2 meccanismi in cui la phase noise si può generare in un oscillatore

- Indiretto: AM to FM conversion: (upconversion of a low frequency noise)



$$K_{VCO} = 2\pi \frac{\partial f_o}{\partial V_{VNA}} \quad (\text{VCO SENSIBILITY ON CAVIN})$$



$$K_{VDD} = 2\pi \frac{\partial f}{\partial V_{DD}} \quad (\text{VCO supply pushing})$$

(Come qui mostrato ci sono sensitività ad esempio della VCO da altro che f_o , quindi non abbiano solo più V_{VNA} per controllarla)

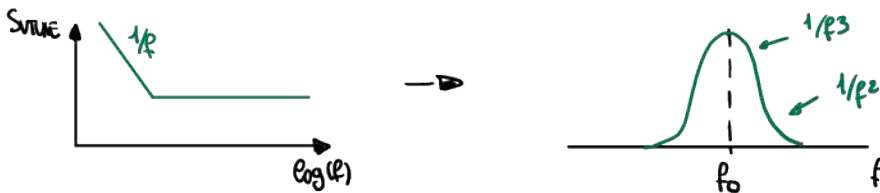
Se abbiamo low-frequency noise in V_{VNA} PSD $S_{VNA}(w)$

$$\Rightarrow S_{W_0(\omega)} = K_{VCO}^2 S_{VNA}(\omega) \Rightarrow S_p(\omega) = \frac{K_{VCO}^2 S_{VNA}}{\omega^2}$$

20.02.2021

lezione

3h

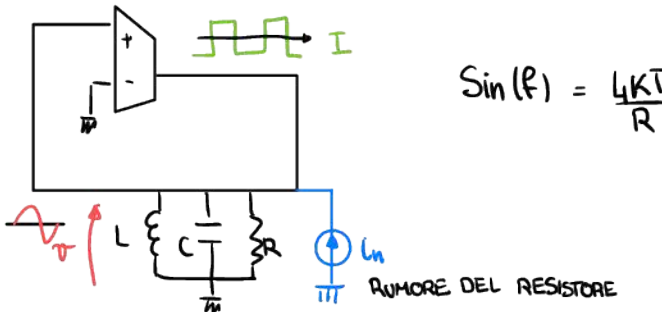


Questo deriva dal fatto che seppiamo che

$$L(f) = \frac{1}{2} S_p(\omega) = \frac{1}{2} K_{VCO}^2 \cdot \frac{S_{VNA}(\omega)}{\omega^2}$$

DIRECT MECHANISM

$\ln(t)$ è il rumore associato alla perdita di R



$$S_{in}(f) = \frac{4kT}{R}$$

Se gesta un e' inserita nel loop cosa succede?

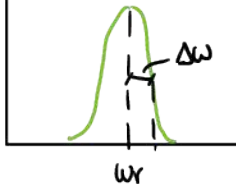
Questo sistema non è lineare, non possiamo supporre che in regime il circuito funzioni attorno ad un piccolo segnale, siamo in una situazione di grande segnale.

Sappiamo che

$$Z(j\omega) = R \cdot \frac{j\omega \cdot wr/Q}{wr^2 - \omega^2 + j\omega wr} \quad Q = wr RC$$

Dobbiamo studiare cosa accade a circa attorno alla risonanza questo perché la impedenza $Z(\omega)$ è zero intorno alle frequenze che sono lontane dalla risonanza.

$Z(\omega)$



$$\omega = wr \pm \Delta\omega$$

Risolviamo tutto in funzione di ω

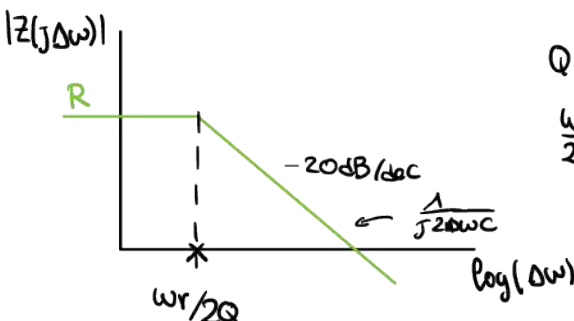
$$Z(jwr + j\Delta\omega) = R \cdot \frac{j(wr \pm \Delta\omega) \cdot wr/Q}{wr^2 - (wr + \Delta\omega)^2 + j(wr \pm \Delta\omega) \frac{wr}{Q}}$$

$$= R \cdot \frac{-1}{1 + j \frac{\Delta\omega}{wr/Q} \cdot \frac{\Delta\omega \mp 2wr}{wr + \Delta\omega}}$$

Se $\Delta\omega \ll wr$ allora si può fare una semplificazione e dire che

$$R \cdot \frac{-1}{1 + j \frac{\Delta\omega}{wr/Q} \cdot \underbrace{\frac{\Delta\omega \mp 2wr}{wr + \Delta\omega}}_{\pm 2}} \quad \text{quindi} \quad Z(jwr \pm j\Delta\omega) \approx \frac{R}{1 \pm j \frac{\Delta\omega}{wr/2Q}}$$

è molto interessante perché se plotto l'impedenza su $\Delta\omega$ otteniamo che



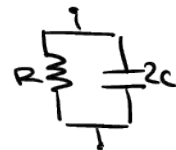
$$Q = wr RC$$

$$\frac{wr}{2Q} = \frac{1}{2RC}$$

Perciò per estrarre informazioni ridimensiono l'impedenza come:

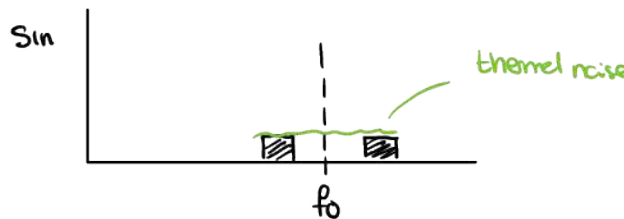
$$Z(j\omega \pm j\Delta\omega) = \frac{R}{1 + j2RC \cdot \Delta\omega} \stackrel{\Delta}{=} Z'(\pm j\Delta\omega)$$

Possiamo vedere questa impedenza come quella di un resistore con in serie un condensatore di valore $2C$.



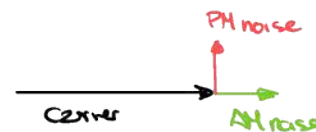
$Z'(\pm j\Delta\omega)$ è la stessa cosa di un bipolardo equivalente esterno alla linea di ricezione.

Possiamo perciò dire che



Consideriamo lo spettro del rumore esterno alla banda del segnale

C'è un teorema che dice che reti della potenza di SIN è in fase con il Carrier e l'alta in quadratura con lo stesso

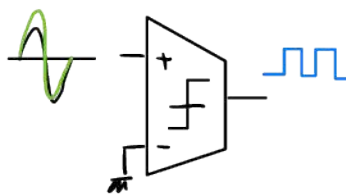


Copriamo dunque da cui saranno 2 componenti di rumore una che modula in AM e una in PM

$$S_{\text{IN}} \Delta M = \frac{2kT}{R} \quad S_{\text{IN}} \text{PM} = \frac{2kT}{R}$$

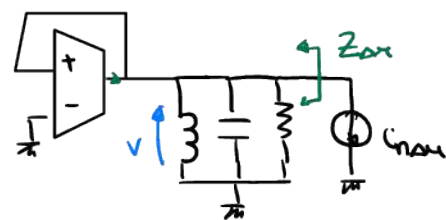
Il sistema (topologia) ha diverse risposte tra AM e PM modulazione

MODULAZIONE AM



Dato che abbiamo un hard Limiter questo significa che la modulazione AM non pesca e quindi la corrente è la stessa

Circuito ad AM perturbazione



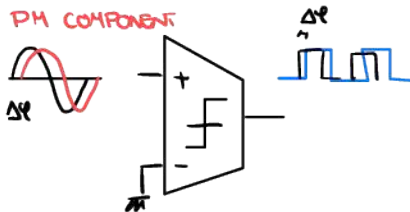
La variazione di corrente non viene riportata in uscita e' come se il circuito fosse aperto, possiamo quindi dire che l'impedenza vista dal generatore di corrente e':

$$Z_{AH}(w) = Z(w)$$

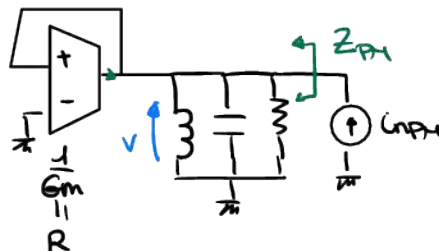
Cioè l'impedenza normale perché il circuito è in pratica aperto

• PM COMPONENT

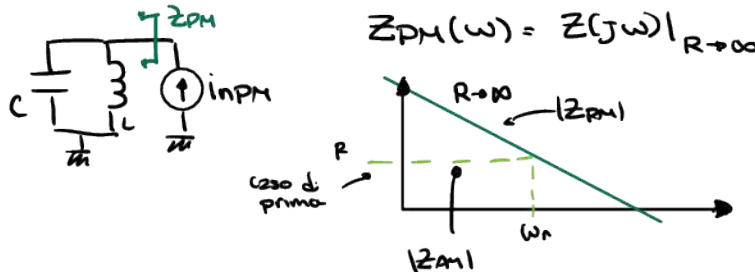
PM COMPONENT



La corrente risulta sfalsata rispetto a prima, questo significa di non ricevere riportato di output



Ci aspettiamo che il circuito sia ad zetolo chiuso e che quindi risponda alle perturbazioni. Noi sappiamo che visto che il circuito è chiuso R si bilancia con $1/G_m$ e quindi il circuito equivalente è del tipo



In pratica noi facciamo un'integrazione e quindi questo sistema mantiene in memoria questo disturbo per sempre. Se applico un impulso d'gradino questo lo mantiene per sempre

Perciò ora sappiamo che (lo spettro completo del rumore sarà)

$$Sv(w) = \frac{2kT}{R} |Z_{AH}(w)|^2 + \frac{2kT}{R} |Z_{PM}(w)|^2$$

Se $\Delta w \ll \frac{\omega_r}{2Q}$ allora

$$\left\{ \begin{array}{l} Z_{AH}(\omega_r \pm \Delta\omega) \approx R \\ Z_{PM}(\omega_r \pm \Delta\omega) \approx \frac{1}{\pm j 2\omega_r C} \end{array} \right.$$

e quindi

$$Sv(\omega) \approx \frac{2KT}{R} \cdot R^2 + \frac{2KT}{R} \cdot \frac{1}{4 \cdot \Delta\omega^2 C^2} = 2KTR + \frac{KT}{2R \Delta\omega^2 C^2}$$

vogliamo risolverlo in funzione del qualità factor $Q = \omega_r R C$

$$Sv(\omega) = 2KTR + \frac{KT \cdot R \cdot \omega_r^2}{2R \Delta\omega^2 C^2 \cdot R \cdot \omega_r^2}$$

$$\approx 2KTR + \underbrace{\frac{1}{2} RKT \cdot \left(\frac{\omega_r}{Q} \right)^2 \cdot \frac{1}{\Delta\omega^2}}_{\text{PM noise (è il rumore da dominio)}}$$

Am noise
(tipicamente trascurabile)

PM noise (è il rumore da dominio)

E quindi ricaveremo che la phase noise in un oscillatore è:

$$\begin{aligned} L(\Delta\omega) &\triangleq \frac{Sv(\omega_r + \Delta\omega)}{P_{carrier}} \\ &= \frac{\frac{1}{2} KTR \left(\frac{\omega_r}{Q} \right)^2 \cdot \frac{1}{\Delta\omega^2}}{\frac{A_0^2}{2}} \end{aligned}$$

con A_0 ampiezza di $\sigma(t)$

Tipicamente per tener conto dei rumori dati dai componenti altri si aggiunge un fattore F_a

$$Sv(\omega_r + \Delta\omega) \approx \frac{1}{2} KTR \left(\frac{\omega_r}{Q} \right)^2 \cdot \frac{1}{\Delta\omega^2} \cdot F_a$$

Possiamo risolvere la phase noise come

$$\begin{aligned} L(\Delta\omega) &= \frac{\frac{1}{2} KT \left(\frac{\omega_r}{Q} \right)^2 \cdot R \cdot \frac{1}{\Delta\omega^2} \cdot F_a}{\frac{A_0^2}{2}} \end{aligned}$$

$$P_R = \frac{A_0^2}{2R} [W] \quad \text{potenza dissipata dalla resistenza}$$

$$= \frac{KT}{2P_R} \cdot \left(\frac{\omega_r}{Q} \right)^2 \cdot \frac{1}{\Delta\omega^2} \cdot F_a$$

visto che $P_R = \eta \cdot P_{DC}$

P_{DC} : DC power from the supply

$\eta \leq 1$ efficienza

Quindi:

$$\mathcal{L}(\Delta\omega) = \frac{kT}{2\eta P_{DC}} \cdot \left(\frac{\omega_r}{Q} \right)^2 \cdot \frac{1}{\Delta\omega^2} \cdot F_a$$

In questo modo capiamo la relazione tra potenza dissipata e phase noise.

Come posso comparare più oscillatori?

Definisco la così detta figura di merito dell'oscillatore

$$FdM_{dB} = 10 \log_{10} \left\{ \frac{1}{\mathcal{L}(\Delta\omega) \cdot P_{DC}} \cdot \left(\frac{\omega_{osc}}{\Delta\omega} \right)^2 \right\}$$

ATTENZIONE! P_{DC} va messo in mW non in W.

Ampliando la definizione di \mathcal{L} -script riscriviamo la figura di merito

$$FdM_{dB} = 10 \log_{10} \left\{ \frac{\left(\frac{\omega_{osc}}{\Delta\omega^2} \right)}{\frac{kT}{2\eta} \cdot \frac{1}{P_{DC}} \cdot \left(\frac{\omega_{osc}}{Q} \right)^2 \cdot \frac{1}{\Delta\omega^2} \cdot F_a \cdot P_{DC,mW}} \right\}$$

$= 10^{-3}$

Allora

$$FdM_{dB} = 10 \log_{10} \left\{ 10^{-3} \cdot \frac{2\eta}{kT} \cdot Q^2 \cdot \frac{1}{F_a} \right\}$$

Questa rappresenta il limite termodinamico della figura di merito dell'oscillatore.

Se supponiamo

$\eta = 1$ ideale	→	$FdM_{MAX} = 10 \log_{10} \left\{ \frac{2}{kT} \cdot Q^2 \right\} - 30$
$F_a = 1$ ideale		
$Q = 20$		

in pratica così consideriamo solo la termal noise e non considerino il resto

ESEMPIO

Supponiamo un oscillatore con $f_{osc} = 1 \text{ GHz}$, $\Delta f = 1 \text{ MHz}$, $P_{dc} = 1 \text{ mW}$, $Q = 10$ zihara. Per calcolare la phase noise minima dobbiamo

$$\begin{aligned}\lambda_{\text{MW}}(\Delta f) &= \frac{1}{F_{dM_{\text{max}}}} \cdot \frac{1}{P_{dc, \text{MW}}} \cdot \left(\frac{f_{osc}}{\Delta f} \right)^2 \\ &\downarrow \\ &= - F_{dM_{\text{max}}} - 10 \log_{10} P_{dc, \text{MW}} + 20 \log \left(\frac{f_{osc}}{\Delta f} \right) \\ &= -197 \text{ dB} - 0 \text{ dBm} + 60 = -137 \text{ dBc/Hz}\end{aligned}$$

Circuit simulators

Per i professionisti i simulatori sono chiamati spettro (Cadence Mentor, Spectre eletto).

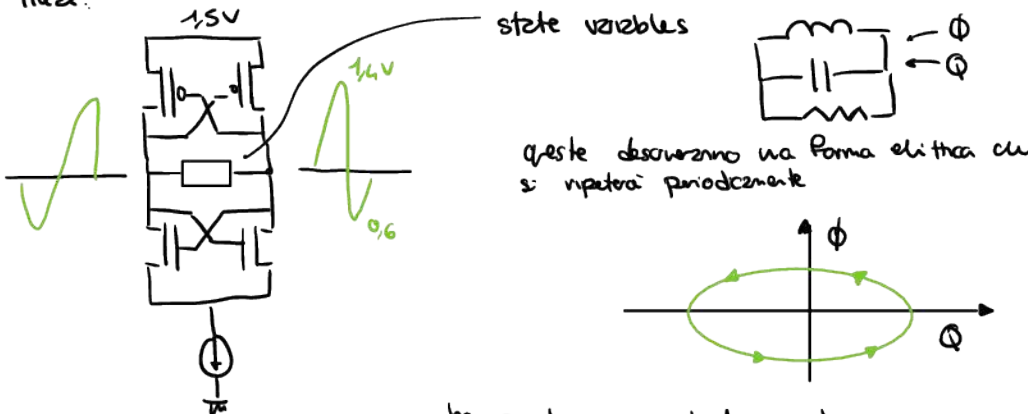
Questi fanno:

- DC analysis: bias point
- AC analysis: ci dà la FDT (è un'analisi linearizzata)
- noise analysis: è un'analisi basata sull'AC. (ogni componeente reale è rimpicciolito dal suo equivalente non ideale) [Linear time invariant approssimazione]
- Transient analysis: transient behaviour (non linear) non tiene conto di noise sources
- Noise fig.: noise sources as random sequences. (richiede molto tempo e potenza computazionale)

RF circuit simulators: Spettro RF simulators, includono tutte queste analisi es.

- PSS : Periodic Steady State analysis.

Se abbiamo un oscillatore con grande ampiezza di ecc non possiamo basarci sulle approssimazioni lineari.



Da quindi un comportamento periodico capiamo che la nostra steady state caotica è perduta.

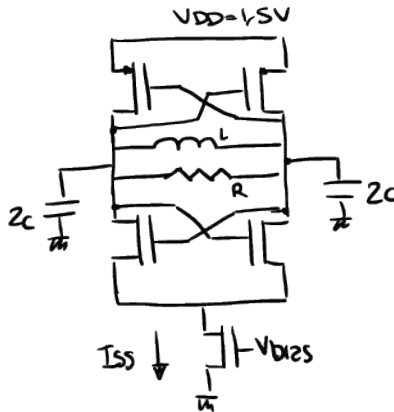
-DSS: è un zerbisi periodico con una Lineare che per ogni valore di corrente tensione varca il valore T_0 da intorno lo stesso valore. (cioè circa il periodo)

Questi valori tramite la PAC (Periodic AC analysis) vengono utilizzati per calcolare per popolato tramite la PAC la transfer function e piccoli segnali.
La PAC fa una Linear time variant (LTV) approssimazione.
Esiste anche la PNOISE analysis.

DESIGN A LC oscillator

Ci basiamo su uno spreadsheet per aiutarci

- Double transistor topology (con $VDD = 1.5V$)



Supponiamo

- $V_T = 0.35V$
- $\mu_n C_{ox} = 120 \mu\text{A}/\text{V}^2$
- $\mu_p C_{ox} = 60 \mu\text{A}/\text{V}^2$

Specifiche:

- $f_0 = 1.5\text{GHz}$
- $Q = 20$
- $I_{SS} = 3\text{mA}$ (max current consumption)
- max FdM

Unknowns

- $(W/L)_p$ e $(W/L)_n$
- il valore di R, L, C
- Amplitude oscillation
- Phase noise

Design

- 1) Pensare al start-up

$$LG(j\omega_0) = EG \rightarrow G_m R = EG > 1$$

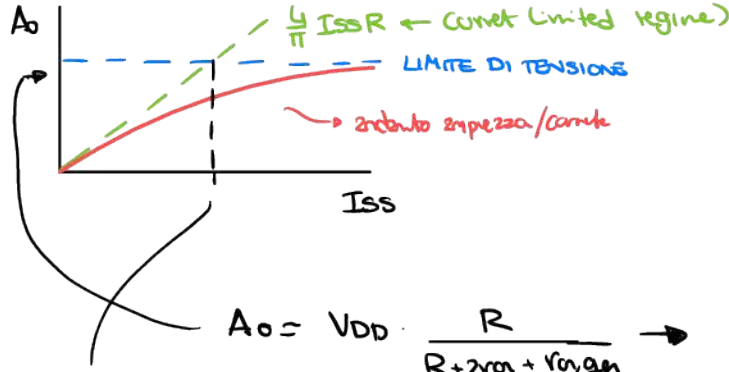
Scegliamo l'excess Gain = 5.

- 2) Maximizzare la FdM, visto che Fdm è proporzionale a $\frac{2\eta}{kT} \cdot Q^2$ e Q è fissato e anche $T \rightarrow$ allora vogliamo minimizzare η .

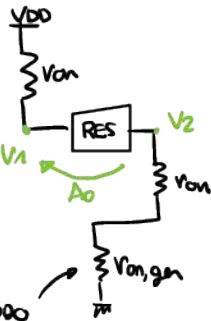
$$\eta = \frac{P_R}{P_{DC}} = \frac{A_0^2 / 2R}{I_{SS} \cdot V_{DD}}$$

questo significa che vogliamo massimizzare A_o su V_{DD} .
Supponiamo che il lettore di oscillazione è

$$\frac{L}{\pi} \cdot \frac{I_{SS}}{A_o} \cdot R = 1 \rightarrow A_o = \frac{L}{\pi} I_{SS} \cdot R \quad G_m \cdot R = 1$$



nella realtà ci saranno un voltage limited regime perché i transistor entreranno in zona triodo.



Punto ottimo ho la massima A_o in trapezio di tra corrente e zappella, questo è ottimo.

Visto che $V_{DD} = 1,5V$ sceglio $A_o = 0,9V$

- Metto tutto in un foglio di calcolo

Dati

- $f_0 = 1,5 \text{ GHz}$
- $Q = 10$
- $V_{DD} = 1,5V$
- $\mu C_{ox} \left\{ \begin{array}{l} 120 \\ 60 \end{array} \right. \mu\text{H/V}^2$
- $V_T = 0,35V$
- $I_{SS} = 3mA$
- $E_G = 5$
- $A_o = 0,9V$

Formule

- $R = \frac{\pi}{L} \frac{A_o}{I_{SS}}$ (se supponiamo di essere in corner limited mode)
 $= 236\Omega$
- $L = \frac{R}{\omega_0 Q} \quad [L = 1,25 \text{nH}]$
- $\omega_0 = \frac{1}{\sqrt{LC}} \rightarrow C = \frac{1}{\omega_0^2 L} = 9 \text{ pF}$
- $G_m = E_G \cdot \frac{1}{R} = 2,12 \text{ mA/V}$
- $G_m = \frac{g_{mn} + g_{mp}}{2}$

$$\text{IPOTIZZANDO } g_{mn} = g_{mp} = g_m \rightarrow G_m = g_m = \sqrt{2\mu C_{ox} \frac{W}{L} \cdot \frac{I_{SS}}{2}}$$

DC CURRENT

Da questa vicino i W/L

$$\left(\frac{W}{L}\right)_n = \frac{9m^2}{2\mu_n \cos^1 \cdot Isq/2} = 1250$$

$$\left(\frac{w}{L}\right)_p = \frac{g m^2}{2 \mu_p \cdot C_{ox} \cdot I_{SS}/2} = 2500$$

$$Se \quad L = 60\text{nm} \quad z\text{Mora} \quad w_n = 7.5\mu\text{m} \\ w_p = 10.5\mu\text{m}$$

calcoliamo la phase noise

$$\lambda(\Delta\omega) = 10 \log_{10} \left\{ \frac{K_T \cdot R}{A_0^2} \cdot \frac{\omega_0^2}{Q^2} \cdot \frac{1}{\Delta\omega^2} \right\} = -142 \text{ dBc/Hz}$$

Abbiamo considerato $F_d = 1$ (considerando nulla la noise source)

Per esercizio: calcolare la power efficiency e calcolare la figura di merito.

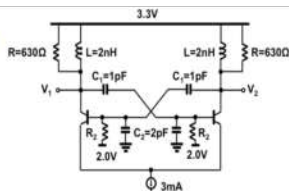
26.04.2021

Tutorial

2h

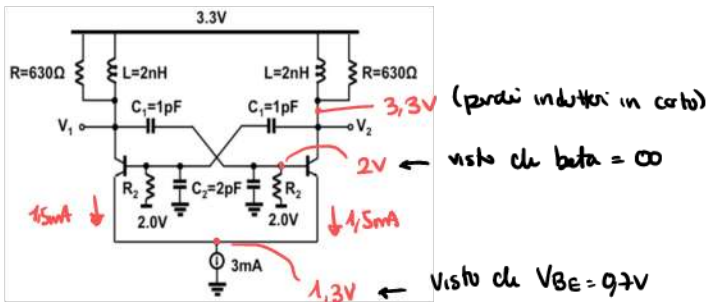
- 3.1 Let us consider the oscillator in the figure. Assume infinite β and $V_{BE,ON} = 0.7V$, $V_{AC,ON} = 0.5V$ for the BJTs.

 - Derive the circuit bias point.
 - Neglecting R_2 and r_n of the BJTs, evaluate both oscillation frequency and start-up margin.
 - Assuming full-switching of the differential pair, evaluate the oscillation amplitude and provide a plot of base and collector voltages of the BJTs over one period. Analyze the operating regions of the BJTs during the oscillation period and discuss the purpose of C_1 and C_2 .
 - How is the tank resistance modified by a finite value of R_2 ? Size R_2 in order to worsen the quality factor of the resonant network by maximum 10%.



[Sol. a) $I_c = 1.5 \text{ mA}$, $V_t = 1.3 \text{ V}$, $V_B = 2.0 \text{ V}$, $V_C = 3.3 \text{ V}$, $g_m = 60 \text{ mS}$; b) $f_0 = 4.36 \text{ GHz}$, $g_m R_C / (C_1 + C_2) = 12.6 > 1$; c) $A = 2.4 \text{ V}$; the base-collector voltage, V_{BC} , ranges between -2.9V and +0.3V; the BJTs go from cut-off to forward active region. C_1 and C_2 help reduce the oscillation amplitude of the base voltage, allowing for a higher oscillation amplitude before incurring in saturation of the BJTs; d) $R_s = 6300 \Omega$

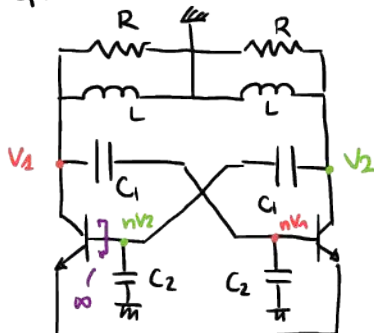
a) Bias Point (in DC condensatori: spartiti e induttori sono corto



$$V_{BC} = 2V - 3,3V = -1,3V < V_{BC\text{ set}}$$

$$g_m = \frac{I_C}{V_T} = \frac{1.5mA}{25mV} = 60mS$$

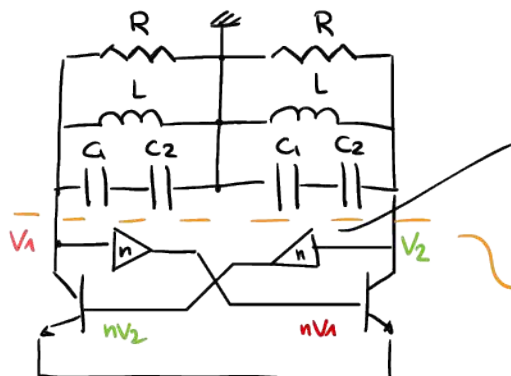
b) $R_2 \rightarrow \infty$ e $r_{pi} \rightarrow \infty$ calcolare la freq d'oscillazione e le condizioni di start-up.



$$\text{Dove } n = \frac{C_1}{C_1 + C_2} = \frac{1}{3}$$

Impedenza della base del transistore ∞
allora ho il peritore di capacità

Possiamo semplificare il circuito
considerando il modo differenziale

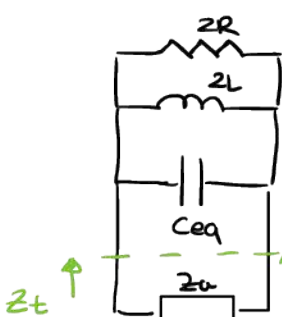


Sono amplificatori di amplificatori di n .

Notiamo che i 2 circuiti sono equivalenti

Calcoliamo le impedenze viste tra
tutte e 2 le parti

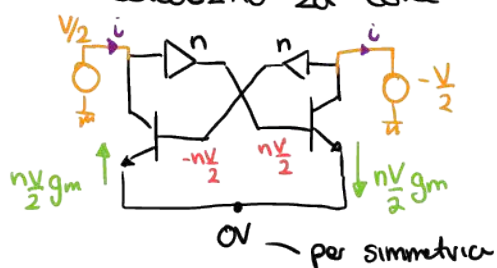
L'impedenza sono



$$C_{eq} = \frac{1}{2} \cdot \frac{C_1 \cdot C_2}{C_1 + C_2} = \frac{1}{3} \text{ pF}$$

dove $2a$ è una differential mode impedenza

Calcoliamo $2a$ come



$$\text{Percò } \dot{\psi} = - n g_m V_2 / 2$$

$$\text{Percò } 2\omega = \frac{\dot{\psi}}{\dot{\psi}} = - \frac{2}{g_m \cdot n}$$

IMPONIAMO LE CONDIZIONI DI OSCILLAZIONE

$$Z_a(j\omega_0) + Z_T(j\omega_0) = 0 \quad \omega_0 \text{ incognita}$$

$$1) \left\{ \operatorname{Re}\{Z_a\} + \operatorname{Re}\{Z_T\} = 0 \right.$$

$$2) \left\{ \operatorname{Im}\{Z_a\} + \operatorname{Im}\{Z_T\} = 0 \right.$$

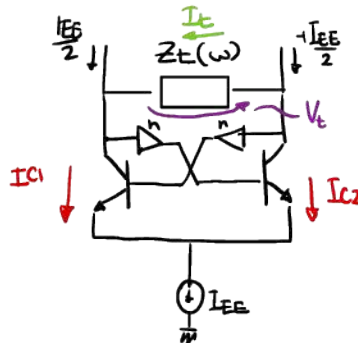
Dalla 2 ricavo che $\omega_0 = \frac{1}{\sqrt{2L C_{eq}}}$ (l'induttore e il condensatore si devono annullare)
 $= 2\pi \cdot 4,36 \text{ Grad/S} \rightarrow f_0 = 4,36 \text{ GHz}$

Il margine di start up si ricava dalla prima:

$$2R - \frac{2}{g_m n} = 0 \rightarrow g_m R \cdot n = 1$$

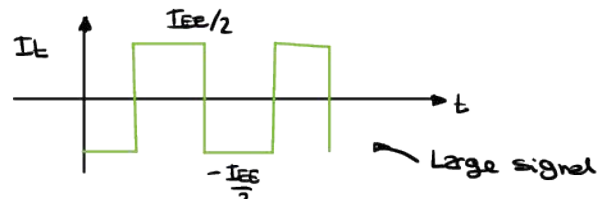
$$EG = Z_L/Z_a = g_m R \cdot n = 60m \cdot 630 \cdot \frac{1}{3} = 12,6$$

PUNTO C) Full switching dei bjt. Calcolare l'ampiezza di oscillazione.



Visto che abbiamo fully switching allora le 2 correnti I_{C1} e I_{C2} sono ora queste:

la corrente I_t nel circuito risonante sarà:



Small-signal loop gain è:

$$LG = \frac{G_m}{n g_m} \cdot 2R$$

$$V_t = A_0 \cos \omega_0 t$$

onde V_t è un large signal

Large signal oscillation condition troviamo Gm_h e lo mettiamo al posto di Gm_h .

$$Gm_h = \frac{\frac{1}{L} t^{(1)}}{Vt^{(4)}} = \frac{\frac{2}{\pi} I_{EE}}{A_0}$$

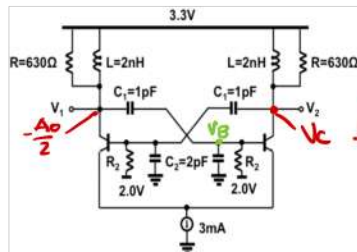
$$\text{Oscillation condition } Gm_h \cdot 2R = 1 \rightarrow \frac{2}{\pi} I_{EE} \cdot 2R = A_0$$

Perciò ottieniamo che

$$A_0 = \frac{2}{\pi} \cdot 3m \cdot 2 \cdot 630 = 241 \text{ V}$$

A_0 è la tensione tra V_1 e V_2

Plotiamo ora i valori delle tensioni:



$$nA_0 = \frac{241}{3} \approx 0.8 \text{ V}$$

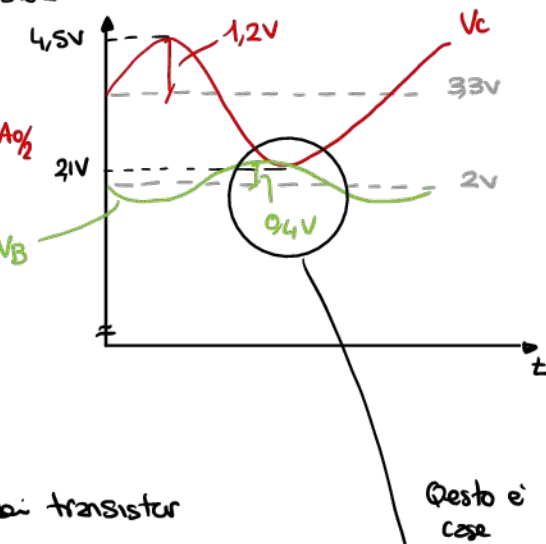
è la tensione delle basi dei transistori

Studiamo adesso gli stati dei transistori

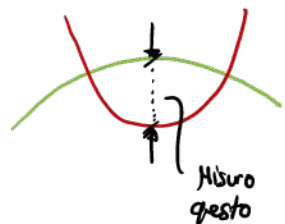
Forward region: $V_{BC} < 0.5V$

$$\begin{aligned} \text{Calcoliamo il worst case } V_{BC} &= 2V + 0.4V - (3.3 - 1.2V) \\ &= 0.3V \end{aligned}$$

Perciò il transistor non è mai in saturazione



Questo è il worst case

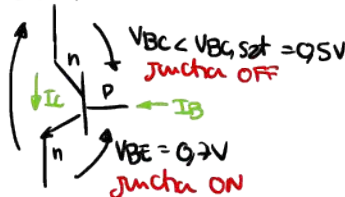


Ci proviamo dunque che il divisorio di tensione C_1/C_2 permette di mantenere l'ampiezza di oscillazione e lasciare i transistori in zona attiva.
(abbassiamo la tensione di oscillazione sulla base in modo da diminuire la tensione V_{BC})

Cosa serve il resistore R_2 ? Serve sempre ad attutire la ampiezza di oscillazione del sistema lasciando in zona attiva i bjt. Infatti grazie alla resistenza mantengo la posizione di bias a 2V e non 3.3V

Perché per i mosfet non facciamo tutto sto casino quando i transistor entravano in triodo (in quel caso l'impresa di oscillazione non varava). Allora perché qui ci preoccupano della zona di saturazione?

$$V_{GS} > V_{GS, \text{sat}} = 0,2V$$

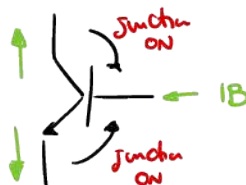


Caso di zona attiva (solo la ginnica sotto attiva)

Controllo la corrente di collettore con quella di Base

$$I_B = \frac{I_C}{\beta}$$

Caso di saturazione

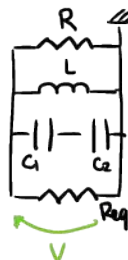
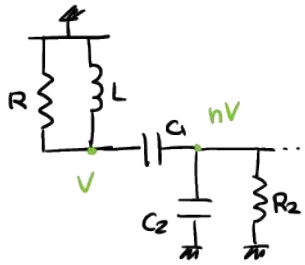


I_B diventa reazante grande

Serve molto tempo per passare da saturazione a zona attiva. Perché devi eliminare tutti i portatori di carica.

Per questo non vogliamo andare in saturazione, perché I_B ci porta molta corrente, che equivale una perdita per l'oscillazione e questo significa che avremo una decisa osillazione.

d)



Supponiamo che

$$\frac{n^2 V^2}{R_2} = \frac{V^2}{R_{\text{eq}}} \rightarrow R_{\text{eq}} = \frac{R_2}{n^2} \quad \text{con } n = 1/3$$

$$R_T = R // R_{\text{eq}} = 0,9 \cdot R$$

introducendo R_2 vogliamo raggiungere il fattore di qualità di massimo il $\approx 10\%$

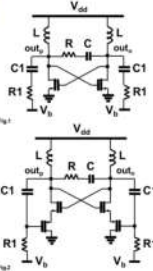
Ottieniamo che

$$R_2 = R = 630 \Omega$$

TB.2 Let $V_g = 0.15V$, $L = 1nH$, $R = 10\Omega$, $C = 250fF$, $C_1 = 1pF$, $R_1 = 1k\Omega$, $\mu C_{ox}(W/L) = 120mA/V^2$ (nMOS), $\mu C_{ox}(W/L) = 56mA/V^2$ (pMOS) and $V_i = 0.45V$ for all transistors.

- With reference to the circuit in Fig. 1 (let $V_{dd} = 0.55V$), after deriving the bias current flowing into the FETs, calculate the frequency of oscillation and the gain margin for the oscillation startup (i.e. the loop gain at the oscillation frequency).
- With reference to the circuit in Fig. 2 (let $V_{dd} = 1.5V$), after deriving the bias current flowing into the FETs, calculate the frequency of oscillation and the gain margin for the oscillation startup.

[Sol. a] $I = 600 \mu A$, $f_0 = 7.114GHz$, $|LG(j\omega_0)| = 3.4$; b) $I = 2mA$, $f_0 = 7.114GHz$, $|LG(j\omega_0)| = 5$



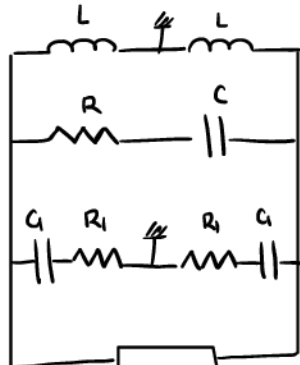
Non ebbiamo nessun generatore di corrente, abbiamo il C_1 e R_1 al suo posto.

Abbiamo R_1 e C_1 che sono molto grandi rispetto agli altri valori

$$\begin{cases} C_1 = 1pF \\ R_1 = 1k\Omega \end{cases}$$

Se supponiamo d'essere a 1GHz $\frac{1}{j2\pi f C} = 159$ che è $\ll R_1$

Se disegniamo il modello eq



ipotesi:

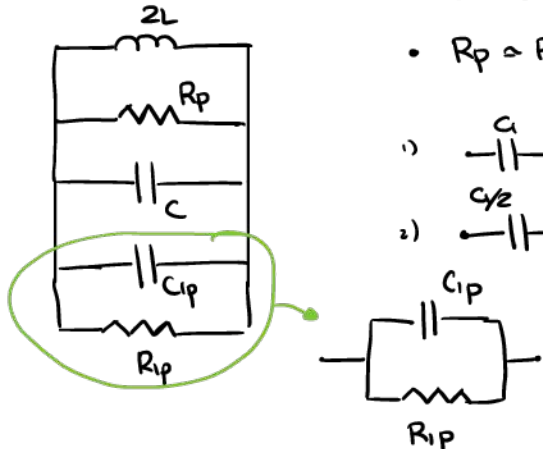
$$1) Q_C = \frac{1}{\omega_0 R C} \gg 1$$

$$2) Q_A = \frac{1}{\omega_0 R_1 C_1} \ll 1$$

(Questo significa che R_1 domina sull'impedenza.

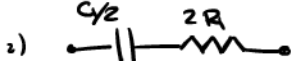
Sarà da verificare che R_2

Date le 2 ipotesi



Facciamo le series to parallel transformation

$$\bullet R_p \approx R \cdot Q_C^2$$

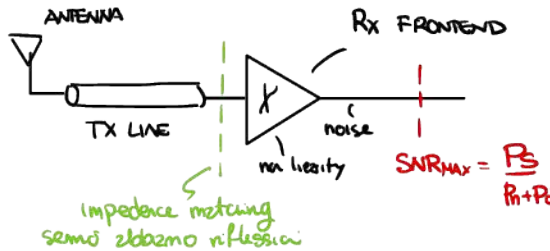


$$R_{ip} = 2R_1 (1 + Q_{ci}^2) \approx 2R_1$$

$Q_{ci} \ll 1$

$$C_{ip} = \frac{C}{2} \cdot \frac{1}{1 + 1/Q_{ci}^2} \approx \frac{C}{2} \cdot Q_{ci}^2$$

Basics of RF Systems



In questa topologia definiamo anche la sensibilità, che è il segnale minimo rilevabile con $\text{SNR} > \text{SNR}_{\text{min}}$.

La sensibilità è unitata da diversi fattori:

- 1) impedance matching
- 2) noise
- 3) non linearity of the RX frontend

NOTA: Quando parlano di potenza del segnale in questo contesto ci riferiscono a una resistenza R

$$P = \frac{A^2}{2R} [\text{W}] = \frac{A_{\text{rms}}^2}{R}$$

Ad esempio $P = 1 \text{ W} \rightarrow 10 \log_{10} P_{\text{mw}} = 10 \log_{10} 1000 = 30 \text{ dBm}$

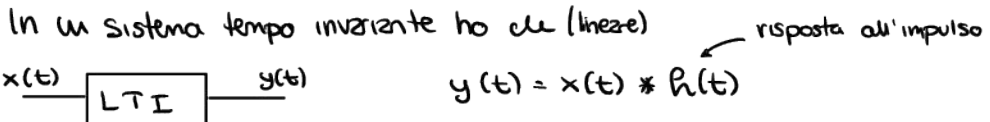
per l'impedenza $A = \sqrt{P \cdot 2R} = \sqrt{1 \cdot 2 \cdot 50} = 10 \text{ V}_p \rightarrow 20 \log_{10} A = 20 \text{ dBV}$

- È importante sapere che se abbiamo una potenza in dBm con una resistenza da SCAZZARA l'impedenza sarà sempre 50 dBV in meno che il valore di P in dBm.

Nonlinearity impact on the SNR

Vogliamo studiare gli effetti della non linearità sul SNR, abbiamo 2 casi:

- 1) Singolo tono in input

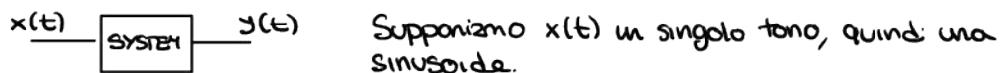


Se ho un sistema tempo variente (lineare)



Questi sistemi sono lineari perché se duplico x si duplica anche y

Se ho un sistema con input x e uscita y e questo non è lineare, allora



Supponiamo che il sistema sia senza memoria (static model), quindi ha un sistema istantaneo.

Possiamo modellare il sistema come

$$y(t) = \alpha_1 x(t) + \alpha_2 x^2(t) + \alpha_3 x^3(t) + \dots \rightarrow \text{è una serie di Taylor}$$

Possiamo sempre esprimere la non idealità (o Taylor se il sistema è statico (quindi memory less))

Quindi cosa accade applicando un tono ad un sistema memory less non Lineare?

Si creano degli altri toni gesto si chiama **Harmonic Generation**, per misurarlo si calcola la total harmonic distortion.

$$x(t) = A \cos \omega t$$

$$y(t) = \alpha_1 x_1(t) + \alpha_2 x^2(t) + \alpha_3 x^3(t)$$

*memory
less
nonlinear
system*

RICORDIAMO CHE

$$x^2(t) = A^2 \cos^2 \omega t = \frac{A^2}{2} + \frac{A^2}{2} \cos 2\omega t$$

Dobbiamo infatti ricordare che

$$\cos^2 x = \frac{1 + \cos 2x}{2} \quad \text{e} \quad \cos^3 x = \cos x \cdot \cos^2 x$$

Possiamo allora risolvere che

$$x^3(t) = A^3 \cos^3 \omega t = A^3 \cos \omega t \cdot \frac{1 + \cos 2\omega t}{2} = \frac{A^3}{2} \cos \omega t + \frac{A^3}{4} \cos 2\omega t + \frac{A^3}{4} \cos 3\omega t$$

Perciò

$$x^2(t) = \frac{A^2}{2} + \frac{\Delta^2}{2} \cos(2\omega t) \quad x^3 = \frac{3}{4} A^3 \cos \omega t + \frac{\Delta^3}{4} \cos(3\omega t)$$

↓ ↑ ↑ ↑
 Armonica 2nd FONDAMENTALE 3a armonica
 in DC ARMONICA

"rectificata"

ATTENZIONE! Notiamo che il sistema in DC può essere modificato da una componente del segnale al quadrato. Cipriano di quando calcoliamo il segnale in continua (BIAS) stiamo considerando un approx lineare.
Il segnale può cambiare la polarizzazione in DC

il segnale d'usita è

$$y(t) = \alpha_1 A \cos \omega t + \alpha_2 \underbrace{\frac{A^2}{2}}_{B_0} + \alpha_2 \frac{A^2}{2} \cos 2\omega t + \alpha_3 \frac{3}{4} A^3 \cos \omega t + \alpha_3 \frac{A^3}{4} \cos 3\omega t + \dots$$

$$= B_0 + B_1 \cos \omega t + B_2 \cos 2\omega t + \dots$$

Dove

$$B_0 = \alpha_2 \frac{A^2}{2}$$

$$B_2 = \alpha_2 \frac{A^2}{2}$$

$$B_1 = \alpha_1 A + \frac{3}{4} \alpha_3 A^3$$

$$B_3 = \frac{1}{4} \alpha_3 A^3$$

Small signal

Gain B_1 è il termine che io voglio

> Nelle zemiche nell'output sono generate (come detto prima), ed in generale possiamo dire che

$$B_n \doteq \alpha_n A^n \quad n \geq 1$$

L' n -esima zemiccia è proporzionale all'ampiezza alla n .

> Inoltre $B_{2n} = 0$ se $\alpha_{2n} = 0$ (Fully differential)

even-order harmonics - comes from even order nonlinearity.

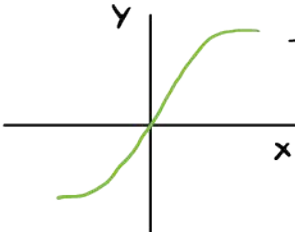
(Se usiamo circuiti bilanciati abbiamo che $B_{2n} = 0$)

Notiamo anche che l'ampiezza del segnale B_1 (che è quello da vogliamo) è cambiata, questo fa sì che ci sia un altro percorso.

• Gain Compression

$$B_1 = \alpha_1 A + \frac{3}{4} \alpha_3 A^3$$

$$\text{Perciò il guadagno del sistema} = \frac{B_1}{A} = \alpha_1 + \frac{3}{4} \alpha_3 A^2$$



Per sistema compressivo (come quello in figura) abbiamo che $\alpha_1, \alpha_3 < 0$

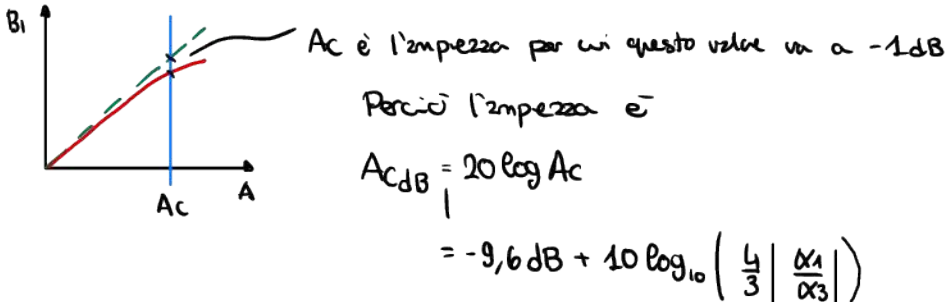
Sarà che le 2 hanno segno diverso quindi

$$G = \alpha_1 + \frac{3}{4} \alpha_3 A^2 \quad \text{Perciò di compressione}$$

Definiamo 1dB compression point:

è l'ampiezza di input (potenza) A_c che fa sì che il system gain sia ridotto di 1dB

$$\frac{\text{B1 compression output amplitude}}{\text{ideal (linear) output amplitude}} = \frac{\alpha_1 A_c + \frac{3}{4} \alpha_3 A_c^3}{\alpha_1 A_c} = \underbrace{10^{-\frac{1}{20}}}_{-1\text{dB}}$$



> Cosa succede se applichiamo 2 toni in input?
(non più un solo treno)

$$x(t) = A_1 \cos(\omega_1 t) + A_2 \cos(\omega_2 t)$$

Per semplicità

$$y(t) = \alpha_1 x(t) + \alpha_3 x^3(t).$$

seppiamo che

$$(a+b)^3 = \cancel{a^3} + b^3 + 3a^2b + 3ab^2 \quad \text{con } a = A_1 \cos(\omega_1 t) \text{ e } b = A_2 \cos(\omega_2 t)$$

Perciò sappiamo che

$$y(t) = B_1 \cos(\omega_1 t) + B_2 \cos(\omega_2 t) + \dots$$

$$B_1 = A_1 \alpha_1 + \frac{3}{4} \alpha_3 A_1^3 + \frac{3}{2} \alpha_3 A_1 A_2^2$$

$$B_2 = \alpha_1 A_2 + \frac{3}{4} \alpha_3 A_2^3 + \frac{3}{2} \alpha_3 A_1^2 A_2$$

$$\alpha b^2 = \alpha_3 \cdot A_1 \cos(\omega_1 t) \left(\frac{A_2^2 + A_2^2 \cos(2\omega_2 t)}{2} \right)$$

|

$$= \frac{\alpha_3 A_1 A_2^2 \cos(\omega_1 t)}{2} + \frac{\alpha_3 A_1 A_2^2 \cos(\omega_1 t) \cdot \cos(2\omega_2 t)}{2}$$

|

$$= \frac{\alpha_3 A_1 A_2^2}{2} \cos(\omega_1 t) + \frac{1}{4} \alpha_3 A_1 A_2^2 \cos(2\omega_2 - \omega_1)t + \frac{1}{4} \alpha_3 A_1 A_2^2 \cos(2\omega_2 + \omega_1)t$$

$$\alpha^2 b = \frac{\alpha_3 A_1^2 A_2}{2} \cos(\omega_2 t) + \frac{\alpha_3 A_2 A_1^2}{2} \cos(\omega_2 t) \cdot \cos(2\omega_1 t) \quad \text{perche' come sopra}$$

Perciò sappiamo che

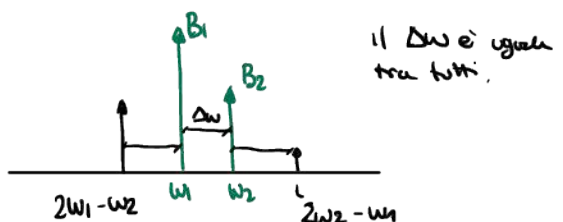
$$y(t) = B_1 \cos(\omega_1 t) + B_2 \cos(\omega_2 t) + B_{221} \cos(2\omega_2 + \omega_1) + B_{112} \cos(\dots) \quad (\text{vedere appunti prof})$$

Dove

$$B_{221} = \frac{3}{4} \alpha_3 A_1 A_2^2$$

$$B_{112} = \frac{3}{4} \alpha_3 A_1^2 A_2$$

IM3: 3rd order
intermodulation harmonics



Il Delta omega è uguale tra tutti.

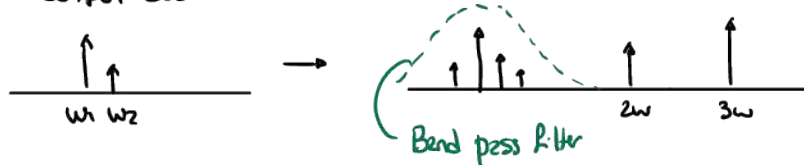
Il Δw è uguale tra tutti i punti

$$w_2 = w_1 + \Delta w \rightarrow 2w_1 - w_2 = 2w_1 - w_1 - \Delta w = w_1 - \Delta w$$

$$2w_2 - w_1 = 2w_1 + 2\Delta w - w_1 = 2w_1 + 2\Delta w$$

In RF non ci interessa troppo la cessione di spettro perché li filtrano con un passabanda.

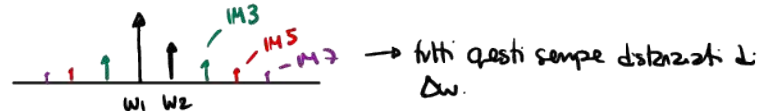
Ma ci interessa della re linearità perché quando abbiamo 2 toni e un intermodulazione all'output abbiamo che



Anche con il passabanda non riesce a togliere le componenti di intermodulazione perché sono molto vicine in frequenza al centro delle altre emesse.

Se abbiamo le componenti di intermodulazione questo è un buon segnale perché si fa di fatto che abbiano delle re linearità nel sistema.

Se sentiamo che al 3° ordine di intermodulazione abbiamo che



Quale sono le conseguenze di questi toni?

1) **Blocking**: small wanted A_1
large unwanted A_2 $A_1 \ll A_2$



Allora la curva di w , 21° output è

$$B_1 = \alpha_1 A_1 + \underbrace{\frac{3}{4} \alpha_3 A_1^3}_{\text{trascindibile}} + \frac{3}{2} \alpha_3 A_1 A_2^2$$

$A_1^3 \ll A_1 A_2^2$

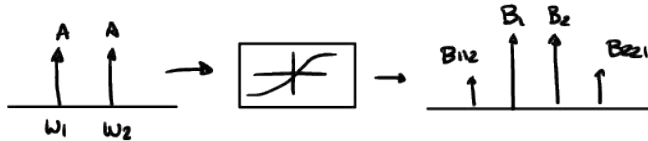
$$= \left(\alpha_1 + \frac{3}{2} \alpha_3 A_2^2 \right) A_1$$

Il guadagno del sistema è $= \frac{B_1}{A_1} = \alpha_1 + \frac{3}{2} \alpha_3 A_2^2$
(guadagno armonico)

Ad un certo punto questo guadagno zirnico tende a zero per grandi A_2 .
Per questa ragione RF interfacce sono spesso chiamate blockers.

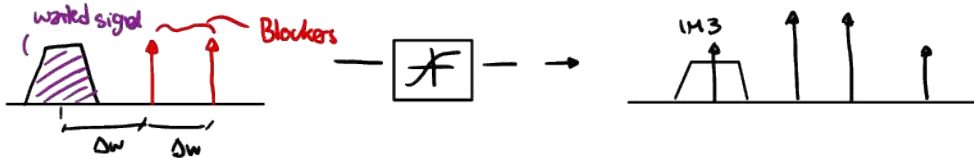
2) Intermodulazione

Condizione che $A_1 = A_2 = A$



$$B_{221} = B_{112} = \frac{3}{4} \alpha_3 A^3 \quad \text{termini IM3 che cadono nella banda del segnale.}$$

L'impruzzo è che se io ho



Sopra il nostro segnali ottengono questo prodotto d'intermodulazione, perciò IM3 degrada la $\text{SNDR} = \frac{P_S}{P_H + P_D}$

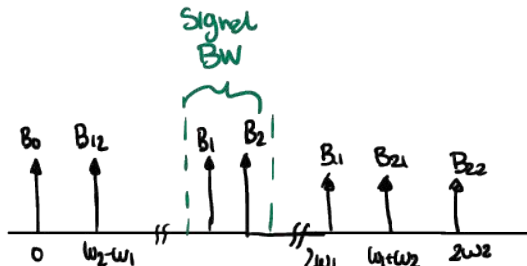
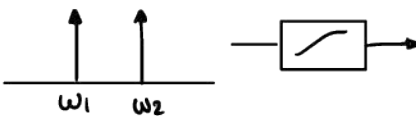
E per quanto riguarda le non linearità del secondo ordine?
(per ora abbiamo visto solo quelle del 3° ordine)

$$x(t) = \underbrace{A \cos \omega_1 t}_a + \underbrace{A \cos \omega_2 t}_b \quad (a+b)^2 = a^2 + b^2 + 2ab$$

$$= \alpha_2 x^2(t)$$

$$\stackrel{!}{=} \alpha_2 A^2 (\cos \omega_1 t + \cos \omega_2 t)^2$$

$$\begin{aligned} B_0 &= \alpha_2 A^2 \\ B_{11} &= \alpha_2 A^2 \\ B_{12} &= \alpha_2 A^2 \\ B_{22} &= \alpha_2 A^2 \end{aligned}$$



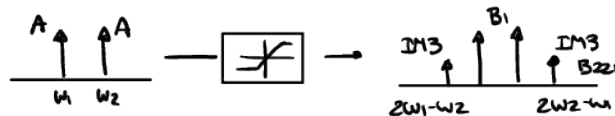
Tutti i fattori di intermodulazione cadono fuori della banda del segnale

IM2 products fall outside the signal BW, ed è per questo che "non li consideriamo".

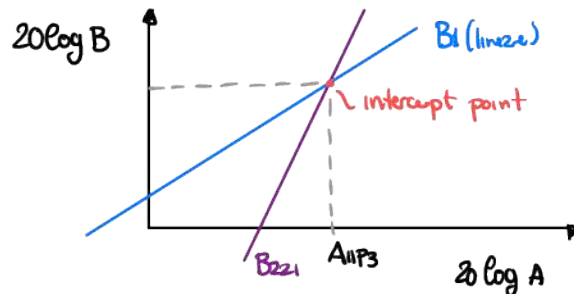
INTERCEPT POINT (come misurare questa intramodulazione)

3rd ORDER INTERCEPT POINT (IP3)

- Applichiamo 2 trai identici nel sistema e misuriamo l'intramodulazione



Plotiamo un grafico tra B e A in scala logaritmica



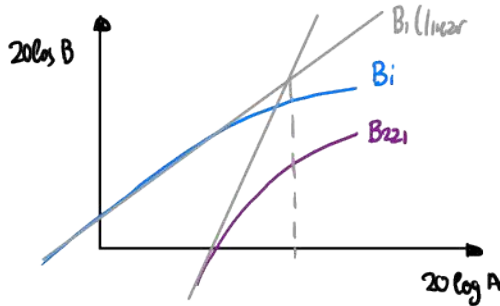
$$\begin{aligned} B_1 &= \alpha_1 A + \frac{3}{4} \alpha_3 A^3 + \frac{3}{2} \alpha_3 A^3 \\ &= \underline{\alpha_1 A} + \underline{\frac{9}{4} \alpha_3 A^3} \end{aligned}$$

$$\underline{B_{221}} = \frac{3}{4} \alpha_3 A^3$$

- $20\log_{10}(\alpha_1 \cdot A) = \alpha_1 \text{dB} + \text{AdB}$ (considerano solo i termini lineari di B_1)
- $20\log_{10}(B_{221}) = 20\log_{10}\left(\frac{3}{4} \alpha_3\right) + 3 \cdot \text{AdB}$

A_{1IP3} : è l'ampiezza con input rettified al 3rd order intercept point

Nella realtà tuttavia il comportamento è diverso



Perché nella realtà B_{221} si compone?

Perché (e non linearità maggiori di 3 es IM3, IM7) fanno sì che ci sia una complessione di IM3

Come misuriamo l'intercept point?

Misuriamo il sistema a piccole ampiezze e poi estrapoliamo da quello. (in pratica facciamo le linee guida.)

Questo test è chiamato two tone test. ed è usato per calcolare la non linearità di un sistema.

Matematematicamente possiamo dire che, per distinzione

$$\frac{\alpha_1}{\alpha_3} \Delta_{11P3} = \frac{3}{4} \alpha_3 A_{11P3}^3$$

$\underbrace{\phantom{\frac{\alpha_1}{\alpha_3}}}_{B_1 \text{ (lure)}} \quad \underbrace{\phantom{\alpha_3 A_{11P3}^3}}_{B_{221} \text{ (estupido)}}$

e ottieniamo

$$A_{11P3} = \sqrt{\frac{4}{3} \left| \frac{\alpha_1}{\alpha_3} \right|}$$

ricordiamo che abbiamo già trovato $\left| \alpha_1/\alpha_3 \right|$ nel caso del 1dB...
se calcoliamo $11P3_{dB}$ ottieniamo che

$$\begin{aligned} 11P3_{dB} &= 20 \log_{10} A_{11P3} \\ &= 10 \log_{10} \left(\frac{4}{3} \left| \frac{\alpha_1}{\alpha_3} \right| \right) \end{aligned}$$

Copriamo quindi un 1-dB compression point per un amplificatore na l'uree sarà

$$A_{c,dB} = -9,6 dB + A_{11P3,dB}$$

quindi sarà sempre $-9,6 dB + \text{basso di } 11P3$.

- Inoltre se calcoliamo il rapporto tra

(sappiamo che la retta di B_1 ha pendenza 1 mentre
la B_{221} ha pendenza 3)

Inoltre se calcoliamo

$$\begin{aligned} \frac{B_1}{B_{221}} &= \frac{V_{out}}{V_{out,1M3}} = \frac{\alpha_1 A}{\frac{3}{4} \alpha_3 A^3} \\ &= \frac{A_{11P3}^2}{A^2} \end{aligned}$$

quindi sappiamo che

$$A_{11P3} = A \cdot \sqrt{\frac{V_{out}}{V_{out,1M3}}}$$



calcolando in dBm abbiamo

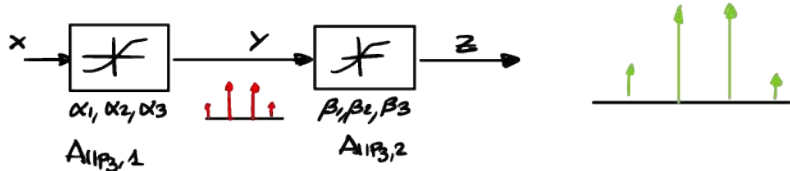
$$11P_3 = P_{in} + \frac{1}{2} \underbrace{[P_{out} - P_{out, m3}]}_{\Delta P_{dB_m}}$$

Abbiamo concluso che

$$11P_3 = P_{in} + \frac{1}{2} \Delta P$$

(dBm)

Come calcolo la 11P3 di degli stadi in cascata?



$$y = \alpha_1 x + \alpha_2 x^2 + \alpha_3 x^3$$

$$x = A \cos \omega t + A' \sin \omega t$$

$$z = \beta_1 y + \beta_2 y^2 + \beta_3 y^3$$

Noi sappiamo cosa succede nel mezzo quindi l'uscita dipenderà sicuramente da quello che abbiamo d'ingresso.

Quello che è importante è che si può ottenere che

$$\frac{1}{A_{11P_3}^2} \approx \frac{1}{A_{11P_3,1}^2} + \frac{\alpha_1^2}{A_{11P_3,2}^2}$$

← C dice che la non linearità di stadio che vengono dopo è dominante

Valido sotto l'ipotesi di band pass filtering tra i 2 blocchi.

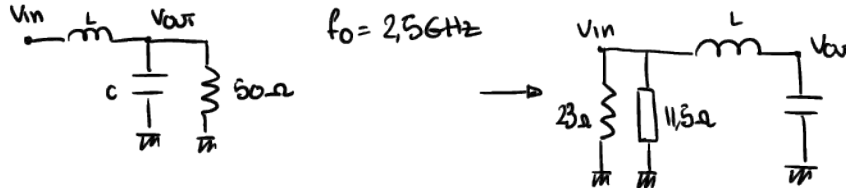
Questa ipotesi dunque dal fatto che il primo blocco ha una amplessa del 2° ordine

$\alpha_2 x^2 \rightarrow w_2 - w_1$ ma c'è anche una seconda compone $\beta_2 y^2 \rightarrow (w_2 - w_1) \otimes w_2$ perciò useremo

$$\beta_2 y^2 = (2w_2 - w_1) \rightarrow \text{che dà un IM3 term}$$

Quindi: Mettere in cascata termini del 2° ordine non lineari produce lo stesso effetto di una non linearità del 3° ordine.

> Ultimo punto della proetta



Le potenze nei 2 circuiti devono essere le stesse, quindi:

$$\frac{|V_{out}|^2}{S_0} = \frac{|V_{in}|^2}{R_{in}}$$

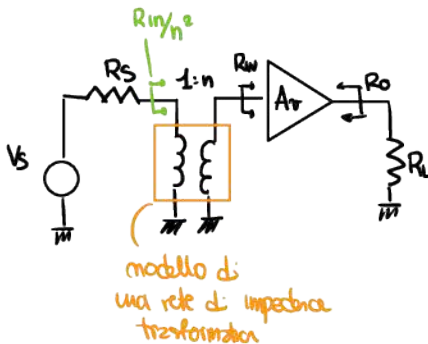
solo che in questo caso R_{in} bisogna calcolarlo usando
l'immettanza

solo parte reale

$$Y = \frac{23 + j11.5}{23^2 + 11.5^2} \rightarrow \text{Re} + j\text{Im} \text{ e noi prendiamo solo la parte reale.}$$

Continuiamo con quello che c'interessa:

Impedance Matching



$$\frac{|V_{out}|}{|V_s|} = \frac{\frac{R_{in}}{n^2}}{\underbrace{R_{in}/n^2 + R_S}_{= \alpha}} \cdot n \cdot A_v \cdot \frac{R_L}{R_L + R_o}$$

(input voltage division)

unloaded voltage gain

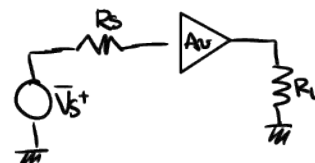
Se non abbiano nessuna rete di impedenza trasformativa abbiamo che

$$\frac{|V_{out}|}{|V_s|} = \frac{R_{in}}{R_{in} + R_S} \cdot A_v \cdot \frac{R_L}{R_o + R_L} = \alpha \cdot A_v \cdot \frac{R_L}{R_o + R_L}$$

Per massimizzare il guadagno

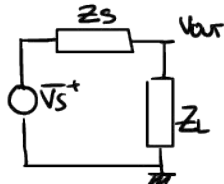
$$\begin{aligned} R_{in} &\gg R_S \\ R_L &\gg R_o \end{aligned}$$

$$\frac{|V_{out}|}{|V_s|}_{\text{max}} \rightarrow A_v \quad (\text{unloaded gain})$$



Avremo una catena d'impedenze con questi valori

Teorema del massimo trasferimento di potenza



Per avere la massima potenza al carico

$$Z_L = Z_S^* \quad (\text{conjugate matching})$$

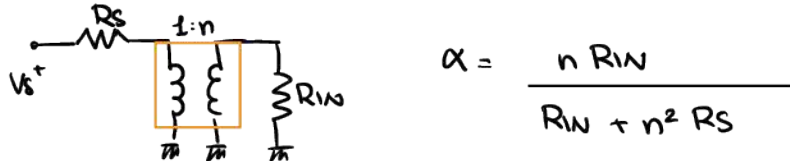
Questa massima potenza è anche chiamata available power, dove questa vale

$$P_{L,\text{av}} = \frac{|\overline{V}_{\text{out}}|^2}{2R_L} = \frac{|\overline{V}_S|^2}{8R_L} \quad \text{con } Z_L = R_L + jX_L$$

Questo perché in questa condizione ho che $V_{\text{out}} = V_S/2$

ABBIANO UNA CONTRADDIZIONE CON QUENO DETTO PRIMA, PERCHÉ PRIMA VALENDO R_W MOLTO PICCOLO E R_{OUT} MOLTO GRANDE.

Nella realtà questa contraddizione non c'è:



Vogliamo massimizzare α

$$\frac{\partial \alpha}{\partial n} = \frac{R_W(R_{\text{in}} + n^2 R_s) - n R_{\text{in}} \cdot 2n \cdot R_s}{(R_{\text{in}} + n^2 R_s)^2}$$

$$\frac{\partial \alpha}{\partial n} = 0 \rightarrow R_{\text{in}} = n^2 R_s \rightarrow n_{\text{opt}} = \sqrt{\frac{R_W}{R_s}}$$

Perciò α_{MAX} si ottiene per

$$\alpha_{\text{MAX}} = \frac{n R_{\text{in}}}{2 R_{\text{in}}} = \frac{1}{2} \sqrt{\frac{R_{\text{in}}}{R_s}}$$

è questo massimo si ottiene per $\frac{R_{\text{in}}}{n^2} = R_s$ (da quello che abbiamo trovato prima)

Transformed impedance matched to the source impedance.

Faccendo l'impedance matching si ottiene da (con $R_{in}/n^2 = R_S$)

$$\frac{V_{out}}{V_S} \Big|_{\text{MAX}} = \underbrace{\frac{1}{2} \cdot n_{opt} \cdot A_v \cdot \frac{R_L}{R_L + R_o}}_{\propto \text{MAX}}$$

Esempio

$$R_S = 50\Omega$$

$$R_{in} = 1k\Omega$$

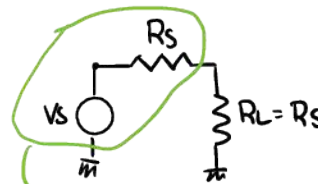
$$n_{opt} = \sqrt{\frac{1k}{50}} = 4,47 \rightarrow \propto_{\text{MAX}} = \frac{1}{2} \cdot 4,47 = 2,24$$

Capiamo quindi che facendo l'impedance matching riesco ad avere $\propto_{\text{MAX}} = 2,24$ mentre facendo $R_{in} \ll R_S$ e $R_{out} \gg R_L$ ottengo un $\propto_{\text{MAX}} = 1$.

Capiamo quindi che con l'impedance matching ho il massimo guadagno.

Power Gain

Tipicamente lavoriamo con la potenza che riceviamo dall'antenna

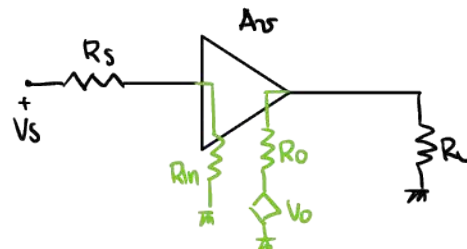


$$P_{S,2W} = \frac{V_S^2}{8R_S}$$

modello di
antenna

Available Power gain, si calcola come

$$\begin{aligned} G_A &= \frac{P_{out,2W}}{P_{in,2W}} \\ &= \frac{V_o^2 / 8R_o}{V_S^2 / 8R_S} \\ &= \left(\frac{V_o}{V_S} \right)^2 \cdot \frac{R_S}{R_o} \end{aligned}$$



available power gain of the amplifier is:

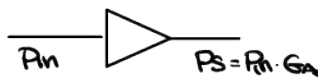
$$G_A = (\alpha A_{v0})^2 \cdot \frac{R_S}{R_O}$$
$$= A_0^2 \cdot \frac{R_S}{R_O}$$

$$\text{con } A_0 = \alpha A_{v0} = \frac{V_o}{V_S}$$

In general the power gain available is DIVERSO del quadrato del voltage gain, è uguale solo se $R_S = R_O \rightarrow G_A = A_0^2$

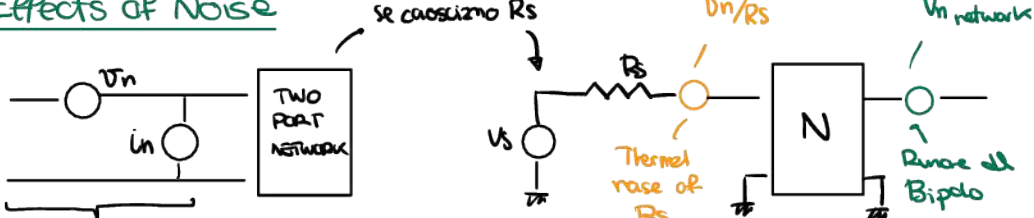
Ricordiamo che

$$\text{SNR} = \frac{P_S}{P_N}$$



Capiamo quindi che il G_A (e quindi l'impedance matching) varia l'SNR.

Effects of Noise



2 generatori di modellano il rumore della rete

Definiamo la noise figure NF

$$NF \triangleq \frac{\text{SNR}_{\text{in}}}{\text{SNR}_{\text{out}}}$$

Perciò

$$NF = \frac{\overline{V_{IN}}^2}{\overline{V_{IN}}^2} \cdot \frac{\overline{V_{OUT}}^2}{\overline{V_{OUT}}^2} = \frac{1}{A_0^2} \cdot \frac{\overline{V_{n \text{ network}}}^2 + A_0^2 \overline{V_{n \text{ RS}}}^2}{\overline{V_{n \text{ RS}}}^2}$$

Se lo risorriamo otteniamo che

$$NF = \frac{1}{A_0^2} \left(\frac{\overline{V_{n \text{ network}}}^2}{\overline{V_{n \text{ RS}}}^2} + A_0^2 \right) = \frac{\overline{V_{n \text{ network}}}^2}{A_0^2 \overline{V_{n \text{ RS}}}^2} + 1$$

noise of the network
(input-referred)

noise of source resistance

La noise figure è una misura di quanto il circuito aggiunga rumore a quello che c'è già.

$$\frac{\overline{V_{n, \text{OUT TOTAL}}}^2}{A_0^2} = \underline{\underline{NF}} \cdot \overline{V_{n, \text{RS}}}^2$$

Factor di moltiplicato della sorgente noise da in uscita il rumore totale (input-referred)

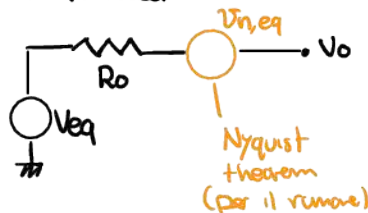
$$\text{PSD}_{\text{Rx} \text{ (input ref)}} = 4 \text{KTR}_S \cdot \text{NFR}_X$$

NOISE FIGURE OF A LOSSY CIRCUIT (es. passive Filter)



Possiamo calcolare NF senza sapere che è passata la rete passiva solo su un punto di lavoro.

> Thévenin theorem



$$\overline{V_{n, \text{eq}}}^2 = 4 \text{KT} \cdot \text{Ref} \text{Z}_0$$

Nyquist ci dice che il rumore a quella porta è $4 \text{KT} \cdot \text{la parte reale dell'impedenza a quella porta}$.

e da qui possiamo calcolare la noise figure come

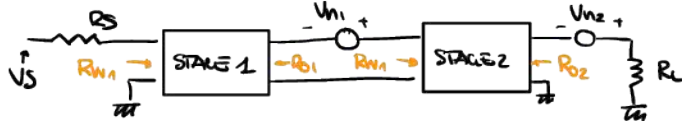
$$\begin{aligned} \text{NF} &= \frac{\overline{V_{n, \text{OUT TOTAL}}}^2 / A_0^2}{\overline{V_{n, \text{RS}}}^2} \\ &= \frac{\overline{V_{n, \text{eq}}}^2 / A_0^2 \cdot \frac{1}{\overline{V_{n, \text{RS}}}^2}}{4 \text{KT} R_0 / A_0^2 \cdot \frac{1}{4 \text{KTR}_S}} \\ &= \frac{-1}{A_0^2 \cdot \frac{R_S}{R_0}} = \frac{1}{G_A} = L_A \quad \text{available power loss} \\ &\qquad \qquad \qquad \text{available power gain } G_A \end{aligned}$$

Abbiamo concluso che la noise figure di un circuito lossy è dato dalla sua available power loss.

Esempio:

Filtro con 2dB power loss $\rightarrow NF = 2\text{dB}$.

Noise Figure of cascaded stages



$$NF = \underbrace{1 + \frac{\overline{Un_1}^2}{\alpha_1^2 \cdot A_{v1}^2} \cdot \frac{1}{4KTR_S}}_{NF_1} + \frac{\overline{Un_2}^2}{\alpha_1^2 A_{v1}^2 \cdot \alpha_2^2 \cdot A_{v2}^2} \cdot \frac{1}{4KTR_S}$$

$$\alpha_1 = \frac{R_{Ro1}}{R_{Ro1} + R_S}$$

$$\alpha_2 = \frac{R_{Ro2}}{R_{Ro2} + R_{Ro1}}$$

Dobbiamo cercare un modo di scrivere anche NF_2 in questa formula

Sappiamo che NF_2 è calcolabile:

$$NF_2|_{R_{Ro1}} = 1 + \frac{\overline{Un_2}^2}{\alpha_2^2 \cdot A_{v2}^2} \cdot \frac{1}{4KTR_{Ro1}}$$

Perciò NF totale può essere scritta come

$$NF = NF_1 + \frac{(NF_2|_{R_{Ro1}} - 1) \cdot 4KTR_{Ro1}}{\alpha_1^2 \cdot A_{v1}^2 \cdot 4KTR_S}$$

$$\alpha_1^2 A_{v1}^2 \cdot \frac{R_S}{R_{Ro1}} = G_{A1}$$

available power gain of stage 1

$$= NF_1 + \frac{NF_2|_{R_{Ro1}} - 1}{G_{A1}}$$

In genere possiamo dire che

$$NF = 1 + (\underbrace{NF_1 - 1}_{\text{STAGE 1}}) + \underbrace{\frac{NF_2 - 1}{G_{A1}}}_{\text{STAGE 2}} + \underbrace{\frac{NF_3 - 1}{G_{A1} \cdot G_{A2}}}_{\text{STAGE 3}} + \dots$$

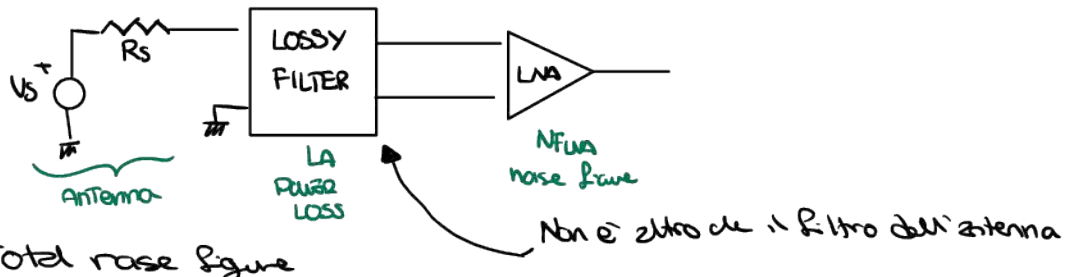
Capiamo che i primi stage sono i più critici per la noise figure.

04.05.21

Lezione

3h

Esempio di NF di filter + LNA cascade



Total noise figure

$$\begin{aligned} NF &= NF_{\text{filter}} + \frac{NF_{\text{LNA}} - 1}{\left| \frac{1}{LA} \right|} \\ &\quad \text{Available power gain of stage 1} \\ &= LA + LA(NF_{\text{LNA}} - 1) \\ &= LA \cdot NF_{\text{LNA}} \end{aligned}$$

Questo perché il filtro è lossy quindi la NF_{filter} è uguale a LA

Analizzando la NF in dB ottieniamo che

$$NF_{\text{dB}} = LA_{\text{dB}} + NF_{\text{LNA,dB}}$$

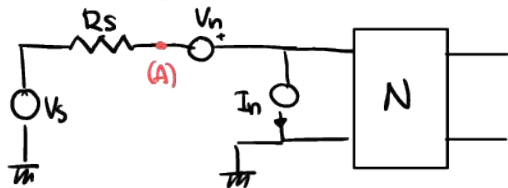
Esempio

$$\begin{aligned} LA &= 2 \text{dB} & \rightarrow NF &= 3,6 \text{dB} \\ NF_{\text{LNA}} &= 1,6 \text{dB} \end{aligned}$$

Capiamo che la Noise figure dell'LNA è amplificata dalla parte del precedente filtro passivo.

Capiamo che per fare un filtro selettivo mettiamo molti filtri in cascata, questo risulta in più perdite \rightarrow peggior noise figure.

Noise Hatching: è un altro modo di mettere la faccenda



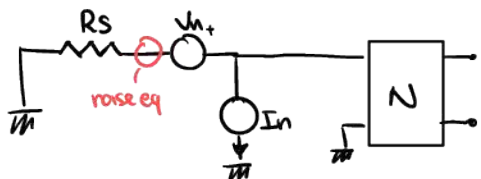
V_h, I_n sono i rumori riferiti all'input del bipolo N . Questi 2 sono correlati poiché realizzati dagli stessi elementi fisici.

Calcoliamo la noise figure

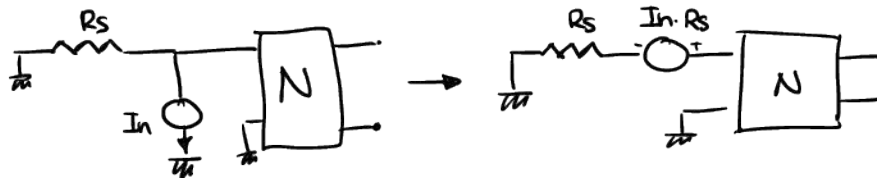
$$NF = 1 + \frac{\text{network noise in (A)}}{\text{source noise in (A)}}$$

$$= 1 + \frac{(V_h + I_n R_s)^2}{4KTR_s}$$

Dobbiamo farla riferita ad un generatore di rumore eq.
Noi sceglieremo di mettere questo generatore eq nel punto A



V_h è già lì quindi rimane tale.
Studiamo ora I_n spegnendo V_h .



Tuttavia facciamo un'ipotesi semplificativa (non reale) che V_h e I_n siano incorrelati.

$$NF \approx 1 + \frac{V_h^2 + \bar{I_n}^2 \cdot R_s^2}{4KTR_s}$$

$$= 1 + \frac{V_h^2}{4KTR_s} + \frac{\bar{I_n}^2}{\frac{4KT}{R_s}} \xrightarrow{\text{network voltage noise}}$$

$$\xrightarrow{\text{network current noise}}$$

$$\xleftarrow{\text{source current noise}}$$

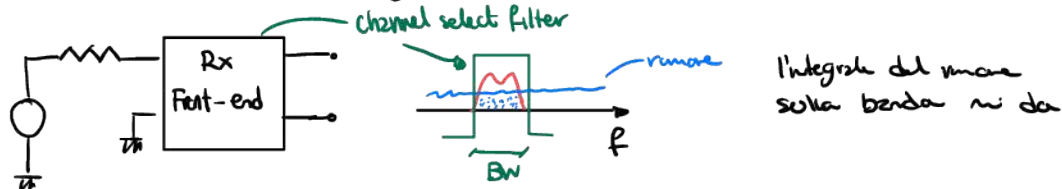
Source voltage noise

NF ha un termine decrescente con R_S e uno che aumenta con R_S , quindi esiste un NF_{min} per un R_S ottimo.

$$\frac{\partial NF}{\partial R_S} = \emptyset \rightarrow R_{Sopt} = \sqrt{\frac{V_n^2}{I_n^2}}$$

RX sensitivity and Dynamic Range

Rx sensitivity: è il minimo segnale rilevabile per $SNR = SNR_{min}$



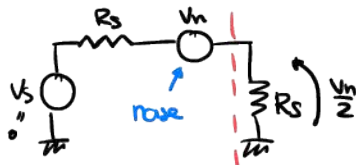
Se definiamo la sensibilità come: $P_{S,av(min)}$, allora:

$$SNR = \frac{P_{S,av(min)}}{P_{n,av}} \quad \begin{array}{l} \text{sensibilità (minima potenza del segnale)} \\ \text{Potenza di rumore} \end{array}$$

Anche in questo caso l'SNR va calcolato in un punto, noi supponiamo di vederlo prima dell'Rx front-end.

Calcoliamo $P_{n,av}$ (supponendo di avere impedance matching)

$$\frac{P_{n,av}}{\Delta f} = \frac{\frac{V_n^2}{R_S} \cdot \frac{1}{4}}{\Delta f} = \frac{4kT R_S \cdot NFR_x}{4R_S} = KT \cdot NFR_x$$



$$\frac{V_n^2}{\Delta f} = 4kT R_S \cdot NFR_x$$

available power density della sorgente noise

Perciò

$$P_{n,av} = KT \cdot NFR_x \cdot BW$$

In pratica dobbiamo pesare il rumore calcolato prima e per calcolare la potenza abbiano fatto l'integrale, considerando tutto costante

Abbiamo quindi che

$$SNR_{min} = \frac{P_{s,ar\min}}{KT \cdot NFR_x \cdot BW}$$

Quindi:

$$P_{s,ar\min} = SNR_{min} \cdot KT \cdot NFR_x \cdot BW$$

$$KT = 4 \cdot 10^{-21} J \text{ a } 25^\circ \rightarrow 10 \log_{10} KT = -204 \text{ dBW/Hz} = +74 \text{ dBm/Hz}$$

Ponendo tutto in dB

$$\frac{P_{s,ar\min}}{\text{dBm}} = +74 \frac{\text{dBm}}{\text{Hz}} + NFR_x \text{ [dB]} + SNR_{min} \text{ [dB]} + \frac{10 \log(BW)}{T}$$

attenzione qui ci va 10 e non 20!

• Esempio GSM.

- Sensibilità: $P_s = -100 \text{ dBm}$
- BW = 200 kHz
- SNR_{min} = 12 dB

Calcoliamo il noise figure del ricevitore inserendo la formula di prima.

$$NFR_x = P_s + 174 - SNR_{min} - 10 \log(BW) \approx 12 \text{ dB}$$

• Range Dinamico



Se ho 2 blockers all'ingresso di un ricevitore godo un I_{M3} sul segnale

Chiamiamo SFDR Spurious Free dynamic Range

$$SFDR_{dB} = Pin_{max} - Pin_{min}$$

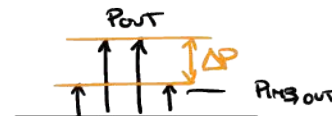
Questa è la noise power

input power
of the 2 tons
such that I_{M3} power
equals noise power

Se non entriano oltre Pin_{max} abbiano da I_{M3} e' coperto dal rumore, mentre se lo superano I_{M3} non è più coperto dal rumore.

Sappiamo che

$$P_{IIP_3} \text{ dBm} = Pin + \frac{\Delta P}{2}$$



$$P_{IIP_3} = Pin + \frac{Pout - Pin_{out}}{2}$$

$$\frac{P_{in} + P_{in} + GA - (P_{in, m} + GA)}{2}$$

Abbiamo definito un input referred level dei prodotti IM3 (come abbiamo fatto per il rumore prima)

$$= \frac{3}{2} P_{in} + \frac{1}{2} P_{in, m}$$

Per calcolare $P_{in, max}$ (che e' la potenza dei 2 blocker, la MASSIMA) dovrà usare la definizione cambiando $P_{in, m}$ con il valore del rumore (che dimostrato prima)

$$P_{in, P3} = \frac{3}{2} \underline{P_{in, max}} - \frac{1}{2} P_{in} \quad \text{input referred level at noise}$$

Quindi:

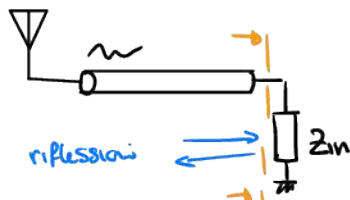
$$P_{in, max} (\text{dBm}) = \frac{2 \cdot P_{in, P3} + P_{in}}{3}$$

e quindi:

$$\begin{aligned} SFDR &= P_{in, max} - P_{in, min} & SNR_{min} &= P_{in, min} - P_{noise} \\ &= \frac{2}{3} P_{in, P3} + \frac{1}{3} P_{in} - (P_{in} + SNR_{min}) \\ &= \frac{2}{3} P_{in, P3} - \frac{2}{3} P_{noise} - SNR_{min} \end{aligned}$$

C'è poi che il rumore definisce una minima potenza d'ingresso, mentre l'IM3 definisce il livello massimo di potenza (dicendo che la pot max è quando il livello della potenza del rumore è uguale a quello di IM3).

Scattering Parameters o S-parameters



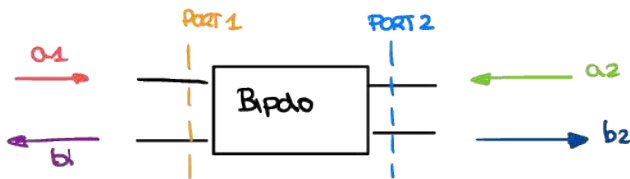
Definiamo un coefficiente di riflessione

$$\Gamma = \frac{\text{Preflected}}{\text{Pin incidente}} \rightarrow P_{refl} = \Gamma \cdot P_{inc}$$

$$\Gamma = \frac{Z_L - Z_S}{Z_L + Z_S} \rightarrow \text{forse c'è un modulo quadro di tutto}$$

Solo se $Z_m = Z_S \rightarrow T = \emptyset$ quindi non ho riflessione (dicono che la terminazione è matching con l'impedenza caratteristica della linea)

Dobbiamo estendere il circuito ai bipoli:



a_1 : Power wave incidente sulla porta 1

b_1 : Power wave riflessa sulla porta 1

| stessa cosa per a_2 e b_2

In pratica abbiamo che b_1 e b_2 dipendono sia da a_1 che a_2 , abbiamo infatti una matrice

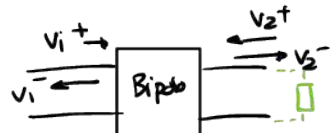
$$\begin{cases} b_1 = S_{11} \cdot a_1 + S_{12} a_2 \\ b_2 = S_{21} \cdot a_1 + S_{22} a_2 \end{cases} \quad \text{Dove } S \text{ sono gli scattering parameters}$$

$$[S_{11} = \frac{b_1}{a_1}]$$

Se lo consideriamo come tensione

$$S_{11} = \frac{V_1^-}{V_1^+} \quad | \quad \begin{array}{l} \text{è minuscolo non maluscio perché qui} \\ \text{abbiamo frane di tensioni restringenti} \\ \text{minuscolo è di potenza} \end{array}$$

$V_2^+ = \emptyset$ → matched load at port 2



S_{11} è il coefficiente di riflessione nella porta 1 con porta 2 con impedenza matching

Definiamo l'input return loss come

$$R_{lin} = 10 \log_{10} \frac{1}{|S_{11}|^2} = -20 \log \{|S_{11}|\}$$

Chiamiamo Forward Gain il coefficiente S_{21} (forward power gain)

$$20 \log_{10} \{|S_{21}|\} \rightarrow \text{è il forward gain}$$

e' minuscolo

Il Reverse Isolation è invece

$$-20 \log \{|S_{12}|\}$$

minuscola

L'output return loss

$$R_{out} = -20 \log \{|S_{22}|\}$$

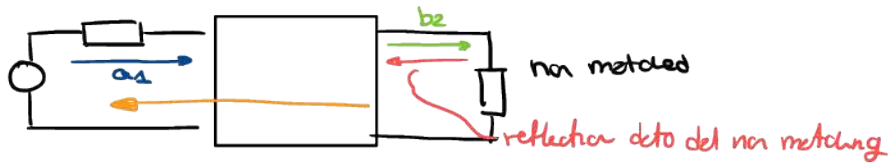
minuscola

Ma perché usiamo questa mera di metrice?

Perché la potenza può essere facilmente calcolata mentre tensione e corrente non sono così facili da misurare.

Un altro motivo perché questa metrice c'è comoda è che viene misurata con l'altra porta del bipolo con l'impedenza matchata. E questo c'è vero perché in RF è difficile fare la misura ad esempio a circuito aperto per via del cross-coupling ecc..

Nel caso abbiamo un non matched load allora

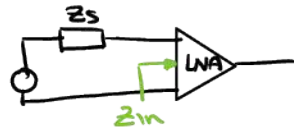


Se l'amplificatore (bipolo) ha un reverse gain diverso da 0dB allora riflette anche potenza al primo e quindi ho un loop e posso perdere la stabilità.
Per questo voglio un'altra reverse isolation così che non rifletta molta potenza anche con impedenze non matchate.

Design of LNA

• Specifiche

- Low noise (NF figure)
- Large gain (in modo da eliminare i contributi degli stati successivi nell'SWR
GA o Sf sono quindi definiti)
- Input matching (Definita la return loss $\frac{1}{2}S_{11}$)



$$S_{11} = \left| \frac{Z_{in} - Z_s}{Z_{in} + Z_s} \right|^2$$

Non dobbiamo avere per forza $S_{11} = 0$, tipicamente a volte dato un valore in dB ragionabile

Esempio

$$\begin{aligned} Z_s &= 50\Omega \\ Z_{in} &= 40\Omega \end{aligned} \rightarrow S_{11} = 20 \log \left| \frac{40 - 50}{40 + 50} \right| = -20 \text{dB}$$

Ad esempio se $S_{11} = -10 \text{dB}$ allora si ha che

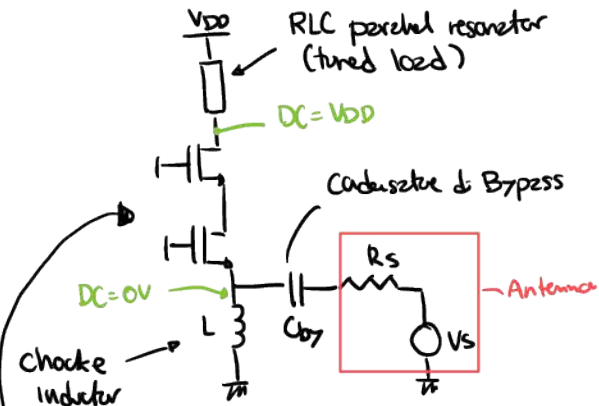
$P_{ref} = 0,1 \cdot P_{inc}$ (Perdita del 10% in riflessione)

- Linearità (IIP3 intercept point, a causa dei blockers).

Topologie circuitali

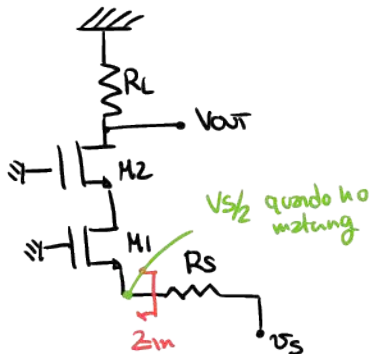
Non possiamo basarci su OPAMP perché il FeedBack è un cascode e ha banda stretta.

- **COMMON GATE TOPOLOGY** (usiamo questo perché se estremo del gate del mos questo ha impedenza ∞ e non possiamo fare il matching)



Cascode: è usato per migliorare la reverse isolation

A frequenza controllata il circuito diventa



- **Zin di tensione**

$$A_0 = \frac{V_{\text{out}}}{V_S}$$

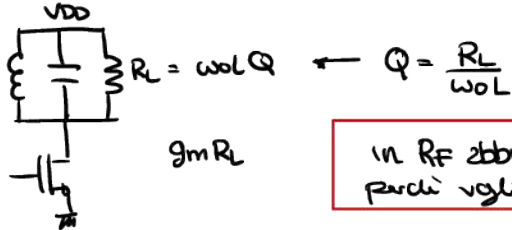
Facciamo questo calcolo 2 matching condizioni in modo che dopo RS e prima di RL sia che ho $VS/2$

Visto che ho $L \approx VS/2$ allora so che la corrente che passa è $VS/2RS$ allora

$$A_0 = \frac{VS/2RS \cdot RL}{VS} = \frac{RL}{2RS}$$

Cosa unita gesto guadagno? Ho da

L'IMPRESA È UNITA DAL QUALITY FACTOR (MA LO VOGLIAMO TUO)



In RF abbiamo che $RL \approx 100 \pm 1000$ e perché vogliono un alto quality factor.

Allora dato quei valori di RL è visto che $R_S = 50\Omega \rightarrow A_0 = 1 \pm 10$ quindi va da 0 a 20dB.

06.05.2021

3n

Note sotto choke inductor

$$f_o$$
$$L$$
$$L = \frac{V_L}{I_L} \cdot \frac{dI_L}{dt} = \frac{V_L}{I_L} \rightarrow \infty \rightarrow \text{il costante se } L \text{ è resistenza grande}$$

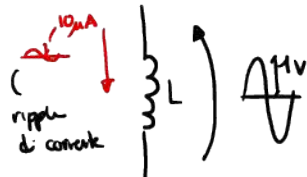
Ma quanto deve essere grande L ? Avremo la parte dell'ampiezza di V

Noi sappiamo che $V_L = j\omega_0 L I_L$ e sappiamo che $|I_L| = \frac{|V_L|}{\omega_0 L}$ (ampiezza di I_L)

Avremo quindi che I_L ha una componente sinusoidale, sopra a quella continua. Noi imponiamo questa oscillazione molto bassa (in modo da avere corrente quasi costante), poi io so questo V_L e quindi calcolo L , ottenendo

$$L = \frac{|V_L|}{|I_L|} \cdot \frac{1}{\omega_0}$$

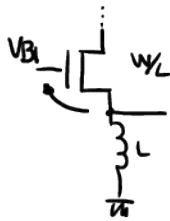
Esempio



$$f_o = 1 \text{ GHz}$$

$$\text{allora } L = \frac{1 \text{ V}}{10 \mu \text{ A} \cdot 2\pi \cdot 1 \text{ GHz}} = 1,59 \cdot 10^{-5}$$

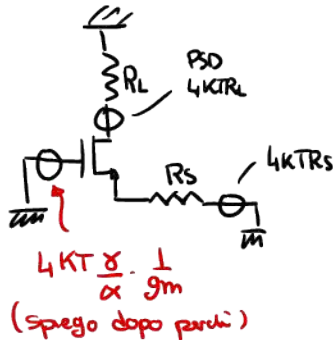
Altro esempio, analisi in DC



In DC l'induttore è un certo, quindi ho V_BAS costante e quindi ho una corrente che scende da dipende da V_BI e W/L, questa è la corrente in DC che passa nell'induttore.

Continuiamo lo esercizio del altro giorno

Dobbiamo calcolare la noise figure



non consideriamo il mos cascata visto che non consideriamo ettera è invisibile.

Per modellare il rumore del mos usiamo il modello Van der Ziel

Channel noise:

$$PDS = 4KT \cdot \gamma \cdot g_{do}$$

$$\text{dove } g_{do} = \left. \frac{\partial I_D}{\partial V_{DS}} \right|_{V_{DS}=0}$$

• In triodo abbiamo che

$$I_D = \frac{1}{2} \mu C_{ox} \frac{W}{L} \left[2V_{DS} V_{GS} - V_{DS}^2 \right]$$

Allora g_{do} è

$$g_{do} = \mu C_{ox} \frac{W}{L} V_{GS} = \frac{1}{r_{on}}$$

• In Saturation invece

$$I_D = \frac{1}{2} \mu C_{ox} \frac{W}{L} \cdot V_{GS}^2 \rightarrow g_m = g_{do}$$

Inoltre questo teorema dice che se il mosfet è in triodo $\gamma = 1$ mentre se il mos è in saturazione $\gamma = 2/3$

In carrier velocity saturation (quando ho canali piccoli) ho che

$$g_m = \alpha \cdot g_{do} < g_{do} \text{ con } \alpha \text{ che dipende da } V_{GS} \text{ e da altro}$$

In questo caso abbiamo che

PSD:

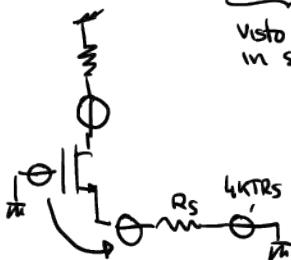
$$4KT \frac{\alpha}{\alpha} \cdot g_m$$

con $\alpha = 1$ no corner saturation
 $\alpha < 1$ in corner saturation

formula tipica
 perché con gli zodi siamo in sat

Come calcoliamo la noise figure?

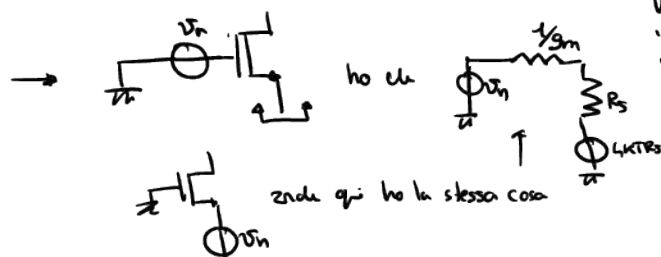
$$NF = 1 + \underbrace{\frac{4KT \frac{\alpha}{\alpha} g_m}{4KT R_S}}_{\text{visto che sono in serie}} + \dots = 1 + \frac{\alpha}{\alpha}$$



Sposto qui, perché
 visto che ho il gate di terra
 V_{GS} è la stessa anche
 se sposto il generatore di
 rumore

visto che siamo in
 matche $g_m = R_S$

Vedi solo perché
 il gate è a
 massa



notiamo molto
 bene che
 i generatori sono
 in serie

Continuiamo con la noise figure

$$NF = 1 + \frac{\alpha}{\alpha} + \frac{4KTR_L}{4KTR_S \left(\frac{R_L}{2R_S} \right)^2}$$

rumore riportato all'uscita

$$= 1 + \frac{\alpha}{\alpha} + \frac{4R_S}{R_L} = 1 + \frac{\alpha}{\alpha} + \frac{2}{A_0}$$

NF totale viene nell'ordine di
 3 dB è alto, lo vorremo
 abbassare.

Per calcolare la noise figure posso mettere il rumore zodi in currente, scelgo quello che mi è più facile

Per cercare di abbassare la NF vediamo 3 metodi:

1) Sempre lasciando il matching fare in modo che g_m sia più grande così che $4KT \frac{\alpha}{\alpha} \cdot g_m$ sia più piccolo

2) Noise canceling: Calcoliamo il rumore tramite una topologia specifica

3) Impedance transformation network per poter non rendere gm collegata con l'input impedance

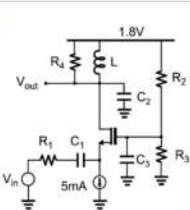
TUTORIAL

T10.1 Let us consider the LNA in figure, where $R_1 = 50\Omega$, $C_1 = 1nF$, $L = 1nH$, $R_2 = 2k\Omega$, $R_3 = 8k\Omega$ and the MOSFET has threshold $V_T = 0.5V$, $\frac{1}{2}\mu C_{ox} = 0.2mA/V^2$ and $\gamma = \frac{2}{3}$.

- a) Derive the bias point of the circuit. Considering an operating frequency $f_0 = 3.3GHz$ and $C_3 = 30pF$, size R_4 , C_2 and $(\frac{W}{L})$ of the transistor to guarantee: (i) input matching, (ii) maximum gain and (iii) noise figure of 2.7dB.

- b) Please modify the circuit by connecting C_2 between the output node and gate of the transistor. Find the new values for C_2 , C_3 and $(\frac{W}{L})$ to obtain a noise figure of 1.2dB at $f_0 = 3.3GHz$, while still guaranteeing input matching.

- c) Evaluate the "transducer power gain" of the stage in dB.

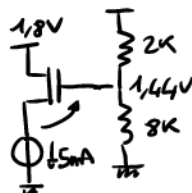


Ogni volta che vedi nō c'è infinito nō la consideriamo infinita

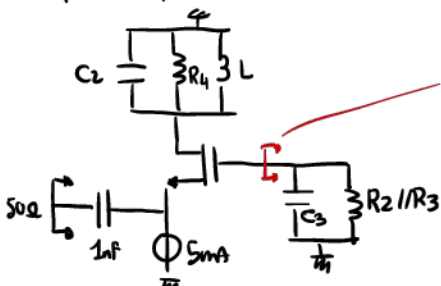
Punto a)

Come garantisco il matching se dopo $R_1 = 50\Omega$ ho un condensatore?

- DC bias



- Input impedance



noi trascuriamo C_1 perché molto piccola e quindi noi non la consideriamo.

Poi voglio l'impedenza massima

$$\frac{V_{in}}{2R_S} \cdot Z_L = V_{out} \text{ e il massimo } V_{out} \text{ si ha in risonanza per } \frac{1}{1LC_2} = 2\pi 3.3G$$

tale che Z_L sia massima e cioè sia R_4

Z_L non è affatto che il bivacco risonante in alto

noto che questa impedenza ha un polo a

$$\frac{1}{2\pi C_3 R_2 / R_3} = 3.3MHz \text{ e noi}$$

lavoriamo a 3.3GHz quindi ci viene estremamente piccola ($-j9.05\Omega$) pertanto non la consideriamo



2MΩ

$$\frac{1}{gm} = 50\Omega$$

$$\text{da cui } W_L = 100$$

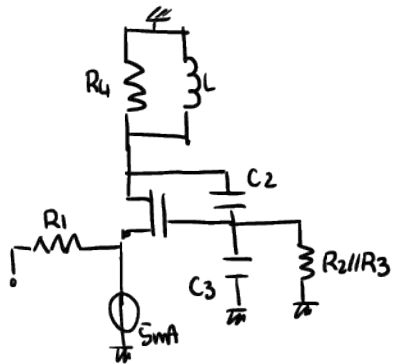
Per calcolare R_L usiamo la noce Figura (e la stessa calcolata sopra)

$$NF = 1 + \frac{2}{\alpha} \cdot gmR_1 + \frac{L}{R_L} = 10^{\frac{2.7}{10}}$$

da cui ricaviamo $R_L = 1,02 \text{ k}\Omega$

pertanto con questo R_L otteremo guadagno $A_v = \frac{R_L}{2R_1} \approx 10 \rightarrow 20 \text{ dB}$

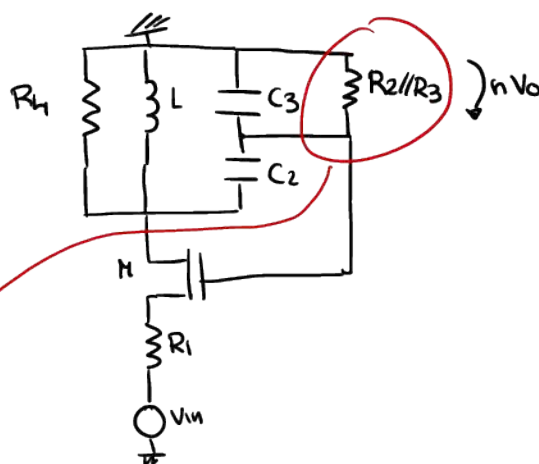
• PUNTO B (cambia topologia)



Abbiamo un feedback dato dalla capacità.

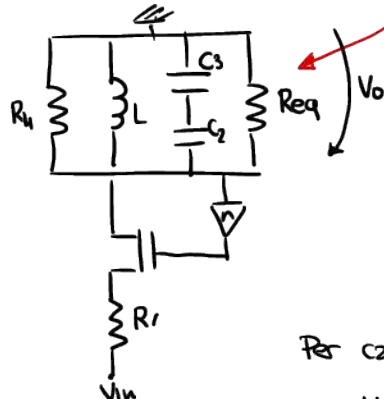
Vogliamo input matching e $NF = 1,2 \text{ dB}$

Dobbiamo iniziare calcolando l'input impedance



Possiamo poi semplificare il circuito, è un tapped resonator di colpito.

Sotto determinate ipotesi posso fare che



Poi posso anche perdere la tensione di gate in altro punto e dividere la tensione.

$$\text{Dove } n = \frac{C_2}{C_2 + C_3}$$

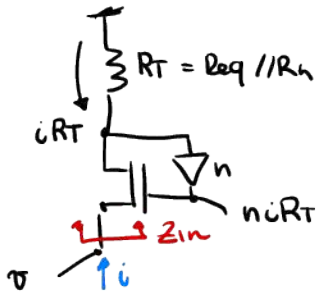
Per calcolare Req devo impostare la stessa power dissipativa

$$\frac{V_o^2}{Req} = \frac{n^2 V_o^2}{R_2 // R_3}$$

Se vogliamo maximizzare il guadagno dobbiamo considerare la resistenza tra L e $C_1 // C_3 \rightarrow \frac{1}{\sqrt{L \cdot \frac{C_2 C_3}{C_2 + C_3}}} = 2\pi 33 \text{ GHz}$

$$\frac{1}{\sqrt{L \cdot \frac{C_2 C_3}{C_2 + C_3}}}$$

In risorsa abbiamo che



Calcolo la Z_{in} fissando una corrente sull'ingresso
Fatto la corrente così da capire che R_T ha corrente
verso il i_{RT} e sul gate ha $n_i R_T$.

la V_{DS} del transistore è

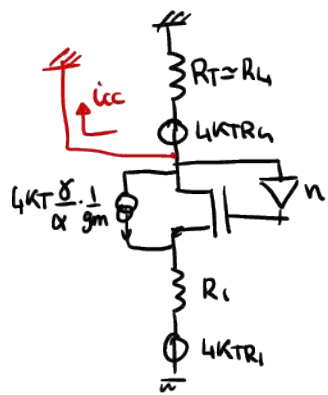
$$(n_i R_T - \sigma) g_m = -i$$

$$Z_{in} = \frac{v_i}{i} = \frac{1}{g_m} + n_i R_T = 50\Omega$$

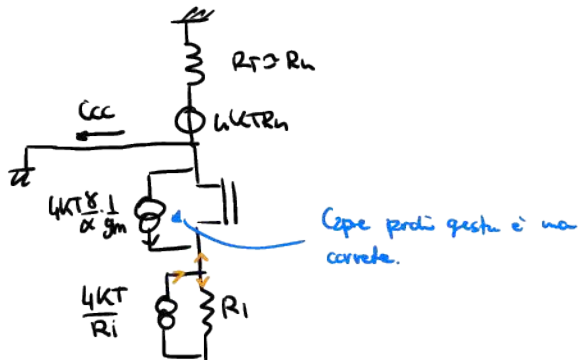
A causa del filtro l'impedenza d'ingresso è $> 1/g_m$ (abbiamo tenuto in modo di estrarre la dipendenza di input e g_m)

Calcoliamo la noise figure

$$R_T = R_{eq} / R_h \text{ dare } R_{eq} = \frac{R_2 / R_3}{h_2} \text{ se } n \ll 1 \text{ allora } R_T = R_h$$



Un modo per calcolare la NF è cortocircuitare
la uscita e calcolare tutti i rumori riferiti
a quella. Usiamo questa tecnica per eliminare
il feedback, così da non sovrapporre sul gate del
mos



$$NF = 1 + \frac{\frac{4KT}{R_h}}{\frac{4KT}{R_i} \left(\frac{R}{R_i + g_m} \right)^2}$$

Lo vedo che un po' tante di corrente,
ma parte del rumore è dovuta solo su R_i e
l'altra su g_m . noi prendiamo questa
 $1/g_m$

$$+ \frac{4KT \frac{g_m}{\alpha} g_m \left(\frac{1}{g_m + R_i} \right)^2}{\frac{4KT}{R_i} \left(\frac{R}{R_i + g_m} \right)^2}$$

Semplificazioni

$$NF = 1 + \frac{(R_1 + \frac{g_m}{2})^2}{R_1 R_h} + \alpha \cdot \frac{1}{g_m R_1} = 10^{\frac{f_c}{10}}$$

Ottieniamo

$$g_m = 58 \text{ mA/V} = \frac{2I}{V_{DD}}$$

Calcolato g_m , ricordiamo che

$$Z_m = \frac{1}{g_m} + nR_h = 50 \Omega \rightarrow nR_h = 50 - 17 = 33 \Omega$$

Visto che $R_h = 1K \rightarrow n = 0,033 \leftarrow$ abbiamo verificato l'ipotesi $n \ll 1$

Ottieniamo $C_2 = 2 \text{ pF}$ e $C_3 = 72.63 \text{ pF}$

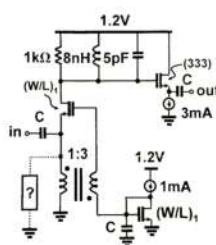
Punto 3

Transducer Power gain

$$\begin{aligned} GT &= \frac{P_{out}}{P_{in, available}} \quad (\text{per definizione}) \\ &= \frac{\frac{1}{2} \frac{V_{out}^2}{R_h}}{\frac{1}{2} \frac{(V_{in}/2)^2}{R_1}} \quad \leftarrow \text{perché c'è l'input matching e quindi chi' verso ingresso dati}\right. \\ &\quad \left. \text{espl. abbiamo } V_{in}/2 \right. \\ &= A_o^2 \cdot \frac{R_h}{R_1} \quad \rightarrow \quad \text{dove } A_o = \frac{R_h}{2R_1} \\ &= \frac{R_h}{R_1} = \frac{1000}{50} = 20 \quad \text{oppure } 10 \log_{10}(20) = 13 \text{ dB} \quad \leftarrow 10 \text{ punti di potenza} \end{aligned}$$

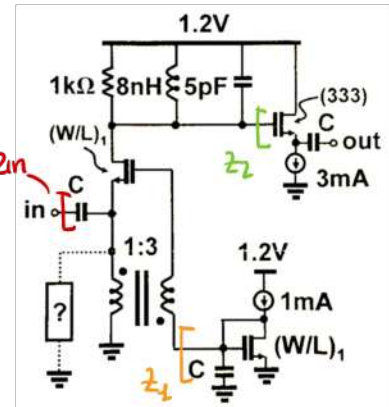
T10.2 Let us consider the LNA in figure, where $C = 1\text{nF}$ and the MOSFETs have threshold $V_T = 0.5\text{V}$, $\frac{1}{2}\mu C_{OX} = 0.1\text{mA/V}^2$ and $\frac{L}{W} = 2$.

- Neglecting the unknown component (marked by the "?" sign), and assuming the transformer to be ideal, size $\left(\frac{W}{L}\right)_1$ to obtain input matching to 50Ω at $f_0 = 2.5\text{GHz}$.
- Evaluate the noise figure NF referred to a source resistance of 50Ω , at $f_0 = 2.5\text{GHz}$ and considering all noise sources.
- Assuming the transformer to be non-ideal with coupling coefficient $k = 1$, and $L_{11} = 1\text{nH}$, $L_{22} = 9\text{nH}$ the inductances of the primary and secondary winding, respectively. Choose the unknown component (marked by the "?" sign) which maintains input matching to 50Ω .

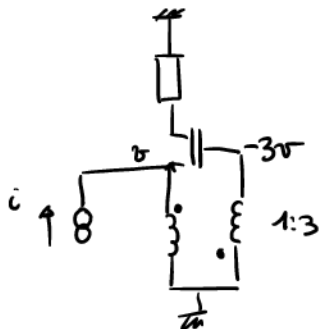


Per DC biasing devo considerare il current mirror, quindi so che sulla parte principale passa 1mA se hanno lo stesso valore di forma

Calcoliamo la Zin



Se calcolo vedo che Z_1 e Z_2 sono molto piccole quindi le trascurerò perché ho



Impiego una corrente d'ingresso, ho una tensione sul source quindi a causa del trasformatore ho -3V sul gate

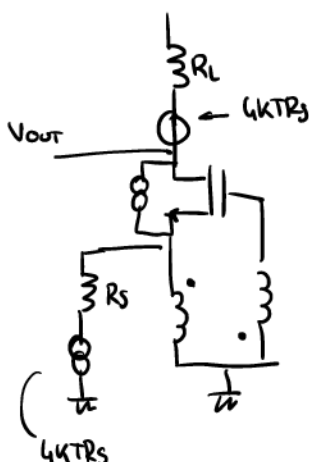
Quindi

$$V_{GS} = -3V - V = -4V$$

La corrente che circola nel circuito allora è $4gm_1$

Quindi $Z_{in} = \frac{V}{I} = \frac{1}{4gm_1}$

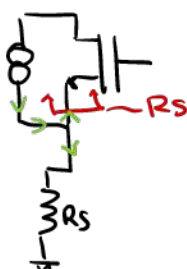
• Noise Figure (la calcolo sull'output)



$$NF = 1 + \frac{4KTR_L}{4KTR_S \left(\frac{R_L}{2R_S} \right)^2} + \frac{4KTR_S g_m \cdot \left(\frac{1}{2} \right)^2 \cdot R_L^2}{4KTR_S \cdot \left(\frac{R_L}{2R_S} \right)^2}$$

uguali a quello
del caso del comune gate

• visto 1/2 perché ho un periferio di controllo tra 2 resistenze uguali se ho il matching



In questo caso $g_m = \frac{1}{4R_S}$ (calcolato da Z_{in}), e viene una NF totale di:

3dB (considerando anche il rinculo del voltage follower che contribuisce trascurato prima per l'impedenza)

• Punto 3

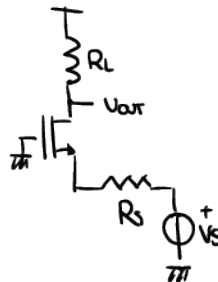
Considerando un trasformatore reale (foto)

10.05.2021

Lezione

2h

Common gate



• matching $g_m = R_S$

• Gain $\frac{V_{out}}{V_{in}} = \frac{R_L}{2R_S}$ (in condizioni di matching)

• Noise figure:

$$NF = 1 + \alpha \cdot \frac{1}{g_m R_S} + \underbrace{\frac{4R_S}{R_L}}_{\text{in matching conditions}}$$

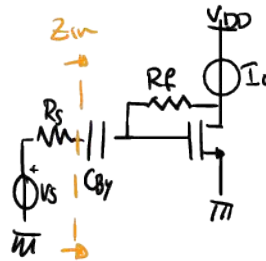
$$= 1 + \frac{\alpha}{A_0} + \frac{2}{A_0}$$

Per spiegare i limiti della noise figure

- FeedBack: per decapitare g_m da R_S
- Noise cancelling
- Impedenze trasformazione.

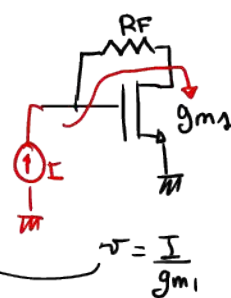
Noise Cancelling

- Shunt feedback topology (topologia alternativa al common gate)

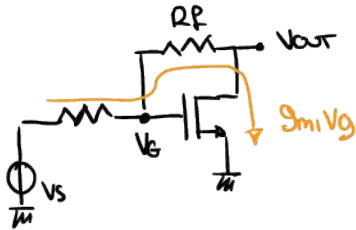


Ad RF $C_{BY} = \infty$ (carto)

$$Z_{in} = \frac{1}{g_m}$$



Voltage gain



$$\left\{ \begin{array}{l} V_{out} = V_S - g_m V_g (R_S + R_F) \\ \frac{V_S - V_A}{R_S} = \frac{V_A - V_{out}}{R_F} \end{array} \right.$$

da Kirchhoff
→
→

$$A_0 = \frac{V_o}{V_s} = \frac{1 - g_m R_F}{1 + g_m R_S}$$

Si può anche calcolare con la feedback analitica



$$G_{loop} = -g_m R_S$$

$$T_{ID} = -\frac{R_F}{R_S}$$

da gesto →

(e' il guadagno idle)



$$\text{Allora } A_0 = \frac{T_{ID}}{1 - \frac{1}{G_{loop}}}$$

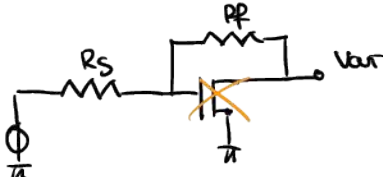
$$= \frac{-R_F/R_S}{1 + \frac{1}{g_m R_S}} = \frac{-g_m R_F}{1 + g_m R_S}$$

non viene usata
a prima parci?

Vengono diversi perché
manca GDIRECTO

Bisogna calcolare GDIRECTO

Bisogna mettere $g_m = 0$ e calcolare l'ingresso uscita



$$G_{directo} = V_S$$

perci non passa corrente nelle resistenze

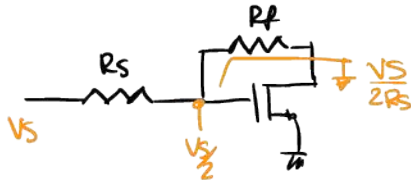
Allora

$$A_0 = \frac{T_{ID}}{1 - \frac{1}{G_{directo}}} + \frac{T_{DIR}}{1 - \frac{1}{G_{loop}}}$$

metting conditions: $\frac{1}{g_m} = R_S \rightarrow G_{loop} = -1$

$$A_{0 \text{ matched}} = \frac{1 - R_F/R_S}{1 + 1} = \frac{1}{2} \left(1 - \frac{R_F}{R_S} \right)$$

Questo risultato può essere ricavato subito



Sola corrente che passa (solo in matching)

$$I = \frac{V_S - \frac{V_S}{2}}{R_S}$$

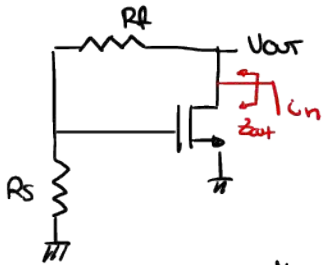
$$\frac{V_{out}}{V_S} = \frac{\frac{V_S}{2} - \frac{V_S}{2} \cdot R_F}{V_S}$$

Nel caso $R_F/R_S \gg 1$ allora

$$A_{0 \text{ matched}} = -\frac{1}{2} \frac{R_F}{R_S}$$

è come un Common Gate solo invertente

> Noise Figure

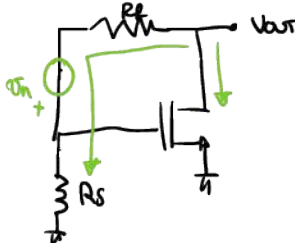


$$\begin{aligned} \frac{V_{out}}{V_{in}} &= Z_{out} = \frac{R_F + R_S}{1 + G_{loop}} \\ &= \frac{R_F + R_S}{2} \end{aligned}$$

Allora la noise figure sarà (primo termine)

$$NF = 1 + \frac{4kT \frac{Z}{g_m} \left(\frac{R_F + R_S}{2} \right)^2}{4kT R_S \frac{1}{4} \left(1 - \frac{R_F}{R_S} \right)^2} + (\text{second termine})$$

Per il secondo termine:



Ho 2 corret di corri nel circuito (non possono essere zero)

Supponiamo $R_F \gg R_S$

Il secondo tiene una grande

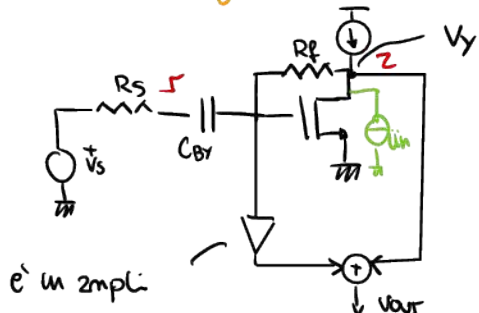
LKT MANCA VEDERE APPUNTI

il totale con $R_F \gg R_S$:

$$NF = 1 + \frac{Z}{\alpha} + 4 \frac{R_S}{R_F}$$

è la stessa del common gate

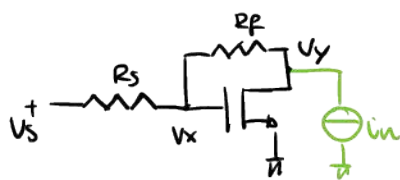
• Noise Cancelling (to shunt feedback)



Quando vogliono fare il noise cancelling
dovranno trarre 2 nodi in cui bin hanno
lo stesso segnale della FDT.

In genere devono trarre 2 nodi da contatti
tali che la noise source (Vin) sia cancellata
ma il segnale Vs no

Noise transfer



$$\frac{V_y}{V_{in}} = \frac{R_S + R_F}{2} > 0$$

$$\begin{aligned} \frac{V_x}{V_{in}} &= \frac{V_y - R_S}{V_{in} \cdot \frac{R_S}{R_S + R_F}} \\ &= \frac{R_S + R_F}{2} \cdot \frac{R_S}{R_F + R_S} = \frac{R_S}{2} > 0 \end{aligned}$$

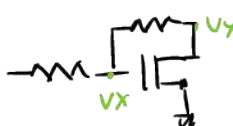
Percio se calcoliamo Vout

$$V_{out} = A_1 \cdot V_x + V_y = A_1 \cdot \frac{R_S}{2} + \frac{R_S + R_F}{2}$$

per costituire Vout è così

Vout è = 0 se $A_1 = -\left(1 + \frac{R_F}{R_S}\right)$, quindi se faccio questo giudizio risulta il ruce

• Signal transfer function



$$\frac{V_{out}}{V_s} = \frac{V_y}{V_s} + A_1 \frac{V_x}{V_s}$$

$$= \underbrace{\frac{1}{2} \left(1 - \frac{R_F}{R_S}\right)}_{A_0} - \left(1 - \frac{R_F}{R_S}\right) \cdot \frac{1}{2}$$

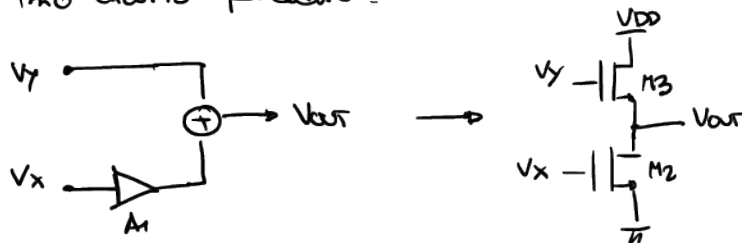
in abscisa d'
metti perciò
 $V_x = V_s/2$

Perciò vee

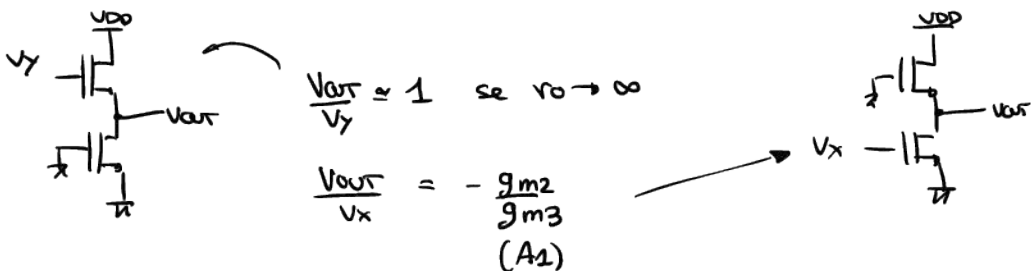
$$\frac{V_{out}}{V_S} = -\frac{R_F}{R_S}$$

Capriamo che con questa tecnica cancelliamo il rumore e redoppiano il guadagno

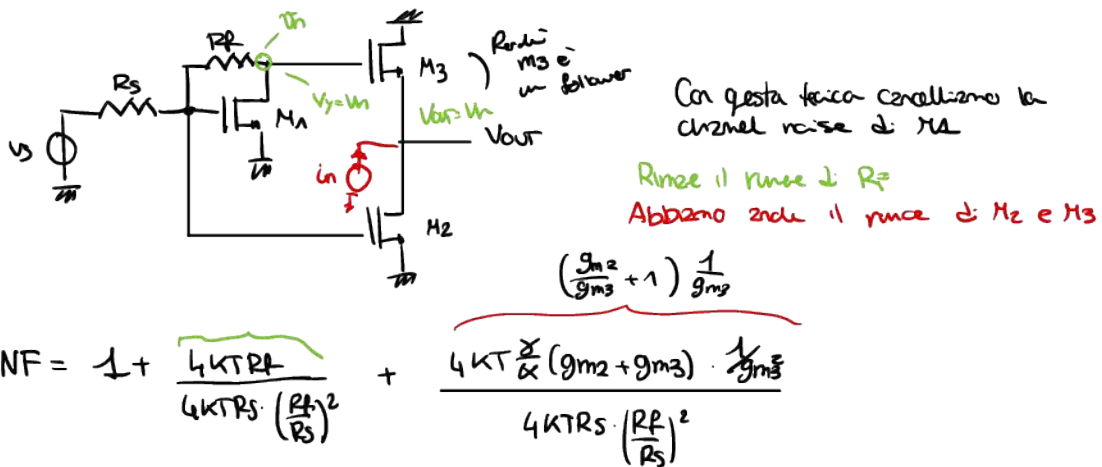
La domanda è: Come faccio a fare il circuito che ha meno rumore del mio circuito precedente?



In questo stage applicando la sovrapposizione dei circuiti



Dobbiamo calcolare ora la noise figure della topologia



Ricordiamo che $-g_{m2}/g_{m3} = A_1 = -\left(1 + \frac{R_F}{R_S}\right)$ (perciò dobbiamo cercare il rumore di M1)

zavora risolvendo ottimale da (supponendo che $R_F \gg R_S$)

$$NF \Big|_{R_F \gg R_S} = 1 + \frac{R_S}{R_F} + \frac{\gamma}{\alpha} \frac{\frac{R_F R_S}{g_m} \cdot \frac{1}{g_m}}{R_S \cdot \left(\frac{R_F}{R_S}\right)^2}$$

$$\approx \frac{1}{\alpha} \frac{1}{g_m R_F}$$

Se g_m è maggiore di $1/R_F$ la NF di questo stage è più piccola della NF della shunt feedback topology.

È possibile avere $g_m > 1/R_F$? Sì

abbiamo che $g_m = 1/R_S$ per input matching ma non abbiamo limiti su g_m

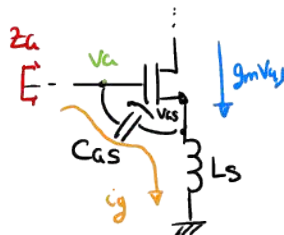
In pratica M_3 è un follower e in pratica lo scambio il rinculo di M_1 con il rinculo di M_3 . Ma visto che non posso minimizzare il rinculo di M_1 perché deve fare l'input matching dovrà usare M_3 che può essere ottimizzato per ridurre la NF.

Quel è il limite di questa struttura per abbassare la NF? Potremo arrivare a $NF = 1$?

Se aumentiamo g_m aumentiamo la potenza dissipata o l'area dei transistori (e questo è un lato negativo) ma il lato positivo è la capacità passiva sul gate di M_2 e M_3 , quella di M_2 perché se entro g_m danno entro g_m

• Impedance transformation network per abbattere la reale R_{load}

Inductive degeneration



Se aggiungiamo C_{AS} o dimensioniamo C_{AS} , allora

$$\begin{cases} Z_g = R_{ds} + sL_s (g_m R_{ds} + c_g) \\ i_g = sC_{AS} \cdot v_{AS} \end{cases}$$

Ottieniamo che

$$Z_g = \frac{R_{ds}}{sL_s}$$

$$V_A = V_{AS} + (sL_s g_m + s^2 C_{AS} L_s) V_{AS}, \text{ allora}$$

$$Z_g = \frac{V_{AS} (1 + sL_s g_m + s^2 C_{AS} L_s)}{s C_{AS} \cdot V_{AS}} = \frac{1}{s C_{AS}} + g_m \frac{L_s}{C_{AS}} + s L_s$$

Notiamo che abbizzino in conduttrice in serie ad un induttore in serie ad una impedenza reale positiva.

Il circuito di input equivalente è



diciamo Z_{in}

$$\text{WT} = \frac{g_m}{C_{\text{GS}}} \quad (\text{risparmio } C_{\text{GD}})$$

impostiamo la risonanza, Matching conditons:

$$\bullet \omega_0 = \frac{1}{\sqrt{L_s C_{\text{GS}}}}$$

Non usiamo più una resistenza, non avremo la termal noise della resistenza.

$$\bullet \text{WT} L_s = R_s$$

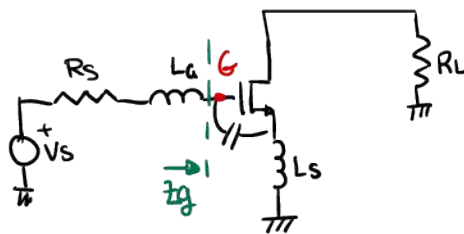
11.05.2021

L'ezione

3h

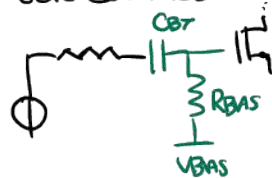
Induttore degenerazione

Possiamo quindi fare



Aggiungiamo la così ammettendo di un grado la libertà del circuito perché L_s è legato al S_{OR} e quindi se vogliamo varcare ω_0 aggiungiamo L_a .

Inoltre il circuito avrà anche una rete per mettere il Bias, in questo caso il Gate del mos



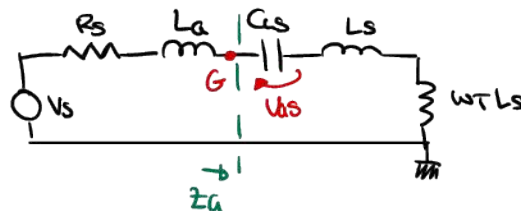
Questo è chiamato "bias-test".

• Calcoliamo il voltage g_{m} in matching conditons

- Matching conditons $\text{WT} L_s = R_s$ dove $\text{WT} = \frac{g_m}{C_{\text{GS}}}$

- la freq di risonanza $\omega_0 = \frac{1}{\sqrt{(L_g + L_s) C_{\text{GS}}}}$

Questa sarà abbizzino un equivalente input network del tipo



Il guadagno di tensioe sarà quindi:

$$- So che V_{out} = -g_m R_L V_{GS}$$

Dobbiamo legare V_{GS} con V_{DS} , ma con la rete equivalente e ricordato le proprietà della rete risonante sappiamo che

$$V_{GS} = Q \cdot V_S$$

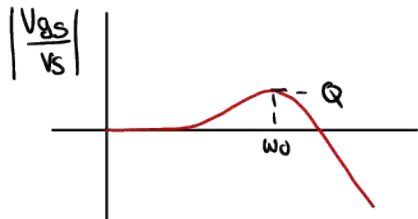
Dove Q è il quality factor della rete in serie

$$Q = \frac{1}{\omega_0 C_S (R_S + R_L)}$$

In matching condizioni

$$Q = \frac{1}{\omega_0 C_S \cdot 2 R_S}$$

Questo è vero perché in una rete risonante abbiamo che



La tensione ai capi d'un induttore o condensatore in freq è $Q \cdot V_S$

Possiamo quindi scrivere il guadagno di tensioe

$$A_V = \frac{V_{out}}{V_S} = -g_m R_L \cdot Q$$

in matching

$$= -g_m R_L \cdot \frac{1}{\omega_0 C_S \cdot 2 R_S} = -\frac{\omega_T}{\omega_0} \cdot \frac{R_L}{2 R_S}$$

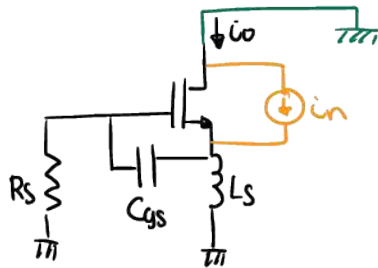
Annotations: g_m of CS topology (red), g_m of a impedance transformer network (green), increasing factor (red), gen of the common gate topology (green).

Per $\omega_0 < \omega_T$ allora il fattore A_V è aumentato

Quali sono le implicazioni nella noise figure?

• NOISE FIGURE

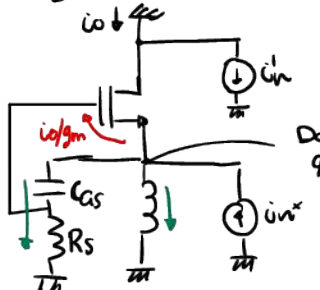
Per semplicità mettiamo la



Semplifichiamo i cati calcolando la corrente di cortocircuito della corrente

Dato avere un eq per relazionale i_n^* e i_o .

Ridisegniamo il circuito



$$i_n^* = i_n^*$$

$$v_{gs}$$

Dobbiamo fare Kirchhoff in questo nodo

$$i_n^* + i_o = -\frac{C_0}{g_m} \cdot S C_{gs} + \frac{-\frac{C_0}{g_m} \cdot S C \cdot R_S - \frac{C_0}{g_m}}{S L}$$

$\underbrace{\hspace{10em}}$
Corrente sull'induttore

la tensione ai capi di L_S
è la corrente che passa su
 $C \cdot R$ + la tensione su C_{gs}

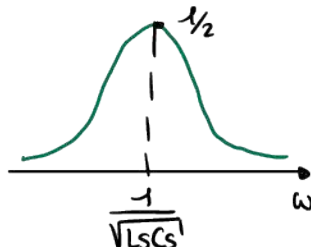
Allora

$$C_0 \left(1 + \frac{S C_{gs}}{g_m} + \frac{R_S C_{gs}}{g_m L_S} + \frac{1}{S g_m L_S} \right) = -i_n^*$$

Perciò

$$\frac{C_0}{i_n^*} = \frac{\frac{S g_m}{C_{gs}}}{S^2 + S \left(\frac{g_m}{C_{gs}} + \frac{R_S}{L_S} \right) + \frac{1}{L_S C_{gs}}}$$

Questa FDT è una passa banda, infatti ha un picco, con velocità massima:



$$\left| \frac{i_o}{i_n^*} \right|_{\text{at resonance}} = - \frac{J W_0 \frac{g_m}{C_{gs}}}{J W_0 \left(\frac{g_m}{C_{gs}} + \frac{R_S}{L_S} \right)}$$

moltiplichiamo tutto per L_S , ottengo quindi

$$! - \frac{wT Ls}{wT Ls + R_s} \rightarrow \text{Impedenza input matching} = -\frac{1}{2}$$

La FDT da inizio a ciò sottostante

$$\frac{i_o}{i_{in}} = 1$$

Se poi applico la sovrapposizione degli effetti ho che

$$\left| \frac{i_o}{i_{in}} \right|_{\text{ansatz}} = -\frac{1}{2} + 1 = \frac{1}{2} \leftarrow \text{deve essere un picco}$$

Le conseguenze di questo nella noise figure sono:

$$\begin{aligned}
 & \frac{i_o}{i_{in}} = \frac{\frac{4kT \alpha}{\omega} g_m \cdot \frac{1}{4}}{4kT R_s \cdot \frac{g_m^2}{\omega^2 C_{as}^2 L_s R_s^2} (g_m Q)^2} \\
 & = \frac{\alpha}{\omega} \frac{R_s \omega^2 C_{as}^2}{g_m} = \frac{\alpha}{\omega} \cdot \frac{w_b}{w_T} \cdot \underbrace{\frac{w_b C_{as} R_s}{\alpha}}_{Y_{Q_L} \text{ della rete mirata}} \\
 & = \frac{\alpha}{\omega} \frac{w_b}{w_T} \cdot \frac{1}{Q_L}
 \end{aligned}$$

Dove $Q_L = 2Q$

$\left| \frac{i_o}{i_{in}} \right|^2$
è una noise figure composta

Inoltre Q_L è il quality factor d'ogni network in matching, mentre Q è il quality factor dell'intera rete

Perciò la noise figure è

$$\text{NF} = 1 + \frac{\alpha}{\omega} \cdot \frac{w_b}{w_T} \cdot \frac{1}{Q_L}$$

Tipico termine C_a
 Shut Feedback

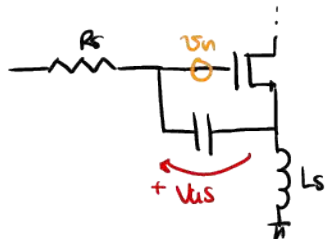
$\frac{w_b}{w_T}$
 reduction factor

$$\begin{aligned}
 & \text{R noise} \\
 & + \frac{4R_s}{R_L} \cdot \frac{(w_b)^2}{w_T}
 \end{aligned}$$

termine
 del C_a

Patterne di riduzione

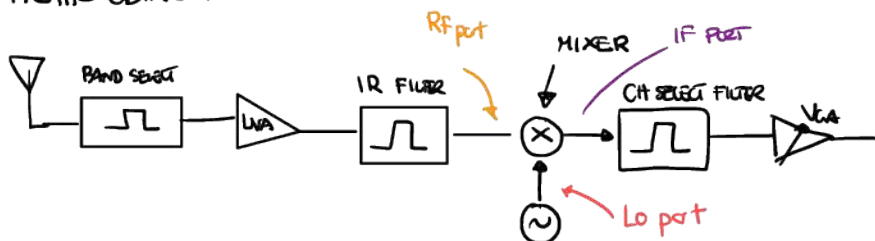
è molto buono questo risveglio perché se Q_L cessa e d'ossegnerà Q_L cessa sarebbe che V_{DS} si capi di C_{GS} cessa, questo significa che se il vinco di sui gate del mos varia in impiego molto piccolo perché V_{DS} è molto grande.



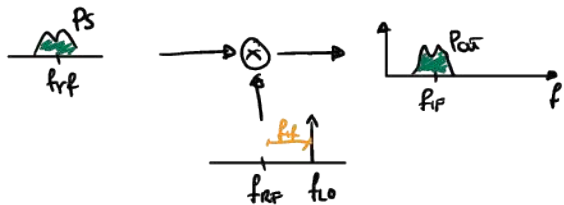
Però tenendo il quality factor otteniamo che il circuito funziona per bande molto strette

MIXERS

HETERODYNE RX



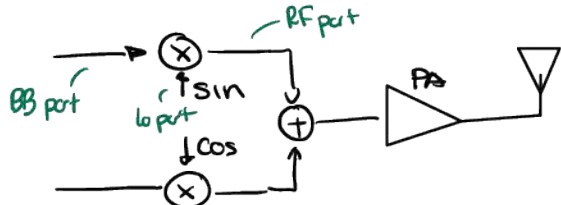
In questo caso il mixer è stato usato come down converter



$$\text{Dove } f_{IF} = f_{LO} - f_{RF}$$

abbiamo una potenza di ingresso P_in e una d'uscita P_out.

La stessa cosa accade in un trasmettitore



In questo caso il mixer è usato come upconverter.

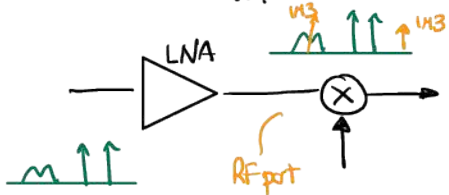
Quale sono le specifiche di un mixer

- Conversion Gain

$$G \triangleq \frac{P_{out}}{P_{in}} \leftarrow \frac{\text{Potenza di segnale a } f_{IF}}{\text{Potenza di segnale a } f_{RF}}$$

nel caso del downconverter.

- Linearity: il segnale alla porta RF sia linearmente trasferito alla porta IF.



Sia l'IP3 dell'LNA che l'IP3 del mixer sono importanti perché generano sempre sparte.
IP3 mixer

(IP3 of cascaded blocks. !!!)

- Noise figure: NF mixer. (LNA gain is limited in a Rx)

- Feed throughs: trasferimento di segnali non voluti da una porta all'altra.
esempio

LO - to - RF

LO - to - IF

RF - to - IF \leftarrow Significa che il segnale dall'input RF leakes all'uscita IF, quindi alla porta IF c'è anche una componente a freq.

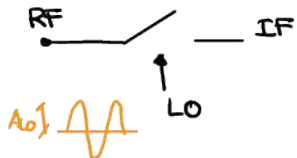
I feedthrough non vanno bene perché entro il range dinamico dei segnali che possono servire gli stadi successivi.

Circuiti per MIXER

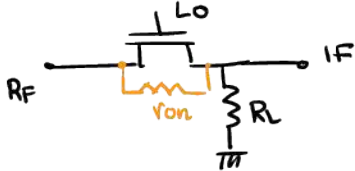
• PASSIVE RETURN-TO-ZERO (RZ) MIXER

È solo uno switch

Quando l'impresa è sotto o sopra un valore 2pro o chiude l'uscita

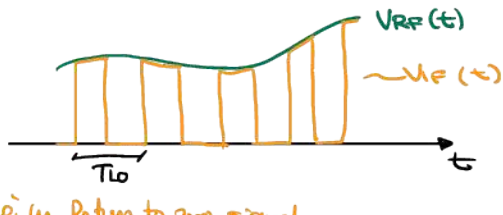


Per parlare in CHOS

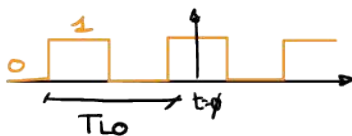


Il segnale va a 0 grazie a RL

Studiamo il circuito nel dominio del tempo



Definiamo una funzione SLO de il suo valore è 1 quando lo switch è chiuso e 0 quando è aperto

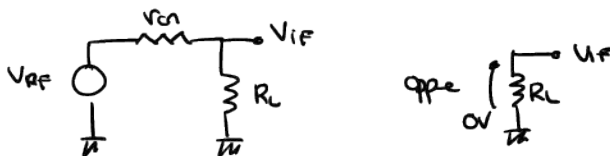


Il valore medio è $\frac{1}{2}$ con duty cycle 50%

Perciò possiamo scrivere $V_{IF}(t)$ in funzione di $V_{RF}(t)$

$$V_{IF}(t) \approx \frac{R_L}{R_L + r_{on}} \cdot S_{LO}(t) \cdot V_{RF}(t)$$

Approssimazione data dal fatto che r_{on} è costante e non dipende dalla tensione



quindi questo ideale è un linear time variant system.

Possiamo calcolare il guadagno di conversione supponendo il 50% del duty cycle per $S_{LO}(t)$ (square wave), allora

$$V_{IF}(t) = \frac{R_L}{R_L + r_{on}} \left[\frac{1}{2} + \frac{2}{\pi} \cos(\omega_{RF} t) + \dots \right] \cdot V_{RF}(t)$$

Fourier deve ora quadra

Dato il valore $\frac{1}{2}$ abbiamo un sistematico RF-to-IF Feedthrough.

IPOTIZZIAMO che $V_{RF}(t) = A \cos(\omega_{RF} t)$, allora

$$V_{IF}(t) = \frac{R_L}{R_L + r_{on}} \left[\frac{A \cos(\omega_{RF} t)}{2} + \frac{1}{2} A \cdot \frac{2}{\pi} \cos((\omega_{LO} - \omega_{RF})t) + \frac{1}{2} A \cdot \frac{2}{\pi} \cos((\omega_{LO} + \omega_{RF})t) + \dots \right]$$

RF-to-IF
Feedthrough

wanted signal

sogno perché mai
altro freq e vice filtrato

Se calcoliamo la conversione voltage gain.

$$A_V = \frac{V_{IF} (\omega_{LO} - \omega_{RF})}{V_{RF} (\omega_{RF})} = \frac{1}{\pi} \cdot \frac{R_L}{R_L + r_{on}}$$

Il massimo conversione gain sarà

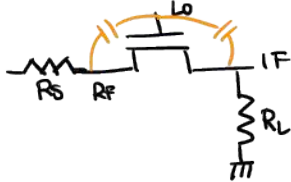
$$A_{Vmax} \rightarrow \frac{1}{\pi} \rightarrow = 10 \text{ dB}$$

• Linearity

Nella realtà v_{ds} dipende da v_{gs} e visto che v_{gs} dipende dal segnale d'input, allora abbiano non linearità.

La linearità del mixer migliora se $r_{on} \ll R_L \rightarrow$ Large Markets, ma questi risultano in grande impedimento percorso che andremo a discutere il feedthrough.

• Feedthrough

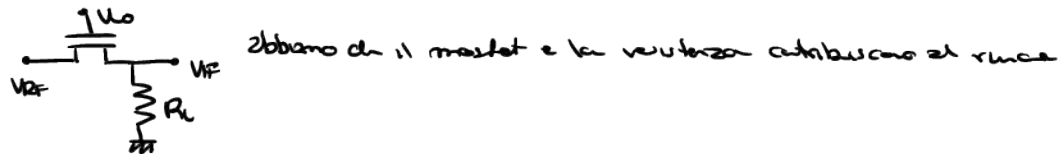


con le capacità presenti avremo

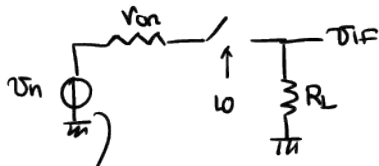
$\text{LO} - \text{to} - \text{IF}$ e $\text{LO} - \text{to} - \text{RF}$ Feedthrough

Abbiamo un trade off tra Linearity e Feedthrough.

• Noise in mixers



- MOS noise, modelliamo il circuito in modo che



V_n del transistor
(è la market noise)

$$\text{PSD}_{\text{SSB}} = 4kT_{\text{ron}} \quad \text{è un MOS in traccia quando è ON.}$$

$$\text{DIF}(t) = \text{Dn}(t) \cdot \text{Slo}(t) \cdot \frac{R_L}{R_L + r_{\text{on}}}$$

→ allora riceviamo la Power Spectral Density (PSD)

$$\text{PSD}_{\text{VIF}}^{\text{DSB}}(\text{f}) = \text{PSD}_{\text{Dn}}^{\text{DSB}}(\text{f}) * |\text{Slo}(\text{f})|^2 \cdot \left(\frac{R_L}{R_L + r_{\text{on}}} \right)^2$$

abbiamo usato la trasformata di Fourier perché è un sistema linea tempo variante.

Calcoliamo la trasc. d'Four. di Slo

$SLO(t)$



$SLO(f)$



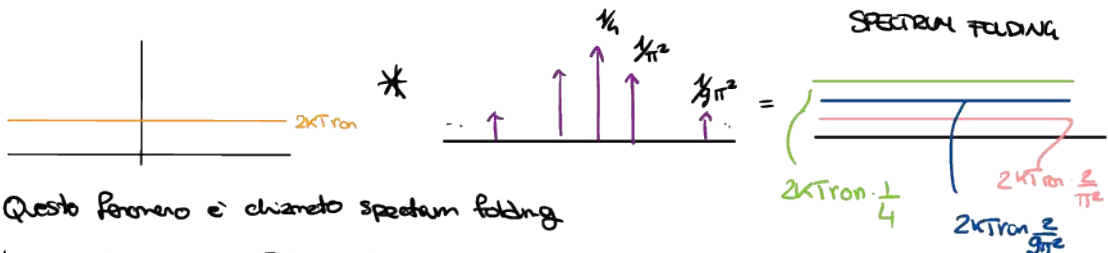
$$C_0 = \frac{1}{2}$$

$$C_1 = C_{-1} = \frac{1}{\sqrt{\pi}}$$

⋮

Questo significa che la PSD $\overset{\text{DOB}}{PSD}_{VIF}(f)$ sarà

$$\overset{\text{DOB}}{PSD}_{VIF}(f) = 2kT_{\text{tron}} * \sum_{k=-\infty}^{+\infty} |C_k|^2 \delta(f - kf_0) \cdot \left(\frac{R_L}{R_L + r_o}\right)^2$$



Questo fenomeno è chiamato spectrum folding.

Il risultato di questa PSD è allora

$$\overset{\text{DOB}}{PSD}_{VIF} = 2kT_{\text{tron}} \cdot \sum_{k=-\infty}^{+\infty} |C_k|^2 \cdot \left(\frac{R_L}{R_L + r_o}\right)^2$$

e' la potenza di $SLO(t)$

$$\int_{-\infty}^{+\infty} |SLO(f)|^2 df = \underbrace{\frac{1}{T_{\text{L0}}} \int_{0}^{T_{\text{L0}}} |SLO(t)|^2 dt}_{\text{Presa}}$$

quindi

$$\sum_{k=-\infty}^{+\infty} |C_k|^2 = \frac{1}{T_{\text{L0}}} \cdot \overbrace{\frac{T_{\text{L0}}}{2} \cdot 1}^{\text{e' l'integrale in un periodo dell'onda quadrato}} = \frac{1}{2}$$

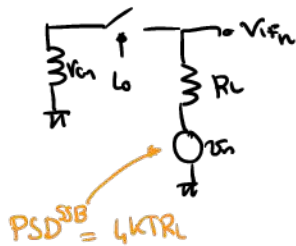
Allora la PSD sarà

$$\overset{\text{DOB}}{PSD}_{VIF} = 2kT_{\text{tron}} \cdot \frac{1}{2} \cdot \left(\frac{R_L}{R_L + r_o}\right)^2$$

Il modo intuitivo di vedere questa PSD è che Dn vei riportato che l'antenna genera dato della tensione diversa delle resistenze sotto al Sito questo infatti giustifica il risultato di $\overset{\text{DOB}}{PSD}_{VIF}$.

Tuttavia abbiamo anche R_L reale.

Il circuito è del tipo



La situazione è un polo dittato dallo switch.

$$V_F(t) = V_n(t) \cdot S_{ctrl}(t) \cdot \frac{R_{on}}{R_{on} + R_L} + D_n(t) \cdot \bar{S}_{ctrl}(t)$$

Quando lo switch è chiuso

quando lo switch è aperto.

Ho 2 funzioni S_{ctrl} e \bar{S}_{ctrl} perché in questo caso il rinculo è riportato all'antenna quando S_{ctrl} è aperto.



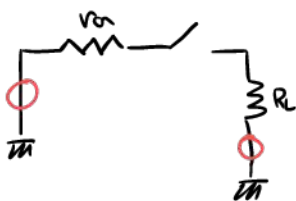
Per calcolare la PSD so che la capacità multipletata per S_{ctrl} sarà composta di peso $1/2$, e più visto che siamo DDS lo spettro della resistenza sarà $2KTR_L$. L'altra metà del tempo sarà quello di \bar{S}_{ctrl} , quindi sarà $1/2$ del peso moltiplicato per $1/2$.

$$PSD_{V_{IFn}}^{DSB} = 2KTR_L \cdot \frac{1}{2} \cdot \left(\frac{R_{on}}{R_{on} + R_L} \right)^2 + 2KTR_L \cdot \frac{1}{2}$$

L'espressione finale sarà dunque

$$\boxed{\begin{aligned} PSD_{V_{IFn}}^{SSB} &= 2KTR_L \left(\frac{R_{on}}{R_{on} + R_L} \right)^2 + 2KTR_L \left(\frac{R_{on}}{R_{on} + R_L} \right)^2 + 2KTR_L \\ &\stackrel{\text{PSD TOTALE}}{=} \text{Incluso mos} \\ &\quad \text{e } R_L \text{ nuova} \\ &= 2KT \cdot (R_{on} / R_L) + 2KTR_L \end{aligned}}$$

Spiegazione intuitiva



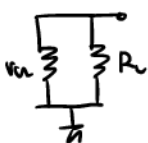
Quando l'interruttore è chiuso ho i 2 resistori in parallelo che danno rinculo a TIP e questo avviene per metà del tempo così ho

$$\frac{1}{2} \cdot 4KT \cdot (R_{on} / R_L)$$

L'altra metà del tempo ho semplicemente

$$\frac{1}{2} \cdot 4KTR_L$$

Switch on

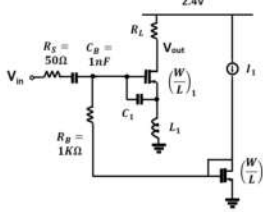


switch off



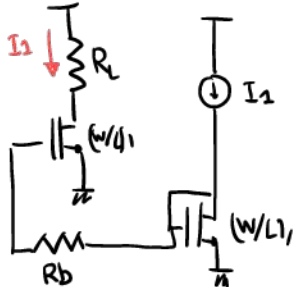
T11.1 Let us consider the LNA in figure, where the MOSFETs have threshold $V_T = 0.5V$, $\frac{1}{2}\mu C_{ox} = 0.1\text{mV/V}^2$, $(\frac{W}{L})_1 = 100$ and $\frac{L}{a} = 2/3$:

- Derive the bias point of the circuit and the analytical expression of V_{out}/V_{in} at $f_0 = 2.4\text{GHz}$, assuming input matching. Setting $R_L = 600 \Omega$, size L_1 , C_1 and I_1 to obtain (i) input matching and (ii) V_{out}/V_{in} equal to 12dB.
- Evaluate the noise figure of the circuit at 2.4GHz, neglecting the noise of the bias transistor.



[Sol. b] $L_1 = 5nH$, $C_1 = 0.88\text{pF}$, $I_1 = 1.95\text{mA}$; c) $Q = 1.5$, $NF = 3.92\text{dB}$

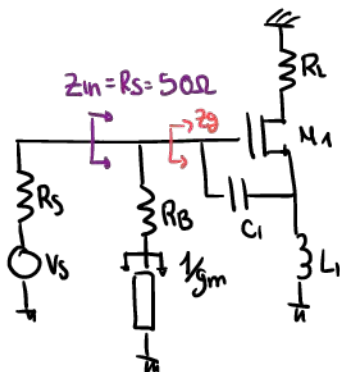
Punto a) Bias Point, il circuito in DC è



i 2 transistor hanno lo stesso W/L e sono messi in specchio di corrente (hanno la stessa V_{ds})

$$g_m = 2 \sqrt{\frac{1}{2} \mu C_{ox} \cdot \frac{W}{L} \cdot I_1}$$

Adesso devo ricavare V_{out}/V_{in} , con il modello a prodotti segreti



Non consideriamo C_B perché ha un valore molto alto e a 2.4GHz c'è come un corto

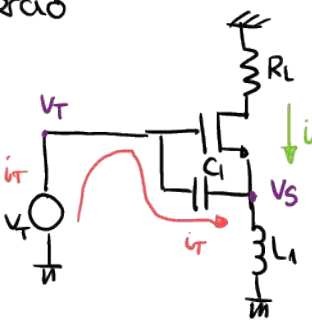
$$Z_{in} = Z_g \parallel (R_B + 1/g_m) = 50\Omega$$

sappiamo che $R_B = 1\text{k}\Omega$

visto che il risultato è 50Ω ed è il parziale di qualcosa di reale $1000 + j$ qualcosa altro lo trascuriamo perciò

$$Z_{in} = Z_g$$

Perciò



La corrente da scaricare nel condensatore è

$$\begin{cases} i_C = (V_T - V_S) s C_1 \\ \frac{V_S}{s L_1} = i_T + g_m(V_T - V_S) \end{cases}$$

$$V_S = V_T - \frac{i_T}{s C_1}$$

Perciò

$$V_S \left[\frac{1}{s L_1} + g_m \right] = i_T + g_m V_T$$

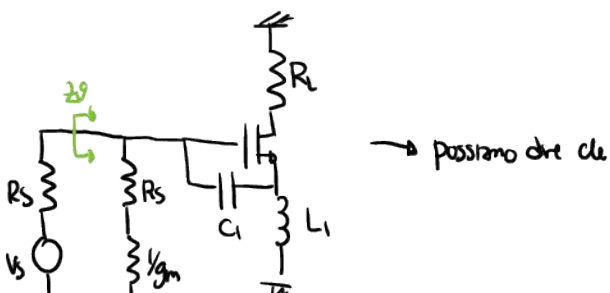
mettendo il valore di V_S , ottengo che

$$Z_g = \frac{V_T}{i_T} = s L_1 + \frac{1}{s C_1} + g_m \frac{L_1}{C_1}$$

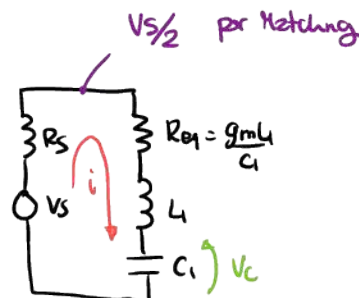
Per vogliamo $Z_g = R_S$, quindi a 2,4 GHz, perciò facciamo risuonare le parti reattive

$$\begin{cases} \omega_0 = 2\pi f_{GHz} = \frac{1}{T_0 C_1} \\ g_m \frac{L_1}{C_1} = R_S = 50\Omega \end{cases} \quad \text{input matching conditions}$$

Noi vogliamo trovare V_{out}/V_{in} , perciò



→ possiamo dire che



Trascurabile perché ha una grande impedenza e quindi da qui non entra corrente

Sappiamo che $V_{out} = -idR_L$ e che $id = g_m V_{GS} = g_m V_C$

Dobbiamo ricavare la tensione ai capi del condensatore

$$V_C = \frac{V_S}{2} \cdot \frac{\frac{1}{SC_1}}{\left(\frac{1}{SC_1} + S_L + R_{eq}\right)} \quad \frac{V_S}{2} \text{ per matching}$$
$$= \frac{V_S}{2} \cdot \left(\frac{1}{S^2 L C_1 + SC_1 R_{eq} + 1} \right)$$

Perciò

$$\frac{V_{out}}{V_S} = -R_L \cdot \frac{g_m}{2} \cdot \left(\frac{1}{S^2 L C_1 + SC_1 R_{eq} + 1} \right) \leftarrow$$

Se andiamo a vedere questo valore a 2.6 GHz ci viene che la tensione ai capi del condensatore è Q volte quella di input.

Noi non sappiamo il valore di g_m , lo ricaveremo in un altro punto.

Punto B)

Settiamo $R_L = 600\Omega$ ricavare L_1, C_1, I_1 per zere

$$\left| \frac{V_{out}}{V_S} \right| = 12 \text{ dB} \quad \text{in input matching a } \omega_0.$$

Sappiamo che

$$\left| \frac{V_{out}}{V_S} \right| = \frac{R_L g_m}{2} \left| \frac{1}{j\omega_0^2 L C_1 + j\omega_0 C_1 R_{eq} + 1} \right|$$
$$= \frac{R_L g_m}{2} \left| \frac{1}{j\omega_0 C_1 R_{eq}} \right| \quad \text{perciò abbiamo detto che } \frac{1}{\sqrt{L C_1}} = \omega_0$$
$$= R_L \frac{g_m}{2} \cdot \frac{1}{\omega_0 C_1 R_{eq}} = R_L \frac{g_m}{2} Q_C = 12 \text{ dB} = 10^{12/20}$$

Esprimiamo R_{eq}

$$R_L \cdot \frac{g_m}{2} \cdot \frac{1}{\omega_0 C_1 \cdot g_m L_1 / C_1} \rightarrow L_1 = S_n H$$

Da cui ricaviamo C facile $C = \frac{1}{\omega_0^2 L_1} = 880 \text{ pF}$.

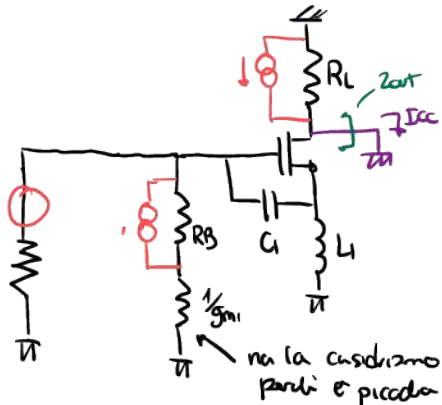
Ricaviamo ora l'ultima resistenza

$$R_{eq} = \frac{g_m L_1}{C_i} \text{ da cui ricavo } g_m = 8.8 \text{ mA/V}$$

e da g_m ricavo la vettore della corrente

$$g_m = 2 \sqrt{\frac{1}{2} \mu C_{ox} \left(\frac{W}{L}\right)_1 I_1} \rightarrow I_1 = 1.9 \text{ mA}$$

PUNTO C) noise figure del circuito a ω_0



La noise figure è definita come

$$NF = \frac{S_{Vout}^R}{S_{Vout}^R + S_{Icc}^R}$$

usando notaz (cato circuito in uscita no z nich che

$$NF = \frac{S_{cc}^{R_u}}{S_{cc}^{R_u} + R_L^2} \cdot \frac{R_L^2}{S_{cc}^{R_s} \cdot R_L^2}$$

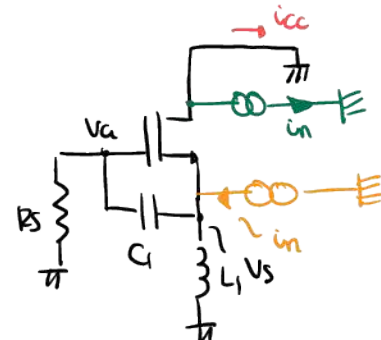
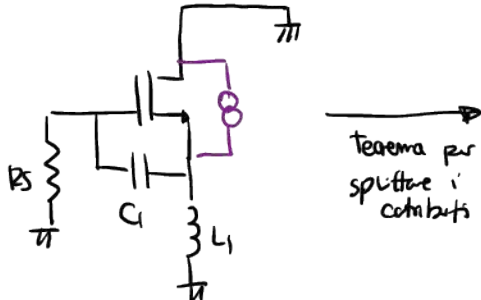
Compiti della noise figure

$$> R_L \quad S_{Icc}^{R_u} = \frac{4kT}{R_L}$$

$$> R_S \quad S_{Icc}^{R_s} = 4kTR_S \left| \frac{1}{2} Q_c g_m \right|^2 \quad \leftarrow \text{ho modellato il rumore in tensione visto che ho già } V_{ut}/h_n$$

$$> R_B \quad S_{Icc}^{R_B} = \frac{4kT}{R_B} \cdot \left(\frac{R_S}{2} \right)^2 Q_c^2 g_m^2 \quad \leftarrow \text{Questo rumore e' di conte, credo che il rumore sia moltiplicato per la } R_{eq} \text{ vista da L?}$$

NF del Mosfet



- $i_{CC}' = -in$
- Vediamo che i_{CC} è la corrente del mos $= -g_m(V_G - V_S)$

Dicendo che

$$V_g = V_S \frac{R_S}{\frac{1}{S_L} + R_S} = \frac{S_C R_S}{1 + S_C R_S} V_S$$

$$i_D = -g_m \frac{V_S}{1 + S_C R_S} = -i_{CC}$$

Dobbiamo bilanciare la corrente al nodo \pm sorgente

$$\begin{aligned} -i_{CC}'' + in &= \frac{V_S}{S_L} + \frac{V_S}{\frac{1}{S_L} + R_S} \\ &= V_S \left[\frac{1}{S_L} + \frac{S_C}{1 + S_C R_S} \right] \end{aligned}$$

sostituendo questa \uparrow in questa ottieno che

$$i_{CC}'' = \frac{in}{1 + \frac{S_C}{g_m} + \frac{(1 + S_C R_S)}{g_m S_L}}$$

Calcoliamo la contribuzione totale di tutto il mos

$$i_{CC} = i_{CC}' + i_{CC}''$$

$$\begin{aligned} &= -in + \frac{in}{1 + \frac{S_C}{g_m} + \frac{1 + S_C R_S}{g_m S_L}} \\ &= \frac{S^2 C_L L_1 + S C_R R_S + 1}{S^2 C_L L_1 + S [L g_m + C_R S] + 1} \end{aligned}$$

@ wo ottieno che

$$S_{OC}^{(1)} = \frac{4 K T g_m}{\alpha} \cdot \left| \frac{(j\omega_0)^2 C_L + j\omega_0 C_R S + 1}{(j\omega_0)^2 C_L + (j\omega_0) [L g_m + C_R S] + 1} \right|^2$$

Per noi $\frac{1}{R_{\text{in}}} = \omega_0$ quindi

$$= 4kTg_m \cdot \frac{\alpha}{\alpha} \cdot \left| \frac{R_s}{R_s + g_m L_C} \right|^2$$

Visto che siamo in matching condition gesto wee $1/2$

$$= 4kTg_m \frac{\alpha}{\alpha} \cdot \left| \frac{1}{2} \right|^2$$

La noise figure quindi è:

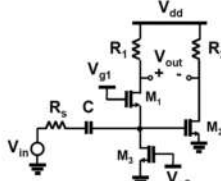
$$\begin{aligned} \text{NF} &= 10 \log_{10} \left[1 + \frac{S_{\text{ICC}} R_s + S_{\text{ICC}} R_B + S_{\text{ICC}} N_1}{S_{\text{ICC}} R_s} \right] \\ &= 10 \log_{10} \left[1 + \frac{1}{R_L R_s Q_c^2 g_m^2} + \frac{R_s}{R_B} + \frac{(\alpha/\alpha)}{R_s g_m Q_c^2} \right] \end{aligned}$$

Dove $Q_c = 1,51$

allora $\text{NF} \approx 3,96 \text{ dB}$.

T11.2 Let us consider the LNA in figure, where $V_{dd} = 1.8V$, $V_{g1} = 1.2V$, $V_{g3} = 0.6V$, $R_s = 50\Omega$, $R_2 = 300\Omega$, $C = +\infty$, and the MOSFETs have threshold $V_T = 0.5V$, $\frac{1}{2}\mu C_{ox} = 0.2 \text{ mA/V}^2$ and $\frac{Y}{\alpha} = 2/3$.

- Considering all noise sources (resistor thermal noise and MOS channel noise) and input matching, derive the expression for the noise figure. Are there any noise contributions that can be cancelled at the output?
- Size R_1 , $(\frac{W}{L})_1$, $(\frac{W}{L})_2$ and $(\frac{W}{L})_3$ to guarantee a voltage gain $V_{out}/V_{in} = 19.3 \text{ dB}$ and noise figure $\text{NF} = 3.6 \text{ dB}$.

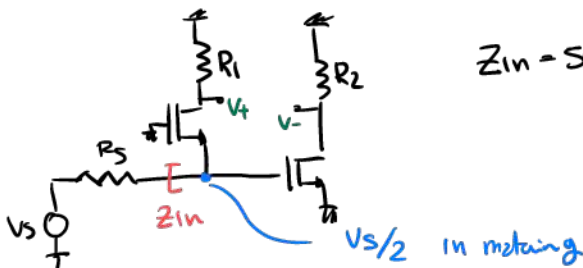


$$\begin{aligned} [\text{Sol. a)} g_{m1} R_s &= 1, \frac{R_1}{R_s} = g_{m2} R_2, \text{ NF} = 1 + \frac{Y R_2}{\alpha R_1} + \frac{Y}{\alpha} g_{m3} R_s + \frac{R_2}{R_1} \left(1 + \frac{R_2}{R_1} \right); \text{ b)} R_2 = 461\Omega, \left(\frac{W}{L} \right)_1 = \\ 500, \left(\frac{W}{L} \right)_2 &= 768, \left(\frac{W}{L} \right)_3 = 500] \end{aligned}$$

Single ended to differential conversion.

σ in noise cancellation LNA

Punto A) Esprimiamo la noise figure, iniziando calcolando il modello ac, l'impedenza di input e il guadagno in tensione



$$Z_{\text{in}} = S_{\text{eff}} R = \frac{1}{g_{m1}}$$

$V_s/2$ in matching

Calcoliamo il guadagno V_{out}/V_S che $V_{out} = V^+ - V^-$

$$V^+ = \frac{V_S}{2} \cdot g_{m1} R_1 \quad \rightarrow V_{out} = \frac{V_S}{2} g_{m1} R_1 - \left[-\frac{V_S}{2} g_{m2} R_2 \right]$$

$$V^- = -\frac{V_S}{2} \cdot g_{m2} R_2$$

equal gm condition: vogliano che i 2 ram abbiano lo stesso guadagno, per abbattere la comune mode

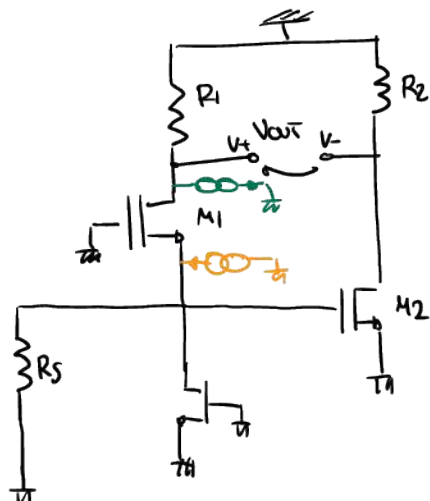
$$g_{m1} R_1 = g_{m2} R_2$$

seppiamo che $g_{m1} = \frac{1}{R_S}$ per matching, allora $\frac{R_1}{R_S} = g_{m2} R_2$

quindi:

$$\frac{V_{out}}{V_S} = \frac{\frac{1}{2} g_{m1} R_1 + \frac{1}{2} g_{m2} R_2}{\frac{1}{2} g_{m1} R_1 + \frac{1}{2} \frac{R_1}{R_S} R_2} = \frac{R_1}{R_S}$$

Iniziamo a calcolare i contributi di rumore all'output.



$$V_{out}^{H1} = V^+ - V^-$$

- $V^{+H1} = -R_1 \cdot \text{in}$ $V^{-H1} = \emptyset$ perché vede impedenza infinita del drain di M1

$$V_{out}^{H2} = -R_1 \cdot \text{in}$$

xe input matching

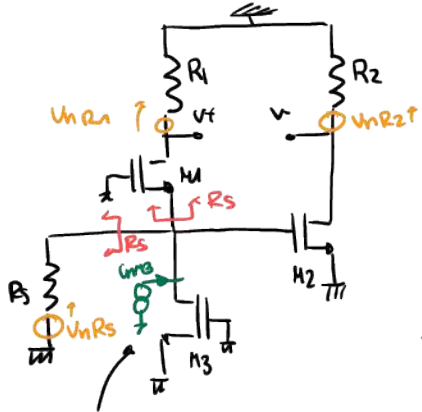
- $V^{+H2} = \frac{R_S}{2} g_{m1} R_1$ $V^{-H2} = -\frac{R_S}{2} g_{m2} R_2$ ricordiamo che $\frac{R_1}{R_S} = g_{m2} R_2$

$$V_{out}^{H1H2} = \ln \frac{R_1}{2} + \frac{R_1}{2} \cdot \text{in} = \text{in} R_1$$

$$V_{out}^{H2H2} = \emptyset$$

Questa topologia provoca alla noise cancellation del transistor M1, che è il più critico perché deve avere input matching.

Abbiamo ricavato la prima noise contribution, dobbiamo ricavare le altre



solo questo parziale è collegato a terra l'altro può quindi avere questo che è il totale

Per il transistor M3

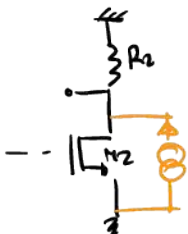
$$\begin{aligned} V_{out}^{M3} &= V^+ - V^- \\ &= \left[C_n M_3 \cdot \frac{R_1}{2} \right] - \left[-C_n M_3 \cdot \left(\frac{R_S}{2} \right) g_{m2} R_2 \right] \\ &= C_n M_3 \cdot \left[\frac{R_1}{2} + \frac{R_S}{2} g_{m2} R_2 \right] = C_n M_3 \cdot R_i \end{aligned}$$

e V_{out}^{M3}/V_{out} calcolato prima

$$S_{Vout}^{M3} = V_{nRs} \cdot \frac{R_1}{R_S}$$

$$S_{Vout}^{M3} = 4KTR_S \cdot \left(\frac{R_1}{R_S} \right)^2 = \frac{4KTR_S}{R_S} R_i^2$$

Per il mos M2



$$S_{Vout}^{M2} = 4KTR_S \cdot \frac{1}{\alpha} (R_2)^2$$

La rasse figura si calcola combinando tutti i valori

$$NF = 1 + \frac{4KTR_1 + 4KTR_2 + 4KTR_S \cdot g_{m3} R_i^2 + 4KTR_S \cdot g_{m2} R_2^2}{\frac{4KTR_S}{R_S} R_i^2}$$

$$\text{con } \frac{R_1}{R_S} = g_{m2} R_2, \text{ allora}$$

$$= 1 + \frac{R_S}{R_1} \left[1 + \frac{R_2}{R_1} \right] + \frac{\gamma}{\alpha} g m_3 R_S + \frac{\gamma}{\alpha} \left(\frac{R_2}{R_1} \right)$$

non abbanno i valori

PONTO B) Dimensionare i componenti R_1 , $\left(\frac{W}{L}\right)_1$, $\left(\frac{W}{L}\right)_2$, $\left(\frac{W}{L}\right)_3$ per zue

- $$- \frac{V_{out}}{V_S} = -19,3 \text{ dB}$$

- $$\cdot \text{NF} = 3,6 \text{ dB}$$

noi sappiamo che

$$\left| \frac{V_{out}}{V_S} \right| = \frac{R_1}{R_S} = 10^{-\frac{193}{20}} \rightarrow R_1 = R_S \cdot 10^{-\frac{193}{20}} = 461,3 \Omega$$

$$\bullet \quad \frac{R_1}{R_S} = g_{m2} R_2 \rightarrow g_{m2} = \frac{R_1}{R_S R_2} = 30,75 \text{ nA/V}$$

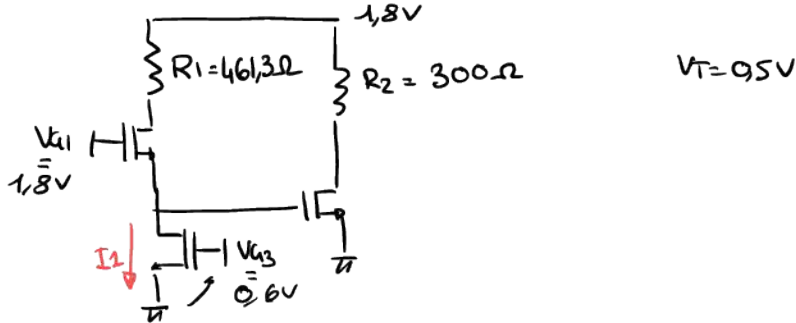
$$g_{mi} = f_{RS} - \frac{1}{50}$$

- Della NF ricavano gmz.

$$NF = 1 + \frac{R_S}{R_1} \left[1 + \frac{R_2}{R_1} \right] + \frac{\alpha}{\alpha} g m_3 R_S + \frac{\alpha}{\alpha} \frac{R_2}{R_1} = 10^{3.6/10}$$

$$\text{da cui } g_{M3} = 20.35 \text{ mA/V}$$

Con questi valori ricevere il bass point



$$\text{Sopprimo da } g_{m3} = \frac{2I_1}{V_{ov3}} \rightarrow I_1 = 0,1 \cdot \frac{g_{m3}}{2} = 102mA$$

Qund

$$I_1 = \frac{1}{2} \mu_n C_{ox} \left(\frac{W}{L}\right)_3 (V_{GS3})^2 \rightarrow \left(\frac{W}{L}\right)_3 = 509$$

• Seppremo un

$$g_{m1} = k_{PS} = 2 \sqrt{\frac{1}{2} \mu_n C_{ox} \left(\frac{W}{L}\right)_1 I_1} \rightarrow \left(\frac{W}{L}\right)_1 = 492$$

Ricorremo zedesso V_{GS1} d' M1 per zare V_S

$$g_{m1} = \frac{2I_1}{V_{GS1}} \rightarrow V_{GS1} = 100 \text{ mV}$$

zhera

$$V_{GS1} = V_{DD} + V_T = 0.6 \text{ V} \quad \text{zhera } V_S = 1.2 - 0.6 = 0.6 \text{ V}$$

Qnd

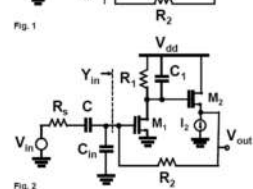
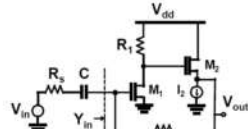
$$V_{GS2} = V_S = 0.6 \text{ V}$$

Seppremo un

$$g_{m2} = 2 \cdot \frac{1}{2} \cdot \mu_n C_{ox} \left(\frac{W}{L}\right)_2 \cdot V_{GS2} \rightarrow \left(\frac{W}{L}\right)_2 = 782$$

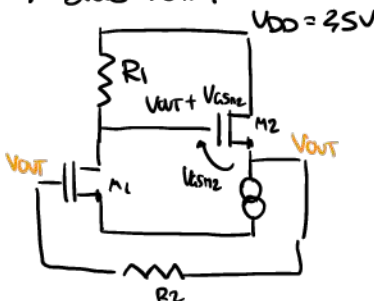
T11.3 Let us consider the LNA in figure, where $V_{dd} = 2.5 \text{ V}$, $R_s = 50 \Omega$, $C = +\infty$, $I_2 = 1 \text{ mA}$, $R_1 = 1.5 \text{ k}\Omega$, and the MOSFETs have threshold $V_T = 0.5 \text{ V}$, $\frac{1}{2} \mu_n C_{ox} = 0.2 \text{ mA/V}^2$, $(W/L)_1 = 400$, $(W/L)_2 = 125$ and $\frac{V}{\alpha} = 2/3$.

- Referring to the circuit in Fig. 1, derive its bias point and the expression for the input admittance Y_{in} . Size R_2 to ensure input matching.
- Assuming input matching for the previous circuit, derive the expressions for voltage gain V_{out}/V_{in} and noise figure considering only thermal noise from R_2 and R_s .
- Referring now to the circuit in Fig. 2, where $C_{in} = 1 \text{ pF}$, derive the expression for the input admittance Y_{in} . Under the assumption that $\omega \ll 1/R_1 C_1$, size C_1 in order to preserve input matching.



[Sol. a) $R_2 = 1.15 \text{ k}\Omega$; b) $\frac{V_{out}}{V_{in}} = \frac{1}{2} \left(1 - \frac{R_2}{R_s}\right) = -11$, NF = 0.7 dB; c) $C_1 = 33 \text{ fF}$]

Punto a) Bias Point



Nel pessa corrente su M2

$$I_2 = 1 \text{ mA}$$

$$I_2 = \frac{1}{2} \mu_n C_{ox} \left(\frac{W}{L}\right)_2 (V_{GS2})^2$$

$$V_{GS2} = 200 \text{ mV}$$

$$\text{Allora } V_{AS2} = V_T + V_{oT2} = 700 \text{ mV} \rightarrow g_{m2} = 10 \text{ mA}$$

Come si bilancia per M_2

$$\frac{(V_{DD} - [V_{gSM2} + V_{oT2}])}{R_1} = \frac{1}{2} \mu_F \cdot \left(\frac{W}{L}\right) (V_{oT} - V_T)^2$$

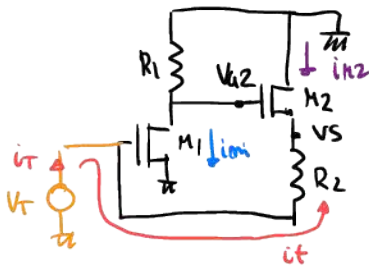
Si ricava V_{oT} da qui, perciò $V_{oT} = 600 \text{ mV}$ (eq ± 2° gradi)

Perciò

$$I_1 = \frac{[V_{DD} - (V_{gSM2} + V_{oT})]}{R_1} = 200 \text{ } \mu\text{A}$$

$$g_{mi} = 16 \text{ mA/V}$$

Velocità dell'ammittanza d'ingresso, e per dimensionare R_2 per input matching



Possiamo dire che la carica di drain di M_2 è meno di

$$\begin{cases} iD_2 = -iD \\ iD_2 = g_{m1}V_T \end{cases}$$

A noi interessa V_T/it

$$V_{d2} = -V_T g_{m1} R_1$$

$$\text{Allora } iD_2 = g_{m2} [-V_T g_{m1} R_1 - V_S]$$

$$\text{dove } V_S = V_T - R_2 it$$

Quindi:

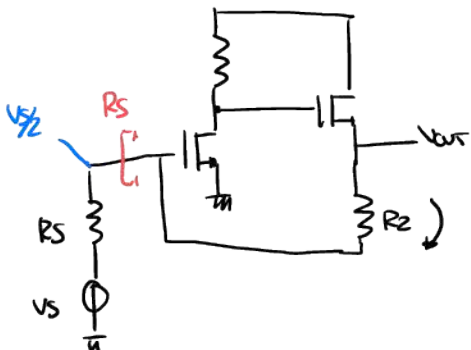
$$iD_2 = -it = g_{m2} [-V_T g_{m1} R_1 - (V_T - R_2 it)]$$

$$Y_{in} = \frac{it}{V_T} = \frac{g_{m2} [1 + g_{m1} R_1]}{(1 + g_{m2} R_2)}$$

$$\text{Velocità di } R_2 \text{ per } Y_{in} \quad Y_{in} = \frac{1}{R_S} = \frac{1}{50 \Omega}$$

$$\text{Allora } R_2 = 1,15 \text{ k}\Omega$$

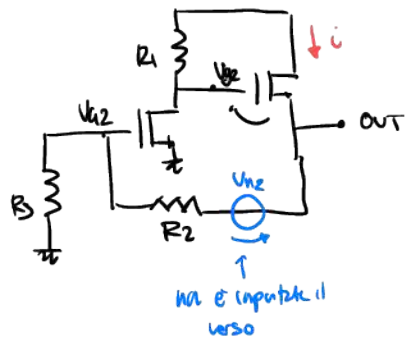
Punto B) Ricorre il guadagno V_{out}/V_S in input matching



La corrente passa tutta per R_2 visto che il gate ha impedenza infinita, zero

$$\begin{aligned} V_{out} &= \frac{V_S}{2} - \frac{V_S \cdot R_2}{2R_S} \quad \text{è la corrente di scarico} \\ &= (\text{tensione} - \text{caduta sulla resistenza } R_2) \\ &= \frac{V_S}{2} \left[1 - \frac{R_2}{R_S} \right] \end{aligned}$$

Noise figure per la resistenza R_2 e R_S



$$i = g_m [V_{g2} - V_{out}]$$

$$V_{g2} = \frac{(V_{out} - V_N)}{(R_2 + R_S)} \cdot R_S [g_m, R_1]$$

Ricavo V_{g2} ricavando la tensione i gate di V_{g2} perché tutta la corrente i scorreva su R_2 e R_S come se fossero in serie

So anche che $i = \frac{(V_{out} - V_{N2})}{R_2 + R_S}$

Combinando le eq ricaviamo da

$$\frac{(V_{out} - V_{N2})}{R_2 + R_S} = g_m [\frac{(V_{out} - V_N) \cdot R_S \cdot g_m \cdot R_1 - V_{out}}{(R_S + R_2)}]$$

Io sono interessato a V_{out}/V_{N2}

$$\frac{V_{out}}{V_{N2}} = \frac{g_m \cdot g_m \cdot R_1 \cdot R_S}{1 + g_m \cdot g_m \cdot R_1 \cdot R_S + g_m \cdot [R_S + R_2]} \approx 1$$

Cioè non utilizza Gloop e G10 ma usa una tecnica di progettazione in paese di +

Punto C)

MIXERS

Input-referred noise

$$\text{PSD}_{\text{DRF}} = \frac{\text{PSD}_{\text{VIF}}}{A^2}$$

$$\text{Dove } A_v = \frac{1}{\pi} \frac{R_L}{R_L + R_{\text{in}}}$$

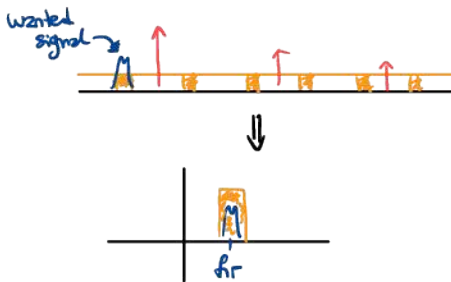
$$\text{e } \text{PSD}_{\text{VIF}} = 2kT(R_{\text{in}} // R_L) + 2kTR_L$$

Se minimizziamo PSD_{DRF} notiamo che esiste un minimo dato da

$$\min \text{PSD}_{\text{DRF}} = \underbrace{117 \cdot kT \cdot R_{\text{in}}}_{\text{Per } R_L = \sqrt{2} \cdot R_{\text{in}}}$$

mixer noise è tipicamente maggiore della source noise \rightarrow noise figure contribution relevant

Tipicamente non possiamo non considerare un Mixer senza il suo rumore, per questo nei perfetti zee un LNA prima del mixer

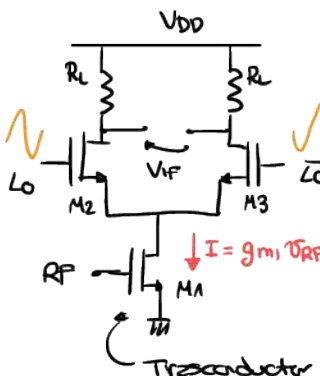


Tutto il rumore attorno alle componenti LO, LO2, LO3 viene riportato a f_r.

Spectrum folding (?)

Nei mixer non possiamo spostare il rumore da ingresso e uscita perché segnale e rumore hanno guadagno diversi.

Se ho un filtro prima del mixer sul segnale rf posso togliere intere zone e diverse figure ma il rumore del mixer rimane e non si può togliere.

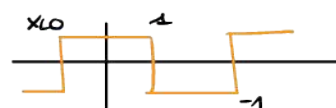
Active mixersDove \bar{I}_0 è l'opposto di I_0 Se M_2 è in saturazione

$$I_m = g_m \cdot \text{DRF}$$

Allora

Linear Transistor model

$$V_{\text{IF}}(t) = g_m \cdot \text{DRF}(t) \cdot X_{\text{LO}}(t) \cdot R_L$$

Dove $X_{\text{LO}}(t) =$ 

Stiamo assumendo full switching tra M₂ e M₃ e supponiamo 50% duty cycle, supponiamo anche che M₁ è sempre in saturazione e che se linea. (Se si ha che pote le reale idealità di 3° ordine perché è un transconduttore)

Conversion Gain

$$AV = \frac{V_{IF}(w_{RF} - w_0)}{V_{RF}(w_{RF})}$$

$$V_{RF}(t) = A \cos(w_{RF} t)$$

$$\begin{aligned} V_{IF}(t) &= g_{m1} R_L \cdot A \cos w_{RF} t \cdot \left(\frac{4}{\pi} \cos(w_0 t) - \frac{4}{3\pi} \cos(3w_0 t) + \dots \right) \\ &= g_{m1} R_L \cdot A \underbrace{\frac{4}{\pi} \cdot \frac{1}{2} \cos(w_{RF} - w_0) t + \dots}_{V_{IF}(w_{RF} - w_0)} \end{aligned}$$

Perciò

$$AV = \frac{g_{m1} R_L \cdot A \cdot \frac{4}{\pi} \cdot \frac{1}{2}}{A} = \frac{2}{\pi} g_{m1} R_L$$

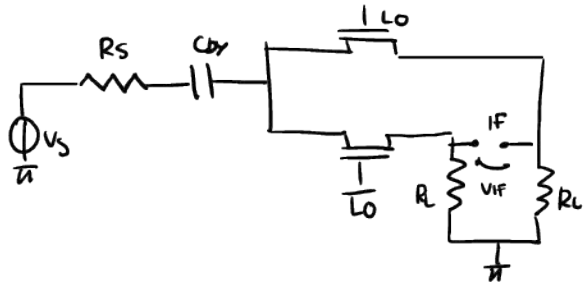
$g_{m1} \cdot R_L$ può essere > 1

è un mixer mixer perché abbiano w_2 corrente DC da quella che ci dà $g_{m1} \cdot R_L$.

Altra cosa importante, in questo circuito ideale la RF to IF feedthrough è ideale per (vero solo se abbiamo duty cycle del 50% e nessuna capacità parassita).

Non ho feedthrough perché gesto topologia è chiamata Single balanced mixer cioè ho una comune differenziale che serve a togliere il feedthrough.

ESISTE ANCHE UN PASSIVE SINGLE-BALANCED MIXER



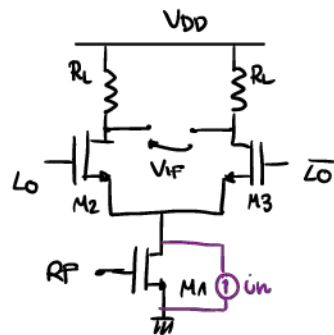
è passivo perché non abbiano corrente DC.

In questo caso abbiamo

$$AV = \frac{2}{\pi} \cdot \frac{R_L}{R_L + r_{on}}$$

Anche in questo caso ideale abbiamo zero RF to IF feedthrough

Torniamo al mixer attivo sopra e calcoliamo il rumore



Possiamo calcolare intuitivamente la PSD come

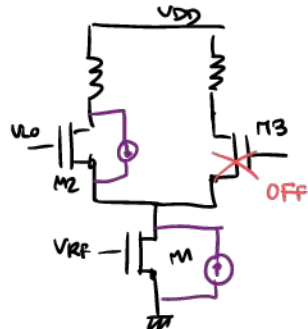
$$\text{PSD}_{\frac{\text{SSB}}{V_{IF}}} = \text{Unbalanced} \quad 2 \times 4 \times K \times T \times R_L + 4 \times K \times T \times g_m \times R_L^2$$

Perché ci sono 2 rumori di tipo (questo rumore c'è sempre)

$V_{IFn} = R_L \cdot u_{in}(t) \cdot x_{col}(t)$
(ma $x_{col}(t)$ è -1 e +1 mai zero
quindi la sua potenza è sempre 1
quindi ho questo rumore in uscita)

$\text{PSD}_{M_2} = \text{PSD}_{M_3} = \emptyset$ perché M_2 e M_3 sono cascaded da T_1 , supposto che M_2 e M_3 transizionano in modo istantaneo

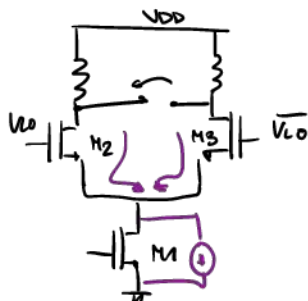
Nell'unbalanced condition



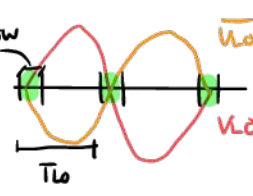
Vediamo che M_2 è cascaded perché il circuito è in una condizione di unbalance e quindi il rumore di M_1 è importante

$$\text{PSD}_{\frac{\text{SSB}}{V_{IF}}} = \text{Unbalanced} \quad 2 \times 4 \times K \times T \times R_L + 4 \times K \times T \times g_m \times R_L^2$$

Esiste anche la condizione di balance (condizione tipo di un differenziale)



Se sia M_2 che M_3 accesi il rumore si bilancia dato il comportamento differenziato



t_w : tempo dove no il circuito è balance

altro è due è unbalance

Nel caso balanced la PSD è calcolabile come

$$\left. \text{PSD} \right|_{\text{VIFN}}^{\text{BALANCED}} = 2 \cdot 8kT R_L + 2 \cdot 4kT \frac{\alpha}{\alpha} g_m R_L^2$$

Perdi il rumore H₂+H₃

Non ho H₂ perché c'è un rumore common mode e quindi si cancella
(POTESI)

- Se ho uno switch quasi istantaneo $\text{PSD} \approx \text{PSD} \mid^{\text{UNBALANCED}}$
- Se ho un passabasso all'input del mixer (L_O) allora in media ho

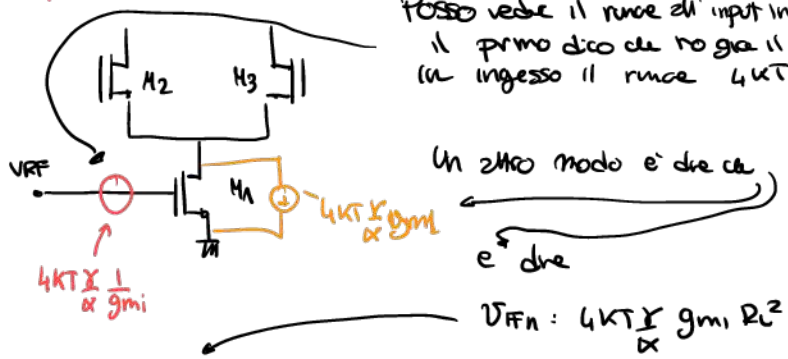
$$\text{PSD}_{\text{SSP}} = \text{PSD} \mid^{\text{UNBAL}} \cdot \left(1 - \frac{2t_{\text{BW}}}{T_{\text{LO}}} \right) + \text{PSD} \mid^{\text{BAL}} \cdot \frac{2t_{\text{BW}}}{T_{\text{LO}}}$$

Duty cycle del tempo non bilanciato

Duty cycle del tempo bilanciato

Tipicamente ho sempre un passabasso all'ingresso di un mixer.

Input referred mixer noise



Facciamo l'input referred

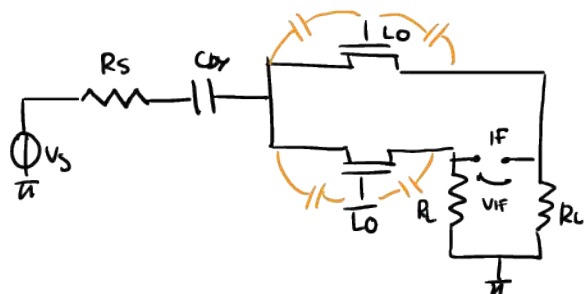
$$\frac{\text{PSD}_{\text{VIFN}}}{A^2} = \frac{4kT \frac{1}{\alpha} g_m i R_L^2}{\left(\frac{2}{\pi}\right)^2 g_m i R_L^2} = \pi^2 kT \cdot \frac{1}{\alpha} \cdot \frac{1}{g_m i}$$

NOTIAMO CHE SONO DIVERSI !!! UNO DEI 2 È SBAGLIATO, QUALE?

Nei mixer il guadagno ingresso uscita è diverso tra rumore e segnale perché il segnale di solito è passato tra filtri passabasso ecc. mentre il rumore è wideband.

Capiamo quindi che il metodo giusto è il secondo quello con π

Quali sono gli altri feedthrough di questa topologia (sia passiva e attivo)

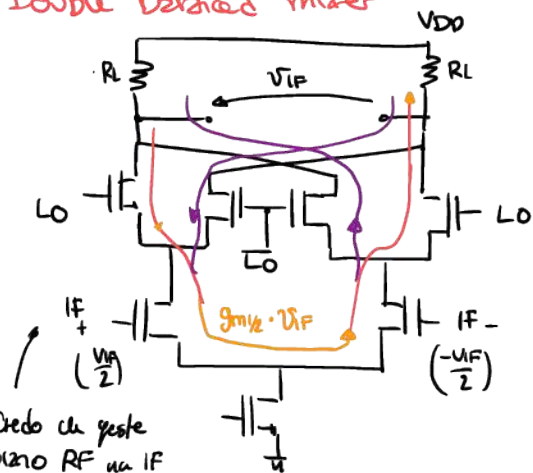


Abbiamo anche queste capacità

Se suppliamo i mos ibitri allora la LO - to - RF feedthrough è nulla però si capiscono ma la LO to IF feedthrough c'è comunque

Esiste un modo per avere tutti i feedthrough nulli?

Double balanced mixer



$$V_{IF} = g_{m1} \cdot V_{IF} \cdot R_L \cdot X_{LO}(t)$$

= ca LO positivo

= ca LO negativo

$$A_V = \frac{2}{\pi} g_{m1} \cdot R_L$$

Se consideriamo le capacità parassite



Allora se lo zetta e quindi Z_0 diminuisce visto che ho sempre 2 mos contraddi di segnali opposti allora al nodo d'usita ho una variazione di circa 0

Si chiama Double balanced perché sia lo di RF sono 2 segnali differenziali

Esiste anche il double balanced mixer passivo

La linearità di questo circuito è data dalla linearità del transduttore.

Linearity in active mixers

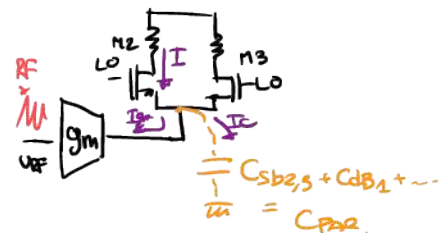
Le cose importanti

- Linearietà dello stage di g_m

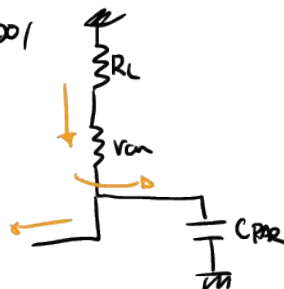
- Un'altra cosa da tenere conto è la capacità parasitaria che a RF non è nulla, zero un po' difficile di correre.

Abbiamo una linearità quando questo paritore versa con il segnale quando M_2 e M_3 vanno da saturazione a triodo.

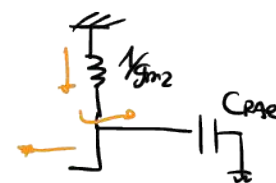
Perciò se vanno in triodo lo fa



(TRIODO)



(Saturazione)



Se andiamo da saturazione a triodo versa il paritore si corregge

Per avere stabilità dovo avere M_2 e M_3 sempre in saturazione, quindi la ampiezza di LO deve essere limitata per non far andare M_2 e M_3 in set.

18.05.2021

Lezione

3h

Transceiver Architectures

Ricevitori

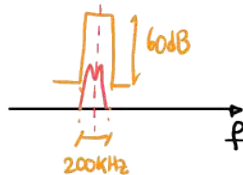
Le caratteristiche più conosciute sono

- Heterodyne architecture
 - Single IF
 - Double IF
- Direct-conversion o Zero IF receiver
- Sliding IF
- IF Sampling



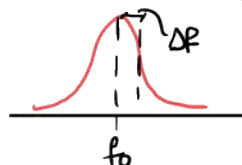
Il filtro dell'antenna attenua le interferenze fuori della banda.

La channel selectivity nei sistemi wireless è nell'ordine di 60dB



Se uso un filtro LC (2° ordine) l'attenuazione da passo fine è quella a 3dB

$$|T(j\Delta f)| \approx \frac{f_0/2Q}{\Delta f} = \frac{f_{3dB}}{\Delta f}$$



vale per $\Delta f \gg f_0/2Q$

questo vuol dire che se voglio -60dB, allora

$$|T| = 10^{-3} = \frac{f_0}{\Delta f} \cdot \frac{1}{2Q}$$

Allora f_0 supponiamo 2GHz e $\Delta f = 100\text{KHz}$ perché è metà la banda del segnale wireless. Allora calcoliamo Q

$$Q = \frac{2 \cdot 10^9}{10^5} \cdot \frac{1}{2 \cdot 10^3} = 10^7 \leftarrow \text{encore}$$

Inoltre $f_{3dB} - \frac{f_0}{2Q} = 100\text{Hz}$ che sarebbe troppo stretta per il segnale.

Capiamo quindi che un filtro LC semplice non si può usare.

- Supponiamo di usare un filtro 2n-th ordine.

- Filter Butterworth

$$|T(j\Delta f)| = \left(\frac{f_{BW}}{\Delta f} \right)^n$$

500KHz
100KHz

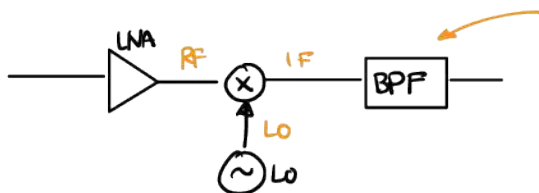
e lo impiego uguale a 60dB, allora

n=10 quindi 20 poli, che non è per nulla raccomandato

Inoltre la channel selectivity non è attivabile, infatti il circuito dovrebbe essere tunabile.

La soluzione è l'Heterodyne receiver

Heterodyne



Offset SAW Filter

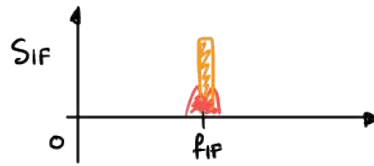
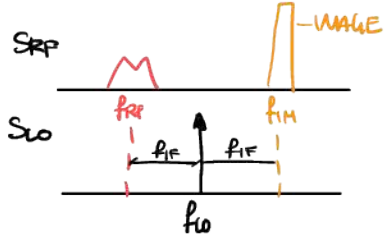
$50 \div 60 \text{ dB}$ selectivity at frequencies $10 \div 100 \text{ MHz}$.

- 2 vantaggi, filtro non tunabile e frequenze + basse che RF.

Perciò io voglio IF basso per migliorare la seleattività del filtro.

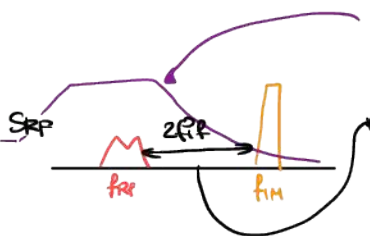
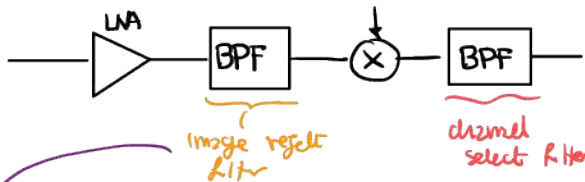
Problema: IMAGE PROBLEM

Con questo heterodyne non solo converto il segnale ma anche un'altro
alla frequenza immagine che è simmetrica rispetto alla LO frequency



La SNI è degradata da questo problema.
(Signal Noise Interference)

Una possibile soluzione IR filter (Image rejection), filtro che metto prima del mixer

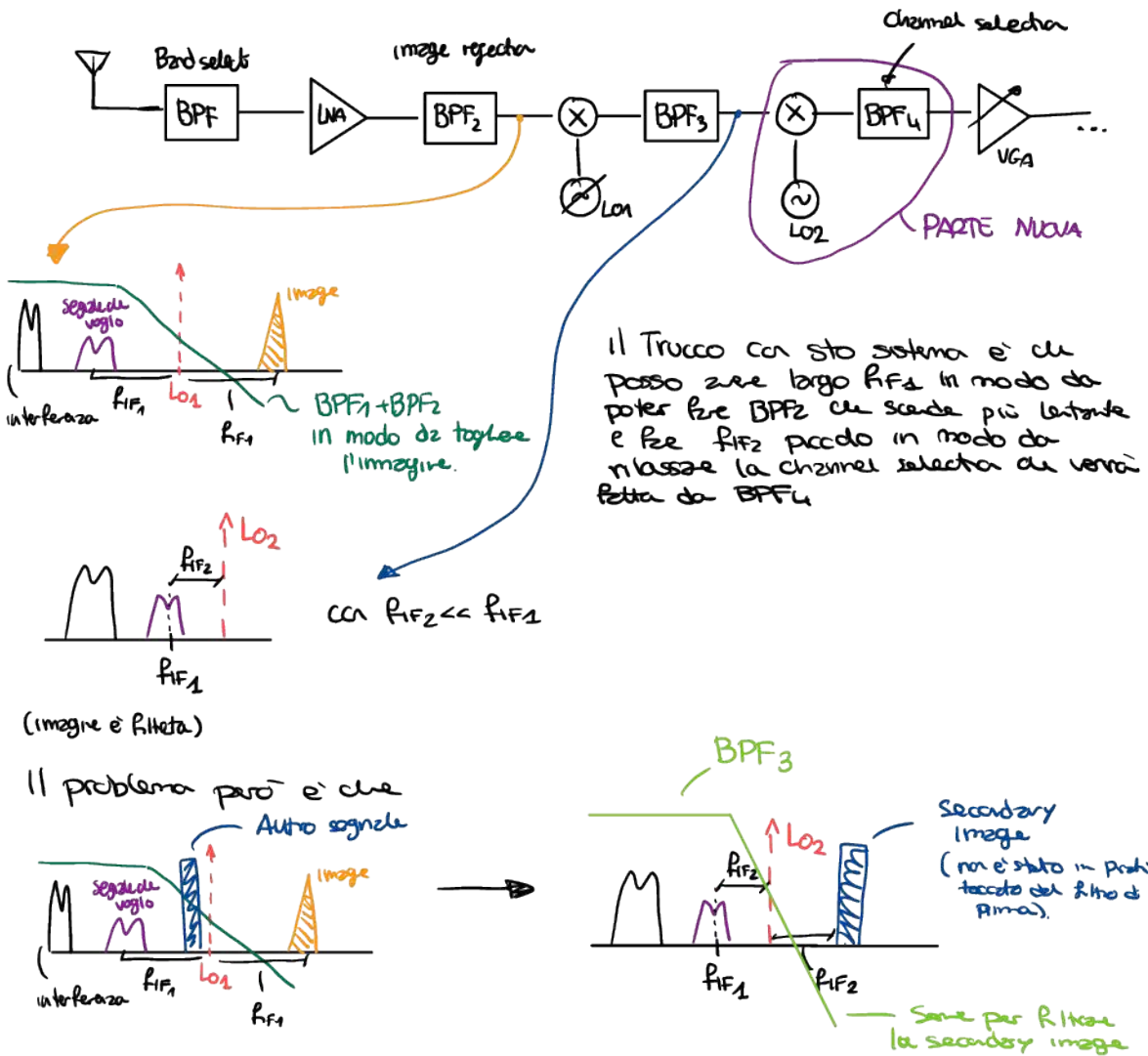


In questo caso vogliamo una alta IF frequency per
migliorare l'image rejection, così possiamo usare il
filtro meno piccolo

trade off tra $\left\{ \begin{array}{l} \text{RX sensitivity (image)} \rightarrow \text{IF alto} \\ \text{RX selectivity (in-band interference)} \rightarrow \text{IF basso} \end{array} \right.$

Questa soluzione è così così perché c'è uno trade-off.

Un'altra soluzione per ridurre il trade-off è l'uso della dual IF architecture



Tuttavia gestire un portello a fare \$f_{IF_2}\$ largo per ridurre l'immagine è lo stesso problema iniziale, quindi quelli sono il vantaggio di questa modularità?

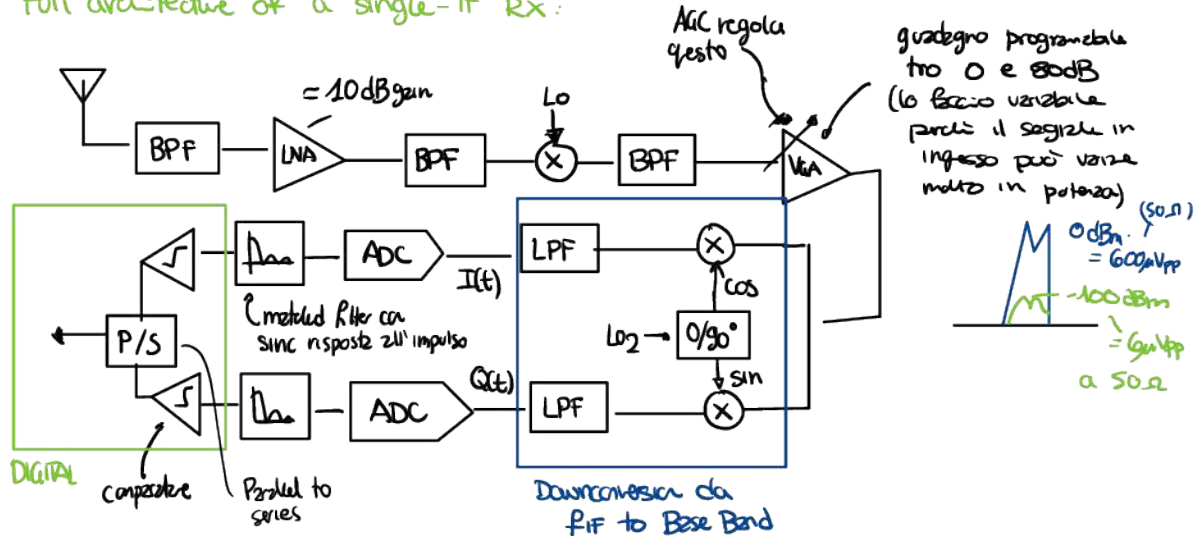
Il vantaggio è che \$f_{IF_1}\$ è molto più bassa di \$f_{RF}\$ quindi il filtro \$BPF_3\$ è già più ribassato, non sono + ed ette frequenze come prima.

Nel caso del single IF avremo che $Q \div \frac{f_{IF}}{2f_{IF}}$

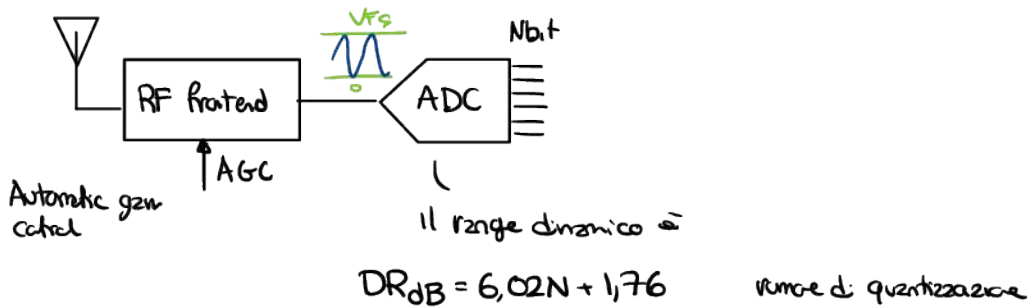
Al contrario nel doppio IF avremo che $Q \div \frac{f_{IF_1}}{2f_{IF_2}}$

Benché f_{IF_2} sia piccolo anche f_{IF_1} è abbastanza piccolo quindi il quarto lettore va alle stelle.

Full architecture of a single-IF Rx:

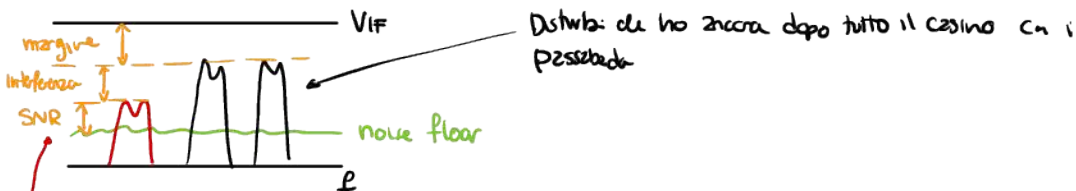


Uso il VCA variabile perché voglio sfruttare l'ADC



In pratica andando a potenza massima abbasso il rumore è quantizzazione, infatti posso vedere il range dinamico come

$$DR = \frac{P_S}{P_Q} = \frac{\text{Potenza segnale}}{\text{Potenza rumore + quantizzazione}}$$



Tipicamente $SNR \approx 12 \text{ dB}$

Disturbi: che ho ancora dopo tutto il casinò che i possiedono

$DR = SNR + \text{Unfiltered interference ratio} + \text{margin (AGC errors, fading...)}$

↑
requirement

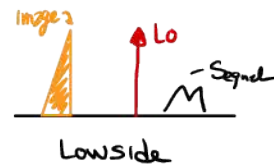
Supponiamo $SNR = 12\text{dB}$, Unfiltered interference = 26dB , Margin = 22dB

Allora $DR = 60\text{dB} \rightarrow N = 50 \text{ bit. (ENOB equivalent number of bits)}$

ENOB sono solo il numero di bit effettivi, tipo il numero di bit che daremo due per quei quelli SNR.

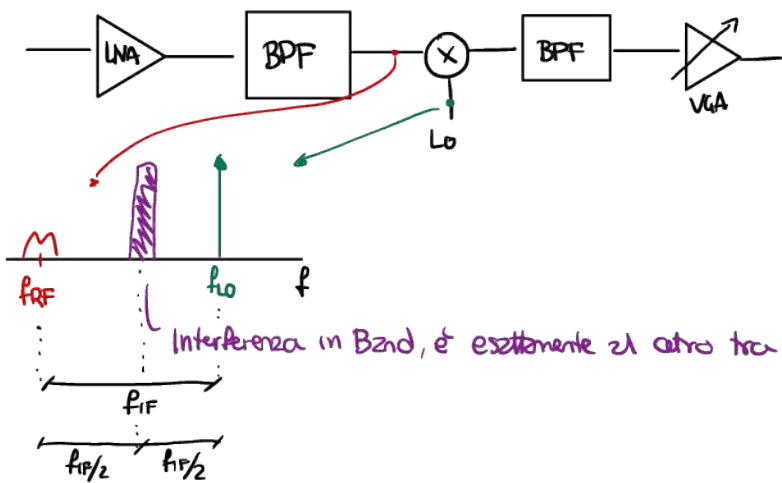
Altra roba

In questi tipi di sistemi Heterodyne posso avere un high o low side LO injection



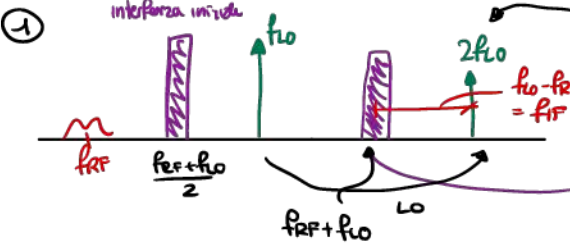
Se sappiamo che ad alta freq ho molte interferenze posso usare un low side LO

Un altro problema dei ricevitori Heterodyne è l'Half-IF problem



C. Sono 2 meccanismi per cui posso avere questo

- 1) Il LO ha una 2a armonica + LNA ha una non linearità del secondo ordine
- 2) VGA ha una 2a ordine di non linearità

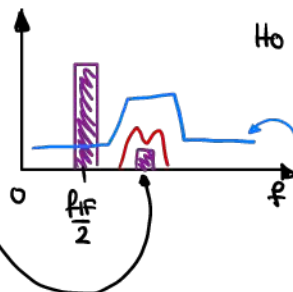
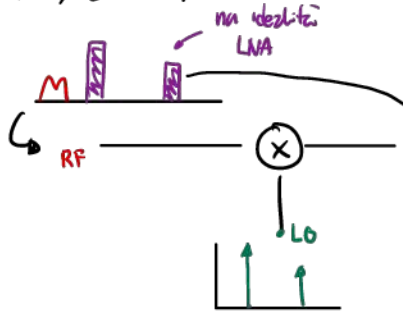


La non idealità del secondo ordine sono date da un duty cycle non perfetto

ho zelle gesta, interferenza detta della prima
perciò ho una non idealità dell'LNA del
2° ordine.

(QUESTE DUE NON IDEALITÀ POSSONO ANCHE ESSERE NON IDEALITÀ DELLE PORTE RF E LO DEL MIXER)

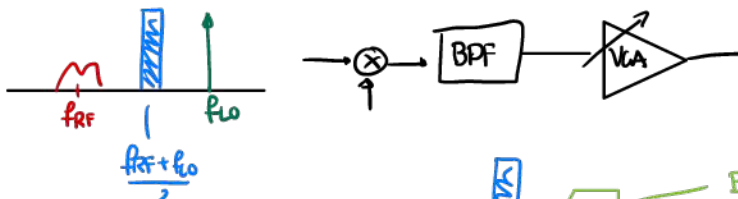
Nella nuova interferenza ho che questa è distorta dalla seconda armonica di fLO 2-fRF, allora: gesta componente endrai e sovrapporsi al segnale:



Ho SNIR degradation

il termine a $f_{RF}/2$
non crea in sé problemi
perciò per una filtrata
ma la sua presenza fa
si che ci siano componenti
che endrai a cadere sul
nostro segnale.

2 Stesso circuitto di prima



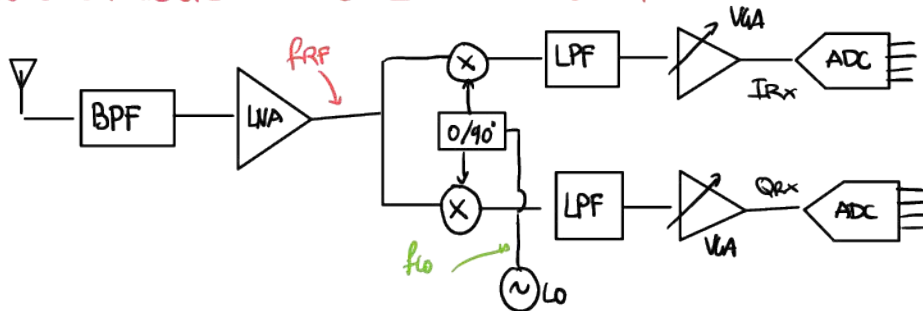
In pratica con il VCA vedo
che amplifico dopo il fRF,
tuttavia l'interferenza si è rifatta
ma non annullata, quindi se
VCA ha una linearità del secondo ordine
ho che

$$\frac{2f_{RF}}{2} = f_{RF}$$

perciò ho che l'interferenza sarebbe attenuata ma la ritroviamo all'ingresso.

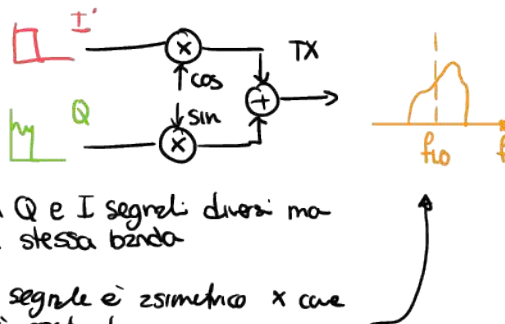


Direct conversion Rx (o zero-iF reader)



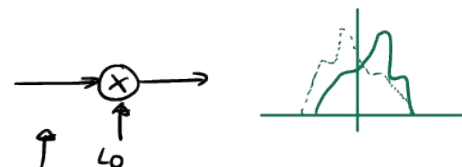
In questo caso $f_{LO} = f_{RF}$ quindi $f_{IF} = \emptyset = f_{RF} - f_{LO}$

Se costruisco il mio segnale così:



con Q e I segnali diversi ma
sulla stessa banda

il segnale è antisimmetrico ×
e' costituito



Così facendo non riesco a ricevere Q e I
mi dicono impossibile
Dobbiamo usare allora la struttura
di sopra.

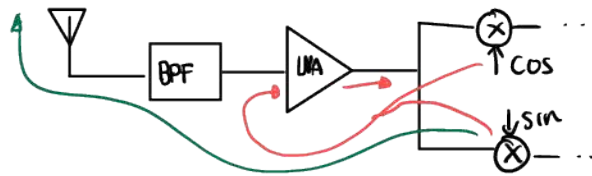
VANTAGGI DI QUESTA ARCHITETTURA

- **Image problem**: apparentemente risolto, non abbiamo + bisogno di un image reject filter
- **Channel selecta**: c'è fatto da LPF piuttosto che due BPF, perciò non abbiamo bisogno di off-chip SAW filtri, questo perché i LPF possono essere fatti in silicio. (SiCap Filters)

Capiamo che i Direct conversion Rx sono molto addetti a sistemi completamente integrati in silicio.

SVENTAGGI CRITICI

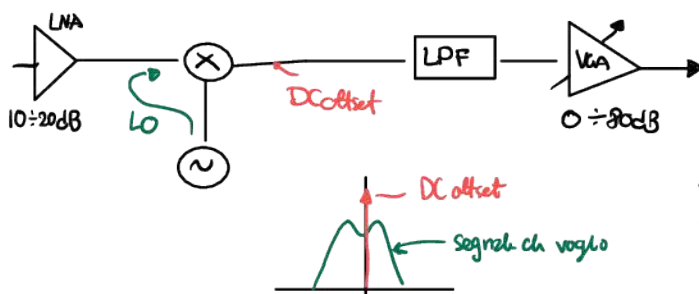
- **Lo leakage**: visto che $f_{LO} = f_{RF}$ e visto che il segnale LO è ad alto potere (per ridurre la phase noise). Detto che $f_{LO} = f_{RF}$ allora abbiamo che LO è nella banda dell'LNA, allora succede che



Abbiamo 2 cose, il segnale LO si accoppi con l'NA da un amplificatore il segnale.

Inoltre può succedere anche che entrata tramite l'antenna il segnale di LO e questo mi può portare a superare i limiti di radiazione ($< -50 \div -80 \text{ dBm}$)

- DC offset: L'LO leakage causa anche il self mixing dell'LO.
Visto che c'è il self mixing di 2 sinusoidi elicei abbiamo una componente DC



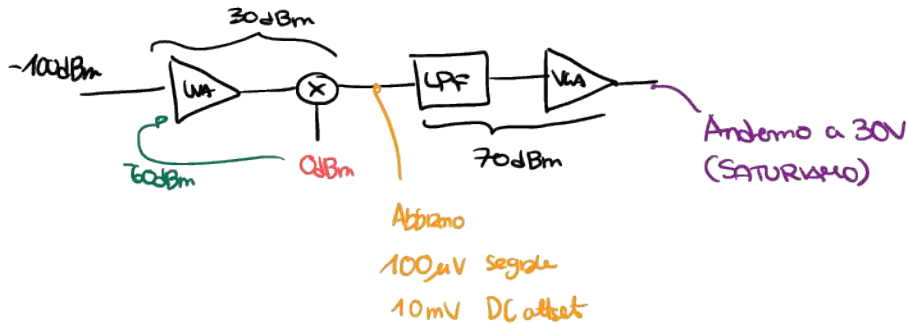
Anche se abbiamo pochi mV di offset questi possono saturare il VCA

ESEMPIO

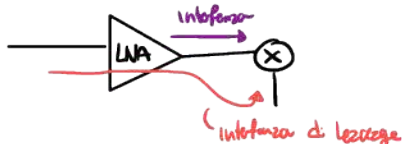
$$P_S = -100 \text{ dBm} \quad (\text{all'interno})$$

$P_{LO} = 0 \text{ dBm}$ ma abbiamo un leakge all'input dell'LNA che ci dà un segnale a -60 dBm all'input dell'LNA

Supponiamo Gain LNA + MIXER = 30dBm e poi LPF + VCA di guadagno 70dB



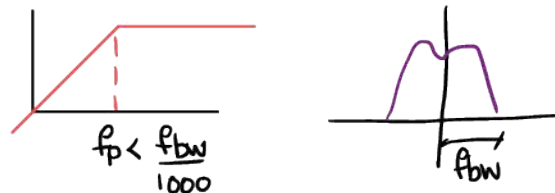
Anche interferenze possono creare un self mixing dell'interferenza creando sempre un DC offset



Il problema del DC offset è presente anche negli Heterodyne, ma in quel caso abbiano anche un Band pass che elimina tutto.

> Come possono eliminare il DC offset?

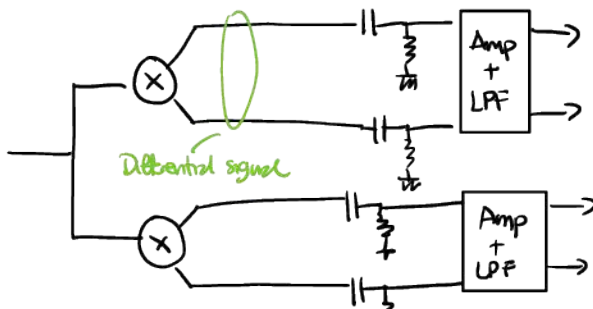
- AC coupling



Dobbiamo in modo
di non segnalare il
segnale, quindi
f_p deve essere
 $\frac{f_{BW}}{1000}$

$$\text{Se } f_{BW} = 100 \text{ kHz} \rightarrow f_p = 100 \text{ Hz}$$

Fare un AC coupling di 100Hz è problematico, perché



Gli servono output
differenziali perché
abbiano carica la
Direct conversion
e non abbiano non
linearities

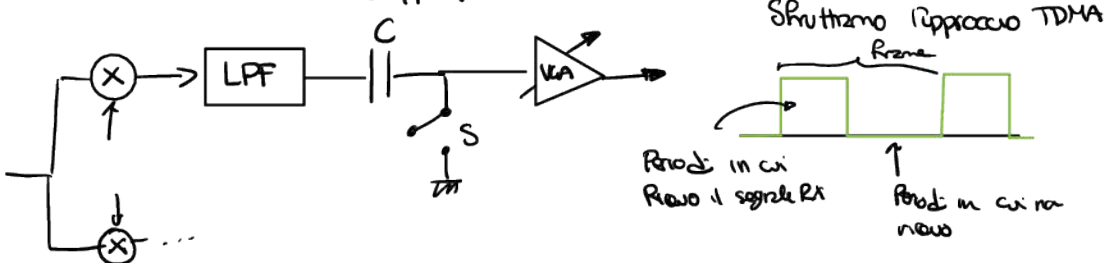
Alc coupling, visto che ho 4 vie mi servono almeno
4 capacita.

Allora visto che $f_p = 100 \text{ Hz} \rightarrow$ condensatori piccoli allora R molto grandi $\rightarrow R$ grande
uguale rumore + zitto.

Il problema è che qui il catenino dell'Heterodyne ha ampiamente sofferto solo con l'LNA
quindi di poco e quindi il segnale è ancora soggetto al rumore.

Nell'Heterodyne questo non succede perché no già il segnale amplificato dal
VGA.

- Offset cancellation (applicabile solo in sistemi TDMA)



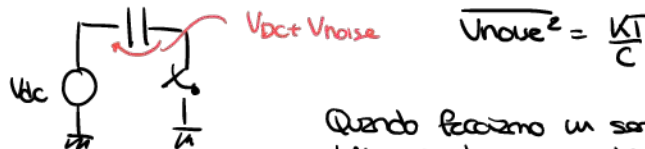
Quando non ricevo il segnale posso fare la offset cancellation.
 Quando non ricevo lo switch è chiuso così la capacità si carica.
 Quando ricevo segnale lo switch e la carica del condensatore si scarica con il DC offset.



Uno svantaggio di questa architettura è che se ne nel condensatore anche le interferenze. Questo problema può essere risolto mettendo la carica del condensatore su + parola.

Switch CAP offset cancellation

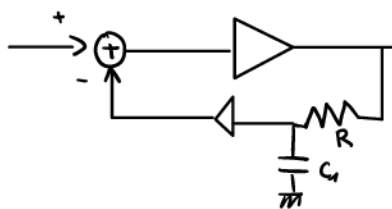
- risolve il problema del polo e base fissa (visto nell'AC coupling)
- non risolve il problema del rumore



Quando faccio un sampling prendiamo solo il rumore della resistenza non dell'interruttore. (da qui non c'è più il rumore dritto kT/C)

Esempio: voglio un SNR > 15dB $\rightarrow C > 250\text{pF}$ (ca $P_S = -110\text{dBm}$ e Guadagno 30dB)

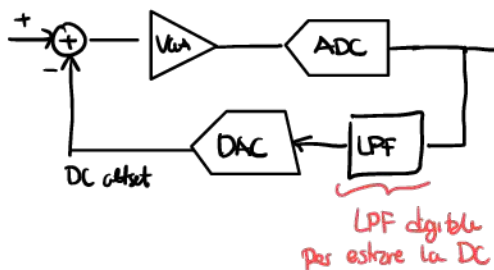
• Offset cancellation con feedback



Ma in questo caso la capacità dovrebbe essere ancora + grande di quella dell'AC coupling (quindi non va bene)

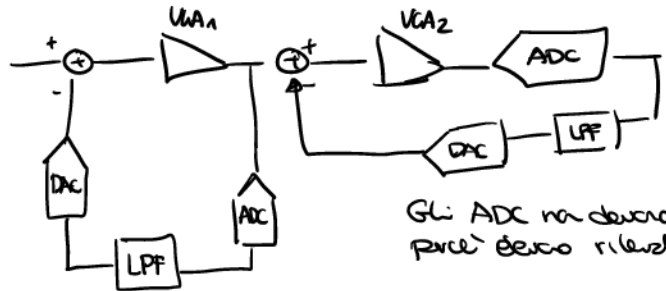
[C'è la dimostrazione sul libro del professore]

• Offset cancellation con DAC



Io potrei dire che un cas-
sistro cambia, allora uso la
two step approach

two step approach



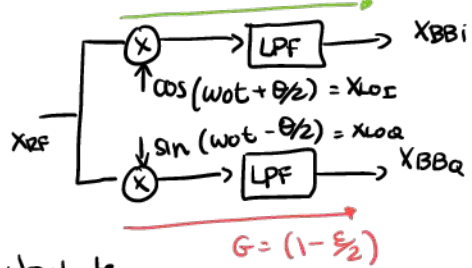
Così non sento la VCA perché ho 2 step.

Gli ADC non devono essere grande qualità perché devo rilevare la corrente DC.

Questa è la tecnica più utilizzata in CMOS.

Altro problema della Direct Conversion

- I/Q mismatch $G = (1 + \frac{\epsilon}{2})$



i 2 percorsi possono avere un mismatch d'ampiezza ϵ , e possono avere phase mismatch Θ .

- ideale

$$X_{RF}(t) = X_I(t) \cos \omega_0 t + X_Q(t) \sin \omega_0 t$$

- reale

Supponiamo di avere tutti questi effetti presenti nel local oscillator

$$\begin{cases} X_{LOI}(t) = 2 \cdot (1 + \frac{\epsilon}{2}) \cdot \cos(\omega_0 t + \Theta/2) \\ X_{LOQ}(t) = 2 \cdot (1 - \frac{\epsilon}{2}) \cdot \sin(\omega_0 t - \Theta/2) \end{cases}$$

ottieniamo

$$X_{BBI}(t) = X_I(t) \cdot (1 + \frac{\epsilon}{2}) \cos \frac{\Theta}{2} - X_Q(t) \cdot (1 - \frac{\epsilon}{2}) \sin \frac{\Theta}{2}$$

wanted signal component
(no gain error)
Componente di Q al sbordo nel
sentiero di I.
Questo succede perché $\Theta \neq 0$

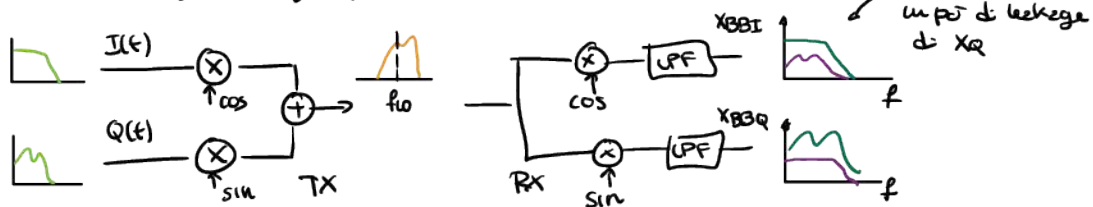
$$X_{BBQ}(t) = X_Q(t) \cdot (1 - \frac{\epsilon}{2}) \cos(\Theta/2) - X_I(t) \cdot (1 - \frac{\epsilon}{2}) \sin(\Theta/2)$$

Coprovo un

$E \rightarrow$ dà un errore di Grin

$\Theta \rightarrow$ dà un Cross talk tra le 2 componenti (image leakage)

Si chiama image leakage perché se diciamo che



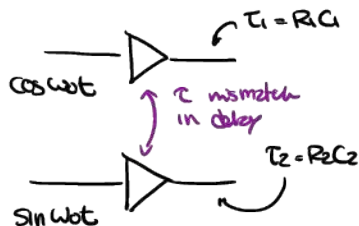
Questo è molto importante perché ci dice che abbiamo anche qui l'image problem, per risolvere questo dobbiamo fare una buona quadratura.

Il problema della phase error

$$\begin{aligned} x_{LOI}(t) \\ x_{LOQ}(t) \end{aligned} \quad \left. \begin{array}{l} \text{ } \\ \text{ } \end{array} \right\} \theta \text{ delay error}$$

$$\sin(\omega_0 t - \frac{\theta}{2}) = \sin(\omega_0 t - \frac{\omega_0 \tau}{2})$$

$$\theta = \omega_0 \tau = 2\pi f_0 \tau$$



$$\tau = \tau_1 - \tau_2$$

$$\frac{\Delta \tau}{\tau} \approx \frac{\Delta R}{R} + \frac{\Delta C}{C}$$

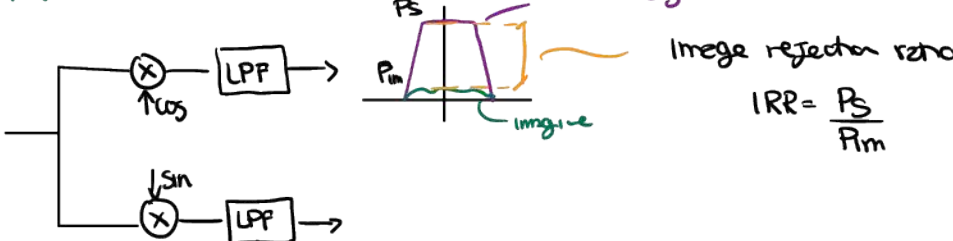
Più grande sarà ω_0 più alto sarà l'errore di fase. Quindi se abbiamo f₀ basso il delay di fase sarà trascurabile, al contrario per alte frequenze no.

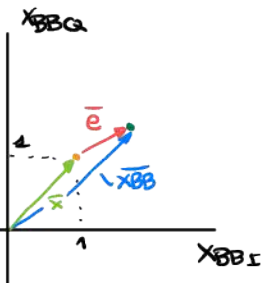
25.05.2021

Lezione

3h

I/Q imbalances





$$\left\{ \begin{array}{l} X_{BBI} = X_I \left(1 + \frac{\varepsilon}{2} \right) \cos \frac{\theta}{2} - X_Q \left(1 + \frac{\varepsilon}{2} \right) \sin \frac{\theta}{2} \\ X_{BHQ} = X_Q \left(1 - \frac{\varepsilon}{2} \right) \cos \frac{\theta}{2} - X_I \left(1 - \frac{\varepsilon}{2} \right) \sin \frac{\theta}{2} \end{array} \right.$$

■ Sono i puti da elaborazione destinate

■ Sono i puti reali

\bar{e} : è il vettore errore

Per vogliamo calcolare IRR, allora possiamo scrivere come

$$IRR = \frac{|\bar{x}|^2}{|\bar{e}|^2} = \frac{|\bar{x}|^2}{|\bar{BB}-\bar{x}|^2} \quad \frac{\text{Potenza del vettore ideale}}{\text{Potenza dell' errore}}$$

Visto che i puti si trovano a $(1,1)$, allora il vettore \bar{x} è lungo $\sqrt{2}$ e quindi $|\bar{x}|^2 = 2$.

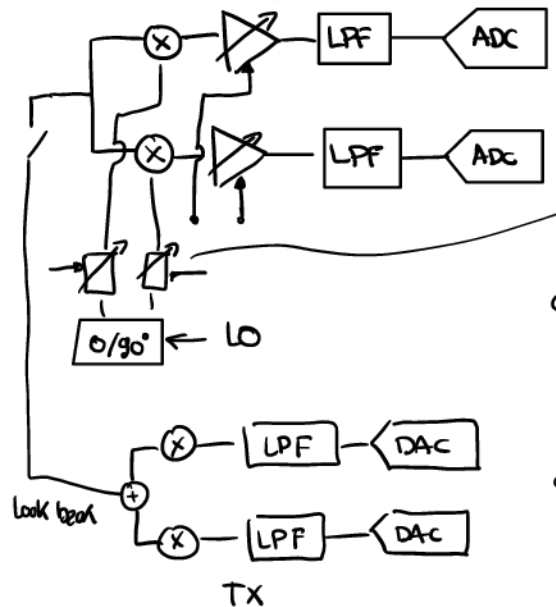
Per calcolare $|\bar{e}|^2$, facciamo approssimazione $\cos \theta/2 = 1$ e $\sin \theta/2 = \theta/2$

$$\begin{aligned} IRR &= \frac{|\bar{x}|^2}{(X_{BBI} - X_I)^2 + (X_{BHQ} - X_Q)^2} \\ &= \frac{2}{\left[\left(1 + \frac{\varepsilon}{2} \right) \left(1 - \frac{\theta}{2} \right) - 1 \right]^2 + \left[\left(1 - \frac{\varepsilon}{2} \right) \left(1 - \frac{\theta}{2} \right) - 1 \right]^2} \\ &= \frac{4}{\varepsilon^2 + \theta^2} = \frac{4}{\left(\frac{\varepsilon}{2} \right)^2 + \left(\frac{\theta}{2} \right)^2} \end{aligned}$$

Un design scelto nel GHz range porta un $IRR = 30 \text{ dB}$

$$\begin{aligned} \varepsilon &= 0,1 \quad (\text{10\% matching on amplitude}) \\ \theta &= 1^\circ = \frac{1^\circ}{180^\circ} \cdot \pi = 0,0174 \text{ rad} \quad \Rightarrow \quad IRR = 10 \log \left(\frac{1}{\left(\frac{\varepsilon}{2} \right)^2 + \left(\frac{\theta}{2} \right)^2} \right) \approx 26 \text{ dB} \end{aligned}$$

I/Q mismatch calibration



Amplificatori controllati x misure l'impedenza
imbalata

Programmable phase shifters in modo da controllare la differenza di fase tra i 2 segnali

Con il trasmettitore creiamo la modulazione de' vogliamo e lo mettiamo come segnale d' test all' input della configurazione

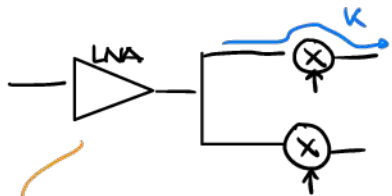
leggiamo la IRR e calibrano.

Per calibrare dobbiamo calibrare 2 valori: fase e ampiezza, allora dobbiamo usare degli algoritmi per farlo.

Questa configurazione e' la + usata

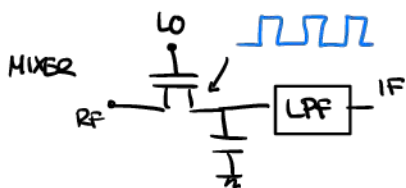
Un'altra nota negativa dei Direct Conversion è la Even-order distortion.

Perché i ricevitori Direct Conversion sono sensibili alle even order distorsioni?



$$y(t) = \alpha_1 x(t) + \alpha_2 x^2(t)$$

K: è il mixer RF-to-IF feedthrough.



$$VIF = \frac{1}{2} \frac{VRF + \dots \text{ o.c.}}{R} \quad \text{Supponendo Duty 50\%}$$

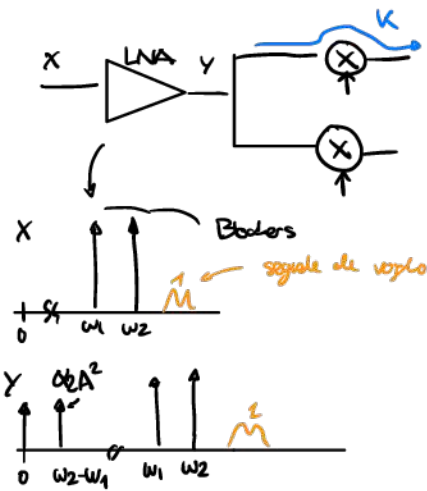
$$AV = \frac{VIF(IF)}{VRF(IF)} = \frac{1}{\pi}$$

$$K = \frac{1/2}{1/\pi} = \pi/2$$

o.c. è il conversion gain / feedthrough

In questo esempio

Cosa succede se ho una even-order non ideality all' LNA?



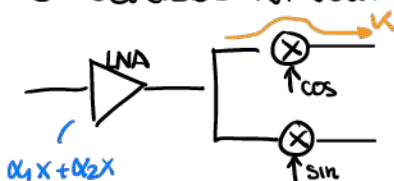
Con w_2 e w_1 molto vicini, quindi w_2-w_1 è la bassissima frequenza

Visto che abbiamo il feedthrough, allora c'è un output del mixer abbiano



Un altro problema delle even order non idealities è:

Le modulazioni non volute delle interferenze AM



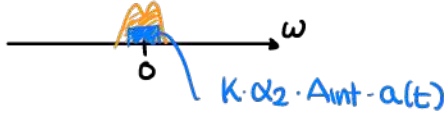
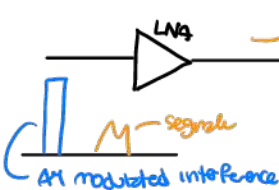
e ricevo un interferenza con modulazione AM

$$x(t) = \underbrace{[A_{\text{int}} + a(t)]}_{\text{AM modulated of an interfe}} \cdot \cos \omega t$$

$$\alpha_2 x^2(t) = \alpha_2 \cdot 2 \cdot A_{\text{int}} \cdot a(t) \cdot \cos^2(\omega t) + \dots a.t.$$

$$= \underbrace{\alpha_2 \cdot 2 \cdot A_{\text{int}} \cdot a(t)}_{\text{Low-pass unwanted component}} \cdot \frac{1}{2} + \dots + a.t. \quad \frac{1 + \cos 2\omega t}{2}$$

Allora abbiamo che



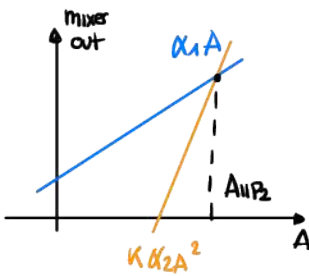
In questo caso l'SNR è

$$\text{SNR} = \frac{\alpha_1 \cdot A_{\text{rms}}}{K \cdot \alpha_2 \cdot A_{\text{int}} \cdot A_{\text{rms}}}$$

Ampiezza RMS del segnale

$K \cdot \alpha_2 \cdot A_{\text{int}} \cdot A_{\text{rms}}$ ← Ampiezza RMS di $a(t)$

Ampiezza (di picco o ced) dell'interferenza



$$KA_{\text{IIP2}} = K\alpha_2 \cdot A_{\text{up}}^2 \rightarrow A_{\text{IIP2}} = \frac{\alpha_1}{K\alpha_2} A_{\text{up}}$$

Perciò l'SNR

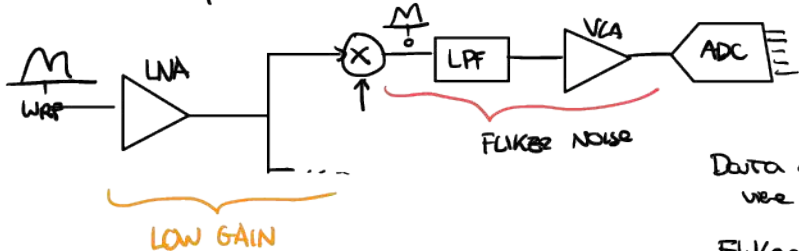
$$\text{SNR} = A_{\text{IIP2}} \cdot \frac{A_{\text{S, rms}}}{A_{\text{int, rms}}}$$

Le 2° ordine non idealities derivano
le amplitude modulations

Per risolvere questo problema delle even-order non linearities: usare circuiti differenziali

• Flicker noise

È un altro problema del Direct conversion receiver



Dato al bit da cui il segnale viene sottratto in DC.

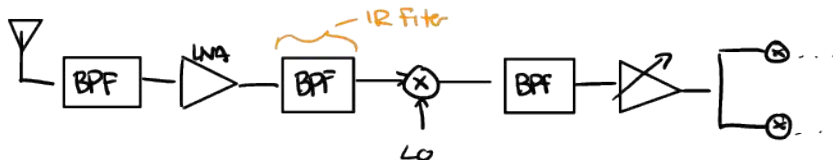
Flicker noise è tipo un slowly variable DC offset.

Soluzione:

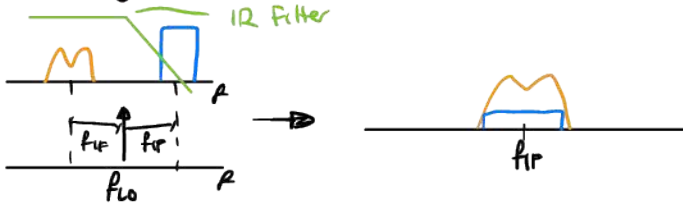
- Fare device larghi in mixer e VGA/LPF
- Correttivo doppio sampling ecc...
- Offset cancellazione

Image - Reject Receivers

Torna al 2° ricevitore Heterodyne.



Abbiamo già visto che questa struttura fu da image reject

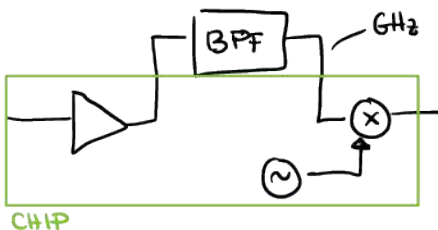


L'IR Filter serve per estrarre questa immagine

Ma c'sono modi alternativi per risolvere questo?

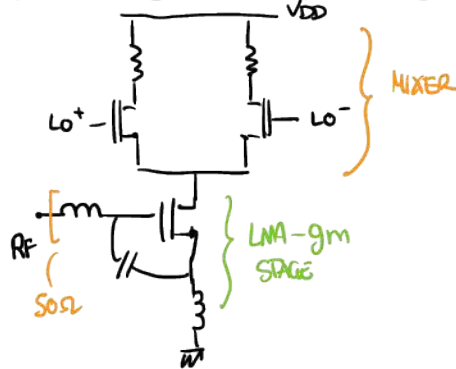
- Dual-IF architecture: si basa sempre sul filtraggio (per riaffidare l'immagine)

Però noi ci vogliamo opporre a queste strutture senza filtri perché sono grida e sono OFF-chip.



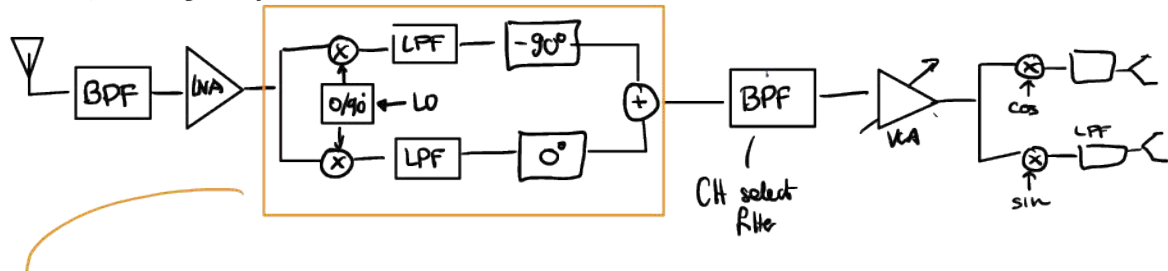
Tutti i blocchi fuori dal chip richiedono impedance matching e quindi ho grande power consumption, questo perché tipo l'LNA deve avere 2 stadi: 1 per amplificare e uno per controllare l'impedenza a SOT.

Se tolgo il BPF posso controllare direttamente il mixer senza fare il matching tipo we robust cos'.



Come possiamo allora non usare i filtri?

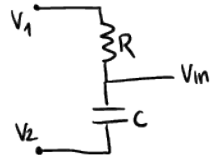
- Hatley image-reject RX (non so se è la soluzione alla domanda sopra)



→ Questa configurazione ha rimpiazzato la struttura BPF/Mixer

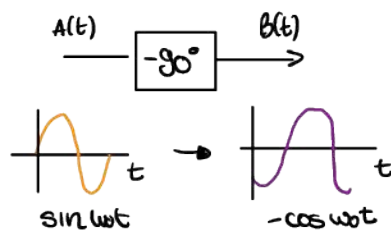
Questa nuova topologia cancella l'uso di BPF per l'image rejection per fatto mi servono 2 mixer, quadrature lo.

Un modo utile per fare i $0/30^\circ$ è:

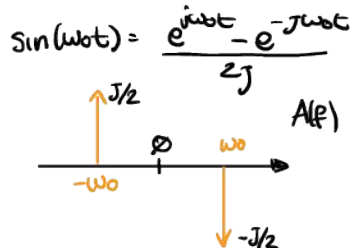


Ma perché questa struttura dovrebbe fare la resezione dell'image?

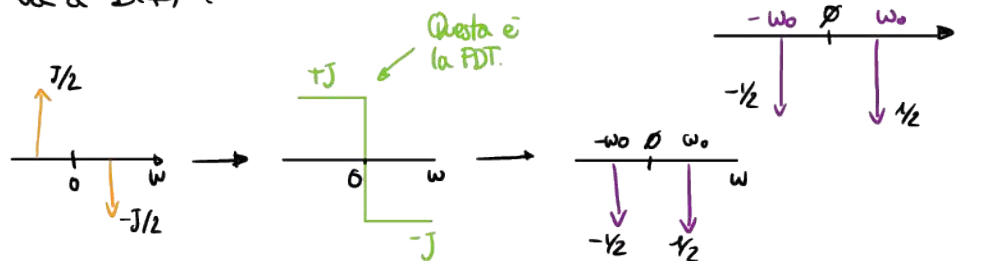
Calcoliamo la FDT dell'Phase-shifter



In frequenza



Quel è la FDT che da $A(f)$ va a $B(f)$?

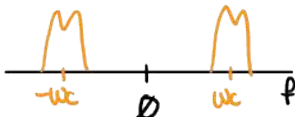


Perciò

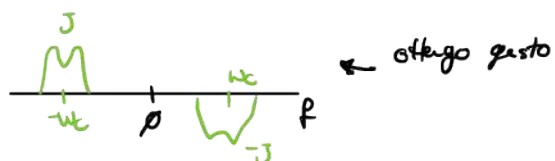
$$G(f) = -j \operatorname{sign}(f) \quad \text{è la PDT.}$$

Perciò se io ho un segnale modulato $A(f)$ allora ho:

$A(f)$

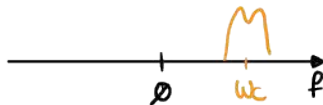


$$B(f) = G(f) \cdot A(f) \rightarrow \text{Operazione chiamata Hilbert transform}$$

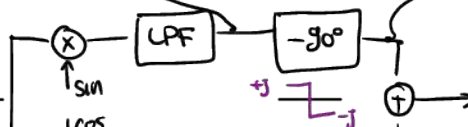
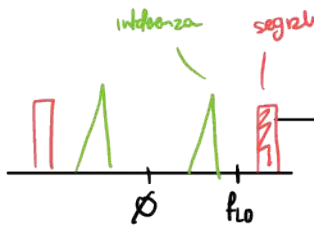
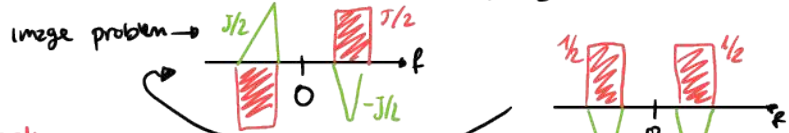


Se combino i 2 segnali $A(f) + jB(f)$ otengo il segnale analitico che è

risco ad avere il segnale solo a frequenze positive

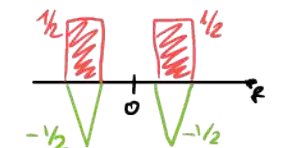


Come possiamo usare la nostra conoscenza con la topologia?

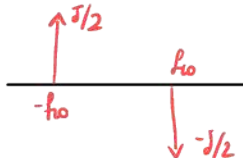


è la somma
tra i 2 grafici

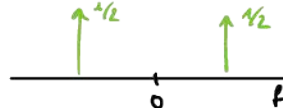
Non abbiano + l'immagine



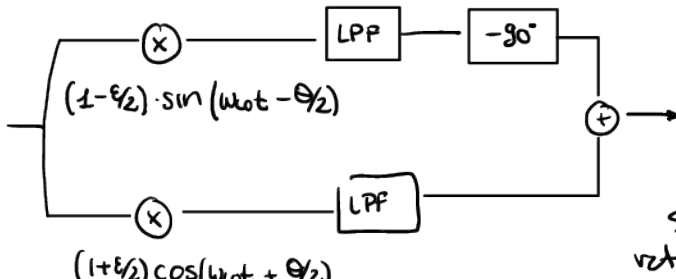
Ricordiamo che il seno è



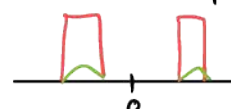
il coseno è



CASO ERRORE AMPIEZZA E FASE NELL' LO



In questo caso ho un errore



Se calcoliamo l'immagine rejections ratio

$$IRR = \frac{P_S}{P_M} = \dots = \frac{u}{\varepsilon^2 + \theta^2}$$

T12.1 Let us consider the down-conversion mixer in figure and assume that the MOSFETs have threshold

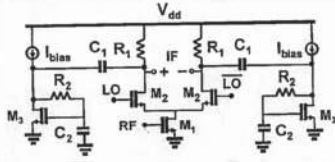
$V_T = 0.5V$, constant $1/2\mu C_{OX} = 0.2mA/V^2$ and thermal noise coefficients $\gamma = 2/3$ and $\alpha = 1$.

Let $V_{dd} = 2.5V$, $(W/L)_1 = 125$, $(W/L)_2 = 400$, $R_1 = 2000\Omega$, $R_2 = 150\Omega$, $I_{bias} = 6mA$, $C_2 = 1pF$, $(W/L)_3 = 750$.

- a) Set the value of C_1 which guarantees a resonance frequency (f_0) of 2GHz for the output network (R_2 , C_1 , C_2 and M_3).

- b) Let us assume a sinusoidal wave with offset voltage of 1V and frequency $f_{RF} = 10GHz$ at the RF port, a square wave with offset voltage of 1.5V, single-ended zero-peak amplitude of 300mV, with frequency $f_{LO} = 8GHz$, at the LO port. Compute the conversion gain from RF to IF.

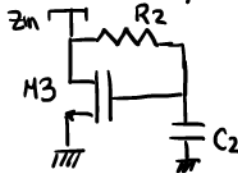
- c) Consider now $f_{RF} = f_{LO} = 8GHz$. Compute the noise figure of the mixer considering all the noise sources, referred to a source resistance of $R_S = 50\Omega$ and assuming abrupt switching of the M2 pair.



[Sol. a) $C_1 = 2.5pF$, b) $A_v = -12dB$, c) $NF = 4.91 dB$

a) Non vediamo l'induttore con cui C_2 può risonare, dobbiamo vedere se c'è qualche parte di circuito con comportamento induttivo.

Studiamo l'impedenza di:



M_3 è in set

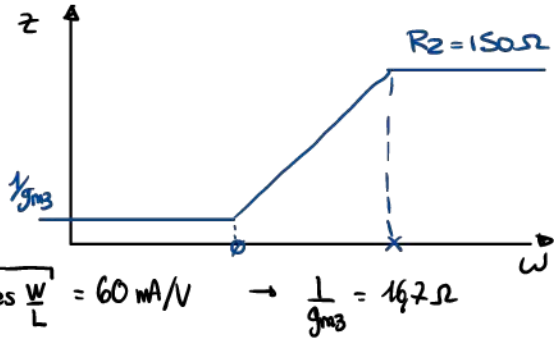
Studiamo a diverse frequenze

$$\omega f = \infty$$



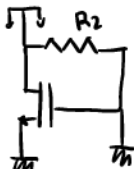
$$Z_{in} = 1/g_{m3}$$

$$g_{m3} = 2\sqrt{\frac{1}{2}\mu C_{ox} I_{bias} \frac{W}{L}} = 60 \text{ mA/V}$$



$$\rightarrow \frac{1}{g_{m3}} = 16.7 \Omega$$

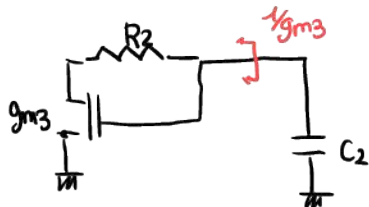
Per $f \rightarrow \infty$



il transistor non ha corrente
e quindi vedo R_2

nel mezzo interno qualcosa
così con un polo e uno
zero

Qual'è la frequenza del polo, vedo il circuito così



perciò il polo lo abbiamo a $\omega_Z = \frac{gm_3}{C_2}$

Separando il rapporto guadagno banda riceviamo il valore dello zero fermo

$$\frac{R_z}{gm_3} = \frac{1/gm_3}{\omega_Z} = \omega_p = 2\pi 16 \cdot \frac{rad}{s}$$

$$\omega_Z \approx 2\pi 9.5 \text{ GHz}$$

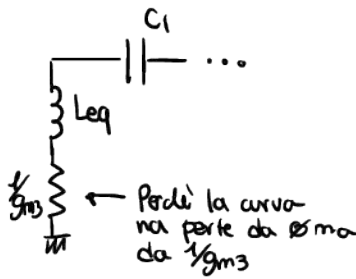
Quindi a 2GHz siamo dentro alla zera +20dB e questo significa che abbiamo un comportamento inattivo

$$(Z_1) = \omega L_{eq}$$

Sappiamo che $\frac{(Z)}{\omega} = \frac{R_2 C_2}{gm_3}$ è costante ed è uguale a $\frac{\omega L_{eq}}{\omega}$

$$\text{e questo vuol dire che } L_{eq} = \frac{R_2 C_2}{gm_3} = 2.5 \text{ nH}$$

Visto che voglio dei risuoni con C_1



Questo vale per $\omega < gm_3/C_1$

$$C_1 = \frac{1}{\omega_0^2 \cdot L_{eq}}$$

$$\omega_0 = 2\pi \cdot 26$$

$$= 2.53 \text{ pF}$$

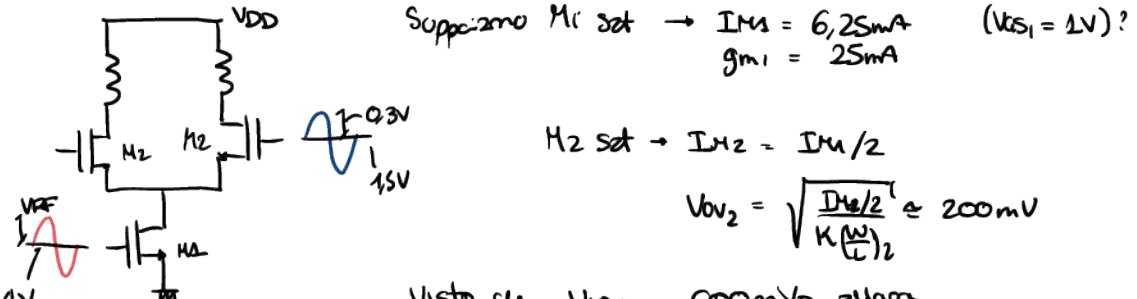
Il fatto che il mixer abbiri una rete inserente fa sì che ci sia un filtro e che quindi a 2GHz non ho più R_1 ma ho $R_1 // \frac{1}{gm_3}$. Aiuta ad avere decibel di migrazione con i feedthrough

• Punto b)

Supponiamo sulla porta RF sinusoida con offset 1V a 10GHz, sulla porta LO un offset di 1.5V con una sinusoida a 8GHz e ampiezza 0.3V

Problema, vedere se questa sinusoida fa il fullswitch del mos.

Dobbiamo calcolare il conversion gain da IF a RF.



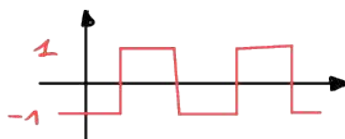
quindi ho Full-switching

La tensione d'ellittiche IF dipende da:

$$V_{IF}(w_{IF}) = g_{m1} V_{RF}(w_{RF}) \cdot \frac{1}{2} \cdot \frac{L}{\pi} \cdot |Z_L(w_{IF})|$$

Perché moltiplichiamo 2 corri

$\frac{L}{\pi}$ perché è la prima armatura di X_L



$$V_{IF}(t) = I_{M1}(t) \cdot X_L(t) \cdot Z_L(t)$$

$$g_{m1} V_{RF} \cos(w_{RF} t)$$

$$\frac{L}{\pi} \cdot \cos(w_{IF} t)$$

Impedenza di w_{IF}
 ebbenso visto prima
 che è $R_1/1/g_{m3}$
 perché c'è risonanza

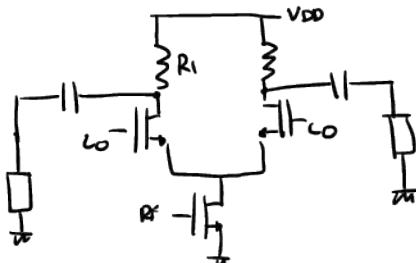
e' la formula
 nel tempo.

Il conversion gain è

$$AV = \frac{V_{RF}(w_{RF})}{V_{IF}(w_{IF})} \approx \frac{2}{\pi} \frac{g_{m1}}{g_{m3}} \rightarrow -12dB$$

• Punto c)

Considerare $P_{RF} = P_{LO}$ \rightarrow calcolare la NF del mixer riferita a una source resistance di SOL



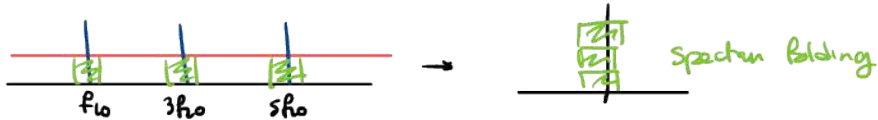
ATTENZIONE! non c'è più la risorsa, abbiamo il condensatore in continua aperto, perciò il convertitore gen è

$$A_V = g_{m1} \cdot \frac{2}{\pi} \cdot R_1$$

Il rumore dei resistori R_1 è

$$2 \times R_1 : S_{VIF} = 4KTR_1$$

M1: Vanno considerate tutte le zone di ON, perciò abbiamo la dancorrispondenza



$$S_{VIF} = 4KTR_1 \sum_{\alpha} g_{m1} \cdot R_1^2$$

è vero se fosse continuamente in eletto in uscita (cosa che speriamo già non lo è calcolato)

M2: Hebbent switching
solo wo dei 2 M2 è ON.

$$S_{VIF} \approx \emptyset \leftarrow \text{C'è}$$

La Noise Figure sarà

$$NF = \frac{S_{VIF, R_1, M1, M2}}{S_{VIF, RS}} + 1$$

R_S è la source resistance alla porta RF.

$S_{VIF, R_1, M1, M2}$ è la somma dei termini calcolati sopra

Dobbiamo calcolare $S_{VIF, RS}$. È un problema. Dobbiamo considerare che non c'è rumore bianco.

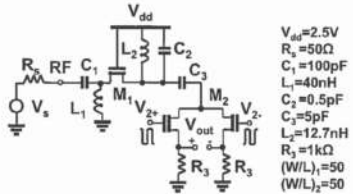
$$\begin{aligned} S_{VIF, RS} &= 4KTR_S A_V^2 \\ &= 4KTR_S \left(\frac{2}{\pi} g_{m1} R_1 \right)^2 \end{aligned}$$

dobbiamo trasferirento inverso tra il rumore di M_1 e quello di R_S .

$$NF_{dB} = 10 \log_{10} NF = 4,9 \text{ dB}$$

T12.2 Let V_s be a sinusoid at $f_{RF} = 2.0\text{GHz}$, and V_{2+} and V_{2-} two square-waves $0 - V_{dd}$ at $f_{LO} = 2.1\text{GHz}$. The MOSFETs have threshold $V_T = 0.5V$, constant $1/2\mu C_{OX} = 0.1\text{mA/V}^2$ and thermal noise coefficients $\gamma = 2/3$ and $\alpha = 1$.

- Derive the bias point of the circuit. Evaluate the RF to IF conversion gain from the input V_{rf} to the output port V_{out} .
- Calculate the power gain from the RF port to output port.
- Compute the noise figure of the circuit referred to source resistance R_s , considering just the thermal noise of M1 and R_s .



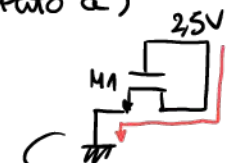
[Sol. a) $A_V = 22\text{dB}$, b) $G_p = 6\text{dB}$, c) $NF = 2.2\text{dB}$].

Downconversion mixer.

$$A_V = \frac{V_{out}(w_{IF})}{V_{RF}(w_{RF})}$$

← Dobbiamo calcolare V_{RF} e non V_S ATTENZIONE!

Punto a)



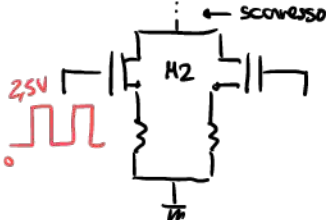
La corrente è 20mA ($V_{ds} = 2.5$)

$$g_m = \frac{2I}{V_{ds}} = \frac{60\text{mA}}{2.5} = 20\text{mS}$$

M_1 è in SAT

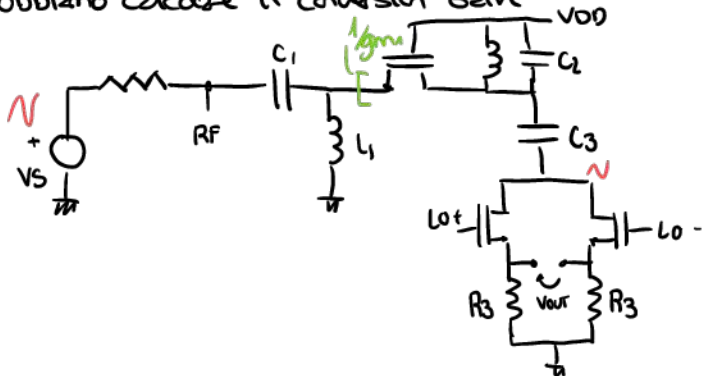
Induttori in corto

Il resto del circuito è scollegato dal resto da C_2



i transistor sono in traco perché non c'è corrente che scorre nel circuito in DC.

Dobbiamo calcolare il conversion Gain



è un mixer passivo

$$- L_1 = 40\text{nH}$$

$$- C_1 = 100\text{pF}$$

posso dire diversi così

1) $\omega_0 C \rightarrow \infty$
 $\omega_0 L \gg 1/g_m$



questo significa che

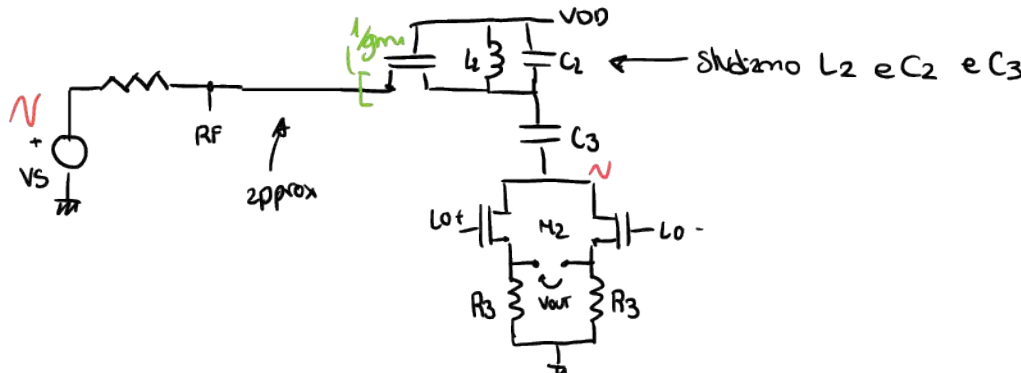
$$Q_{L1} = \frac{1/g_m}{\omega_0 L} \ll 1$$

qui calcoliamo $\omega_0 L = 2\pi \cdot 2 \cdot 10^9 \cdot 40 \cdot 10^{-9} = 500\pi$
e' 50 volte R_S quindi possiamo trascurarlo, anche perch'

$$Q_{U1} = \frac{50}{500} = 0,1 \ll 1$$

Per C ho che $\omega_0 C = 2\pi \cdot 2 \cdot 10^9 \cdot 0,1 \cdot 10^{-9}$
 $= 1,256 \approx \infty$ Possiamo trascurarlo.

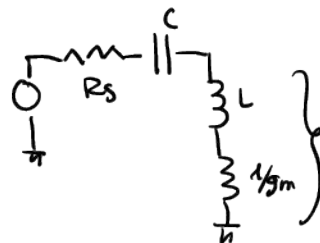
Allora quindi il caso 1.



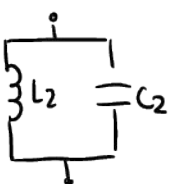
Cosa faccio? Dico ricordate che i 2 mos M_2 sono in triodo quindi non hanno impedenza $1/g_m$. Avranno un valore r_{ds} ma sono in serie a R_3 che e' $1k\Omega$ quindi potremo approssimare con $1k\Omega$.

Non debbo fare tutti i conti sono impegnativo

2)



ho fatto la trasformazione
da parallelo a serie



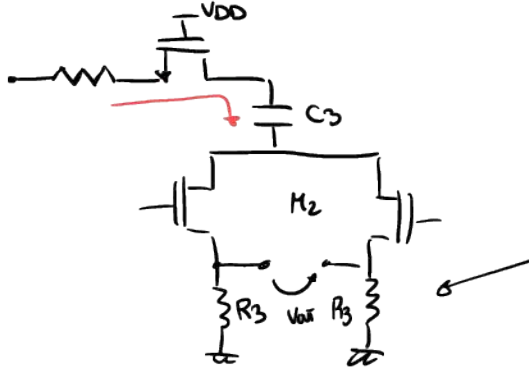
$$\text{So } \text{CL } Z = \frac{\frac{1}{\omega_0} S L_2}{S L_2 + \frac{1}{\omega_0^2 C_2}} = \frac{S L_2}{1 + S^2 L_2 C_2}$$

$$\text{So } \text{CL } \text{ at } \omega_0 = \frac{1}{\sqrt{L_2 C_2}} \quad Z \rightarrow \infty$$

e' importante sapere ω_R , seppiamo che

$$f_R = \frac{1}{2\pi} \cdot \frac{1}{\sqrt{L_2 C_2}} = 2 \text{ GHz} \quad \text{che e' esattamente nostra frequenza}$$

Perche' questa impedenza va a 00, allora il circuito e'



In questo caso non c'e' un problema perché abbiamo R_3 , ma se nessuno avesse detto che l'impedenza di uscita dobbiamo calcolare la impedenza a IF

$$A_V = \frac{V_{OUT, W, IF}}{V_{RF, W, F}} = g_{m1} \cdot \frac{2}{\pi} \cdot R_3 \Rightarrow 22 \text{ dB} \quad \text{con } g_{m1} = \frac{1}{R_S}$$

Calcoliamo la potenza di output a IF.

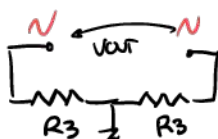
$$P_{OUT, W, IF} = \frac{1}{2} \cdot \frac{V_{OUT, IF}^2}{2R_3}$$

$$P_{RF, W, F} = \frac{1}{2} \cdot \frac{V_{RF}^2}{R_S} \quad \frac{1}{g_{m3}} = R_S$$

$$G_P = \frac{P_{OUT}}{P_{RF}} = \underbrace{\left(\frac{V_{OUT, IF}}{V_{RF, W, F}} \right)^2}_{A_V^2} \cdot \frac{R_S}{2R_3} \rightarrow 10 \log_{10} G_P = 6 \text{ dB}$$

Power Gain

Consideriamo le 2 impedanze R_3 perché abbiano il segnale di differenza.
e' come avere V_{out} che capi di un resistore di valore $2R_3$



Noi vediamo V_{out} solo se non ha proprio este coda, perché ha + capiti, perché c'è dato da un ando questa

Ad ogni istante abbiamo un transistore on e uno off.

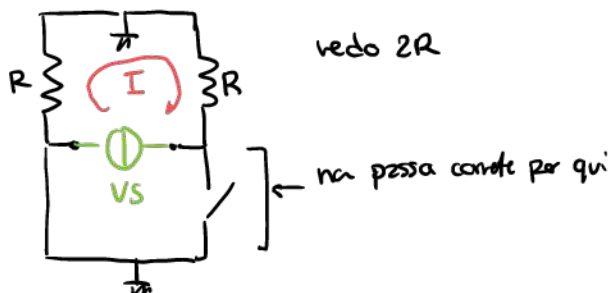
Possiamo vederla così:



non possiamo calcolare l'impedenza con un solo switch o più i 2 switch si toccano

COSA MOLTO DIFFICILE DA CAPIRE!

In media abbiamo $2R$ come output impedenza, vediamo l'impedenza verso gli switch come fa.



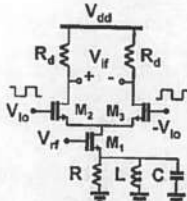
T12.3 Let us consider the mixer in figure, where $V_{dd} = 2.5V$, $R_d = 200\Omega$. Let us assume that the MOSFETs have threshold $V_T = 0.5V$, constant $1/2\mu C_{ox} = 0.2mA/V^2$, and V_r is a sinusoid with offset voltage of 1V. Let the impedance of the RLC network have its resonance frequency around the image frequency at $f_{IM} = (f_{LO} - f_{IF})$.

- Derive the mathematical expression of the image rejection ratio of the stage, computing the ratio between the conversion gain of an input RF signal at $f_{RF} = (f_{LO} + f_{IF})$ and the conversion gain of an input RF signal at f_{IM} .

- Size $(W/L)_1$ and R to get IRR equal to 30dB and conversion gain at f_{RF} equal to 10dB.

[Sol. a) IRR = $(1+g_m R)$; b) $(W/L)_1 = 124$, $R = 1.2k\Omega$]

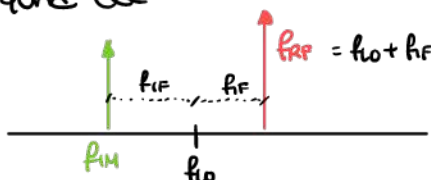
MIXER ATTIVO CONVENZIONALE



$$f_{RES} = f_{LO} - f_{IF}$$

So we $f_{RES} - f_{IM} = f_{LO} - f_{IF}$

Abbiamo quindi che



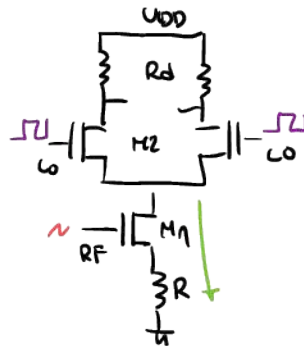
Dobbiamo calcolare

$$\text{IRR} = \frac{\text{Av}(f_{RF} = f_{IO} + f_F)}{\text{Av}(f_{RF} = f_{IO} - f_F)}$$

Possiamo dire che

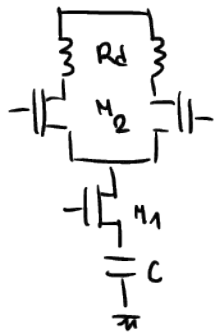
$$\text{Av}(f_{RF} = f_{IO} - f_F) \quad \text{allora}$$
$$f_m = f_{RES}$$

$$\text{Av} = \frac{g_{m1}}{1 + g_{m1} R} \cdot \frac{2}{\pi} \cdot R_d$$



Nel C250

$$\text{Av}(f_{RF} = f_{IO} + f_F) \quad \text{Sono sopra la f di risonanza, allora}$$



Sono qui quindi in zona capacitiva

Molto probabilmente il valore di C è questa
freg e' molto piccolo, allora

$$(\text{POTESI}) \quad 2f_F \gg f_{SW}$$

allora considero C un corto

$$\text{Av} = g_{m1} \cdot \frac{2}{\pi} \cdot R_d$$

Allora

$$\text{IRR} = \frac{g_{m1} \frac{2}{\pi} \cdot R_d}{\frac{g_{m1}}{1 + g_{m1} R} \cdot \frac{2}{\pi} \cdot R_d} \cong 1 + g_{m1} R = \text{IRR}$$

Adesso noi vogliamo

$$\text{IRR} = 30 \text{dB} \quad \text{e} \quad \text{Av}(f_{RF} + f_F) = 10 \text{dB}$$

$$\text{Av}(f_{RF} + f_F) = g_{m1} \cdot \frac{2}{\pi} \cdot R_d = 10 \text{dB} \rightarrow g_{m1} = 10^{\frac{10}{20}} \cdot \frac{\pi}{2} \cdot \frac{1}{R_d} = 25 \text{ms}$$

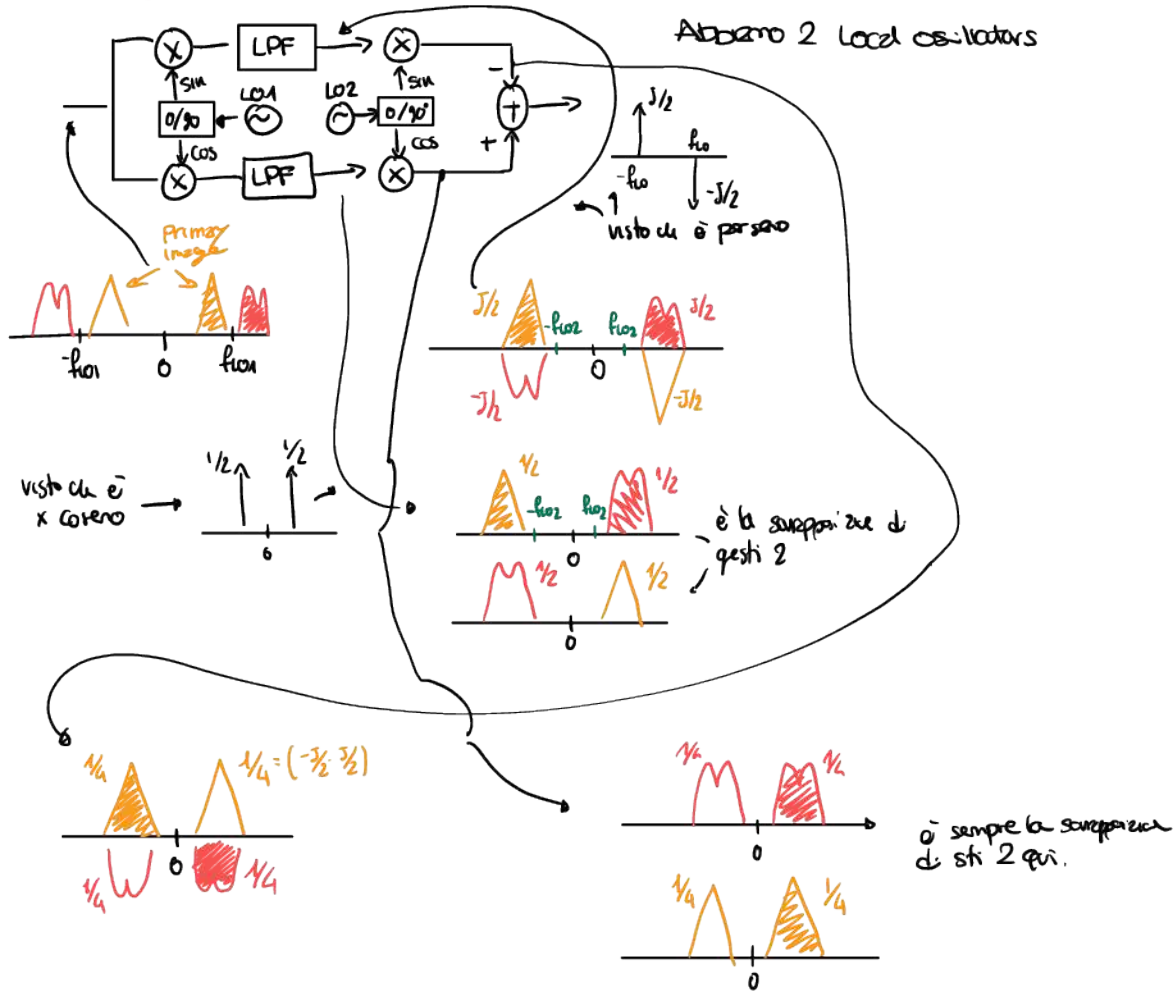
Allora grazie a g_{mi} e IRR riceviamo R

$$R = \frac{10^{\frac{30}{20} - 1}}{g_{mi}} = R = 1,23 K\Omega$$

31-05-2021

2n

Image reject RX: weaver architecture



In usita abbiamo quindi



Quali sono le diff tra Weaver e Hartley architectures?

- Hartley:
- il phase shifter ha banda limitata (perciò il circuito deve da 0-90° funziona solo alla frequenza del polo) ed è anche sensibile al valore dell'accordatura dei componenti R e C.
 - Questo porta a un IRR limitato.
 - Phase shifter introduce thermal noise e power loss

Weaver: problemi di secondary image



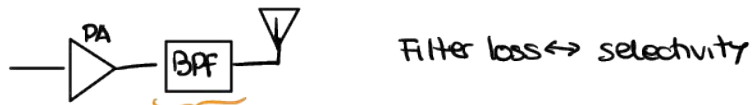
Per risolvere questo problema a posto delle LPF daremo altre due BPF oppure sarebbe $f_0 = f_0'$

Transmitter Architectures

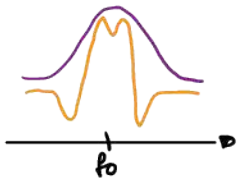
ACPR: Dismisano unitate nel trasmettitori le emissioni



Linear transmitter, per evitare la spectral regrowth.



Esempi di freq response del BPF



Low loss ma low selectivity

High loss ma high selectivity

Le power loss del BPF degradano l'efficienza del trasmettore

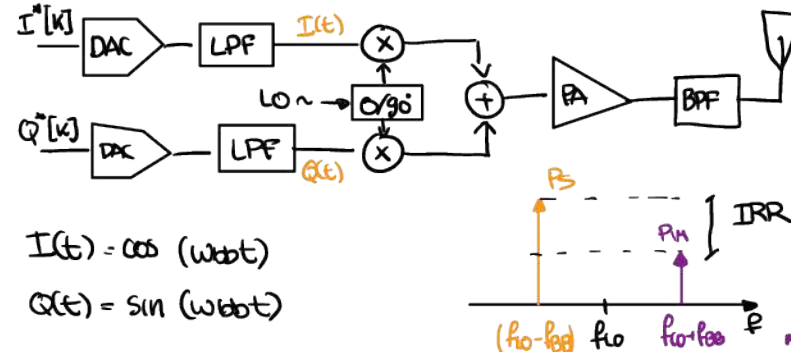
Esempio: Supponiamo Potenza totale = 1W e a un filtro dissipativo $L = 1\text{dB}$, allora la potenza dissipata dal filtro in watt è

$$P_{diss} = 370\text{mW}$$

dove $L = \frac{P_{ANT}}{P_{PA}}$

Noi non vogliamo nessuna perdita dopo il PA perché consumiamo troppo.
 Allora non mettiamo il filtro, però così non abbiamo niente da limitare la
 spettro di regrowth. Quando il mio PA deve essere molto lineare (questo porta a
 una degradazione dell'efficienza per colpa della linearità)

Topologia: Direct-conversion transmitter

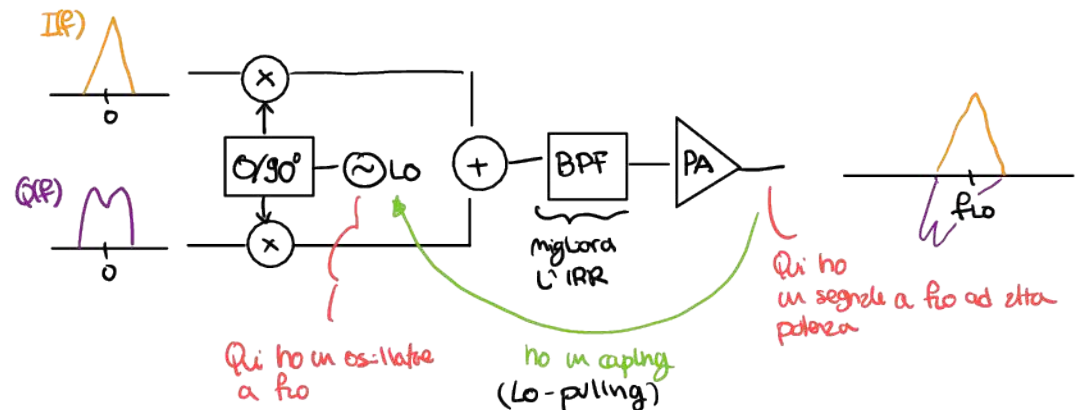


$$\cos(\omega_{bbbt}) \cdot \cos\omega_0 t - \sin\omega_{bbbt} \cdot \sin\omega_0 t = \cos((\omega_0 - \omega_{bbbt}))$$

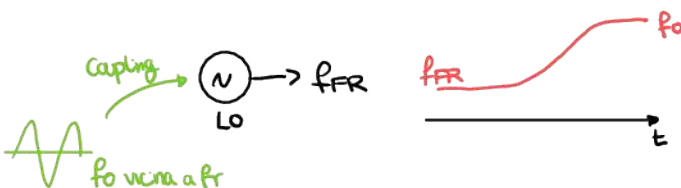
Se però ho $E_e \theta$ impulso, ho un'immagine

$$IRR = \frac{P_S}{P_{in}} = \frac{4}{E^2 + \theta^2}$$

Questa topologia utile ha un problema.

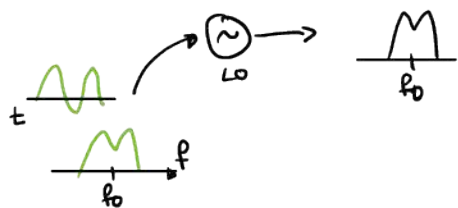


Gli oscillatori sono soggetti ad un fenomeno chiamato INJECTION LOCKING



Praticamente ho che il LO cambia frequenza e si locka a f_O .

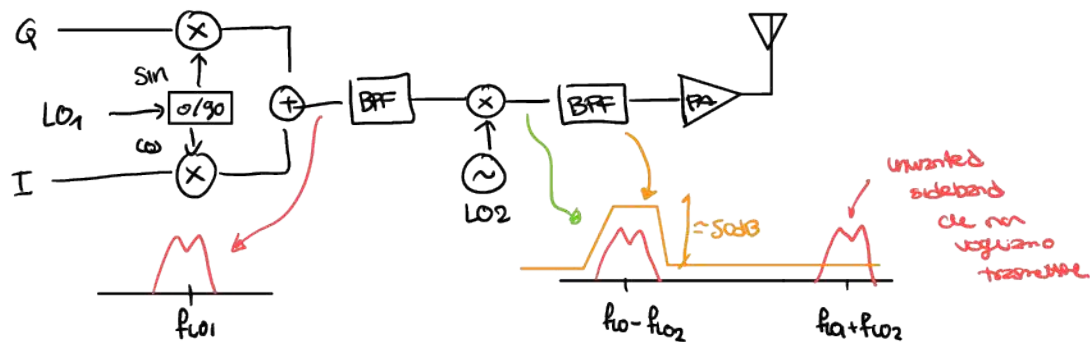
La stessa cosa succede se ho una sinusoide modulata couplata con l'LO



L'oscillatore localizzato sulla frequenza f_0 segue l'andamento dell'ampiezza e fase del segnale modulato.

Soluzioni:

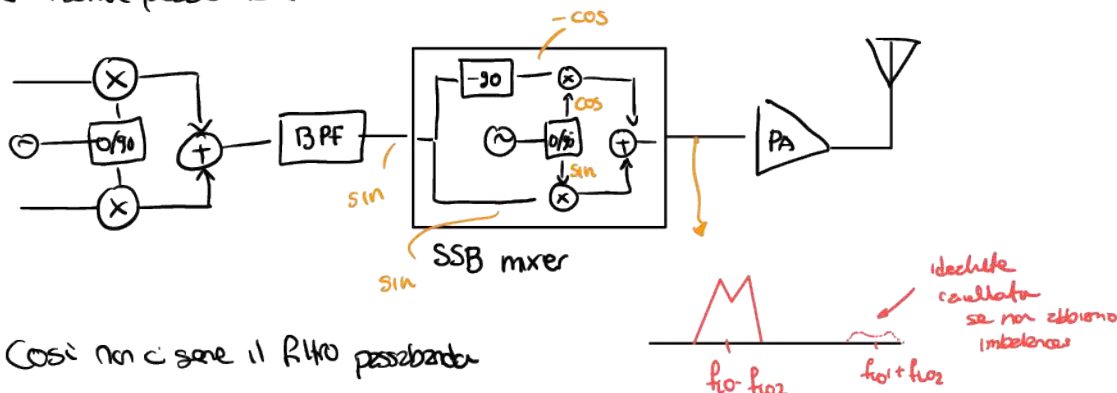
Fare un offset della frequenza dell'LO in rispetto alla frequenza d'onda. Per fare questo o usare un moltiplicatore della frequenza LO, oppure usare la topologia TWO-step TX architecture.



Questa tecnica riduce il pulling (coupling) e migliora il matching di I e Q.

Tuttavia c'è un negativo: la presenza del 2° BPF che deve ridurre di 40-50 dB

per risolvere questo problema.



Così non c'è uno filtro passabanda.

